



**HAL**  
open science

# Hector the convective archetype des orages tropicaux hydratant la stratosphère

Thibaut Dauhut

► **To cite this version:**

Thibaut Dauhut. Hector the convective archetype des orages tropicaux hydratant la stratosphère. Climatologie. Université Paul Sabatier - Toulouse III, 2016. Français. NNT : 2016TOU30385 . tel-01760663

**HAL Id: tel-01760663**

**<https://theses.hal.science/tel-01760663>**

Submitted on 6 Apr 2018

**HAL** is a multi-disciplinary open access archive for the deposit and dissemination of scientific research documents, whether they are published or not. The documents may come from teaching and research institutions in France or abroad, or from public or private research centers.

L'archive ouverte pluridisciplinaire **HAL**, est destinée au dépôt et à la diffusion de documents scientifiques de niveau recherche, publiés ou non, émanant des établissements d'enseignement et de recherche français ou étrangers, des laboratoires publics ou privés.



Université  
de Toulouse

# THÈSE

En vue de l'obtention du

## DOCTORAT DE L'UNIVERSITÉ DE TOULOUSE

Délivré par : *l'Université Toulouse 3 Paul Sabatier (UT3 Paul Sabatier)*

---

---

Présentée et soutenue le 14/11/2016 par :  
**Thibaut Dauhut**

**Hector the Convecteur**  
**archétype des orages tropicaux hydratant la stratosphère**

---

---

### JURY

FRANK ROUX	LA, Toulouse	Président du Jury
SANDRINE BONY	LMD, Paris	Rapporteuse
PETER HAYNES	DAMPT, Cambridge	Rapporteur
FRANÇOISE GUICHARD	CNRM, Toulouse	Examinatrice
DANIEL KIRSHBAUM	DAOS, Montréal	Examineur
FRÉDÉRIC HOURDIN	LMD, Paris	Examineur
JEAN-PIERRE CHABOUREAU	LA, Toulouse	Directeur de thèse
PATRICK MASCART	LA, Toulouse	Directeur de thèse

---

### École doctorale et spécialité :

*SDU2E : Océan, Atmosphère, Climat*

### Unité de Recherche :

*Laboratoire d'Aérodynamique (Université de Toulouse - CNRS)*

### Directeurs de Thèse :

*Jean-Pierre Chaboureau et Patrick Mascart*

### Rapporteurs :

*Sandrine Bony et Peter Haynes*



*Hector the Convecton*  
archétype des orages tropicaux  
hydratant la stratosphère

---

*Auteur :*

Thibaut DAUHUT

*Directeurs de thèse :*

Jean-Pierre CHABOUREAU

Patrick MASCART

---



## Remerciements

Ces trois années de thèse ont été une formidable aventure scientifique et humaine. Un travail de longue haleine tout autant qu'une page de ma vie, faite de rencontres et de découvertes. Rien de tout cela n'aurait été possible sans les multiples échanges au quotidien, instructifs et motivants. Un immense merci à tous ceux qui m'ont entouré ces trois dernières années !

Je souhaite tout d'abord remercier Jean-Pierre Chaboureau pour sa disponibilité, sa rapidité à corriger mes écrits, mes présentations, et son soutien pour me faire prendre conscience de la valeur de mes résultats. Merci également pour les très nombreuses conférences auxquelles j'ai pu participer grâce à tes financements, c'est une chance ! Merci enfin pour ton sens des priorités et ta vision à long terme, c'est toujours intéressant de discuter stratégie avec toi.

Je remercie avec beaucoup de sympathie Patrick Mascart, qui a toujours le mot pour rire et une véritable passion pour la mécanique des fluides. Nos discussions sur les phénomènes nuageux ont bien souvent piqué ma curiosité, rien de mieux pour rester motivé ! Au plaisir de vous revoir et de discuter à nouveau.

Je tiens à remercier chaleureusement Frédéric Hourdin et Françoise Guichard qui ont fait partie de mon comité de thèse et de mon jury de thèse. J'ai à chaque fois beaucoup aimé vous retrouver, c'était pour moi très agréable de parler de sciences avec vous qui êtes à la fois passionnés et très sympathiques.

Merci à Frank Roux dont je me souviens encore des mots de bienvenue lors de mon tout premier passage au LA. Un grand merci à Sandrine Bony et à Peter Haynes d'avoir accepté d'évaluer mon travail de thèse en tant que rapporteurs et à Daniel Kirshbaum en tant qu'examinateur. Merci à tous les quatre d'avoir participé au jury de ma soutenance et pour les idées échangées sur la suite des recherches à mener.

Merci à tous mes collègues du Laboratoire d'Aérodynamique pour leur sympathie et leur bienveillance. Je pense à Dominique Lambert, Frédérique Saïd et Eric Defer qui passaient régulièrement prendre des nouvelles à la fin et qui avaient toujours un mot d'encouragement. Merci à Evelyne Richard pour ses conseils à des moments clés, comme juste avant ma première conférence internationale. Merci à Juan Escobar pour son soutien sans faille pour développer le modèle numérique. Merci à Jean-Pierre Pinty pour ses explications détaillées de la microphysique. Merci à Philippe Wautelet pour la super vidéo de Hector. Merci à vous, ainsi qu'à tous les autres collègues pour votre bonne humeur quotidienne !

Un merci tout particulier à Marisa Vialet pour sa joie de vivre communicative et son attention pour nos conditions de travail. Tu contribues grandement à la bonne ambiance du laboratoire. Merci aussi à Karine Mercadier et Monique Macaigne pour leur patience à préparer mes missions et à me rappeler juste une dernière fois ce qu'il ne faut pas oublier au retour.

Merci à mes collègues de Météo France que j'ai croisés à de nombreuses reprises pendant la thèse. Merci à Christine Lac et Jean-Philippe Lafore pour leur bienveillance. Merci à Fleur Couvreur, Nicolas Rochetin et Romain Roehrig pour l'intérêt qu'ils portent à mon travail.

Un immense merci à tous mes amis doctorants et contractuels du laboratoire, avec qui j'ai partagé nombre de parties de volley, de gâteaux d'anniversaire/d'arrivée/de départ, mais aussi de sorties en ville et de découvertes de la région.

Phillip tu as été un super acolyte ces trois dernières années ! À nos retours en vélo le long du canal, nos dégustations de poutines à Montréal et de vin à Vienne ! Un immense merci Irene et Tatiane pour toutes nos discussions encourageantes, nos aventures en canoë et en montagne, au Portugal et aux States ! -  
*Phillip Scheffknecht, Irene Reinares Martínez, Tatiane Felinto*

Un grand merci Hervé, Romain, Fabien et Jean pour les discussions au cours du traditionnel café de midi ! Ça a l'air d'être un détail mais ce café sous le soleil toulousain symbolise pour moi les agréables conditions de travail que nous avons à l'Observatoire Midi-Pyrénées. Merci Clara et Romain pour vos conseils, votre goût pour la Nature et vos invitations à randonner en montagne. Merci Chérina et Alex, Marcia, Pierre, Simon et Alan, c'était super d'être avec vous pendant ma première année de thèse. Merci Christophe pour tes multiples conseils et idées de lectures. Merci Gert-Jan, Lucie, Fayçal, Mokrane, Émilie, Alicia et Jeff mes grands frères et grandes sœurs de thèse. Un merci tout particulier à Flore qui avait l'œil pour repérer les moments difficiles et les mots pour redonner du courage. Un grand merci à toi aussi Audrey ! C'était une formidable expérience que de te rencontrer et d'échanger sur les rapports humains. Tu nous a beaucoup appris sur l'entraide et l'importance de souder les rangs au sein des contractuels pour défendre nos droits. - *Hervé Petetin, Romain Blot, Fabien Rétif, Jean Kigotsi, Clara Darbieu, Romain Baghi, Chérina Meetoo, Alexandre Berger, Marcia Yamasoe, Pierre Damien, Simon Fresnay, Alan Hally, Christophe Bovalo, Gert-Jan Duine, Lucie Bordois, Fayçal Kessouri, Mokrane Belharet, Émilie Caillaud, Alicia Gressent, Jean-François Ribaud, Flore Tocquer, Audrey Gaudel*

Merci Maxime, Alain, Benoît et Mélodie pour les discussions au détour d'un couloir :) Thanks Tom and gracias Maria, vous m'avez tant fait rire ! Merci Fabien, Léo, PEB, Alex, Yann, Guillaume et Guillaume, Julien, Sekou et Jacques ; courage pour la dernière ligne droite !! Merci Daria pour ta volonté à travailler ensemble et pour ta bienveillance envers mes plantes, sans toi elles auraient péri plus d'une fois ! - *Maxime Mogé, Alain Fontaine, Benoît Gautron, Mélodie Hulin, Thomas Webb, Maria Tous Nadal, Fabien Brosse, Léo Seyfried, Pierre-Etienne Briouet, Alex Dos Santos, Yann Cohen, Guillaume Mikolajczak, Money Guillaume Ossohou, Julien Bahino, Sekou Keita, Jacques Adon, Daria Kuznetsova*



Je souhaite remercier également celles et ceux qui sont passés juste quelques mois au Labo pendant ma thèse. Même si votre séjour au LA a été court c'était très enrichissant de vous rencontrer ! Et pour ceux qui continuent en thèse, bon courage :) Merci Hélène, Nicolas et Nicolas, Florian, Rached, Timothée, Diego, Christos, Jean-Phy et Simon ! - *Hélène Bresson, Nicolas Blanchard, Nicolas Mari, Florian Dupuis, Rached Abdesslem, Timothée Payan, Diego Bengochea, Christos Gattidis, Jean-Philippe Baudouin et Simon Ghilain*

Un grand merci à Olivier Pauluis pour son accueil à New-York. C'était très intéressant de travailler avec toi, merci pour le temps que tu as passé à m'expliquer en détail les ressorts de l'analyse isentropique. Grazie mille Flavien pour avoir pris le temps de partager ton amour pour New-York. Mon expérience là-bas aurait été bien plus triste sans nos balades. Great thanks to Mariano for the lunches together and also to Judith for the discovery of Brooklyn. - *Olivier Pauluis, Flavien Léger, Mariano Marcano and Judith Rivera*

I would like to thank you Todd, for receiving me in Melbourne and for sharing your knowledge about the overshoots. You also gave me opportunities to present my work to your close and remote collaborators, thank you very much for all of this. A great thanks to you both, Adam and Nina, for welcoming me in your sweet house ! Such a nice time spent with you in Melbourne ! and also to Ben, for welcoming me in Darwin. Going to Darwin to see Hector the Convecter, I didn't expect to have the chance to visit you, what a coincidence ! Thank you for introducing me to the forecaster team of Darwin as well, was really great to see you guys at work. A special thanks to my office mates at the Shool of Earth Science in Melbourne ! I loved meeting you, discovering your culture and playing badminton with you. You are great persons, looking forward to seeing you again. - *Todd Lane, Adam Ingamells, Nina Crawley, Benjamin Price, Lachy, Shun Harigaya, Xiaowen Gu, Chensang Li, Peter Degorski*

Merci beaucoup Gio pour ton franc-parler, nos discussions autour d'un café au GET et nos séances de badminton. Merci Cori et Aude pour nos agréables discussions entre LEGOS et LA. Et enfin merci Audrey ! J'ai adoré partager avec toi nos expériences de voyage aux quatre coins du monde. - *Giovanni Mirouh, Cori Pegliasco, Aude Carreric, Audrey Ferrere*

Un grand merci à toute ma famille pour le bon temps passé à Nantes ! Mais aussi pour votre soutien et toute votre aide au moment de la soutenance. Merci en particulier à Camille pour le joli poster que nous avons composé ensemble et qui a beaucoup plus à la Nuit des Chercheurs.

Un merci du fond du cœur à mon très cher Guillaume ! Merci pour ton soutien inestimable et ta présence à mes côtés tous les jours. Cette thèse est aussi ton œuvre, merci pour ton aide à la composition graphique ;) - *Guillaume Amiel*

Merci Max et Ju pour tous les moments passés ensemble ! Nous avons décidé en même temps de nous installer à Toulouse et c'était super de pouvoir partager nos découvertes de la ville. À nous multiples soirées jeu et restos vegans ! - *Maxence et Juliette Miguel-Brebion*

Merci également à mes amis de Nantes et de Cachan, notamment à Isabelle avec qui j'ai pu admirer les perroquets de San Francisco et Barcelone ! et à Clélia qui m'a fait découvrir la délicieuse cuisine vietnamienne. Merci à Pierre, Laura, Léo et AnneCha, pour nos retrouvailles régulières dans un resto toulousain. Et bien sûr à toute la fine équipe cachanaise : Eline, Thomas, Flo, Marie, Céline, Géraud et Mélanie, pour la joie de vous retrouver chaque année à un nouvel endroit :) Merci aussi Célimène et Julie pour votre présence à mes côtés le dernier jour, à très bientôt j'espère ! - *Isabelle Giraud, Clélia de Mulatier, Pierre Massat, Laura Martin Gomez, Léo Garcia, Anne-Charlotte Gervais, Eline Dehandschoewerker, Thomas Chaigne, Florian Mollica, Marie Chaumel, Céline Durfort, Géraud Delpont, Mélanie Tobin, Célimène Anglade, Julie Gauthier*

Teşekkür ederim Deniz, Emile, Odile, Adeline, Paule ve Jean-Paul ! C'était un vrai plaisir de vous retrouver tous les jeudis soirs, pour un plongeon dans la culture turque. Je vous avoue que la première année l'immersion dans la langue n'a pas été facile mais ça m'a toujours plu ! C'était pour moi une agréable manière de voyager, traverser le continent en trente minutes de vélo :)

Un grand merci aux Jeunes Écolos de Toulouse ! Militer pour un monde plus vert et plus paisible nous a amené à faire de superbes rencontres, passer du bon temps ensemble et monter des projets improbables, comme le forum de Toulouse sur le revenu universel, trois ans avant que cela ne devienne un des sujets phares de la campagne présidentielle - toujours une longueur d'avance n'est-ce pas ;) ou encore "l'Initiative Démocratie Toulouse", cette idée farfelue de tenir un stand sur les marchés pour donner la parole aux passants sur les sujets qui leur tiennent à cœur, avec la ferme volonté de faire de la politique sans média. L'idée fait encore des adeptes sur facebook, merci d'y avoir cru et participé ! - *Fiona, Juliette, Agathe, Manon, Mathilde, Lou-Anne, Édouard, Titi, Noé, Leïla, Aurélien, Romain*

Não esqueço meus amigos do Brasil, foi muito bom compartilhar aventuras e descobertas com vocês, João, Bruno e Claviu, que estavam comigo na Europa o primeiro ano. Jussara, foi tão bom te rever em Nantes - certeza que vai ter muitas oportunidades para frente ! Livia, Jana, Tati, e meus colegas da República Escalada, sera provavelmente no Brasil a proxima vez que revermos-nos. Mesmo se não sei quando eu vou poder viajar aí, não desespero de voltar um dia para visitar vocês ! - *João Costa Carvalho, Bruno Campos, Cleverson Freitas, Jussara Reno, Livia Machado, Janaina Machado, Tatiana Amaro, Roseli, Rodrigo, Lucas, Pedro, Guilherme, Felipe, Luis, César*

Merci à tous, et à tous ceux que j'aurais pu oublier ! Bonne lecture !





# Sommaire

<b>Introduction</b>	<b>1</b>
<b>1 Les orages tropicaux</b>	<b>7</b>
1.1 Phénoménologie . . . . .	7
1.2 Mécanismes de la convection . . . . .	13
1.3 Structure des orages . . . . .	19
1.4 Processus diabatiques . . . . .	26
1.5 Entraînement d'air environnant . . . . .	30
<b>2 Simulations de <i>Hector the Convect</i></b>	<b>37</b>
2.1 <i>Hector the Convect</i> , un laboratoire naturel . . . . .	37
2.2 Simulations avec le modèle Més0-NH . . . . .	50
2.3 Présentation de l'article . . . . .	68
2.4 <i>Large-Eddy Simulations of Hector the Convect making the stratosphere wetter</i> . . . . .	71
<b>3 Dynamique de Hector lui permettant d'atteindre la stratosphère</b>	<b>79</b>
3.1 Identification des ascendances . . . . .	80
3.2 Présentation de l'article . . . . .	82
3.3 <i>Giga-LES of Hector the Convect and its two tallest updrafts up to the stratosphere</i> . . . . .	84
<b>4 Transport irréversible et processus diabatiques dans Hector</b>	<b>105</b>
4.1 Analyse isentropique . . . . .	106
4.2 Présentation de l'article . . . . .	109
4.3 <i>The irreversible mass transport across the troposphere by Hector the Convect</i> . . . . .	112
<b>Conclusions et perspectives</b>	<b>127</b>
<b>Références</b>	<b>135</b>



# Introduction

Les orages tropicaux sont les acteurs principaux du transport d'air de la surface vers la haute troposphère tropicale jusqu'à 10 à 15 km d'altitude (Folkins et al., 2006; Fueglistaler et al., 2009). Ce transport est déterminant pour la composition de la stratosphère. Les masses d'air stratosphériques proviennent en effet principalement de la haute troposphère tropicale pour être ensuite redistribuées vers les moyennes et les hautes latitudes par la circulation de Brewer-Dobson (Brewer, 1949; Holton et al., 1995; Butchart, 2014). L'influence des orages dépend de la position de leur sommet vis-à-vis de la TTL (fig. 1). Dans les tropiques, la base de la stratosphère (la tropopause) peut être définie comme l'altitude où la température est la plus basse (le point froid), ce qui correspond en moyenne au niveau où la température potentielle vaut 380 K. Elle se situe vers 17 km d'altitude. La TTL (*Tropical Tropopause Layer*) est une couche intermédiaire autour de la tropopause tropicale, entre 14 et 18,5 km d'altitude (Fueglistaler et al., 2009). Le transport direct en stratosphère est réalisé par les orages et les cyclones tropicaux qui possèdent à leur sommet des percées nuageuses suffisamment élevées pour entrer directement en stratosphère (e.g. Adler and Mack, 1986; Danielsen, 1993; Dessler, 2002; Fueglistaler et al., 2009). Seule une faible part de l'air des percées nuageuses est transportée irréversiblement en stratosphère, le reste retombe en troposphère à cause de la stratification. Ce transport direct ne concerne qu'un nombre très réduit d'orages, la plupart du



transport convectif n'atteignant pas 14 km d'altitude. Le transport indirect se fait par étapes, les masses d'air sont d'abord élevées dans la TTL par la convection puis le chauffage radiatif permet aux masses d'air de gagner en flottabilité et de traverser le point froid en environ un mois (Corti et al., 2006). Tandis que le transport indirect permet d'expliquer l'alimentation en air de la circulation de Brewer-Dobson (Corti et al., 2006), les épisodes de transport direct, d'étendue spatiale et temporelle moindre, peuvent cependant avoir un impact significatif sur la composition de la stratosphère. En particulier, l'humidité a augmenté de 2,1 % par an entre 1950 et 1990 sans que l'on comprenne pourquoi (Roscoe and Rosenlof, 2011). La moitié de cette hydratation de la stratosphère est attribuée aux variations des concentrations en méthane, dont l'oxydation est une source de vapeur en stratosphère (Etheridge et al., 1998). Une hypothèse serait que l'autre moitié soit directement liée au transport d'eau à travers la tropopause tropicale.

Ces variations sont importantes à comprendre car elles sont déterminantes pour l'évolution du climat (par effet de serre) et influencent l'épaisseur de la couche d'ozone (la vapeur d'eau réagit avec l'ozone en stratosphère, causant une diminution des concentrations en ozone). Cependant, aucun des modèles atmosphériques à l'échelle planétaire (GCM, *General Circulation Models*) n'est capable de reproduire les variations de l'humidité en stratosphère (Garcia et al., 2007). Ceci pourrait venir d'un biais dans la représentation par les GCM du transport convectif, ce transport n'étant pas explicitement résolu par ces modèles dont les mailles sont de l'ordre de la centaine de kilomètres. Le transport est représenté par des paramétrisations de la convection profonde, calibrées sur les altitudes généralement atteintes par les orages tropicaux : 10 à 15 km d'altitude (Fueglistaler et al., 2009).

L'impact des orages tropicaux sur l'humidité de la basse stratosphère est l'objet de nombreux débats (voir par exemple la revue de Fueglistaler et al., 2009).

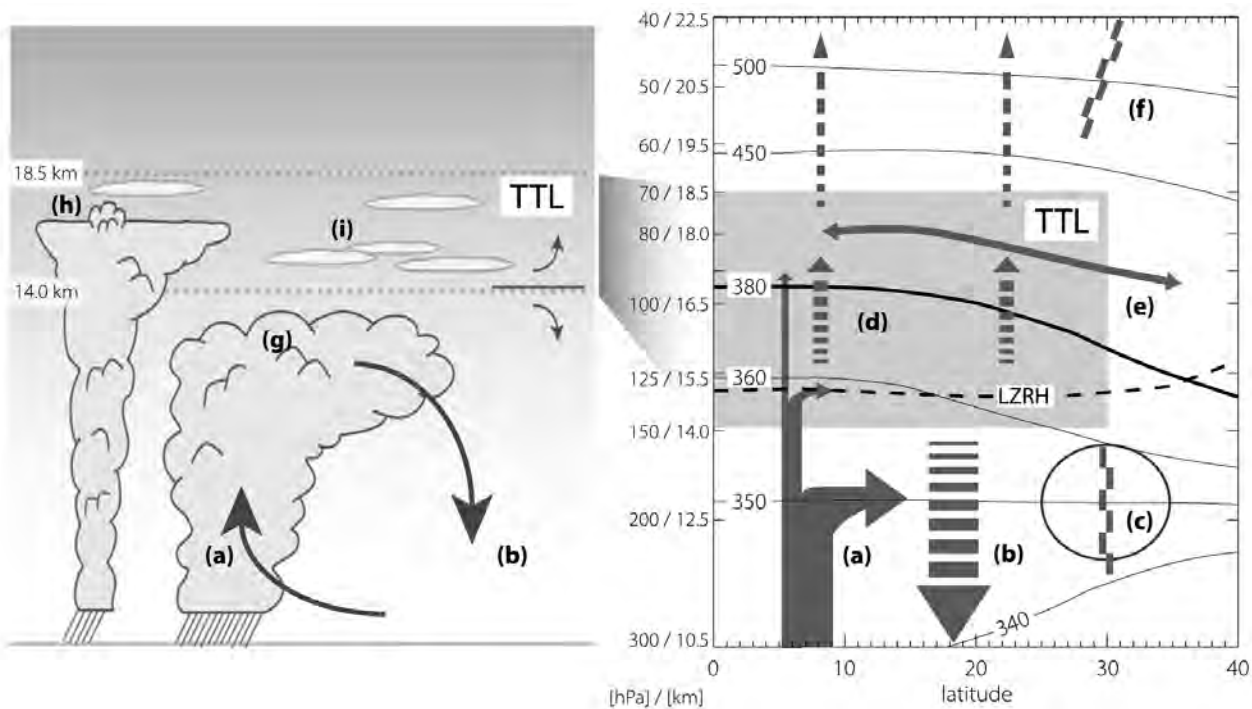


FIGURE 1 – Schéma représentant les orages tropicaux de convection profonde (en a, g) et de convection très profonde (en h), ainsi que leur contribution à la circulation méridienne moyenne. À gauche : processus nuageux, et à droite : circulation méridienne moyenne. Les flèches indiquent la circulation, la ligne tiretée noire correspond au niveau de chauffage radiatif nul en ciel clair (LZRH) et les lignes continues correspondent aux isentropes (niveaux à température potentielle constante, en Kelvin, basés sur la réanalyse ERA-40). La tropopause qui correspond au niveau à 380 K est mise en évidence par une ligne épaisse. (a) Convection profonde : son déentraînement, maximum autour de 13 km d'altitude, diminue rapidement avec l'altitude dans la TTL et pénètre rarement dans la stratosphère. Elle est le lieu d'un transport vertical rapide de masses d'air depuis la couche limite jusqu'en TTL. (b) Subsidence due au refroidissement radiatif. (c) Position des jets subtropicaux, qui limitent les échanges quasi-isentropes entre la troposphère et la stratosphère. (d) Ascension diabatique forcée, équilibrée par le chauffage radiatif. (e) Transport méridien rapide de masses d'air et mélange. (f) *Surf zone*, qui isole relativement les tropiques de la zone de mélange dû au déferlement des ondes. (g) Nuage convectif profond. (h) Percée nuageuse, qui correspond à une ascendance dépassant son niveau de flottabilité neutre (*overshoot* en anglais). (i) Cirrus omniprésents, optiquement et géométriquement fins, étendus horizontalement, souvent formés *in situ*. Les relations altitude - pression - température potentielle sont basées sur les moyennes annuelles des champs de température, avec des altitudes arrondies au demi kilomètre le plus proche. Schéma tiré de Fueglistaler et al. (2009), reproduit avec la permission de l'*American Geophysical Union*.

Divers processus de déshydratation de la stratosphère par les orages ont été proposés (Danielsen, 1982; Sherwood and Dessler, 2000, 2001). Ils reposent principalement sur le fait que l'air transporté au sommet des orages est extrêmement froid, et donc extrêmement sec par effet de saturation. Cependant, il faut que les masses d'air soient soumises à ces très basses températures suffisamment longtemps pour être efficacement déshydratées par la condensation de la vapeur puis par la sédimentation des cristaux de glace (Holton and Gettelman, 2001; Corti et al., 2008). Hassim and Lane (2010) relèvent que l'effet net des percées nuageuses sur l'humidité de la TTL et de la stratosphère est variable d'un événement à l'autre, dépendant entre autre du niveau de saturation en vapeur d'eau de la région où le transport a lieu.

Plusieurs campagnes de mesures confirment l'impact des orages tropicaux sur la composition de la basse stratosphère (Pommereau, 2010). La campagne TROCCINOX-2 (*Tropical Convection, Cirrus and Nitrogen Oxides-2*) a eu lieu début 2005 au Brésil. Des particules de glace ont été observées jusqu'à 2 km au-dessus de la tropopause (Chaboureau et al., 2007; Corti et al., 2008). Les observations suggèrent que ces particules de glace proviennent de percées nuageuses au sommet de l'orage qui était observé simultanément.

La campagne SCOUT-O3 (*Stratosphere-Climate links with emphasis On the Upper-Troposphere and lower stratosphere*) a eu lieu fin 2005 au nord de l'Australie. Le 30 novembre 2005, les observations lidar à bord de l'avion stratosphérique Geophysica relèvent une preuve sans précédent de l'hydratation de la stratosphère par des percées nuageuses au-dessus de l'orage nommé *Hector the Convecton* (Corti et al., 2008). Les observations de la campagne SCOUT-AMMA au Niger en août 2006 relèvent également la présence de poches humides en stratosphère (entre les niveaux de température potentielle 370 et 420 K), en lien avec la présence en amont de systèmes convectifs de méso-échelle (Khaykin

et al., 2009). Pour un des systèmes convectifs, la coïncidence entre injections de glace au sommet du système et poches humides en stratosphère a pu également être observée, mais par des instruments différents.

L'objectif de cette thèse est double. Il s'agit d'une part de quantifier la contribution des orages tropicaux au flux d'eau de la troposphère vers la stratosphère. D'autre part, il s'agit de mieux comprendre comment la convection peut affecter la composition de la stratosphère. Pour cela, l'organisation de la convection et le transport irréversible associé sont analysés en détail. L'orage *Hector the Convective* est sélectionné en tant qu'archétype des orages tropicaux qui hydratent la stratosphère. Le cas du 30 novembre 2005 sert d'objet d'étude pour l'ensemble des travaux de cette thèse.

Pour remplir cet objectif, des simulations de l'orage *Hector the Convective* du 30 novembre 2005 sont réalisées avec le modèle atmosphérique Méso-NH, un modèle dit CRM (*Cloud Resolving Model*) car il représente explicitement les nuages. Des résolutions spatiales de l'ordre de 100 m et 1 km sont utilisées afin de représenter correctement les percées nuageuses qui ont été observées au sommet de Hector et les processus internes à l'orage, notamment les ascendances qui sont les acteurs principaux du transport convectif. Les résolutions de l'ordre de 100 m permettent même d'échantillonner les tourbillons les plus énergétiques à l'intérieur des nuages. Ces tourbillons sont à l'origine de la dissipation turbulente de l'énergie des ascendances et de la dilution des ascendances avec l'air environnant. L'utilisation de CRM en mode LES (*Large-Eddy Simulation*), c'est-à-dire avec des résolutions suffisamment fines pour représenter ces grands tourbillons, a longtemps été restreinte aux études de la couche limite atmosphérique (e.g. Siebesma et al., 2003). L'augmentation des capacités de calcul et les développements récents des modèles atmosphériques CRM pour les supercalculateurs à architecture massivement parallèle permettent à présent l'utilisation des CRM

en mode LES pour l'étude de la convection profonde (e.g. Khairoutdinov and Randall, 2006; Khairoutdinov et al., 2009).

Le chapitre 1 dresse un panorama des orages tropicaux qui atteignent la stratosphère. Les mécanismes à l'origine de la convection sont présentés. La structure et les processus physiques internes aux systèmes convectifs sont ensuite détaillés. Une attention particulière est portée sur l'entraînement de l'air environnant qui affecte directement le transport convectif.

Le chapitre 2 présente les simulations de Hector réalisées pour la thèse. Il commence par un état de l'art des études sur Hector. Le modèle atmosphérique Méso-NH et sa configuration pour les simulations de Hector sont présentés. L'évolution générale de Hector dans les simulations est ensuite décrite et confrontée aux observations radar. L'étude sur la sensibilité de l'hydratation par Hector à la résolution est résumée afin d'introduire l'article *Large-Eddy Simulations of Hector the Convective making the stratosphere wetter*.

Le chapitre 3 porte sur l'étude de l'organisation de la convection pour atteindre la stratosphère. Après avoir présenté la méthode originale d'identification des ascendances, les résultats sont résumés, puis l'article *Giga-LES of Hector the Convective and its two tallest updrafts up to the stratosphere* est reproduit.

Le chapitre 4 présente l'analyse du transport irréversible et des processus diabatiques dans Hector. Les principes de l'analyse isentropique appliquée à un système convectif sont d'abord introduits. Cette analyse a vocation à offrir une vue d'ensemble de la circulation générale à l'intérieur de l'orage, caractériser cette circulation et quantifier le transport irréversible. Les résultats de l'analyse isentropique de Hector sont résumés, puis l'article *The irreversible mass transport across the troposphere by Hector the Convective* est présenté.

Enfin, les différents résultats des chapitres précédents sont résumés et quelques perspectives de recherche sont proposées.

# Chapitre 1

## Les orages tropicaux

Ce chapitre dresse un panorama des orages tropicaux qui hydratent la stratosphère. Quelques notions de base de météorologie et la terminologie spécifique à l'étude de la convection profonde sont rappelées. Les mécanismes de la convection, la structure interne des orages ainsi que les processus qui les affectent, sont présentés ici avant d'être analysés pour le cas de l'orage Hector dans les chapitres suivants.

### 1.1 Phénoménologie

Un orage est une perturbation atmosphérique qui se manifeste sous la forme d'un cumulonimbus : un nuage très développé sur la verticale dont le sommet culmine en haute troposphère. L'orage est toujours accompagné d'éclairs et de tonnerre, généralement de rafales de vent en surface et de fortes pluies, et parfois de chutes de grêle. À l'intérieur de l'orage, de puissants courants ascendants et subsidents créent des zones d'intense cisaillement et de forte turbulence, redoutables pour l'aviation. Les cumulonimbus font partie de la famille des cumulus qui sont tous d'origine convective, c'est-à-dire qu'ils se forment par l'ascension



FIGURE 1.1 – Exemple de convection tropicale très profonde : l'orage *Hector the Convective*, photo personnelle prise à Darwin le 25 novembre 2015.

dans l'atmosphère de masses d'air chaudes et humides. Ils se distinguent des autres cumulus par leur sommet caractéristique en forme d'enclume (fig. 1.1). Les cumulonimbus apparaissent lorsque l'atmosphère est suffisamment instable, c'est-à-dire lorsque les masses d'air en surface sont suffisamment peu denses pour s'élever haut dans l'atmosphère. L'air chaud et humide de la surface s'élève en masse sur des zones très localisées, au niveau de **cellules convectives**.

Sous les tropiques, l'atmosphère est régulièrement très instable et les cumulonimbus atteignent généralement une altitude de 10 à 15 km (Fueglistaler et al., 2009). Il est bon de distinguer la convection qui se développe au-dessus de l'océan de celle qui se développe au-dessus des terres émergées. Au-dessus des terres, l'atmosphère est potentiellement plus instable, et la dilution des cellules convectives par l'air environnant est légèrement plus faible (Zipser, 2003). La convection dite continentale peut être beaucoup plus vigoureuse que la convection océanique : elle atteint des altitudes plus élevées, les cellules convectives contiennent plus d'**hydrométéores** (gouttes et cristaux de glace) et produisent plus d'éclairs (Zipser et al., 2006). La convection profonde peut atteindre la TTL située entre 14 et 18,5 km (Fueglistaler et al., 2009). Les orages tropicaux les plus violents atteignent la basse stratosphère, dont la base se situe vers 17 km d'altitude dans les tropiques (fig. 1), on parle alors de **convection très profonde**.

## Variabilité géographique et saisonnière

Environ 130 orages tropicaux atteignent la basse stratosphère chaque jour (fréquence calculée à partir des observations *Tropical Rainfall Measuring Mission* (TRMM, Liu and Zipser, 2005) en prenant en compte la fréquence d'échantillonnage du satellite). Leur distribution spatiale observée pendant une année par le satellite *Global Precipitation Mission* (GPM, Liu and Zipser, 2015) indique une nette tendance à se développer au-dessus des terres (fig. 1.2a), le long de la zone de convergence inter-tropicale (abrégé par l'acronyme anglais ITCZ). Parmi l'ensemble plus large des orages qui atteignent la TTL (fig. 1.2b), deux tiers se développent au-dessus des terres émergées, un tiers au-dessus des océans. La convection très profonde est active toute l'année dans le bassin du Congo. Dans le reste de l'Afrique, elle se développe jusqu'à 15°N entre mars et novembre et jusqu'à 15°S pendant l'été austral (décembre, janvier, février). En Amérique du



Sud, la convection très profonde se développe entre l'équateur et 40°S de septembre à mars, et au nord de l'équateur entre mars et novembre. Elle est très active en Amérique Centrale pendant l'été boréal (juin, juillet, août). Au-dessus des archipels indonésiens, philippins et papouasiens, la convection très profonde est active toute l'année. Au-dessus de la péninsule d'Asie du Sud-Est et au sud de l'Inde, elle est présente entre mars et novembre, et au nord de l'Australie pendant l'été austral. L'orage Hector sélectionné ici fait partie de cette dernière catégorie.

## Cycle diurne

Au cours de la journée, le rayonnement solaire réchauffe la surface terrestre, océans et terres émergées, et celle-ci réchauffe à son tour l'atmosphère par rayonnement infrarouge et par conduction au niveau de la surface. À la surface, le chauffage de l'atmosphère par rayonnement et conduction est quantifié par le **flux de chaleur sensible**. Par analogie, le **flux de chaleur latente** traduit le transfert d'énergie thermique entre la surface et l'air par le biais de l'évaporation et de la condensation de l'eau qui, respectivement, absorbe et dégage de la chaleur latente.

Ce chauffage par le bas de l'atmosphère la rend instable : les masses d'air à la surface deviennent moins denses que celles en altitude. La convection démarre et redistribue l'énergie en altitude. En début de matinée, la convection est peu profonde, le contenu en vapeur d'eau des masses d'air ne condense pas, il s'agit de convection sèche. Cette convection matinale conduit au mélange de l'air sur une couche de l'ordre d'un kilomètre d'épaisseur, appelée **couche limite atmosphérique** (CLA). Au-dessus, le reste de la troposphère n'est pas affecté par le mélange dû à la convection peu profonde, c'est la **troposphère libre**. Au cours de la journée, la CLA s'approfondit et la convection monte suffisamment

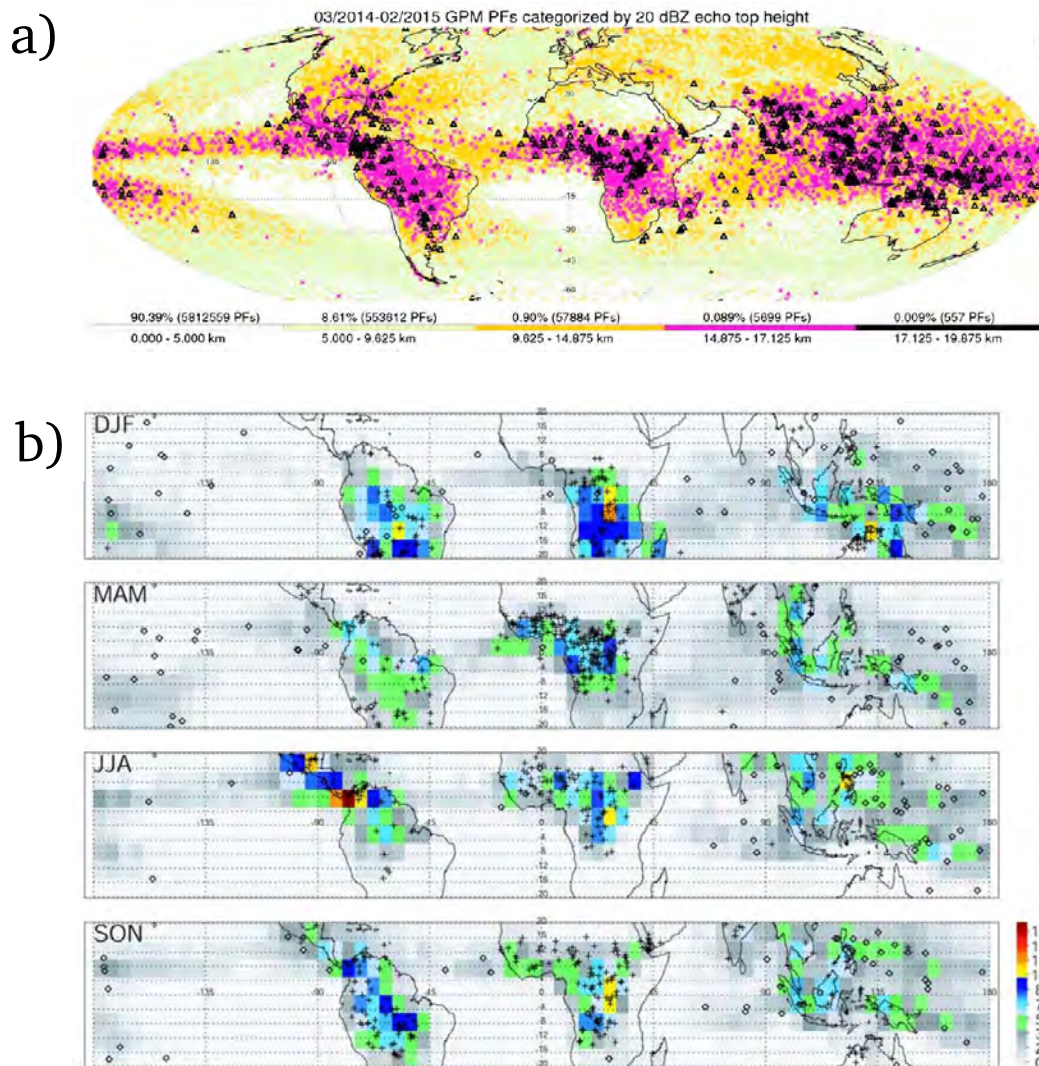


FIGURE 1.2 – Répartition géographique et saisonnière des systèmes convectifs précipitants. (a) Altitude (km) du sommet de l'écho à 20 dBZ renvoyé au radar précipitation à bord du satellite GPM entre mars 2014 et février 2015, les événements de convection très profonde sont en noir. (b) Densité (pour-mille) en systèmes convectifs précipitants qui percent la base de la TTL (à 14 km d'altitude) dans chaque échantillon de  $5^\circ \times 5^\circ$  de surface, détectés par le radar précipitation du satellite TRMM pendant 5 ans d'observations. Les systèmes dont plus de 40% de la section vue depuis l'espace percent la base de la TTL sont repérés par des croix. Les systèmes dont la section vue depuis l'espace est supérieure à  $10^5 \text{ km}^2$  sont repérés par des losanges. Tirés (a) de Liu and Zipser (2015) et (b) de Liu and Zipser (2005), reproduits avec l'autorisation de l'*American Geophysical Union*.

pour conduire à la condensation de vapeur d'eau et à l'apparition des premiers nuages, les cumulus humilis (dits « cumulus de beau temps »). Lorsque l'atmosphère est suffisamment instable, la convection continue de se développer, et les masses d'air passent le niveau de convection libre, c'est-à-dire le niveau à partir duquel les masses d'air connaissent une longue ascension pendant laquelle elles sont moins denses que leur environnement. Seul le mélange des masses d'air avec leur environnement affecte leur ascension, des nuages convectifs plus développés sur la verticale apparaissent : les cumulus congestus. Les précipitations et les poches froides associées (courants descendants, froids et denses, dus à l'évaporation des précipitations) poussent l'air chaud et humide de la surface à s'élever à former des cellules convectives plus larges, suffisamment larges pour ne pas être rapidement diluées lors de leur ascension dans la troposphère libre (Khairoutdinov and Randall, 2006). La vapeur d'eau transportée par ces larges cellules condense jusqu'en haute troposphère et forme les premiers cumulonimbus, caractérisés par leur sommet aplati en forme d'enclume. Une fois l'activité convective terminée, le cumulonimbus se dissipe mais son enclume persiste souvent sous la forme d'épais cirrus (nuages de haute altitude).

Sous les tropiques, la distribution en taille des cumulus est trimodale (Johnson et al., 1999) : les cumulus humilis, les cumulus congestus et les cumulonimbus coexistent et forment des populations dont les tailles sont assez distinctes. L'altitude du sommet des cumulus humilis et des cumulus congestus correspondent aux couches stables observées au-dessus de la couche limite et au niveau de congélation. Les cumulus humilis et cumulus congestus peuplent également les abords des cumulonimbus. Les poches froides générées sous les cumulonimbus sont à l'origine de ces plus petits voisins, elles entretiennent la distribution trimodale des cumulus (Khairoutdinov et al., 2009).

## 1.2 Mécanismes de la convection

La convection est l'ascension dans l'atmosphère de masses d'air chaudes et humides (peu denses) depuis la surface. Lors de cette ascension, les masses d'air se détendent et se refroidissent, car la pression atmosphérique diminue avec l'altitude. Leur ascension est entretenue tant qu'elles sont moins denses que l'air environnant, c'est-à-dire plus chaudes et/ou plus humides. Dans une première approximation, la densité des masses d'air dépend plus de leur température que de leur humidité. Pour pouvoir comparer les températures de masses d'air à des niveaux de pression différents, la **température potentielle**  $\theta$  est définie en prenant en compte le refroidissement par détente et en supposant que cette détente se fasse de manière réversible et adiabatique, c'est-à-dire sans échange d'énergie ou de masse avec l'environnement :

$$\theta = T \left( \frac{p}{p_0} \right)^{-R/c_p} \quad (1.1)$$

où  $T$  est la température,  $p$  la pression,  $p_0 = 1000$  hPa est une pression de référence,  $R \simeq 287$  J/kg/K est la constante de l'air et  $c_p \simeq 1006$  J/kg/K est la capacité thermique massique de l'air. Si l'ascension est maintenue et que la température diminue au point que les masses d'air arrivent à saturation en vapeur d'eau, la vapeur d'eau qu'elles contiennent condense, forme des gouttelettes nuageuses et libère la chaleur latente de condensation. Cette chaleur dépend de la masse d'eau qui condense et de la température. À  $0^\circ\text{C}$ , elle vaut  $L_v = 2,5 \cdot 10^6$  J/kg. Le dégagement de chaleur latente augmente la flottabilité des masses d'air et leur permet de s'élever encore plus haut. Toujours dans l'idée de pouvoir comparer les températures de masses d'air à des niveaux différents, la **température potentielle équivalente**  $\theta_e$  est définie en prenant en compte à la fois le refroidissement par détente et le chauffage par dégagement de chaleur latente, en supposant que

toute la vapeur condense sous la forme d'eau liquide. Une expression simplifiée est présentée ci-dessous, suivant Holton (2004) :

$$\theta_e \simeq \theta \exp \left[ \frac{L_v r_v}{c_p T} \right] \quad (1.2)$$

où  $r_v$  est le rapport de mélange en vapeur d'eau. Une formulation plus détaillée est donnée par Emanuel (1994) afin que  $\theta_e$  soit strictement conservée lors de transformations adiabatiques réversibles. De manière similaire, lorsque la température descend en-dessous de 0°C, la congélation de l'eau liquide et la déposition de vapeur sur les cristaux de glace produisent un dégagement supplémentaire de chaleur latente, conduisant à la définition d'autres températures potentielles équivalentes incluant la présence de phase glacée.

## Force d'Archimède et flottabilité

La flottabilité  $b$  est l'accélération due à la force d'Archimède qu'une masse d'air subit lorsqu'elle a une densité différente de celle de son environnement. La densité d'une masse d'air  $\rho$  est fonction de sa température, de son humidité (car la vapeur d'eau est un gaz moins dense que l'air sec) et de sa charge en hydrométéores. Lorsque l'on néglige le volume des hydrométéores (5 à 6 ordres de grandeur inférieur au volume de l'air), la **densité**  $\rho$  d'une masse d'air s'exprime (cf. équation 4.3.5 dans Emanuel, 1994) :

$$\rho = \frac{p}{R_d T} \frac{1 + r_T}{1 + r_v / \chi} \quad (1.3)$$

où  $R_d$  est la constante de l'air sec qui vaut 287 J/kg/K,  $r_T$  est le rapport de mélange en eau totale (rapport entre la masse d'eau sous toutes ses phases et la masse d'air sec),  $r_v$  est le rapport de mélange en vapeur d'eau et  $\chi = 0,622$  est le rapport entre la constante de l'air sec et la constante de la vapeur.

La **flottabilité**  $b$  est dérivée de l'équation du mouvement sur la verticale (cf. équation p.6 dans Emanuel, 1994) :

$$b = -g \left( \frac{\rho'}{\bar{\rho}} \right) \quad (1.4)$$

où  $\bar{\rho}$  est la densité de l'environnement (supposé être homogène horizontalement et à l'équilibre hydrostatique) et  $\rho' = \rho - \bar{\rho}$  est la différence de densité entre la masse d'air et son environnement. La charge en hydrométéores d'une masse d'air en ascension augmente sa densité via le facteur  $r_T$ . Pour les ascendances de convection profonde, la perte de flottabilité qui en résulte peut être significative. Grabowski (2015) indique que cette charge peut compenser le gain en flottabilité issu du dégagement de chaleur latente dû à la congélation des hydrométéores. En d'autres termes, une masse d'air en ascension peut gagner autant en flottabilité en larguant l'eau liquide sous forme de précipitations qu'en la congelant. La charge en hydrométéores, affectant la vigueur de la cellule convective dès la formation du nuage, a un plus grand impact sur l'énergie cinétique maximale de la convection que le dégagement de chaleur latente lié à la congélation (Orville and Chen, 1982).

## Modèle de la particule

Pour évaluer jusqu'à quelle altitude une masse d'air est capable de monter, l'approche historique consiste à faire appel au modèle théorique de la particule (Morton, 1957; Turner, 1973). Ce modèle fait l'approximation que la masse d'air (par la suite appelée « particule ») ne subit pas de mélange avec l'air environnant. Il est possible de représenter son ascension sur un émagramme (fig. 1.3). Au sol, la particule est caractérisée par sa température et sa température de rosée, qui est la température à laquelle son contenu en vapeur d'eau commencera à saturer.

En partant du sol, la particule s'élève d'abord suivant une adiabatique sèche ( $T$  diminue mais  $\theta$  est constante), puis lorsque sa température et sa température de rosée sont égales, elle a atteint le **niveau de condensation** (LCL), qui correspond à la base des nuages. Elle suit ensuite une adiabatique humide ( $T$  continue à diminuer mais  $\theta_e$  est constante). Lorsque sa température dépasse la température de l'environnement, elle a atteint le **niveau de convection libre** (LFC). Elle continue alors son ascension le long de l'adiabatique humide jusqu'à ce que sa température diminue en-dessous de la température de l'environnement, l'altitude correspondante est le **niveau de flottabilité neutre** (LNB).

Lors de son ascension, la particule a traversé une couche atmosphérique où sa température était inférieure à celle de l'environnement et une autre où elle était supérieure. La différence de température correspond à la flottabilité de la particule, c'est-à-dire à son accélération sur la verticale. En intégrant l'aire entre la trajectoire de la particule et le profil de l'environnement dans chacune de ces deux couches, on obtient les valeurs de l'énergie d'inhibition de la convection (*CIN* en anglais) et de l'énergie potentielle de convection disponible (*CAPE* en anglais). La *CAPE* permet d'évaluer l'intensité de convection. Elle sera d'autant plus importante que (1) la trajectoire de la particule est distante du profil de l'environnement et que (2) la couche de flottabilité positive est profonde. Le premier facteur est un indicateur de la flottabilité de la particule pendant son ascension. Plus elle est élevée, plus son ascension sera rapide. Le second facteur est un indicateur de la profondeur de la couche à travers laquelle la convection profonde se développera. La *CIN* caractérise au contraire la barrière d'énergie à franchir pour que la particule en surface atteigne son niveau de convection libre et que la convection profonde se déclenche. Enfin, la particule arrive à son niveau de flottabilité neutre avec une vitesse verticale non-nulle et le dépasse. Ce dépassement donne lieu à une **percée nuageuse** au sommet du cumulonimbus.

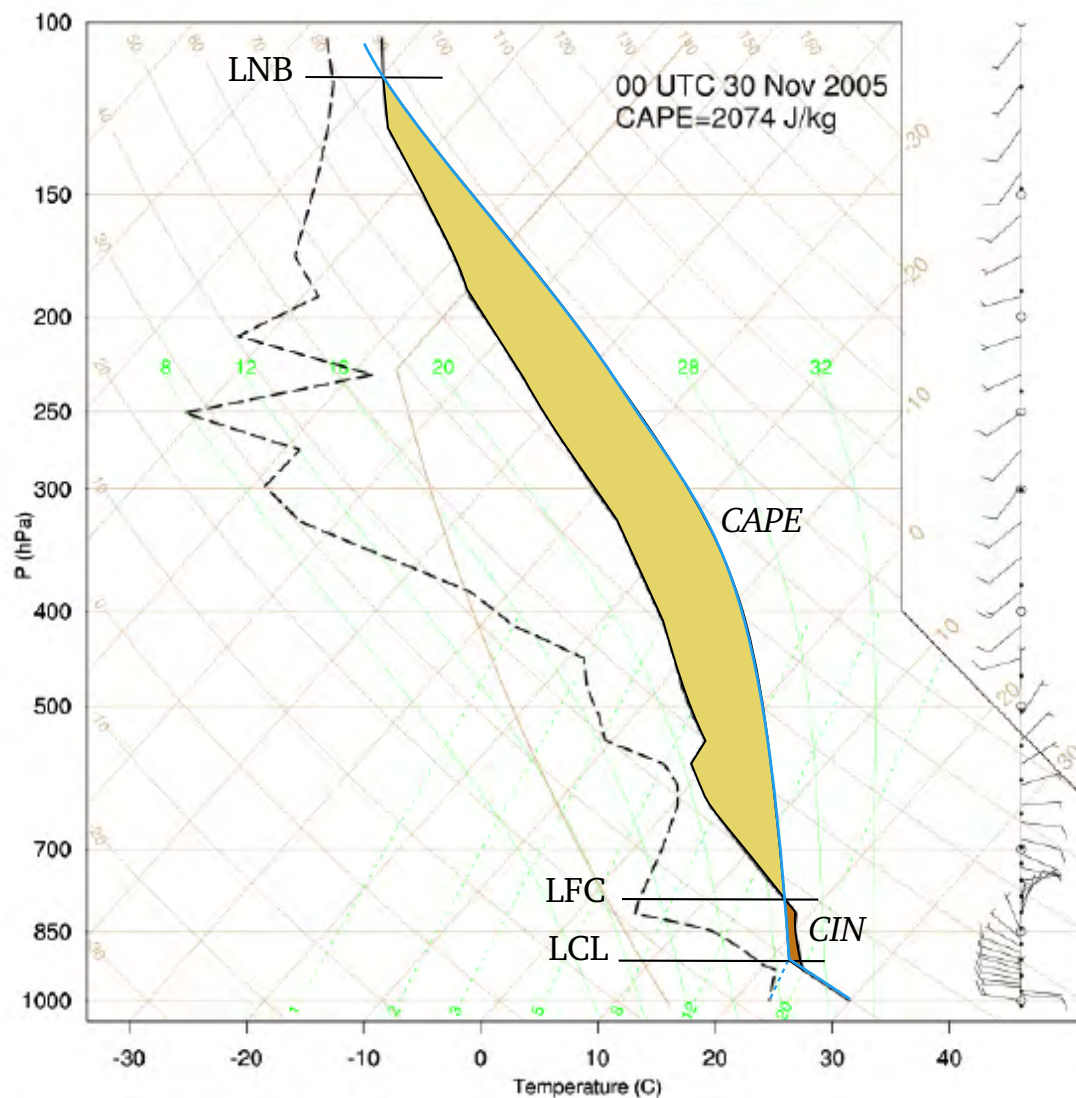


FIGURE 1.3 – Emagramme. En noir : profil de température (trait plein) et profil de température de rosée (trait tireté) issus du radio-sondage au-dessus de Darwin le 30 novembre 2005, à 9h30 heure locale. En bleu : isoligne de la température de rosée pour une particule partant de la surface (trait tireté) et trajectoire de la particule (trait plein) selon une adiabatique sèche jusqu'au niveau de condensation (LCL) puis selon une adiabatique humide jusqu'au niveau de flottabilité neutre (LNB), en passant par le niveau de convection libre (LFC) à partir duquel la température de la particule est supérieure à la température de l'environnement. La CAPE et la CIN sont proportionnelles aux aires respectivement jaune et orange, situées entre les profils du radiosondage et la trajectoire de la particule.



## **Éléments déclencheurs**

Pour que la convection profonde se déclenche, il faut fournir aux masses d'air en surface une énergie suffisante pour dépasser l'inhibition de la convection. Les flux de surface peuvent fournir cette énergie, tandis que d'autres facteurs météorologiques peuvent pousser les masses d'air en surface à dépasser leur niveau de convection libre par une action mécanique. Parmi ces facteurs, on peut citer la brise créée par des hétérogénéités de surface, comme le contraste entre terre et mer (e.g. Wakimoto and Atkins, 1994), le vent anabatique créé par le rayonnement solaire sur les pentes d'un relief, le soulèvement du vent au-dessus d'un relief, la convergence et le soulèvement induits par des poches froides (e.g. Khairoutdinov et al., 2009), la collision entre front de rafale et front de brise (e.g. Kingsmill, 1995), ou encore la convergence de surface à grande échelle créée par des circulations synoptiques comme l'ITCZ.

## **Convergence du flux d'humidité en surface**

En surface, les zones de convergence du flux d'humidité déterminent la position et l'intensité des cellules convectives en contrôlant leur alimentation en air humide. L'intensité de cette convergence dépend à la fois de la convergence à grande échelle, de l'humidité des basses couches et des circulations de méso-échelle (comme les fronts de brise) ou à l'échelle du système (comme les fronts de rafale). La localisation et la géométrie de ces zones de convergence dépendent du relief, des hétérogénéités de surface et des circulations de méso-échelle ou à l'échelle du système.

Lorsque le contenu en vapeur d'eau n'est pas homogène dans la couche limite, les cellules ont tendance à apparaître au-dessus des régions les plus humides (Khairoutdinov and Randall, 2006). Lorsque la convection est déjà active,

les nouvelles cellules de convection profonde ont tendance à apparaître au bord des poches froides qui s'étalent à la surface (Khairoutdinov et al., 2009), au niveau des fronts de rafale. Les nouvelles cellules convectives sont plus larges, moins diluées par l'entraînement et ont tendance à atteindre de plus hautes altitudes que les précédentes (Schlemmer and Hohenegger, 2014). Ainsi, les poches froides, en modulant la convergence en surface, jouent un rôle clé dans l'approfondissement de la convection (Kuang and Bretherton, 2006; Khairoutdinov and Randall, 2006; Khairoutdinov et al., 2009).

## **Importance du cisaillement**

Enfin, d'autres facteurs météorologiques sont favorables au développement de la convection. Le **cisaillement vertical du vent** dans les basses couches organise les cellules convectives de telle sorte que les précipitations et les descentes d'air froid soient décalées de la zone d'alimentation en air chaud et humide du cumulonimbus. Les cellules peuvent alors s'organiser pour donner un orage multicellulaire ou une ligne de grain. Ces systèmes convectifs se propagent et leur durée de vie est notablement plus longue qu'une cellule convective isolée, qui ne dure que 30 à 60 minutes.

## **1.3 Structure des orages**

Un cumulonimbus est fait de gouttelettes nuageuses liquides jusqu'au niveau de congélation, niveau isotherme à 0°C situé vers 5 km d'altitude dans les tropiques. Au-dessus, une partie des gouttelettes congèle et forme des cristaux de glace, le nuage est fait d'eau surfondue et de glace. Au-delà d'une certaine altitude (vers 11 km), la température est suffisamment basse (inférieure à -40°C environ) pour qu'il n'y ait virtuellement plus d'eau liquide, le cumulonimbus est

fait uniquement de particules glacées. Les hydrométéores précipitants (la pluie, la neige, le grésil et la grêle) se forment à l'intérieur du cumulonimbus et constitue une part non-négligeable de sa masse.

Le cumulonimbus est généralement constitué de plusieurs cellules convectives à des stades de maturité différents, on parle d'orage multicellulaire. Quand les cellules initiales sont au stade mature, les premières masses d'air en ascension ont atteint leur niveau de flottabilité neutre et ont transporté de l'eau jusqu'à cette altitude, sous forme d'hydrométéores nuageux (gouttelettes et cristaux) et d'hydrométéores précipitants (pluie, neige, grésil et grêle). Ces masses d'air s'étalent sur l'horizontale à leur niveau de flottabilité neutre, formant l'**enclume** du cumulonimbus. Les courants ascendants, ou **ascendances**, coexistent avec des courants subsidents, ou **subsidences**, qui se sont formés suite à l'évaporation d'une partie des hydrométéores. En effet, l'évaporation est un processus endothermique qui absorbe la chaleur des masses d'air et diminue ainsi leur flottabilité. Une fois qu'une cellule convective n'est plus alimentée en air chaud et humide de la surface, son ascendance cesse et il ne reste plus que la subsidence et l'amas nuageux formé en altitude, c'est le stade de dissipation. Lorsque les subsidences atteignent la surface, leurs masses d'air plus froides et plus denses que l'environnement forment des **poches froides** qui s'étalent sur le sol, provoquant des **fronts de rafales** à leurs bords. Les poches froides agissent comme des fronts froids au niveau des fronts de rafales, poussant et soulevant les masses d'air chaudes et humides encore en surface et déclenchant dans certains cas de nouvelles cellules convective. Si ces nouvelles cellules convectives contiennent des masses d'air particulièrement énergétiques, ces masses d'air pourront continuer leur ascension au-delà de leur niveau de flottabilité neutre, formant des **percées nuageuses** ou dômes protubérants au sommet du cumulonimbus.

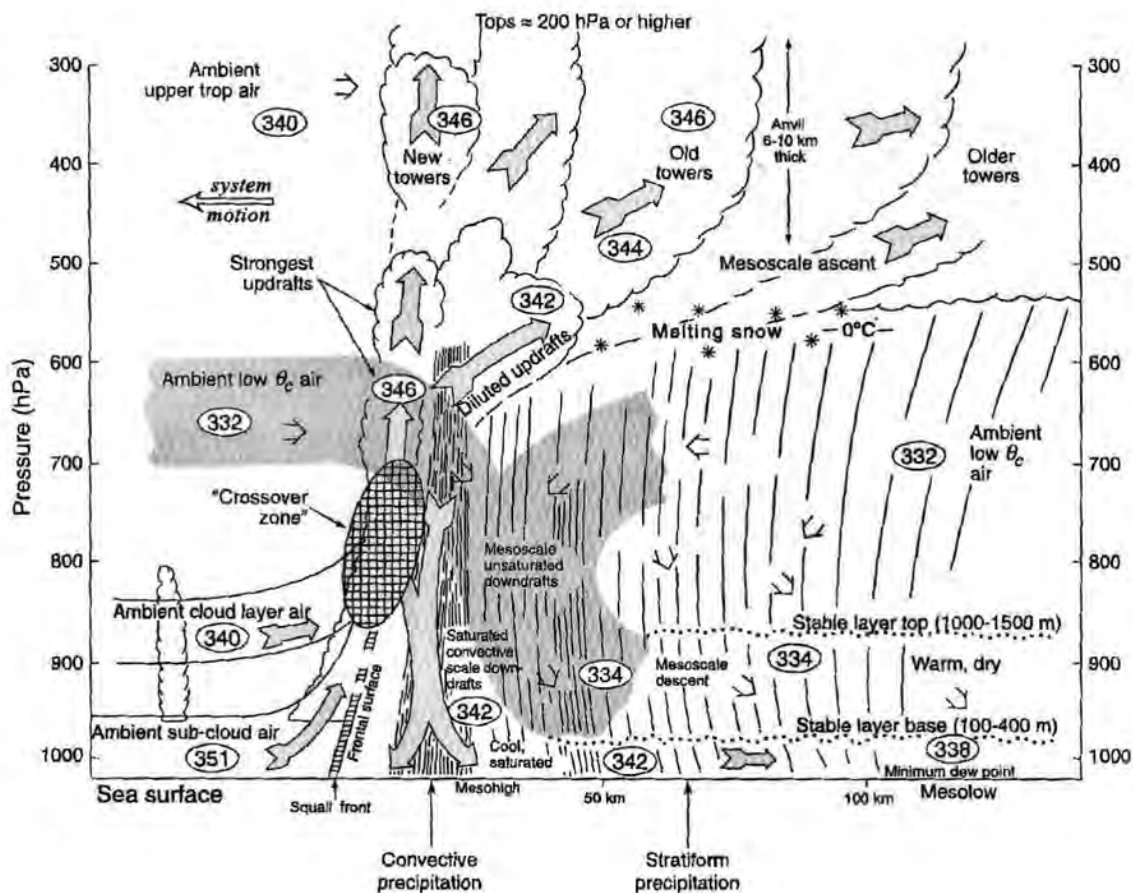


FIGURE 1.4 – Modèle conceptuel d'une ligne de grains tropicale océanique. Tous les flux sont relatifs à la ligne de grain qui se déplace de droite à gauche. Les nombres dans les ellipses sont des valeurs typiques de  $\theta_e$ . Tiré de Zipser (1977), reproduit avec l'autorisation de l'*American Meteorological Society*.

La figure 1.4 représente schématiquement une coupe à travers une ligne de grain, qui est un orage multicellulaire dont les cellules convectives sont alignées. On y retrouve les ascendances et les subsidences, ainsi qu'un front de rafale (*squall front*) à l'avant du système qui soulève l'air chaud et humide de la couche limite. Les valeurs de  $\theta_e$  de l'air dans le système et dans son environnement sont données à titre indicatif. La **partie convective** avec les ascendances et subsidences rapides à l'avant du système se distingue clairement de la **partie stratiforme** (Houze, 1997) à l'arrière du système.

## Les ascendances

Les **ascendances** sont définies comme les régions des nuages où les masses d'air montent sous l'effet de la convection. Elles sont le lieu d'un transport de masse irréversible vers le haut. Elles sont à distinguer des ondes de gravité, qui, lorsqu'elles ne déferlent pas, ne transportent pas de masse. La distinction entre les deux n'est pas facile car la convection génère des ondes de gravité (Lane et al., 2001), les ascendances et les ondes sont alors simultanées et presque co-localisées (Pauluis and Mrowiec, 2013). L'intensité et la taille des ascendances sont très variables, et dépendent surtout de la taille de la cellule convective dont elles font partie (Schumacher et al., 2015; Yang et al., 2016). La plupart des ascendances (70 à 90 %) font moins de 500 m de large (Yang et al., 2016) et contribuent en général significativement au flux de masse (de l'ordre de 20 à 35 %). Dans les cumulonimbus tropicaux, les ascendances les plus grandes font plusieurs kilomètres de largeur (jusqu'à 4 km de large jusqu'à 4 km d'altitude et jusqu'à 7 km au-delà, Yang et al., 2016), et plus de 17 km sur la verticale (Varble et al., 2014). Elles présentent des vitesses verticales très élevées, pouvant dépasser 10 m/s entre 2 km d'altitude et la tropopause (Varble et al., 2014; Yang et al., 2016). Les distributions des vitesses verticales indiquent que les vitesses les plus élevées se trouvent vers 10 km d'altitude (Schumacher et al., 2015), avec plus de 11 m/s en valeur médiane et plus de 22 m/s pour le 90<sup>ème</sup> centile (Varble et al., 2014). En comparaison, la convection peu profonde et les cumulus congestus présentent des vitesses verticales maximales vers 4 km, avec respectivement 6 m/s et 8 m/s (Schumacher et al., 2015). Les nuages stratiformes et les enclumes des cumulonimbus présentent aussi des ascendances, avec des vitesses verticales maximales respectivement de l'ordre de 1,5 et 1 m/s.

Selon les situations, les ascendances peuvent être vues comme des panaches stationnaires, c'est le cas notamment des ascendances hautes à l'intérieur des

orages ; ou alors comme des bulles passagères, ce qui est plus approprié pour les petits nuages, aussi larges que hauts (Squires and Turner, 1962; de Rooy et al., 2013), ou en phase de développement (Sherwood et al., 2013). Cependant, des observations (e.g. Ludlam and Scorer, 1953) et des études basées sur des simulations LES (Zhao and Austin, 2005; Heus et al., 2009) ont montré que les systèmes convectifs particulièrement grands et avec une longue durée de vie abritent des successions de bulles qui s'élèvent depuis à peu près le même endroit, chacune montant plus haut que les bulles précédentes. En adoptant le paradigme des bulles, Sherwood et al. (2013) suggèrent que l'entraînement d'air environnant dans les ascendances affecte nettement moins leur quantité de mouvement que leurs concentrations en constituants matériels. Yano (2014) rappelle que le modèle du panache stationnaire pour représenter les ascendances n'est *a priori* pas compatible avec la vision des ascendances en tant que succession de bulles. Ceci n'invalide pas nécessairement la capacité du modèle du panache à représenter l'effet collectif des ascendances (transport de masse, chauffage convectif, etc.).

L'air dans les ascendances de convection profonde a d'abord été supposé venir de la couche limite uniquement, selon le modèle de la zone d'enjambement (*crossover zone* en anglais, voir fig. 1.4) mis en avant par Betts (1976) et Zipser (1977). Des analyse d'observation radar et de simulations ont remis en cause ce modèle en montrant l'importance de l'alimentation de la convection par des masses d'air venant d'une couche plus profonde que la couche limite seule (Kingsmill and Houze, 1999; Bryan and Fritsch, 2000), en particulier lorsque la troposphère libre est humide (Mechem et al., 2002). En étudiant les trajectoires de masses d'air initialisées dans la couche limite et dans la troposphère libre à l'avant d'une ligne de grain, McGee and van den Heever (2014) ont montré que, en effet, les ascendances atteignant au moins 10 km d'altitude sont composées principalement d'air provenant d'altitudes supérieures à 2 km. Cependant, les

ascendances les plus puissantes contiennent de l'air venant d'une couche bien plus réduite près de la surface. Les masses d'air provenant de la basse troposphère libre (4 à 6 km d'altitude) ont des vitesses verticales moyennes plus faibles en haute troposphère et semblent alimenter davantage la périphérie des ascendances ou les ascendances moins intenses.

## Les subsidences

Les **subsidences** sont, symétriquement aux ascendances, les régions du cumulonimbus où les masses d'air descendent de manière irréversible. Certaines apparaissent au bord des ascendances, là où l'air nuageux se mélange avec l'air environnant et les hydrométéores s'évaporent, diminuant la flottabilité des masses d'air (Jonas, 1990; Rodts et al., 2003; Heus and Jonker, 2008; de Rooy et al., 2013; Glenn and Krueger, 2014). Ces subsidences forment des sortes de coquilles ou **gainés subsidentes** autour des ascendances. Pour la convection peu profonde, ces gainés subsidentes induisent un flux de masse vers le bas comparable au flux de masse des ascendances (Jonker et al., 2008; Heus et al., 2009). Les ensembles constitués des ascendances et de leurs gainés subsidentes rappellent la vision en bulles chaudes des ascendances, dans lesquelles la circulation d'air s'organise sous la forme d'un tore (Sherwood et al., 2013; Yano, 2014).

## Les poches froides

D'autres subsidences se forment là où la pluie précipite dans des masses d'air sous-saturées. L'évaporation de la pluie conduit là aussi à une diminution de la température et de la flottabilité. Ces subsidences atteignent rapidement le sol et forment des **poches froides** qui s'étalent sous l'effet de leur densité importante (Byers and Braham Jr., 1949; Simpson, 1999). Ces poches 2 à 3 degrés Celsius

plus froides que leur environnement (Young et al., 1995), induisent une hausse du flux de chaleur sensible d'un facteur deux à quatre (Young et al., 1995; Tompkins, 2001a). Elles peuvent faire 3 à 7 km de rayon et durer 2h30 dans le cas de convection isolée (Feng et al., 2015). Pour la convection multicellulaire, les poches froides peuvent entrer en collision. Dans ce cas, elles sont plus intenses (en terme de flottabilité négative) et plus profondes que les poches froides isolées (Feng et al., 2015). Elles jouent un rôle décisif dans le déclenchement de nouvelles cellules convectives (Byers and Braham Jr., 1949) qui apparaissent au-dessus de leurs bords où  $\theta_e$  est élevée (Tompkins, 2001a). Les poches froides déclenchent les nouvelles cellules convectives à la fois de manière dynamique, en soulevant les masses d'air de la surface, et thermodynamique, en aidant réduisant l'inhibition (la *CIN*) rencontrées par ces masses d'air avant d'atteindre leur niveau de convection libre (Torri et al., 2015). Les nouvelles cellules convectives sont en général plus larges et plus hautes que les précédentes (Schlemmer and Hohenegger, 2014). La représentation des poches froides et leur rôle dans le déclenchement de nouvelles cellules convectives est un défi pour les modèles qui ne résolvent pas explicitement les nuages, en particulier à cause de leur nature propagative (Grandpeix et al., 2010).

## **Les percées nuageuses**

Les **percées nuageuses** sont les extensions du cumulonimbus au-delà de son sommet plat. Elles peuvent mesurer plusieurs kilomètres de haut et sont formées par les ascendances qui atteignent les plus hautes altitudes. Certaines dépassent même la tropopause de quelques kilomètres (de Reus et al., 2009), atteignant jusqu'à 19-20 km d'altitude. Une percée nuageuse est un phénomène local et bref. Elle se développe du sommet du cumulonimbus à son altitude maximale en 10-30 min, puis s'affaisse en une quarantaine de minutes (Chaboureau et al.,



2007; Frey et al., 2015) sous l'effet de la flottabilité négative des masse d'air qui la constituent. Elle peut conduire à une anomalie positive en vapeur d'eau aux altitudes les plus hautes atteintes (Grosvenor et al., 2007; Chaboureau et al., 2007). La masse nuageuse restante forme alors un dôme au sommet du cumulonimbus. Les percées nuageuses et les dômes peuvent couvrir des surfaces de l'ordre de la centaine de kilomètres carrés à 14-16 km d'altitude, de la dizaine de kilomètres carrés à 16-18 km d'altitude et du kilomètre carré au-delà (Corti et al., 2008; Hassim and Lane, 2010). Il est possible de les observer depuis les avions qui volent suffisamment haut, depuis l'espace, grâce à leur température de brillance particulièrement basse (jusqu'à  $-90^{\circ}\text{C}$  environ) (Chaboureau et al., 2007; Young et al., 2012), et depuis le sol par radar, mais dans ce cas les observations sont partielles et doivent être corrigées (Hassim and Lane, 2010). La taille réduite et le temps de vie court des percées nuageuses pendant leur phase de croissance les rendent difficiles à représenter dans les modèles atmosphériques, malgré leur importance pour le transport (Pommereau, 2010). Pour des orages tropicaux du Brésil et du Pacifique ouest, Chaboureau et al. (2007) et Dessler (2002) ont calculé un flux de masse de la troposphère vers la stratosphère associées aux percées nuageuses de l'ordre de  $10^{-4}$  kg/m<sup>2</sup>/s. Les percées nuageuses provoquent également d'intenses subsidences, conduisant à un transport d'air stratosphérique en troposphère (Frey et al., 2015).

## **1.4 Processus diabatiques**

### **Processus microphysiques**

Les changements de phase du contenu en eau d'une masse d'air dégagent ou absorbent de la chaleur latente. Cet échange de chaleur se fait directement avec

la masse d'air et affecte son énergie thermique  $c_p T$ . La condensation et l'évaporation dégage et absorbe, respectivement, la chaleur latente de vaporisation  $L_v$ , dont la valeur varie avec la température.  $L_v$  vaut  $2,5 \cdot 10^6$  J/kg à  $0^\circ\text{C}$ . La congélation et le givrage dégagent la chaleur latente de fusion  $L_f$ , tandis que la fonte conduit à une absorption de chaleur latente de fusion.  $L_f$  varie peu avec la température, elle vaut respectivement  $0,33$  et  $0,24 \cdot 10^6$  J/kg à  $0$  et  $-40^\circ\text{C}$ . La déposition de vapeur sur les cristaux de glace dégage la chaleur latente de sublimation  $L_s$ , tandis que la sublimation des cristaux de glace conduit à une absorption de chaleur latente de sublimation.  $L_s$ , qui est la somme de  $L_v$  et  $L_f$ , varie très peu aux températures négatives.  $L_s$  vaut  $2,83 \cdot 10^6$  J/kg entre  $0$  et  $-100^\circ\text{C}$ .

Pour évaluer l'importance relative des processus microphysiques dans le dégagement de chaleur latente, McGee and van den Heever (2014) ont calculé le bilan des taux chauffage pour des masses d'air alimentant une ligne de grain tropicale simulée par le modèle atmosphérique RAMS (Cotton et al., 2003) doté d'un schéma microphysique sophistiqué. En-dessous de 6 km d'altitude, le dégagement de chaleur latente provient principalement de la nucléation des gouttelettes de nuage (jusqu'à  $+80$  K/h environ) et de la condensation (jusqu'à  $+40$  K/h environ). À partir du niveau de congélation et jusqu'à 2,5 km au-dessus, le givrage des gouttelettes et la congélation de la pluie contribuent à hauteur de  $+8$  à  $12$  K/h environ. Entre 6 et 12 km d'altitude, le dégagement de chaleur latente est dominé par la déposition de vapeur sur les hydrométéores glacés, avec des taux de chauffage supérieurs à  $+40$  K/h atteignant parfois  $+100$  K/h entre 6 et 8 km. Ce taux de chauffage conséquent peut s'expliquer par la valeur élevée de la chaleur latente de sublimation et par l'importance du processus de Bergeron qui provoque l'évaporation des hydrométéores liquides et la déposition de vapeur sur la glace, car la pression de vapeur saturante vis-à-vis de la glace est plus basse que celle vis-à-vis de l'eau liquide. Les taux de refroidissement dus à la

fonte des hydrométéores glacés près du niveau de congélation sont de l'ordre de -5 à 10 K/h. Ces bilans sont dressés pour des masses d'air venant de la surface, les taux de chauffage et de refroidissement sont plus modérés pour les masses d'air venant d'altitudes plus élevées. Dans une autre étude avec le modèle RAMS, Seigel and van den Heever (2013) montrent que dégagement et absorption de chaleur latente peuvent avoir lieu en cycle, formant une source d'énergie importante pour les ascendances. Les hydrométéores comme la grêle se forment dans l'ascendance puis en sont rejetés. A l'extérieur ils chutent sous le niveau de congélation et peuvent fondre. En étant réintégrés dans l'ascendance quelques niveaux plus bas, ils peuvent être le lieu d'un nouveau dégagement de chaleur latente en servant de support à la déposition de vapeur ou en congelant. Ce recyclage des hydrométéores est un processus d'intensification de la convection profonde encore peu documenté.

## **Processus radiatifs**

Les transferts radiatifs peuvent également induire un chauffage ou un refroidissement des masses d'air. Cependant, à l'intérieur d'un système de convection profonde et dans son proche environnement, le chauffage par dégagement de chaleur latente domine le chauffage radiatif avec une amplitude supérieure de plusieurs ordres de grandeur (McGee and van den Heever, 2014). Le refroidissement radiatif n'est significatif qu'au sommet du nuage (sur une couche de l'ordre de 1 à 2 km), avec une amplitude de -2 K/h, même si, là aussi, le refroidissement dû à la microphysique domine l'effet radiatif d'un ordre de grandeur au moins.

## Processus turbulents

Les mouvements convectifs (ascendances, subsidences, poches froides) sont par nature turbulents : ils produisent un cisaillement du vent qui génère des tourbillons. Une partie de leur énergie cinétique est transférée par les grands tourbillons vers les tourbillons d'échelle inférieure, jusqu'à une échelle où les forces de viscosité de l'air dissipent l'énergie cinétique (l'échelle de Kolmogorov, de l'ordre de 0,1 mm dans l'atmosphère). On fait généralement référence à ce flux d'énergie des grandes vers les petites échelles par le terme de « cascade d'énergie » (Kolmogorov, 1941). Les tourbillons induisent également des échanges de masses d'air entre les mouvements convectifs et leur environnement. Plus les tourbillons sont grands, plus ils sont efficaces pour incorporer de l'air de l'environnement dans les mouvement convectifs (phénomène d'**entraînement**) et éjecter de l'air de l'ascendance dans l'environnement (contribution au **détraînement**). La turbulence est plus ou moins intense en fonction de la phase de développement du cumulonimbus. Les processus qu'elle induit (entraînement, détraînement, mélange) affectent la dynamique du nuage, en diluant ses propriétés et en diminuant sa flottabilité (Devenish et al., 2012; de Rooy et al., 2013). La compréhension de ces processus est un sujet de recherche important depuis plusieurs décennies (Cotton et al., 2010).

L'interface entre une ascendance et son environnement est le lieu d'une forte turbulence, à cause du fort cisaillement horizontal du vent vertical et des forts gradients de flottabilité. À l'aide d'observations radar Doppler depuis avion, Damiani et al. (2006) ont montré la présence de tourbillons de l'ordre de 500 m à l'interface entre un cumulus et son environnement, favorisant l'intrusion d'air sec au sein du nuage. Par des simulations numériques, Klaassen and Clark (1985) identifient des structures de l'ordre de 125 m à l'interface des nuages, dont l'origine serait liée à des instabilités thermodynamiques comme les instabilités de

Rayleigh-Taylor ou de Kelvin-Helmholtz. Par analogie entre les ascendances et les jets tels qu'ils peuvent être reproduits en laboratoire, plus les ascendances sont larges, plus elles sont susceptibles de conserver sur une longue distance un cœur qui est moins affecté par la turbulence que leurs bords. Dans ce cas, les masses d'air au bord des larges ascendances voient une plus grande dissipation de leur énergie cinétique par la turbulence et une plus grande dilution par mélange avec l'air de l'environnement. Au contraire, au cœur de ces larges ascendances, les masses d'air peuvent monter à grande vitesse et être moins affectées par le mélange avec l'environnement. Ces cœurs convectifs peuvent contribuer significativement au transport convectif. C'est l'hypothèse des *hot towers* décrite plus bas.

## 1.5 Entraînement d'air environnant

L'**entraînement** est l'incorporation, à l'intérieur d'une ascendance, d'air venant de son environnement (la description est valide de la même manière pour une subsidence, un nuage, un ensemble de nuages...). L'entraînement se fait par les côtés de l'ascendance (fig. 1.5), et non par son sommet, comme cela a pu être vérifié par le suivi de masses d'air entraînées dans une étude LES (Heus and Jonker, 2008). L'entraînement d'air par les ascendances permet l'augmentation du flux de masse convectif avec l'altitude (e.g. de Rooy et al., 2013). Certaines quantités, comme le contenu total en eau, sont conservées à l'échelle du système constitué de l'ascendance et de l'air entraîné. Ainsi, l'entraînement d'air conduit à une **dilution** du contenu en eau de l'ascendance, et de la même manière, du contenu en tout autre constituant moins présent dans l'environnement que dans l'ascendance.

Le mélange de l'ascendance et de l'air environnant peut conduire à la formation d'hydrométéores ou à leur changement de phase. Par exemple, lorsque l'air de l'ascendance est saturé en vapeur d'eau et contient des hydrométéores, si l'air de l'environnement est sous-saturé alors leur mélange conduit à l'évaporation d'une partie des hydrométéores, ce qui absorbe de la chaleur latente et diminue la flottabilité.

Dans une cellule de convection profonde, sous le niveau de congélation, la température équivalente potentielle  $\theta_e$  des masses d'air provenant de la surface diminue à cause de l'entraînement et du mélange avec l'air environnant plus sec (fig. 1.4). Cet effet est compensé au-dessus du niveau de congélation par le dégagement de chaleur latente due à la congélation et à la déposition de vapeur sur les cristaux de glace (McGee and van den Heever, 2014). En contribuant aux changements de  $\theta_e$  des masses d'air en ascension, l'entraînement affecte l'altitude à laquelle la convection entraîne des hydrométéores et humidifie l'environnement.

## **Modèle *bulk***

Il est possible de modéliser l'entraînement avec un modèle à deux réservoirs. Un réservoir (*bulk* en anglais) est constitué par les ascendances (les variables de ce réservoir porteront l'indice  $u$ ) ; l'autre réservoir, l'environnement, contient tout le reste de l'atmosphère (les variables de ce réservoir porteront l'indice  $e$ ). Le modèle se base sur une variable conservative  $q$ , c'est-à-dire une variable qui est conservée en l'absence de mélange et dont la valeur varie comme le barycentre des valeurs en cas de mélange. Il est possible de considérer le rapport de mélange en eau totale par exemple (rapport de la masse d'eau sous toutes ses phases sur la masse d'air sec). Ce modèle fait l'hypothèse que les variations de  $q$  sur la verticale sont le fait du mélange de l'air du réservoir  $u$  (ascendances) avec une

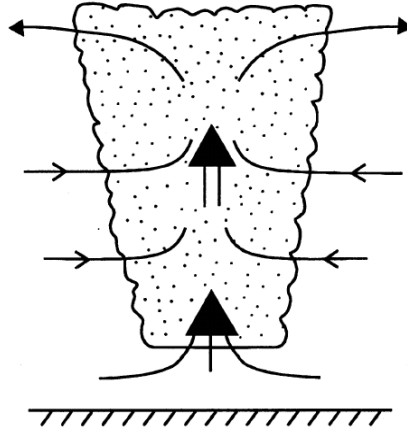


FIGURE 1.5 – Le modèle du panache pour une ascendance nuageuse, sur lequel s'appuie le modèle *bulk* de l'entraînement. L'air est entraîné sur les côtés et il est supposé être rapidement et uniformément mélangé à l'intérieur de l'ascendance. L'ascendance nuageuse détraîne principalement à son niveau de flottabilité neutre. Reproduit de Bretherton (1997) (avec l'autorisation de Springer Science+Business Media Dordrecht) qui l'a adapté de Arakawa and Schubert (1974).

partie de l'air du réservoir  $e$  (environnement). Ce mélange est caractérisé par le taux d'entraînement  $\epsilon$ , calculé de la manière suivante (e.g. de Rooy et al., 2013) :

$$\frac{\partial q_u}{\partial z} = \epsilon (q_e - q_u) \quad (1.5)$$

Le modèle relie les variations du flux de masse convectif  $M_u = \int_u \rho w$  au taux d'entraînement  $\epsilon$  par la formule suivante :

$$\frac{\partial M_u}{\partial z} = (\epsilon - \delta) M_u \quad (1.6)$$

où  $\delta$  est le taux de détraînement qui représente la masse qui quitte le réservoir des ascendances pour rejoindre celui de l'environnement.

Le calcul des taux d'entraînement et de détraînement à partir des propriétés des ascendances et de l'environnement issues de simulation LES indique que ces taux diminuent avec la taille des ascendances (Kuang and Bretherton, 2006; Khairoutdinov and Randall, 2006; Del Genio and Wu, 2010; de Rooy et al.,

2013). Lorsque la base des ascendances se trouve sous la base du nuage, leur taux d'entraînement est particulièrement élevé, de l'ordre de 2 /km (Del Genio and Wu, 2010; de Rooy et al., 2013). L'entraînement est minimum au niveau de la base des nuages, ou légèrement au-dessus, avec des valeurs allant de 0,5 à 0,2 /km en fonction de la taille des ascendances. Le taux d'entraînement reprend des valeurs de l'ordre de 2 /km au sommet de la convection peu profonde et des cumulus congestus de convection continentale (Del Genio and Wu, 2010), ce qui n'est pas observé pour la convection océanique (de Rooy et al., 2013). À mesure que la convection se développe, l'entraînement diminue. Pour la convection profonde, l'entraînement est de l'ordre de 0,2 et 0,5 /km, à la base et au sommet des ascendances, respectivement.

Le taux de déentraînement présente des amplitudes et des variations dans le temps beaucoup plus larges que le taux d'entraînement (de Rooy and Siebesma, 2008). Le taux de déentraînement est maximal juste en-dessous du sommet du nuage. Le long de l'ascendance, plus l'ascendance est développée verticalement, plus le taux de déentraînement est faible. De plus, le profil du flux de masse  $M$  apparaît bien plus sensible au taux de déentraînement qu'au taux d'entraînement, mais il dépend aussi des propriétés des ascendances elles-mêmes (comme leur flottabilité) (de Rooy and Siebesma, 2008) et de l'humidité de l'environnement (Derbyshire et al., 2004).

D'autres approches que le modèle *bulk* cherchent à relier les taux d'entraînement et de déentraînement à l'organisation de méso-échelle de la convection lorsque des poches froides apparaissent (e.g. Hohenegger and Bretherton, 2011). En particulier, le fait que l'entraînement latéral à la base des ascendances diminue à mesure que la convection s'approfondit semble être lié au fait que la vitesse verticale à la base des ascendances est plus élevée lorsque celles-ci apparaissent au-dessus des fronts de rafales provoqués par les poches froides (Del Genio and



Wu, 2010). L'humidité de la troposphère libre semble également influencer ces taux, mais il n'y a pas de consensus sur l'effet net. Dans l'approche de Kain and Fritsch (1990), le taux d'entraînement est augmenté lorsque l'humidité de la troposphère libre est plus élevée, tandis que c'est l'inverse dans l'approche de Bechtold et al. (2008). Cette dernière a l'avantage d'avoir nettement amélioré les performances de prévision du modèle du Centre européen pour les prévisions météorologiques à moyen terme (connu sous l'acronyme anglais ECMWF).

### **Hypothèse des « *hot towers* »**

La convection profonde est la force motrice de la circulation de Hadley, circulation faite d'une branche ascendante près de l'équateur et d'une branche subsidente au niveau des tropiques du Cancer et du Capricorne. À la suite de campagnes de mesures, Riehl and Malkus (1958) ont émis l'hypothèse qu'il existait des tours chaudes non-diluées, pilotant la circulation de Hadley. Cette hypothèse, depuis lors appelée *hot tower*, n'a pas été confirmée par les campagnes de mesure ultérieures. Ces campagnes n'ont rapporté que peu de preuves de l'existence de tours convectives non-diluées (e.g. LeMone and Zipser, 1980; Anderson et al., 2005). La dilution par l'environnement est bien présente et son effet refroidissant est dominant dans les basses couches, mais le chauffage par la microphysique glacée compense cet effet dans la moyenne et la haute troposphère (Zipser, 2003; Fierro et al., 2009; McGee and van den Heever, 2014). Ce chauffage par dégagement de chaleur latente est suffisant pour que les masses d'air de la surface atteignent la haute troposphère tropicale (Romps and Kuang, 2010). Fierro et al. (2009) ont finalement proposé une nouvelle définition des « *hot towers* » : n'importe quelle tour convective dont la base se trouve dans la couche limite et le sommet dans la haute troposphère tropicale, voire au-delà.

## **Entraînement d'air humidifié par la convection antérieure**

L'**humidification de la troposphère** par la convection antérieure, que ce soit à grande échelle comme lors du passage d'une onde de Madden-Julian, ou à l'échelle locale lorsque plusieurs cellules convectives se succèdent, est favorable au développement vertical de la convection (Lin and Johnson, 1996; Tompkins, 2001b; Chaboureau et al., 2004). En effet, lorsque l'air environnant est humide, la dilution des masses d'air chaudes et humides pendant leur ascension diminue moins leur flottabilité que lorsqu'il est sec (Holloway and Neelin, 2009). L'humidification de la troposphère pourrait également contribuer au contrôle du cycle diurne de la convection (Chaboureau et al., 2004) : la convection peu profonde transporte de la vapeur d'eau dans la basse troposphère libre jusqu'à ce que l'humidité y est suffisamment proche de la saturation, réduisant l'inhibition de la convection et permettant à la convection profonde de démarrer. Cependant, Hohenegger and Stevens (2013) indiquent que l'humidification de la troposphère libre par les cumulus congestus serait trop lente pour expliquer la transition en quelques heures de la convection peu profonde à profonde, et que celle-ci serait davantage déclenchée par une ascension forcée, que ce soit par une circulation de grande échelle ou de méso-échelle, des ondes, des poches froides, etc. Dans ce cas, la troposphère serait humidifiée plutôt par de la convergence d'humidité.

## **Entraînement d'air au-dessus du niveau de flottabilité neutre**

Au-dessus du niveau de flottabilité neutre, les masses d'air des ascendances sont plus denses que leur environnement et extrêmement froides. L'entraînement d'air environnant diminue la densité des ascendances et leur permet d'atteindre des altitudes supérieures à celles estimées par le modèle de la particule (fig. 1.6). L'entraînement d'air de la TTL ou de la stratosphère dans les percées

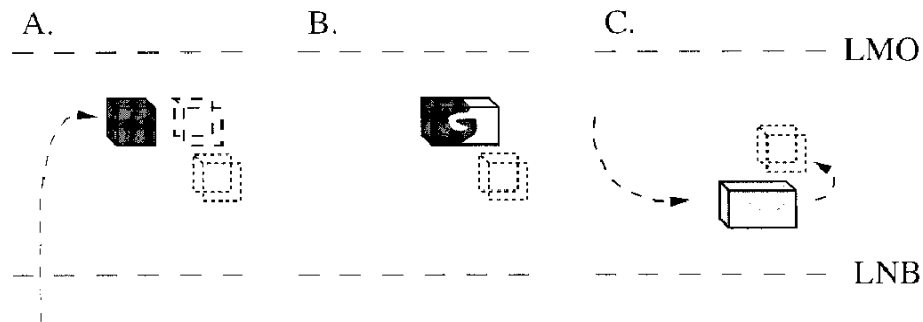


FIGURE 1.6 – Processus de mélange permettant aux percées nuageuses de se stabiliser au-dessus du sommet du cumulonimbus. (A) La masse d’air de la percée nuageuse dépasse son niveau de flottabilité neutre (LNB). (B) Elle se mélange avec l’air environnant. (C) Le mélange se stabilise au-dessus du LNB initial. La couche entre la LNB et le niveau maximum de percée (LMO) correspond à la TTL et a un rôle similaire à la couche d’entraînement. Tiré de Sherwood and Dessler (2001) avec l’autorisation de l’*American Meteorological Society*.

nuageuses est semblable à l’entraînement par les ascendances peu profondes au-dessus de la couche limite atmosphérique (Sherwood and Dessler, 2001). Ce processus contribue à la capacité des percées nuageuses au sommet des cumulonimbus à atteindre la stratosphère. Le mélange turbulent dans les percées nuageuses qui atteignent la stratosphère participe au refroidissement observé environ 1 km au-dessus du point froid (jusqu’à -4 K en moyenne d’après Pomereau and Held, 2007) et à un flux descendant de chaleur (Sherwood et al., 2003; Robinson and Sherwood, 2006). Comme les percées nuageuses sont particulièrement froides, le chauffage radiatif pourrait également contribuer à leur ascension jusqu’en stratosphère (Sherwood and Dessler, 2000; Dessler, 2002).

# Chapitre 2

## Simulations de *Hector the Convectoid*

### 2.1 *Hector the Convectoid*, un laboratoire naturel

Hector (fig. 1.1) est un orage multicellulaire qui se développe régulièrement au-dessus des îles Tiwi (Fig. 2.1), à l'extrême nord de l'Australie (Fig. 2.2). C'est l'un des plus grands orages sur Terre (Zipser et al., 2006), avec un sommet pouvant atteindre jusqu'à 20 km d'altitude. Lorsqu'il est complètement développé, Hector recouvre une surface comparable à celle des îles Tiwi, soit 170 km d'est en ouest et 90 km du nord au sud. Ses dimensions exceptionnelles et sa position isolée le rendent visible à une centaine de kilomètres à la ronde, comme par exemple depuis Darwin, capitale de l'état australien *Northern Territory*, située sur le littoral à 100 km au sud des îles Tiwi. Hector se développe en fin de matinée, son intensité est maximum dans l'après-midi et il se dissipe en fin de journée. Environ 75 % des cas sont détectés entre 15h30 et 18h30<sup>1</sup> (Keenan et al., 1989). Du fait de sa position isolée, de sa régularité et de ses dimensions, Hector est devenu une référence géographique pour les pilotes et les marins, qui, pendant la seconde guerre mondiale, l'ont surnommé *Hector the Convectoid*.

---

1. Toutes les heures sont exprimées en **heure locale**, soit UTC + 9h30.



FIGURE 2.1 – Les îles Tiwi (Bathurst à l'ouest et Melville à l'est) vues depuis le satellite Landsat 7. L'archipel mesure 170 km d'est en ouest et 90 km du nord au sud.

Les îles Tiwi (fig. 2.1) sont baignées par les eaux chaudes de la *Warm Pool* (fig. 2.2, la température de surface de la mer varie entre 29 et 31°C toute l'année, sauf en juin-juillet-août où la température est plus basse de 1 à 3 degrés). Le relief de ces îles est assez plat, quelques petites collines culminent à 80 m de haut, 120 m pour la plus haute. Les îles sont recouvertes de forêt d'eucalyptus et de mangrove au niveau des côtes (Carbone et al., 2000). Le peuple aborigène Tiwi, qui compte aujourd'hui environ 2 500 personnes, vit sur ces îles depuis plus de 7 000 ans. Les saisons humides et les saisons sèches sont dictées par le flux de mousson. 90 % des pluies annuelles tombent pendant la saison humide, qui dure de novembre à avril approximativement (Keenan and Carbone, 1992). Le flux de mousson vient de la basse troposphère équatoriale, et passe au-dessus des îles Tiwi de l'ouest vers l'est. Pendant la mousson, le cisaillement vertical du vent horizontal est limité à la couche limite atmosphérique (1,5 km au-dessus de la surface) (Keenan and Carbone, 1992), les contrastes thermiques terre-mer sont peu marqués du fait des fortes pluies qui gorgent le sol d'eau (Ferretti and Gentile, 2009), la convection est alors peu vigoureuse (les systèmes convectifs

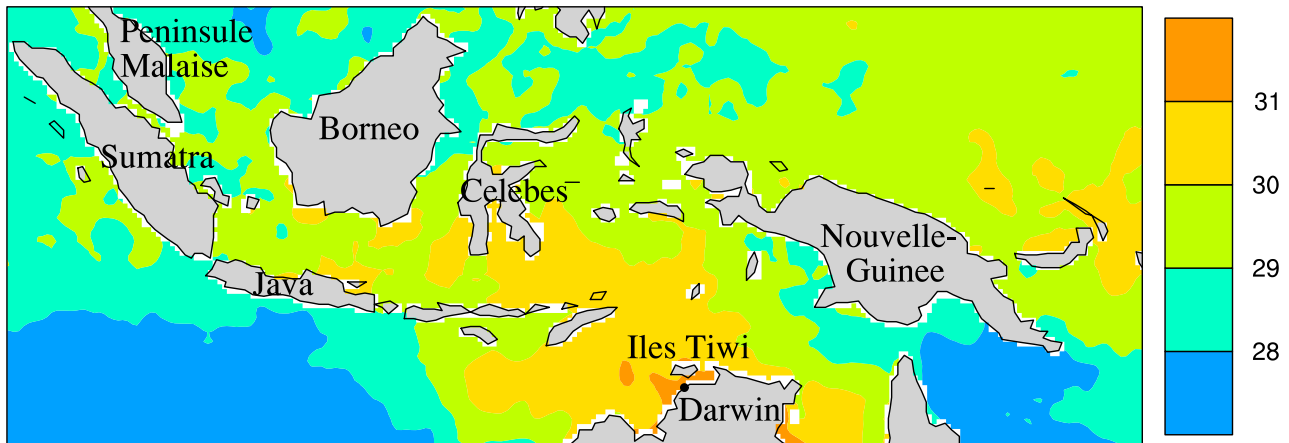


FIGURE 2.2 – Les îles du Continent Maritime et la *Warm Pool*, étendue océanique à l'est de l'océan Indien et à l'ouest de l'océan Pacifique, dont la surface est particulièrement chaude. Les températures de surface de la mer, moyennées sur le mois de novembre 2005, sont en degrés Celsius. Les données proviennent du site web de *Physical Sciences Division, Earth System Research Laboratory, NOAA, Boulder, Colorado* : <http://www.esrl.noaa.gov/psd/> (Reynolds et al., 2007).

présentent des ascendances faibles et atteignent des altitudes usuelles de convection profonde). Au contraire, pendant les périodes de transition de la mousson (novembre - décembre) et de pause de la mousson (février - mars), les systèmes convectifs continentaux et côtiers (liés à la brise de mer) se forment et sont très vigoureux. Ces périodes sont caractérisées par un flux d'est vers 3 km d'altitude (soit environ 700 hPa) qui provient du continent australien (Keenan and Carbone, 1992). Hector, dont le déclenchement est intimement lié à la brise de mer, ne se développe quasiment jamais pendant la mousson, mais 65 % des jours pendant les périodes de transition et de pause de la mousson (Keenan et al., 1989).

La régularité de Hector et sa localisation précise en font un objet d'étude exceptionnel pour les météorologues. Plusieurs instruments de mesure fixes sont installés à proximité. Le radar polarimétrique Berrimah en bande C (5,3 cm de longueur d'onde) installé à 9,5 km à l'est du centre ville de Darwin, fonctionne en permanence et détecte les précipitations. Tous les jours, deux radio-sondages

sont lancés depuis Darwin, à 9h30 et 21h30, par le centre du *Bureau of Meteorology* chargé de la prévision du temps dans la région. Ils permettent d'obtenir les profils de vent, de température et d'humidité de l'atmosphère. Également sur place, un site du réseau américain de mesure du rayonnement atmosphérique (ARM) mesurait, entre autres, les valeurs intégrées sur la colonne atmosphérique de quantité d'eau précipitable (PWV) et d'eau liquide nuageuse (Cadeddu et al., 2013) jusque fin 2014. D'autres mesures sont prises depuis l'espace. Chaque jour, le satellite géostationnaire japonais de la série MTSAT fournit des images dans le visible et dans l'infra-rouge de la couverture nuageuse. Le satellite basse altitude de la mission américano-japonnaise TRMM (Kummerow et al., 2000) est passé quant à lui tous les 42 jours au-dessus des îles Tiwi entre novembre 1997 et avril 2015, avec notamment à son bord un radar précipitation (PR) et un capteur passif micro-onde (TMI) qui permettaient d'obtenir des information sur le contenu en vapeur d'eau, et sur la structure verticale du contenu en eau nuageuse et en précipitation des systèmes convectifs (Liu and Zipser, 2005). Ponctuellement, de plus amples moyens de mesure (notamment aéroportés) sont mis en place à l'occasion de campagnes internationales. Parmi celles-ci, on compte notamment les campagnes *Island Thunderstorm EXperiment* (ITEX) en 1988, *Maritime Continent Thunderstorm EXperiment* (MCTEX) en 1995, *Stratosphere-Climate links with emphasis On the Upper-Troposphere and lower stratosphere* (SCOUT-O3) en 2005 et *Tropical Warm-Pool-International Cloud Experiment* (TWP-ICE) en 2006. Ces campagnes avaient pour but d'étudier le déclenchement de la convection profonde et son cycle de vie (ITEX, MCTEX), le rôle de la convection profonde dans les échanges troposphère-stratosphère et son impact sur l'humidité en basse stratosphère (SCOUT-O3) et les propriétés microphysiques des cumulonimbus, de leur enclume et des cirrus émanant de leur dissipation (TWP-ICE).

## **Influence des conditions météorologiques sur le développement de la convection**

L'apparition de Hector, bien que très fréquente en période de transition et de pause de la mousson, est très difficile à prévoir (Keenan and Carbone, 1992; Carbone et al., 2000; Ferretti and Gentile, 2009, prévisionnistes de Darwin, communication personnelle, 2015). C'est pourquoi de nombreuses études (Golding, 1993; Carbone et al., 2000; Crook, 2001; Saito et al., 2001; Ferretti and Gentile, 2009) ont analysé le forçage et les éléments déclencheurs de Hector, dans le but de comprendre quelles sont les conditions météorologiques favorables et défavorables au développement de la convection. Les campagnes de mesure ITEX et MCTEX ont été menées en 1988 et 1995, prenant Hector comme objet d'analyse pour étudier les systèmes convectifs qui se développent au-dessus des îles du continent maritime. Une attention particulière est portée sur les mécanismes de déclenchement de ces systèmes et leur cycle de vie.

### **Critères de développement**

Comme vu précédemment, la tendance de vent d'est à 3 km d'altitude, caractéristique des périodes de transition de la mousson et de pause de la mousson semble nécessaire au développement de Hector (Keenan and Carbone, 1992), tandis qu'un taux d'humidité trop faible ou trop élevé dans les basses couches (Crook, 2001; Ferretti and Gentile, 2009) ou un trop fort contenu en eau dans le sol (Ferretti and Gentile, 2009) y sont défavorables. Une couverture nuageuse importante par des cirrus denses n'est pas nécessairement défavorable, les îles Tiwi semblent en effet toujours fournir des flux de chaleur suffisants en surface (Simpson et al., 1993).



## Mécanismes de forçage

L'orientation du vent à la surface, l'orientation de son cisaillement vertical et la forme des Îles Tiwi modulent l'organisation de la convection peu profonde en début de journée. Ils déterminent ainsi le temps mis par la convection profonde pour se déclencher, ainsi que le mécanisme de forçage (Carbone et al., 2000; Saito et al., 2001). En particulier, la brise de mer joue un rôle clé dans le déclenchement de Hector (Carbone et al., 2000; Saito et al., 2001; Ferretti and Gentile, 2009). Deux types de forçages sont définis en fonction de ce qui conduit à une forte convergence du flux d'humidité en basse couche (fig. 2.3) :

- type A : forçage issu de la convergence des fronts de brise de mer venant de la côte nord et de la côte sud,
- type B : forçage issu de l'interaction entre un front de brise de mer et un front de rafale, généré par un courant de densité sous de la convection développée plus tôt dans la journée.

Environ 80 % des orages Hector sont déclenchés par le forçage de type B (Carbone et al., 2000). Le forçage de type A peut être vu comme un mécanisme par défaut lorsque les conditions météorologiques ne permettent pas le forçage de type B. Le forçage de type A est rendu possible lorsqu'une inhibition importante de la convection retarde le déclenchement des précipitations, ou lorsque la production de poches froides est limitée par une trop faible réserve de flottabilité négative en troposphère (DCAPE). Dans ces deux cas, les fronts de brise de mer ont le temps de traverser les îles sur une suffisamment longue distance pour se rencontrer et déclencher Hector par le forçage type A (Carbone et al. (2000), fig. 2.3 gauche). Au contraire, une plus forte humidité dans les basses couches semble favoriser le forçage de type B par rapport au type A (Crook, 2001), mais ceci n'est valide que lorsque tous les autres paramètres sont inchangés (Gentile and Ferretti, 2016). Enfin, il est important de noter que le léger relief des îles

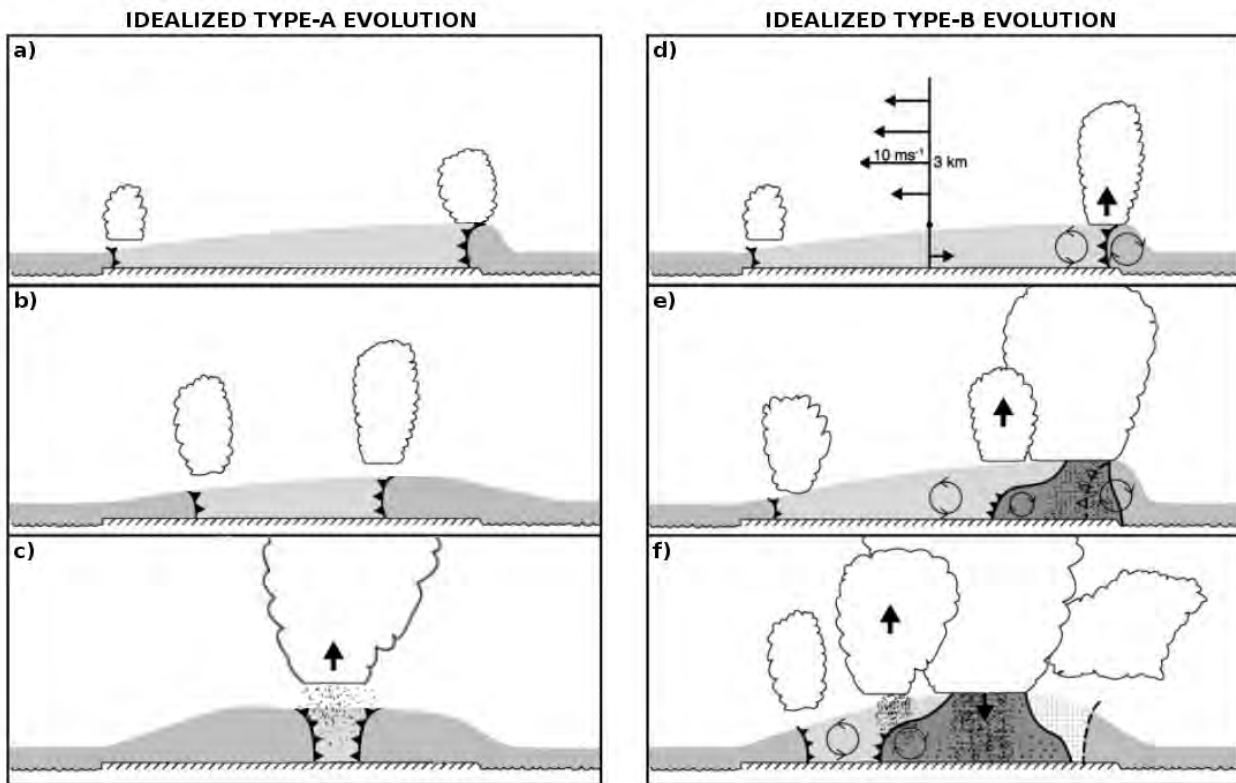


FIGURE 2.3 – Évolution idéalisée de la convection due aux forçages de type A et de type B. La couche limite est en gris, plus le gris est foncé, plus l'air est froid. Les diagrammes ne sont pas à l'échelle. **Gauche : forçage de type A, selon une coupe nord-sud.** (a) L'inhibition à la convection est élevée, la convection qui se développe au-dessus des fronts de brise est peu profonde. (b) Les fronts de brise ont le temps de pénétrer dans les terres avant que la convection ne forme des précipitations. (c) Les fronts de brise se rencontrent et déclenchent la convection profonde et les précipitations. **Droite : forçage de type B, selon une coupe est-ouest.** (d) La tendance ouest à la surface et la tendance d'est à 3 km forme un cisaillement fort et crée une vorticit  horizontale ambiante. La vorticit  li e au front de brise   l'est est oppos e, facilitant l'apparition de convection congestus. (e) Tandis que la convection li e au front de brise   l'ouest peine   s'approfondir, la convection   l'est est bien d velopp e, elle forme des pr cipitations. Ces pr cipitations cr ent une poche froide qui se propage vers l'int rieur des terres. Au niveau du front de rafale, la vorticit  est oppos e   la vorticit  ambiante, facilitant la formation de nouvelles cellules de convection pr cipitante. (f) La convection devient de plus en plus profonde   mesure que les fronts de rafale soul vent l'air chaud de la surface des  les, jusqu'  ce qu'ils rencontrent le front de brise ouest, cr ant les cellules les plus d velopp e sur la verticale. Gauche : sch mas personnels adapt s de Carbone et al. (2000) par Guillaume Amiel et moi-m me. Droite : sch mas tir s de Carbone et al. (2000). Avec l'autorisation de l'*American Meteorological Society*.

Tiwi peut contribuer au déclenchement de Hector (Golding, 1993), en particulier lorsque les fronts de brise ou les fronts de rafale sont canalisés par les collines (Gentile et al., 2014).

Le développement de Hector se fait de manière progressive. Le matin, le soleil réchauffe la surface des îles Tiwi au-dessus de laquelle la convection sèche apparaît. À mesure que la couche limite se développe, les panaches thermiques grandissent et la vapeur à leur sommet condense, formant des cumulus humilis. Ces cumulus humilis épaisissent et forment les premières précipitations. Les cumulus deviennent congestus et les zones de convergence en basse couche se déplacent et s'agrègent, pilotées par la brise de mer et/ou les poches froides. Les fronts de brise interagissent entre eux ou avec les fronts de rafale, déclenchant de la convection profonde très vigoureuse. Les cumulonimbus atteignent rapidement la TTL voire la basse stratosphère, après quoi la convection perd en intensité. Plusieurs étapes peuvent être définies pour décrire cette croissance graduelle (Saito et al., 2001; Gentile et al., 2014), les étapes de condensation, de précipitation et d'agrégation des cellules sont représentées sur la figure 2.4.

### **Modulation de l'intensité**

L'intensité de Hector varie également d'un événement à l'autre, cela se traduit par des vents ascendants plus ou moins forts, un contenu en hydrométéores plus ou moins important et une altitude du sommet plus ou moins élevée. Parmi les conditions météorologiques, une CAPE élevée et des vents de surface faibles et alignés selon l'axe principal des îles Tiwi favorisent une convection intense (Crook, 2001; Gentile and Ferretti, 2016).

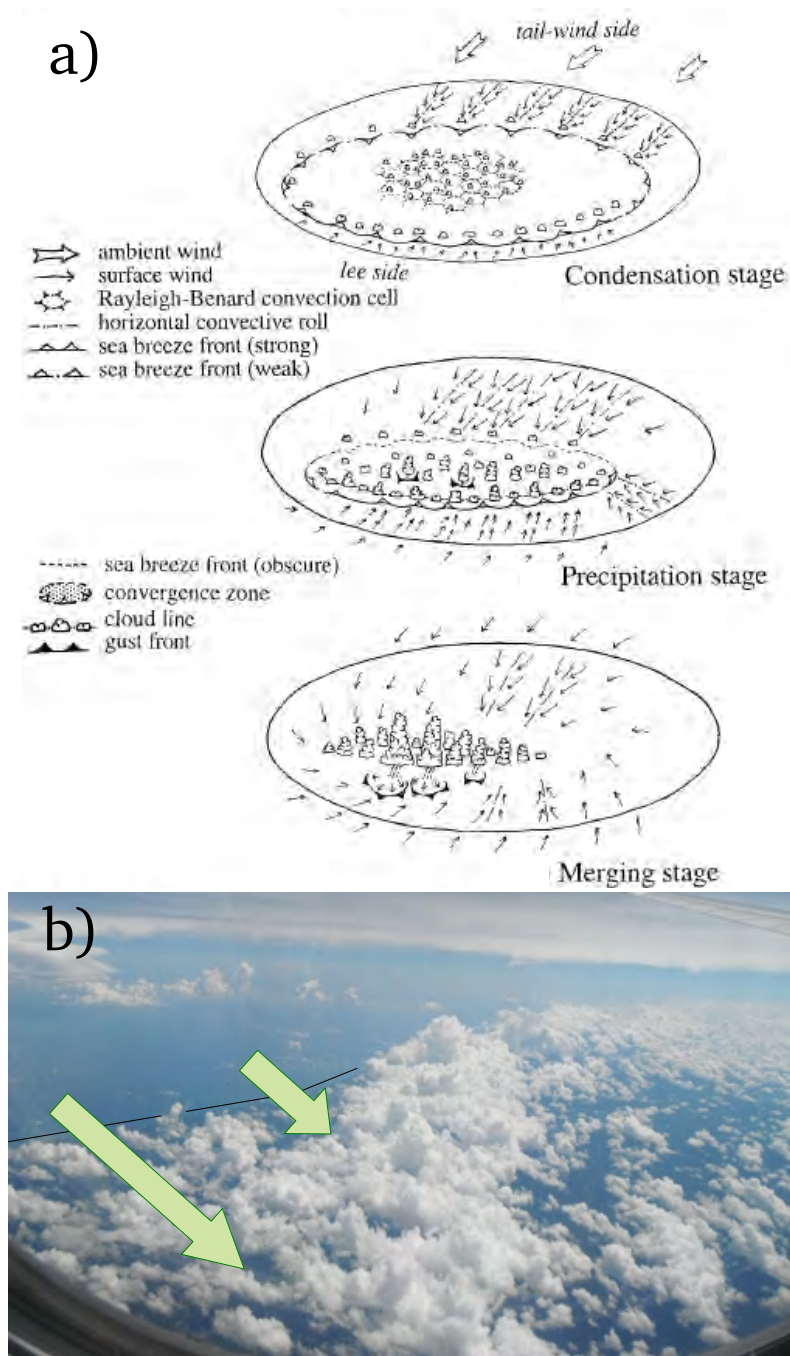


FIGURE 2.4 – (a) Modèle conceptuel de l'évolution de la convection au-dessus d'une île du Continent Maritime, schéma tiré de Saito et al. (2001) avec l'autorisation de l'*American Meteorological Society*. (b) Cumulus humilis et cumulus congestus alignés le long du front de brise, photo personnelle prise depuis l'avion vers midi au-dessus de la Nouvelle-Guinée ; la côte nord de la Nouvelle-Guinée est surlignée par le trait noir et la circulation de surface de la brise de mer est représentée par les grandes flèches vertes.

## Contribution de la convection aux échanges troposphère-stratosphère

Comme Hector peut atteindre la basse stratosphère, le projet européen SCOUT-O3 (novembre - décembre 2005) avait pour but d'étudier les échanges entre la troposphère et la stratosphère à son sommet. Ces échanges sont particulièrement importants dans les tropiques à cause de la présence d'intenses systèmes convectifs comme Hector et du fait que la stratosphère est alimentée en air depuis la troposphère dans les tropiques. Pour caractériser les conséquences de ces échanges, l'avion russe M55-Géophysica a réalisé des mesures d'espèces chimiques, d'aérosols et de particules de glace jusqu'en stratosphère au-dessus de Hector (Vaughan et al., 2008). Les conditions météorologiques étaient proches des conditions moyennes climatologiques : la mousson n'était pas encore établie sur Darwin, l'oscillation *El Niño - Southern Oscillation* était dans une phase neutre et les ondes équatoriales étaient peu influentes pendant la période d'observation (Brunner et al. (2009), fig. 2.5, les passages des ondes équatoriales sont mis en évidence par les lignes noires épaisses). Entre le 16 novembre et le 3 décembre 2005, Hector se développa 13 jours. Le cas du 30 novembre 2005 fut particulièrement vigoureux et les conditions météorologiques ont été favorables à deux missions aéroportées successives, une pendant le développement de Hector, l'autre pendant sa phase mature. La première mission rapporta une preuve sans précédent de l'hydratation de la stratosphère par la convection (Corti et al., 2008). C'est pour ces raisons que l'orage Hector du 30 novembre 2005 a été sélectionné par de nombreuses études (e.g., Corti et al., 2008; Ferretti and Gentile, 2009; Chemel et al., 2009; Frey et al., 2015), et par celles présentées dans ce mémoire, pour étudier la capacité de la convection à affecter les échanges troposphère-stratosphère.

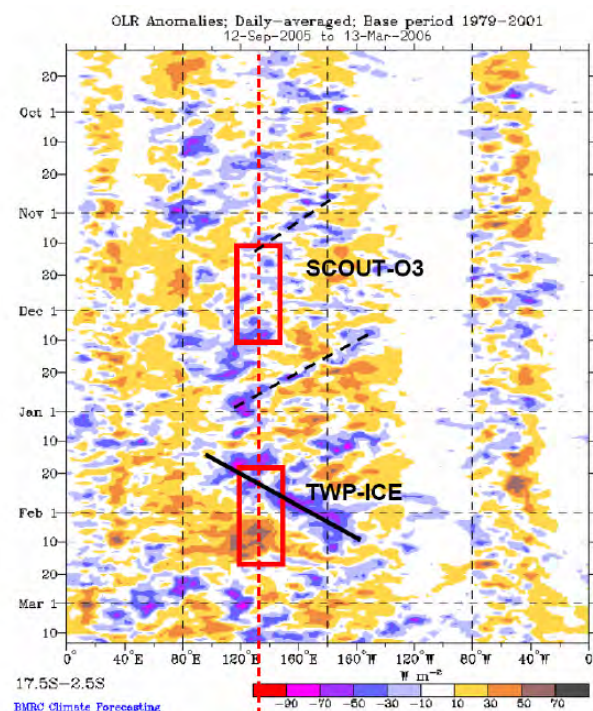


FIGURE 2.5 – Diagramme Hovmöller (longitude, temps) de l’anomalie de rayonnement infra-rouge sortant de l’atmosphère (OLR) pendant l’été austral 2005 - 2006 pour le sud des tropiques (2,5° S - 17,5° S). La longitude de Darwin est indiquée par la ligne rouge tiretée. Les périodes couvertes par SCOUT-O3 et TWP-ICE sont indiquées par les rectangles rouges. Reproduit de Brunner et al. (2009) avec leur permission, leur source est l’*Australian Bureau of Meteorology*.

Le 30 novembre 2005 à 9h30 (fig. 1.3), un vent assez faible (5 m/s d’amplitude) souffle d’ouest-nord-ouest en surface, apportant de l’air humide de l’océan au-dessus des îles Tiwi. L’humidité relative présente un fort gradient avec plus de 85 % sur la façade ouest et environ 70 % sur la façade est (Ferretti and Gentile (2009), réanalyses de l’ECMWF à 750 m d’altitude). À 3 km d’altitude, la tendance est diamétralement opposée, un vent d’est-sud-est souffle à 5 m/s depuis le continent australien, apportant de l’air sec. Sur les trois premiers kilomètres au-dessus de la surface, l’atmosphère présente donc un important cisaillement vertical du vent horizontal bien que le vent horizontal lui-même soit d’intensité modérée. L’instabilité de l’atmosphère est élevée dès 9h30 puisque la CAPE est de 2074 J/kg. Enfin la tropopause se situe à 17 km d’altitude (Corti et al., 2008).

Ce jour-là, Hector se développa jusqu'à 18 km d'altitude (Corti et al., 2008). Il était composé de deux cellules principales. La première cellule se développa à 13h, son extension verticale était maximum à 14h50 et les précipitations étaient maximales à 15h d'après les observations radar (Ferretti and Gentile, 2009). La deuxième cellule se développa à 5 - 10 km de la première et atteint la même extension verticale maximale à 16h. L'activité convective diminua à partir de 18h. Des percées nuageuses en stratosphère ont été observées au sommet de Hector entre 15h10 et 16h30 (la photo sur la fig. 2.6b donne un exemple de percée nuageuse, bien que l'altitude d'observation soit plus basse que dans le cas de Hector). Les percées nuageuses ont conduit à une injection de 1 à 11 équivalent-ppmv de glace dans la basse stratosphère où le contenu en vapeur d'eau est de 4 ppmv (Corti et al., 2008). La sublimation des cristaux de glace conduit à une hydratation moyenne de la stratosphère (moyenne du contenu en vapeur entre les niveaux 380 et 420 K) entre +0,06 et +2,24 ppmv (évaluations à partir de simulations avec les modèles ARW et UM, respectivement, par Chemel et al., 2009). Les percées nuageuses de Hector en stratosphère ont également conduit à un important transport d'air stratosphérique en haute troposphère (Frey et al., 2015). À la tropopause, où le contenu en ozone usuel est de l'ordre de 100 ppbv, une augmentation de + 50 ppbv d'ozone a été observée.

## **Microphysique des systèmes convectifs très profonds**

La structure microphysique des systèmes convectifs tropicaux, qui présentent une région glacée très développée, détermine leurs impacts radiatifs, dynamiques et chimiques sur l'environnement. La partie du nuage dans laquelle se forment les cristaux de glace peut s'étendre sur une dizaine de kilomètres d'altitude, voire une quinzaine pour les systèmes les plus grands. Saito et al. (2001) relèvent l'importance des processus glacés pour renforcer l'intensité de Hector et

déterminer les distributions verticales du chauffage et de l'humidification. Les propriétés microphysiques de Hector ont été analysées à l'occasion des campagnes de mesure SCOUT-O3 (Brunner et al., 2009) et TWP-ICE (May et al., 2008). En haute troposphère et basse stratosphère, la phase de développement de Hector révèle des cristaux plus petits (jusqu'à 300  $\mu\text{m}$  de large) que durant la phase mature (certains dépassant les 1,6 mm de large), période pendant laquelle les cristaux ont d'avantage le temps de s'agréger et de s'accroître par givrage (Frey et al., 2014). Pendant la phase de déclin de Hector, des cirrus très étendus et d'environ 6 km d'épaisseur sont générés à son sommet et persistent au moins 6h après sa dissipation (Frey et al., 2014, exemple sur la fig. 2.6a).

Le 30 novembre 2005, les distributions de taille des particules dans les nuages de glace au sommet de Hector révèlent la présence de larges cristaux jusqu'à 1,4 km au-dessus de la tropopause (de Reus et al., 2009). Des cristaux mesurant jusqu'à 400  $\mu\text{m}$  ont été observés, alors qu'usuellement dans les tropiques le rayon effectif des particules de glace est d'environ 3  $\mu\text{m}$  à la tropopause. Ces nuages glacés, formés à la suite des percées en stratosphère de Hector, contiennent  $4 \cdot 10^{-4}$  à  $4 \cdot 10^{-3}$  grammes de glace par kilogramme d'air sec. L'humidité relative (vis-à-vis de la glace) de l'environnement dans lequel ils ont été observés varie de 75% (sous-saturation) à plus de 150 % (forte sur-saturation). Le calcul des temps de résidence des cristaux de glace (dépendant de leur vitesse de sédimentation et donc de leur taille) et celui des taux de sublimation (dépendant de leur taille et de l'humidité relative de leur environnement) confirment le fort potentiel d'hydratation locale de la stratosphère par les percées en stratosphère au sommet de Hector (de Reus et al., 2009; Frey et al., 2014). Les études isotopiques indiquaient déjà l'importance du transport convectif de particules glacées pour expliquer le contenu en eau de la basse stratosphère (Moyer et al., 1996; Keith, 2000; Dessler et al., 2007; Chemel et al., 2009).





FIGURE 2.6 – (a) Dissipation de l'enclume de Hector donnant un fin cirrus qui voile la haute troposphère jusqu'au-dessus de Darwin - photo personnelle prise le 25 novembre 2015 vers 18h30. (b) Exemple de nuage de glace formé à la suite d'une percée nuageuse qui dépasse le sommet des autres nuages, photo prise en avion à environ 11 km d'altitude, dans la région de l'archipel d'Okinawa au sud du Japon, le 12 novembre 2015 vers 7h, heure locale.

## 2.2 Simulations avec le modèle Méso-NH

L'orage tropical Hector du 30 novembre 2005 a été intensément observé par la campagne de mesure SCOUT-O3. L'avions stratosphérique M55 Geophysica a pu survoler Hector à deux reprises ce jour-là : lors de son développement et lors de sa dissipation. Il a rapporté les mesures lidar qui constitue une preuve sans précédent de l'hydratation de la stratosphère par un système convectif. Ce cas, qui a déjà fait l'objet de nombreuses études observationnelles et numériques, est sélectionné dans cette étude pour servir d'archétype de la convection atteignant la stratosphère. Afin d'évaluer le transport net d'eau en stratosphère par la convection (chapitre 2), l'organisation de la convection conduisant aux percées nuageuses en stratosphère (chapitre 3) et le transport irréversible de masse à travers la troposphère par les systèmes très profonds (chapitre 4), l'orage Hector du 30 novembre 2005 est simulé à l'aide du modèle atmosphérique régional Méso-NH (modèle de Méso-échelle Non-Hydrostatique).

Dans la suite, le modèle est d'abord présenté de manière générale. Les configurations propres au cas d'étude sont ensuite détaillées. Enfin, les simulations sont décrites et confrontées aux observations.

## Présentation du modèle

Mésos-NH (Lafore et al., 1998) est un modèle non-hydrostatique en points de grille (eulérien) qui fait l'hypothèse d'un écoulement anélastique pour éliminer la propagation rapide d'ondes sonores. Il est développé à Toulouse conjointement par le Laboratoire d'Aérodynamique (LA) et le Centre National de Recherche Météorologique (CNRM) depuis 1993. Une version améliorée de la version 4-9-4 est utilisée pour cette étude afin de pouvoir lancer le modèle sur des super-calculateurs massivement parallèles (Pantillon et al., 2011), c'est-à-dire des machines réalisant des calculs par des milliers de processeurs simultanément. En pratique, on ne parle pas de processeurs mais de nœuds de calcul, sur lesquels plusieurs cœurs réalisent des calculs en parallèle. Chaque cœur peut lui-même être divisé en plusieurs *threads* ou cœurs virtuels. En 2011, la scalabilité du code Mésos-NH avait été testée jusqu'à 130 000 cœurs, elle a depuis été démontrée jusqu'à deux millions de *threads*.

La dynamique non-hydrostatique de Mésos-NH permet de simuler les mouvements de l'atmosphère allant du millier de kilomètres (anticyclones, dépressions) au kilomètre (brise, écoulements orographiques), voire au mètre (petits tourbillons en couche limite ou dans les nuages), ou moins encore (turbulence dans les couches limites stables). Le cœur dynamique du modèle est un système eulérien d'équations différentielles partielles qui correspondent aux équations du mouvement de l'air. La discrétisation de l'espace se fait sur une grille de type C suivant la classification de Arakawa. La coordonnée verticale est l'altitude de Gal-Chen and Somerville (1975) permettant aux niveaux verticaux de suivre le

terrain. Les variables suivantes sont pronostiques, c'est-à-dire calculées à chaque pas de temps et nécessaires pour relancer le modèle : les trois composantes du vent  $u$ ,  $v$  et  $w$ , la température potentielle  $\theta$ , l'énergie cinétique turbulente  $TKE$ , les rapports de mélange en vapeur d'eau et en hydrométéores  $r_*$ . Il est possible d'y ajouter un certain nombre de rapports de mélange en traceurs passifs  $s_*$ . L'advection de la quantité de mouvement est réalisée par un schéma d'advection conservatif en flux, centré d'ordre 4, associé au schéma temporel *Leapfrog*. L'advection des variables scalaires se fait par le schéma d'advection en volume fini *Piecewise Parabolic Method* (PPM) associé au schéma temporel *Forward in Time*.

## Configuration du modèle

### Grille atmosphérique

Le domaine de simulation couvre largement les îles Tiwi et inclut une marge d'une quarantaine de kilomètres dans chaque direction horizontale pour que les bords du domaine ne perturbent pas le développement de Hector. Le domaine s'étend sur  $256 \times 204,8 \text{ km}^2$ , de la surface à 25 km d'altitude. Les ondes de gravité générées par la convection sont dissipées dans les trois derniers kilomètres au sommet du domaine (couche éponge) afin d'éviter leur réflexion non-physique vers le bas. L'espace est échantillonné par une projection Mercator car le domaine est suffisamment près de l'équateur. Sur la verticale, les niveaux sont espacés de 100 m sauf pour les quatorze premiers niveaux au-dessus de la surface où l'échantillonnage vertical est plus fin (jusqu'à un niveau tous les 40 m) afin de mieux représenter les tourbillon de couche limite. Sur l'horizontale, le maillage de l'atmosphère se fait de manière régulière dans les directions zonale et méridienne. Cinq maillages différents sont utilisés pour réaliser cinq simulations du même événement avec des résolutions horizontales différentes.

L'espacement horizontal des mailles est de 100, 200, 400, 800 et 1 600 m. Le domaine de simulation étant le même pour toutes les simulations, le nombre de points varie de 1,3 milliard à 5,2 millions. Seule la résolution horizontale varie d'une simulation à l'autre, tout le reste de la configuration décrite ci-après est gardée identique afin de faciliter la comparaison entre simulations.

Les simulations les plus fines, avec des maillages de 100 et 200 m de côté, échantillonnent suffisamment l'espace pour représenter les petits nuages, voire même les grands tourbillon intra-nuageux (*Large Eddies* en anglais). Elles sont appelées *Large-Eddy Simulations* (LES). La simulation la plus fine, avec des mailles de 100 m, est nommée *Giga-LES* car elle compte plus d'un milliard de points. Les cinq simulations ont été réalisées à l'occasion de la mise en service du super-calculateur Turing de l'IDRIS. Le projet a été sélectionné en tant que *Grand Challenge Turing* et a bénéficié d'une allocation de ressources informatiques exceptionnelles (huit millions d'heures de calcul utilisant plus de 16 000 cœurs, soit le quart de Turing à son installation).

Les processus physiques d'échelle sous-maille, radiatif et d'échange avec la surface ne sont pas résolus explicitement par Méso-NH. Leurs effets sur l'écoulement atmosphérique sont pris en compte grâce à des paramétrisations ou à des modèles externalisés.

### **Représentation des transferts radiatifs**

Les transferts radiatifs sont les échanges d'énergie par rayonnement électromagnétique. Le rayonnement solaire réchauffe la surface là où il n'est pas occulté et diffusé par les aérosols et par les nuages ou absorbé par les gaz. La surface, les nuages et l'air rayonnent également, dans la gamme des grandes longueurs d'onde (infra-rouges) et échangent ainsi de l'énergie, tandis qu'une partie quitte l'atmosphère vers l'espace. Les transferts radiatifs sont calculés pour chaque co-

bonne atmosphérique en faisant l'approximation à deux courants, c'est-à-dire en considérant pour chaque gamme de longueur d'onde un flux montant et un flux descendant. Le code utilisé est très proche du code opérationnel de l'ECMWF décrit dans Gregory et al. (2000). Ce code utilise le schéma de Fouquart Morcrette pour les courtes longueurs d'onde et le schéma *Rapid Radiative Transfer Model* pour les grandes longueurs d'onde.

### **Représentation de la turbulence d'échelle sous-maille**

La turbulence est l'ensemble des mouvements tourbillonnaires désordonnés de l'air, dont la taille, la localisation et l'orientation sont difficilement prévisibles. Ces mouvements transfèrent l'énergie cinétique des grandes échelles vers les petites échelles où l'énergie cinétique est dissipée par viscosité. Ils provoquent également la diffusion de propriétés de l'air comme l'énergie thermique, la quantité de mouvement, le contenu en vapeur, le contenu en hydrométéores ou en tout autre composant atmosphérique (gaz, aérosols, etc.). Les maillages de l'atmosphère utilisés pour les simulations ne résolvent explicitement que les mouvements de l'air dont la taille est supérieure à la taille des mailles. La dissipation visqueuse d'énergie cinétique et les flux causés par les mouvements turbulents de plus petite échelle doivent être calculés et intégrés à l'évolution de l'atmosphère par un schéma de turbulence.

Le schéma de turbulence de Cuxart et al. (2000) est utilisé ici dans sa version 3D car les maillages utilisés peuvent produire de forts gradients et de forts cisaillements du vent dans les trois directions de l'espace. Pour le calcul de la dissipation et des flux turbulents tridimensionnels, les équations des moments du second ordre sont séparées en une partie isotrope et une partie anisotrope. Les moments d'ordre supérieur, l'effet Coriolis et la courbure de la Terre sont négligés, tout comme les termes instationnaires des équations de la partie ani-

sotrope. L'équation pour la partie isotrope constitue l'équation d'évolution de l'énergie cinétique turbulente  $TKE$  (une des variables pronostiques du modèle). Le schéma est dit d'ordre 1,5 car seule cette partie des moments du second ordre est pronostiquée. L'autre partie des moments du second ordre, les flux turbulents, est diagnostiquée à partir d'une formulation en « K-gradient », c'est-à-dire qu'ils sont estimés proportionnels aux gradients des champs 3D résolus des variables pronostiques. Les facteurs de proportionnalité  $K_*$  dépendent de la taille caractéristique des tourbillons les plus énergétiques, représentée par la longueur de mélange  $l$ , et de l'activité de la turbulence, estimée à partir de la racine carrée de la  $TKE$ . La longueur de mélange  $l$  est estimée à partir de la formulation locale de Deardorff (1980). Il s'agit en général de la racine cubique du volume de la maille, mais elle est limitée par la distance au sol et elle diminue fortement en cas de stabilité thermique.

Del Genio and Wu (2010) ont réalisé des simulations de convection continentale pendant la campagne TWP-ICE avec des mailles horizontales de 600 et 125 m et ils ont noté que la simulation avec la résolution la plus fine est plus turbulente. Les taux d'entraînement qu'ils ont calculé présentent des variations similaires dans le temps et en fonction de la taille des ascendances, mais l'amplitude de l'entraînement est plus grande à fine résolution.

## **Représentation de la microphysique**

La microphysique nuageuse décrit la formation des hydrométéores, leurs taux de conversion et leurs taux de précipitation. Elle a un grand impact sur les transferts radiatifs (effet écran et effet de serre des nuages), sur les bilans d'énergie thermique (par le dégagement et l'absorption de chaleur latente lors des changements de phase de l'eau) et sur les taux précipitation en surface. Il est important de distinguer les hydrométéores glacés des hydrométéores liquides car leurs pro-

priétés radiatives et leurs vitesses de chute diffèrent. De plus, le dégagement de chaleur latente lors du passage des hydrométéores de l'état liquide à l'état solide est significatif, de l'ordre de 10 % de celui dû à la condensation, ce qui contribue au développement vertical des systèmes convectifs profonds. Les vitesses de chute plus faibles des hydrométéores glacés augmentent leur temps de résidence, ce qui est particulièrement important pour le calcul de l'hydratation de la TTL et de la stratosphère par les percées au sommet des nuages par exemple.

La microphysique nuageuse est représentée dans Méso-NH par le schéma ICE3 (Pinty and Jabouille, 1998, fig. 2.7) qui répartit le contenu en eau entre six réservoirs (schéma *bulk* en anglais). Un réservoir correspond au contenu en eau sous sa forme gazeuse : la vapeur d'eau. Deux réservoirs correspondent aux hydrométéores liquides : l'eau liquide nuageuse qui représente les gouttelettes qui ne précipitent pas et l'eau de pluie qui précipite. Trois réservoirs correspondent aux hydrométéores solides : la glace nuageuse qui représente les cristaux de glace qui ne précipitent pas, la neige et le grésil qui peuvent précipiter. Les contenus en eau des réservoirs est donné en chaque point de grille par leurs rapports de mélange (les six variables pronostiques  $r_*$ ), c'est-à-dire les rapports entre les masses d'eau des réservoirs et la masse de l'air sec dans la maille. Le schéma ICE3 est un schéma à un moment : seuls les rapport de mélange des réservoirs sont calculés, les distributions en taille des hydrométéores sont supposées suivre des courbes prédéterminées (lois gamma généralisées ou log-normales).

Les équations pronostiques d'évolution des rapports de mélange sont obtenues en prenant en compte l'ensemble des processus représentés sur la figure 2.7. En pratique, les taux de formation, croissance, conversion et précipitation des hydrométéores sont déduits à partir des moments des distributions en tailles à l'intérieur des réservoirs. Ces moments sont donnés par des formules relativement simples ce qui évite de calculer explicitement les distributions en taille.

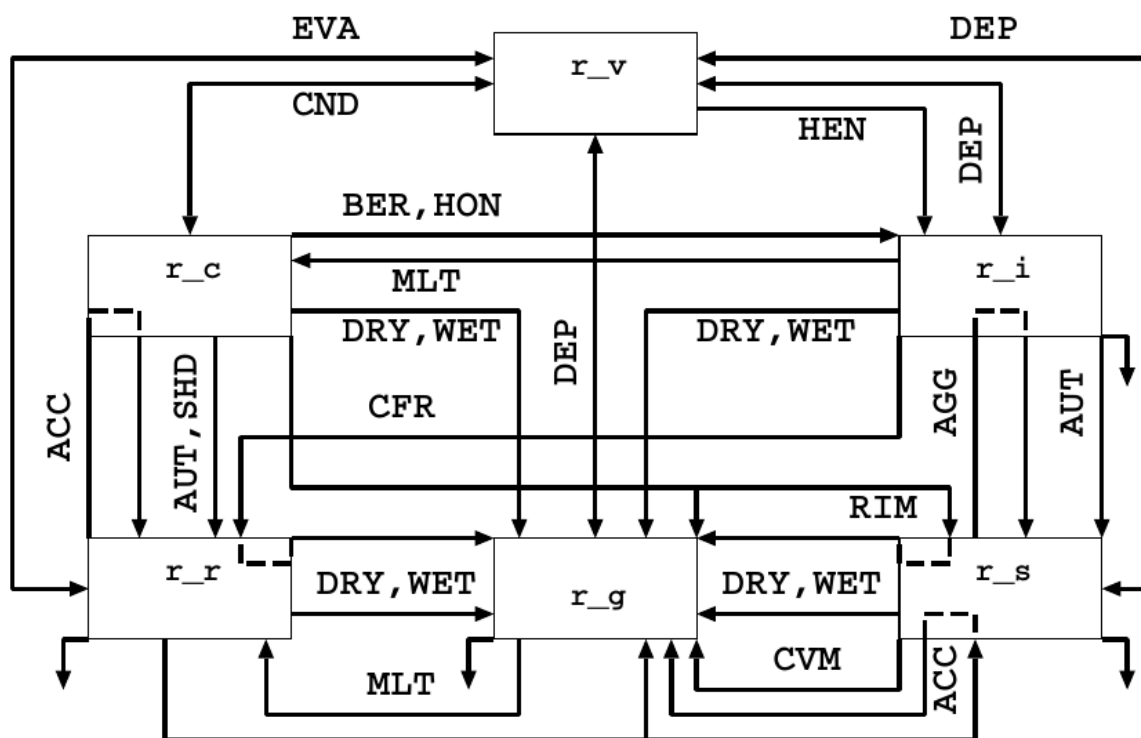


FIGURE 2.7 – Les six réservoirs d'eau et les processus microphysiques représentés par le schéma ICE3. **Les réservoirs** :  $r_v$  vapeur d'eau,  $r_c$  eau liquide nuageuse,  $r_i$  glace nuageuse,  $r_r$  pluie,  $r_g$  grésil,  $r_s$  neige. **Les processus de conversion** : EVA évaporation et condensation de la pluie, DEP déposition et sublimation, CND condensation et évaporation de l'eau nuageuse, HEN nucléation hétérogène, BER processus de Bergeron, HON nucléation homogène, MLT fonte, DRY croissance sèche du grésil, WET croissance humide du grésil, ACC accréation, AUT autoconversion, SHD collecte puis éjection d'eau liquide par le grésil, CFR congélation par contact, AGG aggrégation, RIM givrage, CVM conversion de la neige en grésil par fonte partielle. **Les précipitations** sont représentées par des flèches pointant vers le bas.



Le schéma ICE3 repose sur une série d'hypothèses. Les deux principales sont : premièrement, six réservoirs pour le contenu en eau suffisent à décrire la diversité des hydrométéores, et deuxièmement, les lois choisies pour les distributions en taille n'induisent que des biais négligeables dans les taux de conversion et de précipitation des hydrométéores. Ce schéma suppose également l'ajustement à saturation. En pratique, à la fin du calcul des rapports de mélange, si le contenu en vapeur d'eau dépasse le contenu à saturation, alors le surplus en vapeur se condense ou se dépose, et si l'air dans la maille est sous-saturé en présence d'hydrométéores, alors une partie du contenu en hydrométéores s'évapore ou se sublime en vapeur jusqu'à atteindre la saturation. Cette hypothèse d'ajustement à saturation est commune à beaucoup de schémas microphysiques *bulk*. Cependant elle conduit à des tendances diabatiques dues au dégagement et à l'absorption de chaleur latente trop concentrées près des niveaux de condensation et de congélation (Lebo et al., 2012; Grabowski and Jarecka, 2015). Ces biais dans la répartition du chauffage diabatique peut générer des ascendances et des subsidences plus fortes que dans la réalité ce qui peut conduire à une surestimation du transport d'eau, amplifiée par rétroaction positive (Varble et al., 2014).

Le schéma à deux moments LIMA (Vié et al., 2016), qui sera disponible dans la prochaine version de Méso-NH, ne fait pas d'ajustement à saturation et devrait réduire les biais décrits précédemment. De plus, de forts taux de sous-saturation et de sur-saturation ont été observés en TTL et en basse stratosphère (de Reus et al., 2009), l'absence d'ajustement à saturation pourrait donc influencer les estimations faites de l'hydratation de la stratosphère par la convection très profonde. Enfin, LIMA possède plusieurs variables pronostiques supplémentaires pour la concentration en nombre (le second moment) des noyaux de nucléation et des noyaux glaciogènes, activables et activés, et des hydrométéores de trois des réservoirs. Les concentrations en nombre des cristaux de glace déter-

minent leur distribution en taille et modulent ainsi leur taux de sublimation et la quantité de vapeur d'eau qui se dépose sur eux (Morrison et al., 2009). Les schémas à deux moments (comme LIMA) et ceux dotés de classes de taille pour les hydrométéores (schémas *bin*) pourraient améliorer l'estimation de l'hydratation de la stratosphère par la convection très profonde. En revanche, les coûts numériques de ces schémas sont nettement supérieurs à ceux des schémas *bulk* à un moment, c'est une des raisons pour lesquelles ICE3 a été choisi.

Par ailleurs, à très basse température (au-delà de  $-50^{\circ}\text{C}$ ), de nouvelles structures cristallographiques de la glace apparaissent, modifiant la forme des cristaux. Les vitesses de chute des cristaux, leur taux de sublimation et la vitesse de déposition de la vapeur sur ces cristaux sont alors différentes par rapport aux régions moins froides. Ces subtilités ne sont pas représentées par ICE3. Leur impact est généralement limité mais, dans le cas de la convection atteignant la tropopause tropicale, les percées nuageuses au sommet des cumulonimbus ont des températures inférieures à  $-70^{\circ}\text{C}$ . Il serait donc intéressant d'améliorer ce schéma afin de l'adapter aux très basses températures. La prise en compte de la forme des cristaux permettrait de mieux représenter leur capacitance (par la correction des vitesses de déposition et sublimation) et leur sédimentation (par la correction des vitesses de chute).

## **Représentation de la surface**

Les lignes de côte et le relief sont obtenus à partir de la base de données GTOPO30 (source : [lta.cr.usgs.gov/GTOPO30](http://lta.cr.usgs.gov/GTOPO30)), dont la résolution est de  $30''$  d'arc, soit un peu moins de 1 km. Les données de surface ont ensuite été interpolées sur les différentes grilles. La résolution kilométrique des données physiographiques assure que les simulations à 100, 200, 400 et 800 m voient toutes le même relief. Les flux d'énergie de la surface à l'atmosphère sont calculés par

le modèle de surface SURFEX. Sur l'océan, la température de surface de la mer, qui varie peu au cours de la journée, est maintenue constante à 29°C. Les flux de surface air-mer, calculés à partir des gradients verticaux dans la couche de surface atmosphérique, ne varient donc qu'en fonction de l'évolution des champs de vent, de température et d'humidité de l'air dans le premier niveau au-dessus de la surface. Sur terre, la température du sol est initialisée à 30°C et son contenu en eau à 0,16 m<sup>3</sup>/m<sup>3</sup> à partir des analyses de l'ECMWF. Le modèle de surface ISBA (Noilhan and Planton, 1989) calcule les flux d'énergie et d'eau entre la terre et l'air. Il prend en compte la couverture végétale et la nature du sol avec les répartitions entre sable et argile. L'hydrologie est représentée par trois couches de sol dont l'évolution du contenu en eau est calculé par ISBA à partir de l'évaporation et des précipitations. L'hypothèse que la température de surface de la mer est constante n'est pas très forte, en effet la température de la mer à Darwin ne varie que de 0,4°C au maximum sur une journée (source : [www.seatemperature.org](http://www.seatemperature.org)). L'utilisation d'un modèle de couplage air-mer aurait été coûteux en ressources numériques et d'un intérêt très limité.

### **Conditions atmosphériques initiales et aux bords du domaine**

Les simulations ont été réalisées dans un cadre idéalisé : l'atmosphère a été initialisée en tout point du domaine selon le profil de température et de vitesse des vents issu du radio-sondage lancé à 9h30 (00h UTC) à Darwin (Fig. 1.3). Le profil d'humidité issu du radio-sondage a été utilisé jusqu'à 13 km d'altitude. Au-dessus, entre 13 et 17 km d'altitude, le contenu en vapeur d'eau a été initialisé à partir des données de l'ECMWF. Au-delà, le contenu en vapeur d'eau a été initialisé à partir des observations décrites par Corti et al. (2008) : une valeur qui augmente linéairement avec l'altitude entre 2 ppmv à 17 km et 4 ppmv à 18 km, puis un contenu en eau uniforme de 4 ppmv au-dessus.

Cinq traceurs passifs ont été initialisés à la valeur de 1 dans cinq couches atmosphériques différentes, et 0 en dehors. Ces couches sont séparées successivement par le sommet de la couche limite, le niveau de fonte (à environ 5 km d'altitude), le bas de la TTL (déterminé comme le niveau  $\theta = 360$  K) et l'altitude du point froid (à environ  $\theta = 370$  K).

Aux bords du domaine, les conditions aux limites sont ouvertes, c'est-à-dire qu'aucun forçage n'est appliqué. Là où le flux au bord du domaine est sortant, le modèle n'est pas contraint. Là où il est entrant, la température, l'humidité, la direction et l'intensité du vent sont prescrites par le profil initial de l'atmosphère. Ce choix a été fait car les conditions météorologiques varient peu au cours de la journée, comme l'environnement des îles Tiwi est océanique.

### **Les sorties pronostiques et diagnostiques du modèle**

Les simulations ont été réalisées pour reproduire 10 heures de l'évolution de l'atmosphère, entre 9h30 et 19h30. Les champs 3D des variables pronostiques sont sauvegardés toutes les 15 minutes pour toutes les simulations, sauf pour celle à 200 m pour laquelle ils ont été sauvegardés toutes les minutes entre 9h30 et 14h30. Le domaine d'analyse est centré sur les Îles Tiwi et il couvre une surface rectangulaire de 173,2 x 93,2 km<sup>2</sup>. Les valeurs moyennes de 12 variables (dont les précipitations instantanées et accumulées) et les profils verticaux moyens de 19 variables (dont les rapports de mélange en hydrométéores), sont calculés au-dessus du domaine d'analyse et sauvegardés toutes les 5 minutes.

A ces sorties pronostiques du modèle, il est possible d'ajouter des sorties diagnostiques. Il s'agit de champs calculés ou recalculés *a posteriori* qui permettent d'accéder à de nouvelles variables comme la température potentielle équivalente  $\theta_e$  et les flux de surface. La méthode d'identification des ascendances décrite dans le chapitre 3 a été implémentée parmi les diagnostics, pour bénéficier des biblio-

thèques de calcul parallèle de Méso-NH, cela permet de lancer ce diagnostic sur les grilles comprenant jusqu'à 1,3 milliards de points.

Les cinq simulations permettent l'étude de la sensibilité des résultats à la résolution, présentée en fin de chapitre. La simulation à 100 m discrétise suffisamment l'espace pour pouvoir étudier individuellement les ascendances (chapitre 3). La simulation à 200 m, dont les champs tridimensionnels ont été sauvegardés toutes les minutes, sert entre autres à l'analyse isentropique du chapitre 4.

## **Description des simulations et confrontation aux observations**

L'animation en 3D disponible sur <https://youtu.be/xjPumywGaAU> (fig. 2.8) représente le développement de l'orage Hector pendant les cinq premières heures de la simulation à 200 m. Elle est représentative de l'évolution de la convection dans les quatre autres simulations, à ceci près que le développement est plus rapide et les tourbillons nuageux sont moins visibles pour les simulations aux résolutions les plus grossières, en particulier à 1 600 m. D'un point de vue pratique, 1 seconde d'animation est obtenue en visualisant dix champs tridimensionnels successifs du contenu en hydrométéores, soit dix minutes de temps simulé. L'enveloppe nuageuse correspond à un contenu seuil en hydrométéores de 0.01 g/kg. L'animation a été réalisée avec l'aide de Philippe Wautelet, ingénieur de recherche CNRS du Laboratoire d'Aérodynamique, à l'aide du logiciel VisIt.

La convection peu profonde se développe quasiment uniformément au-dessus des îles dès le début de la simulation à 9h30. À partir de 11h30 environ des cumulus congestus apparaissent, d'abord à l'extrémité est des îles puis uniformément. À partir de 12h, les premiers cumulonimbus se développent. Peu après 12h30, de nouveaux cumulonimbus apparaissent entre les précédents et atteignent la tropopause peu avant 13h. Les percées nuageuses en stratosphère sont reconnaissables aux ondes de gravité qu'elles génèrent au niveau de la tro-

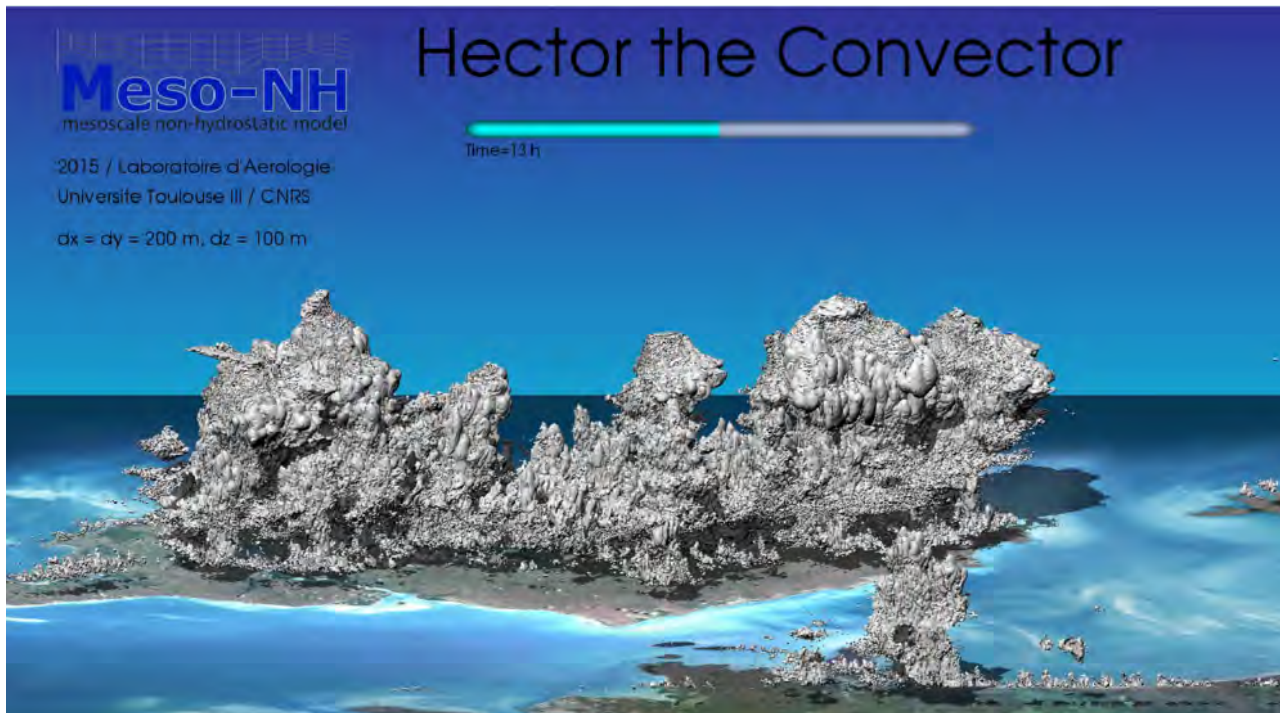


FIGURE 2.8 – Vue tridimensionnelle de *Hector the Convecteur* dans sa phase la plus intense. Instantané issu de l’animation réalisée à partir de la simulation à 200 m. L’animation est visible en ligne sur <https://youtu.be/xjPumywGaAU>

popause. La masse nuageuse s’étale en haute troposphère, formant l’enclume du nuage. Les percées nuageuses en stratosphère s’étalent également, formant de minces couches nuageuses au-dessus de l’enclume.

L’évolution du contenu en hydrométéores, moyenné sur le domaine d’analyse, montre un bon accord entre les cinq simulations (fig. 2.9). L’approfondissement graduelle de la convection, visible sur l’animation, se retrouve entre 9h30 et 13h30 pour toutes les simulations sauf celle à 1 600 m de résolution. Cette dernière présente un développement explosif de la convection, peu profonde à 11h et très profonde (qui dépasse la tropopause) à 11h30. Ce résultat suggère qu’une résolution plus fine que 1 600 m est nécessaire pour représenter correctement la chronologie de la convection, avec ses phases successives. Plus la résolution est fine, plus le déclenchement de la convection congestus (qui atteint

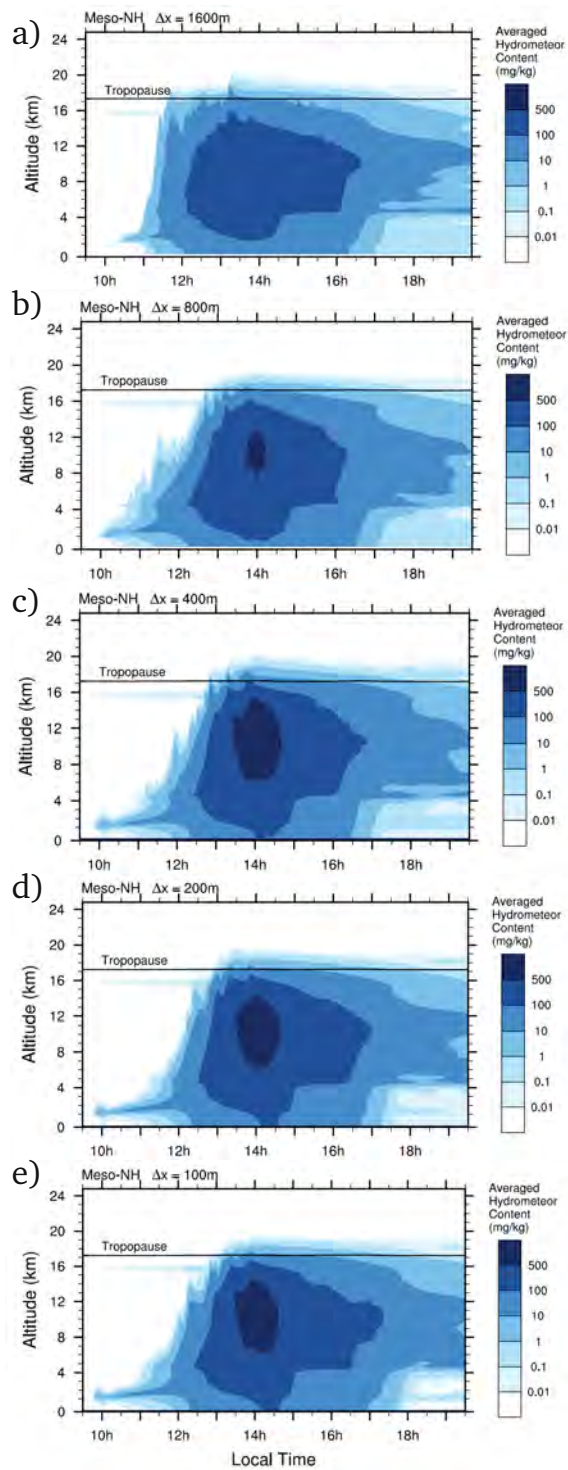


FIGURE 2.9 – Moyenne du contenu en hydrométéores sur le domaine d’analyse en fonction de l’altitude et du temps, pour les simulations à maille horizontale de 1 600 m (a), 800 m (b), 400 m (c), 200 m (d) et 100 m (e). La hauteur de la tropopause est indiquée par un trait continu noir.

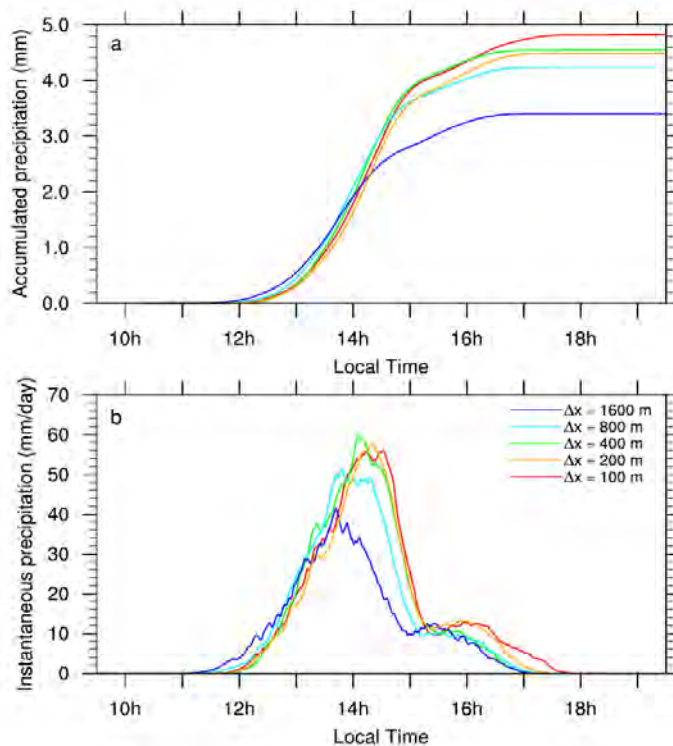


FIGURE 2.10 – Évolution des précipitations accumulées (a) et instantannées (b). Valeurs moyennées sur le domaine d’analyse pour les simulations à 100 m (rouge), 200 m (orange), 400 m (vert), 800 m (bleu ciel) et 1 600 m (bleu foncé).

le niveau de congélation, vers 5 km d’altitude) et celui de la convection profonde (qui atteint 12 km d’altitude environ) ont lieu tard dans la journée. Le contenu moyen en hydrométéores est plus faible aux résolutions les plus grossières, il ne dépasse jamais 500 mg/kg dans la simulation à 1 600 m par exemple. À partir de 15h environ, le contenu en hydrométéores diminue fortement sous le niveau de congélation. Au-dessus, la masse nuageuse de l’enclume persiste encore plusieurs heures.

L’évolution temporelle des précipitations sur les îles Tiwi (fig. 2.10) montre également un bon accord entre les cinq simulations. Comme pour le contenu en hydrométéores, seule la simulation à 1 600 m se démarque, avec des précipitations qui commence à baisser peu avant 14h, alors qu’elles continuent d’aug-



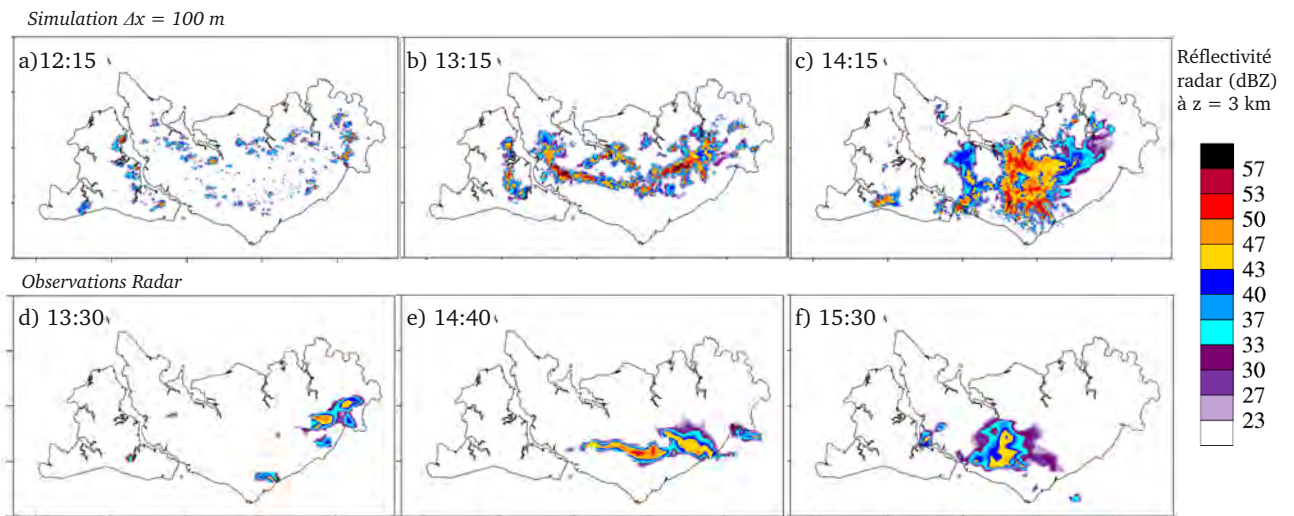


FIGURE 2.11 – Réfectivité radar à 3 km d’altitude dans la LES à 100 m (haut) et les observations par le radar CPOL de Berrimah (bas), situé à l’est de Darwin, à 50 km au sud de la pointe sud des îles Tiwi. La simulation présente une avance de 1h20 environ sur les observations. Alain Protat, chercheur du *Bureau of Meteorology* et responsable des observations par le radar Berrimah, m’a gentiment fourni ces données lors de ma visite au près de Todd Lane, à l’université de Melbourne.

menter jusqu’au taux instantané moyen de 60 mm/jour vers 14h15 dans les autres simulations. Les précipitations accumulées sont maximales dans la simulation à 100 m, avec un cumul moyen avoisinant 5 mm. Ce cumul maximal peut s’expliquer par les précipitations qui durent plus longtemps dans la simulation à 100 m, jusqu’à 17h30.

Les réfectivités radar peuvent être diagnostiquées par Méso-NH à partir des contenus en hydrométéores simulés. Le diagnostic est le plus fiable en basse troposphère, où les hydrométéores sont sous forme d’eau liquide et pour lesquels l’indice de réfraction est bien connu (au contraire des hydrométéores en phase mixte, mélange d’eau liquide, de glace et d’air). Les réfectivités sont présentées à 3 km d’altitude, suffisamment bas pour que les hydrométéores soient uniquement sous phase liquide et suffisamment haut pour que toute la surface des îles soit dans la zone de visibilité du radar Berrimah. L’organisation de la convection simulée par la LES à 100 m et celle observée par le radar Berrimah montrent

un accord relativement bon (fig. 2.11), malgré une avance d'environ 1h20 pour la simulation et la possible atténuation du signal radar par les précipitations le long du faisceau pour les observations.

La convection se développe davantage dans la simulation, en particulier sur les côtes au vent (ouest et nord), tandis que les cellules atteignent 3 km d'altitude uniquement à l'est et au sud des îles dans les observations (en accord avec la convection favorisée sur la côte sous le vent dans le forçage de type B, fig. 2.3). Cette différence peut être attribuée à l'initialisation de la simulation qui se fait à partir d'un profil identique en tout point du domaine. Le forçage à grande échelle, ainsi que les différences d'humidité en basse couche près du continent et au large, ne sont pas pris en compte dans les simulations. Le bon accord de la simulation avec les observations, malgré des conditions initiales semi-idéalisées, indique que le forçage à grande échelle est relativement faible pour cet événement du 30 novembre 2005. Dans la simulation et dans les observations, la convection atteignant 3 km d'altitude est d'abord isolée le long des côtes (fig. 2.11a,d), puis elle se déplace vers l'intérieur des îles jusqu'à former une bande est-ouest (fig. 2.11b,e), et enfin elle est concentrée au milieu des îles (fig. 2.11c,f) avant de se destabiliser en une ligne de grain qui se propage vers le sud-sud-ouest. La chronologie de l'événement déduite du rayonnement visible mesuré par le satellite MTSAT est similaire (Zhu et al., 2013). Cette comparaison avec les observations radar est préliminaire. Elle peut être améliorée avec l'utilisation du simulateur de radar de Mésos-NH, qui prend en compte la localisation du radar et l'atténuation du faisceau au cours de sa propagation. La comparaison des réflectivités peut également être complétée avec l'analyse de la structure verticale de Hector. Les distributions des réflectivités peuvent être comparées le long de la verticale, comme l'ont fait Varble et al. (2014) dans leur intercomparaison de modèles et de données radar.

Une des percées nuageuses reproduites par la LES à 100 m est également comparée aux observations (cf. fig. 1 de l'article qui suit). La percée nuageuse reproduite par la LES et celle observée par le lidar à bord de l'avion Geophysica mesurent toutes les deux une vingtaine de kilomètres de large, percent la tropopause (indiquée par le niveau à  $\theta = 380$  K) et rentrent en stratosphère sur environ 1 km. Les percées nuageuses sont dispersées par les forts vents stratosphériques, générant une poche d'humidité qui s'étend horizontalement sur une quarantaine de kilomètres.

## 2.3 Présentation de l'article

L'article qui suit s'attache à étudier l'impact de la convection très profonde sur l'humidité de la stratosphère. La sensibilité des résultats à la résolution horizontale est également décrite.

Les résolutions de 100 et 200 m donnent des résultats cohérents, ce qui peut être attribué à un meilleur échantillonnage des tourbillons intra-nuageux et donc à une moins grande incertitude liée à la représentation de ces tourbillons par le schéma de turbulence. On parle de quasi-convergence aux résolutions hectométriques car les résultats divergent avec un écart relatif inférieur à 20 % pour l'hydratation de la stratosphère, mais la cohérence des simulations aux mailles de 100 et 200 m est plus marquée encore au vu des propriétés des ascendances et de l'évolution temporelle de l'eau en stratosphère. L'analyse d'une série de simulations de convection océanique profonde, réalisée avec des grilles très similaires à celles des simulations présentées ci-dessus, suggère même une convergence des propriétés statistiques des ascendances avec des mailles de 100 et 200 m de côté (Khairoutdinov et al., 2009).

L'hydratation nette de la stratosphère est quantifiée en intégrant le contenu en vapeur d'eau entre 17 et 20 km d'altitude, en basse stratosphère, à la fin de la simulation. Des coupes horizontales à 18 km d'altitude révèlent en effet la présence de grandes poches d'humidité au sommet de Hector (fig. 2 de l'article qui suit). Les vents stratosphériques, dépassant les 6,5 m/s vers l'ouest-sud-ouest, advectent rapidement ces poches d'humidité et conduisent à leur dispersion. À 18 h, le vent résiduel moyen a déjà conduit à un étalement de la poche principale d'une quarantaine de kilomètres de large et à une diminution de la concentration maximale de vapeur d'eau de 20 % (de 10 à 8 ppmv, soit une anomalie de +6 à +4 ppmv par rapport à l'humidité de fond de la basse stratosphère : 4 ppmv). À l'échelle de la planète, cette rapide dilution de l'injection de vapeur d'eau en stratosphère pose question quant à nos capacités à détecter ces phénomènes brefs et locaux. L'intégration du contenu en vapeur d'eau en fin de simulation indique une hydratation nette de la stratosphère d'environ 3000 t d'eau.

La contribution de l'ensemble des phénomènes de convection très profonde au flux d'eau de la troposphère à la stratosphère est évaluée à partir de l'hydratation calculée pour Hector. La montée en échelle, de l'hydratation locale au flux planétaire, nécessite de connaître la fréquence des événements pouvant transporter de l'eau en stratosphère comme Hector. Les autres cas de convection très profonde sont dénombrés à partir de cinq ans de détection des phénomènes précipitants par le radar à bord du satellite de la mission TRMM. Plus de 5500 systèmes convectifs ont dépassé la tropopause à 380 K de température potentielle et ont été détectés par le radar pendant ces cinq ans (Liu and Zipser, 2005). Or le satellite ne permet au radar de couvrir l'ensemble de la bande tropicale que par période de 42 jours. Ainsi, le nombre d'événements perçant en stratosphère est plus important encore et on l'évalue à plus de 230 000 sur les cinq ans, soit environ 130 événements par jour. En faisant l'hypothèse que, en moyenne, le

transport d'eau de ces événements égale celui calculé pour Hector, le flux d'eau de la troposphère à la stratosphère par la convection est évalué à  $3,5 \cdot 10^8$  kg/jour. Comparé au flux total de  $2 \cdot 10^9$  kg/jour (Lelieveld et al., 2007), la convection très profonde contribue au transport total d'eau de la troposphère à la stratosphère à hauteur de 18 %. Ce calcul est sujet à de grandes incertitudes. Tout d'abord, il n'a pas été montré que l'hydratation moyenne des systèmes convectifs très profonds est comparable à celui calculé pour Hector le 30 novembre 2005. Une très grande variabilité de l'impact de ces systèmes convectifs a été relevée (Hassim and Lane, 2010). L'intensité de Hector lui-même varie d'un événement à l'autre (Gentile and Ferretti, 2016). Enfin, le dénombrement de ces systèmes convectifs et le flux total d'eau de la troposphère à la stratosphère sont eux-mêmes sujets à de larges incertitudes. Pour autant, ce résultat semble indiquer que la convection très profonde contribue de manière non négligeable au flux d'eau de la troposphère à la stratosphère.

L'hydratation de la stratosphère par la convection est l'effet final auquel concourent plusieurs processus intra-nuageux. Le transport d'eau vers la stratosphère est dû à d'intenses ascendances chargées en hydrométéores, tandis que l'hydratation de la stratosphère est le fruit de la compétition entre la sédimentation et la sublimation des hydrométéores glacés au sommet de Hector. En troposphère, les ascendances sont définies comme l'ensemble des points où la vitesse verticale dépasse 1 m/s. La distribution de leurs vitesses verticales et de leur contenu en eau indiquent de fortes valeurs pour le 99<sup>ème</sup> centile : plus de 20 m/s entre 6 et 12 km d'altitude et plus de 11 g/kg d'hydrométéores entre 7 et 15 km d'altitude. Les valeurs des 90<sup>ème</sup> et 99<sup>ème</sup> centiles des vitesses verticales et contenu en hydrométéores varient peu avec la résolution, excepté pour la simulation à maille de 1600 m qui présentent des valeurs bien plus faibles. Cette vigueur moins importante à basse résolution peut s'expliquer par un plus faible

entraînement de l'air chaud et humide dans les basses couches et à une dissipation turbulente et une dilution plus importante en troposphère qui se traduisent par une fraction nuageuse plus importante en troposphère libre. En stratosphère, l'injection d'eau par Hector est illustrée par l'évolution temporelle du contenu en eau au sommet de Hector. Le contenu en eau total augmente de l'équivalent de 10 ppmv entre 13 et 14 h (exception faite de la simulation à 1600 m qui a une heure d'avance sur les autres). Dans le même temps, le contenu en vapeur d'eau reste constant, indiquant que l'injection se fait sous forme de glace (l'eau liquide est absente à ces altitudes). Pendant les quatre heures qui suivent, le contenu en eau total diminue et celui en vapeur d'eau augmente, traduisant à la fois la sédimentation d'une partie des hydrométéores glacés et la sublimation du reste.

## **2.4 *Large-Eddy Simulations of Hector the Convective making the stratosphere wetter***

Article publié en 2015 dans *Atmospheric Science Letters*.

# Large-eddy simulations of Hector the convective making the stratosphere wetter

Thibaut Dauhut, Jean-Pierre Chaboureaux,\* Juan Escobar and Patrick Mascart

Laboratoire d'Aérodynamique, Université de Toulouse and CNRS, Observatoire Midi-Pyrénées, 14, avenue Edouard Belin 31400, France

\*Correspondence to:

J.-P. Chaboureaux, Laboratoire  
d'Aérodynamique, Université de  
Toulouse and CNRS,  
Observatoire Midi-Pyrénées, 14,  
avenue Edouard Belin, 31400,  
France.

E-mail: Jean-Pierre.Chaboureaux@  
aero.obs-mip.fr

## Abstract

**A large-eddy simulation (LES) was performed for a Hector thunderstorm observed on 30 November 2005 over the Tiwi Islands. On that day, ice particles reaching 19-km altitude were measured. The LES developed overshooting updrafts penetrating the stratosphere that compared well with observations. Much of the water injected in the form of ice particles sublimated in the lower stratosphere. Net hydration was found with a 16% increase in water vapour. While moistening appeared to be robust with respect to the grid spacing used, grid spacing on the order of 100 m may be necessary for a reliable estimate of hydration.**

**Keywords:** tropical tropopause layer; large-eddy simulation; deep convection

Received: 9 September 2013

Revised: 17 July 2014

Accepted: 19 August 2014

## 1. Introduction

The impact of tropical convection on the exchange between troposphere and stratosphere has long been considered negligible as thunderstorms only rarely reach heights exceeding 18 km. This supposed lack of rapid transfers of water and chemical components is simulated by existing climate models using horizontal grid spacings of 100 km or coarser. However, none of these models are able to explain the trends in stratospheric water vapour measured between 1950 and 2000 (e.g. Garcia *et al.*, 2007) or even the cooling trend in the upper tropical troposphere (Cordero, 2006). However, particles of ice and humid air pockets have been observed around convective systems in the lower tropical stratosphere in Brazil (Chaboureaux *et al.*, 2007; Corti *et al.*, 2008), West Africa (Khaykin *et al.*, 2009) and Australia (Corti *et al.*, 2008). Associated numerical studies with more detailed models run with kilometre grid spacing showed that the tropical convection could extend above the local tropopause and enter the lower stratosphere up to an altitude 20 km (Chaboureaux *et al.*, 2007; Grosvenor *et al.*, 2007; Chemel *et al.*, 2009). These studies support the idea that very deep convection can hydrate the stratosphere. However, the importance of the influence of transport by deep convection on the composition of the air in the upper troposphere and lower stratosphere remains an open and much debated question (e.g. Pommereau *et al.*, 2011).

Until now, numerical simulations of intense tropical storms reaching the lower stratosphere have most often been performed with a horizontal grid spacing of the order of 1 km. Because this resolution allows an explicit treatment of the convection, the models using such grid spacing are called cloud-resolving models

(CRMs) or nowadays convection-permitting models. However, the representation of motion within the clouds remains insufficiently resolved. In particular, the effect of sub-cloud scale eddies is assumed to be accounted for the subgrid turbulence parameterization. This makes the convective transport estimated from these simulations uncertain. Several studies (e.g. Bryan *et al.*, 2003; Petch, 2006) have thus advocated the use of grid spacing of the order of 100 m to represent the convective flow correctly. With such a grid spacing, eddies that contain most of the kinetic energy are resolved in the so-called large-eddy simulation (LES) while small eddies that carry negligible flux are subgrid processes.

The objective of this study is to explore the sensitivity of convective water transport in the tropical stratosphere to the horizontal resolution in the range generally used by CRM and LES. The finest resolution employed here is the cubic grid spacing of 100 m, making it the world's first explicit simulation of convective transport and turbulence associated with a storm reaching the lower stratosphere. The thunderstorm studied is Hector, a storm that grew daily during pre-monsoon on the Tiwi Islands north of Darwin, Australia. A convective plume rising through the tropopause was observed over Hector by lidar on board the aircraft Geophysica flying more than 18 km above (Corti *et al.*, 2008). A series of simulations were performed with horizontal grid spacings of 1600, 800, 400, 200 and 100 m. They all successfully simulated the thunderstorm during its full life cycle, from its genesis to its dissipation.

## 2. Model and numerical experiments

The simulations were run with the Meso-NH model (Lafore *et al.*, 1998) on a domain centred over the Tiwi

islands. Recent development in the large parallel computing capability of Meso-NH (Pantillon *et al.*, 2011) made possible to run the model with 16 384 cores in LES mode over a large domain ( $2560 \times 2048 \times 256$  gridpoints or 1.34 billion total grid points), wide enough not to be affected by the open lateral boundary conditions. The grid spacing of 100 m allowed the model to resolve the convection explicitly. The model top was set to 25 km with the upper 3 km including a sponge layer to damp gravity waves generated by the convection. The model used parameterizations for turbulence (Cuxart *et al.*, 2000), mixed-phase clouds (Pinty and Jabouille, 1998), and surface–atmosphere exchanges (Noilhan and Planton, 1989) and the radiative scheme used at ECMWF (Gregory *et al.*, 2000). The LES run was compared to simulations performed with the same parameterizations over the same domain of  $256 \times 204.8$  km, but with coarser horizontal grid spacing of 1600, 800, 400 and 200 m. The simulations were integrated for 10 h.

The model was initialized by the sounding launched from Darwin at 0000 UTC 30 November 2005 (i.e. 0930 LST) characterized by a convective available potential energy of  $2074 \text{ J kg}^{-1}$ . Between 13 and 17 km, the water vapour content was taken from the European Centre for Medium-Range Weather Forecasts (ECMWF) analysis. Aloft, it was derived from the observations of Corti *et al.* (2008) with a linear increase from 2 ppmv at 380 K ( $\sim 17$  km) to 4 ppmv at 410 K ( $\sim 18$  km) and a 4 ppmv value aloft. No large-scale forcing was applied. Information on orography and land cover is obtained from 1-km resolution databases ensuring that the same surface description was applied for the simulations with horizontal grid spacing ranging from 100- to 800-m. Surface conditions were taken from the ECMWF analysis with a sea surface temperature of 302 K, a surface soil temperature of 303 K and a moisture content of  $0.16 \text{ m}^3 \text{ m}^{-3}$ . Convection was triggered as the result of the sea breeze induced by the contrasting surface latent and sensible heat fluxes over land and sea. Outputs from the simulations were averaged over a rectangular domain of  $173.2 \times 93.2$  km centred on the Tiwi islands and were saved every 5 min.

### 3. Results

Figure 1(a) shows a vertical section of total water across Hector at 1400 LST during its most intense phase in the LES. On the left, the storm cell dissipates leaving a wet pocket in the stratosphere. On the right, the cell is fully developed vertically. Its cloud envelope reaches the tropopause located 17 km away and a plume of condensed water is injected above an altitude of 19 km. Because of the rapid upward motion, the right-hand cell is upright and full of cloud particles in an unchanged background of water vapour. Figure 1(b) zooms in on some details of the left-hand plume. It displays a 15-km wide convective core at the tropopause. Aloft, the plume is characterized by a residual cloud a few hundred metres high surrounded by positive anomalies of

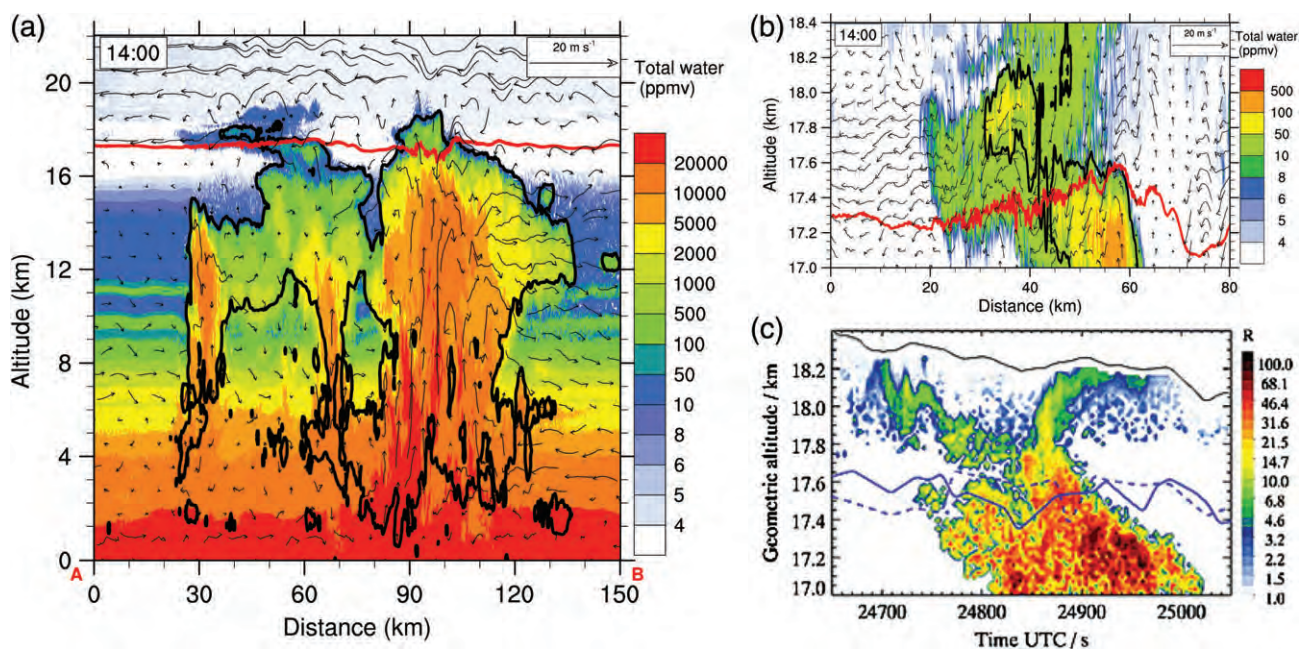
water vapour stretched by the shear of the stratospheric winds.

The dissipating plume shares some characteristics with what was observed from the stratospheric aircraft (Corti *et al.*, 2008). Figure 1(c) shows the backscatter ratio from lidar observations during 400 s, which corresponds to a distance of 80 km given a flight speed of  $200 \text{ m s}^{-1}$ . The convective core is also about 15-km wide at the tropopause. A straight plume reached 18 km altitude while cloud remnants are spread with the winds (note that the Geophysica aircraft did not have a straight flight path). A 15-ppmv maximum of total water was measured at the aircraft altitude, which was attributed to ice particles (Corti *et al.*, 2008). This maximum value roughly corresponds to the in-cloud values associated with the left-hand cell in the simulation. The observed maximum is however much lower than the values simulated in the right-hand cell shown in Figure 1(a). The aircraft measurement was made at 1620 LST, 20 min after the end of the convective episode (Chemel *et al.*, 2009).

Figure 2 shows the water vapour content at 18 km altitude in the LES. At 1400 LST, some pockets of moist air are located in the vicinity of the convective towers shown in Figure 1(a). Some of them are organized as rings around eyes of unchanged water contents, which are the imprints of convective plumes overshooting the altitude of 18 km. The other pockets of moist air were created by convective plumes reaching 18 km altitude at most. At 1800 LST, the storm activity had been over for 2 h. In the lower stratosphere, turbulent motions generated by convective updrafts had dissipated leaving a water vapour content fluctuating around 4 ppmv over the main island. A 50-km long pocket of moist air was located over the western coast of the Tiwi islands. This residual anomaly was transported westward away from the convective sources by the winds aloft. It reached water vapour values between 6 and 9 ppmv.

Because the main driving force of stratospheric hydration by Hector is the strength of the updrafts that carry water, we now compare the updraft intensity and hydrometeor content as well as cloud fraction and entrainment (calculated below freezing level using the standard bulk plume model) among the five simulations. Updrafts were defined as grid points where vertical wind speed exceeds  $1 \text{ m s}^{-1}$ . The distributions shown in Figure 3 were analysed between 1330 and 1530 LST and over a rectangular domain encompassing the Tiwi islands. In the boundary layer, the entrainment is dominated by the many small clouds. As expected, it is reduced with coarser resolution as small clouds are less resolved (thus less numerous). The reduced entrainment into the base of the updrafts makes them weaker at coarser resolution. As a result, the vertical velocity for the most rapid updrafts generally decreases with reduced resolution. The change in updraft properties at the cloud base with resolution has an impact on the vertical development of the convection up to the lower stratosphere. The strong updrafts in the boundary layer obtained by the three finest simulations reinforce the





**Figure 1.** (a) Vertical section of total water across Hector on 30 November 2005 at 1400 LST along the line AB shown in Figure 2. (b) Zoom on the upper part of (a). (c) Backscatter ratio from lidar observation; figure taken from Corti *et al.* (2008). The 380-K isentrope is represented by a red line in (a) and (b), and a blue line in (c). The black line delineates the cloud limit with condensed water mixing ratio larger than  $10^{-5}$  kg kg $^{-1}$  in (a) and (b) and the aircraft altitude in (c).

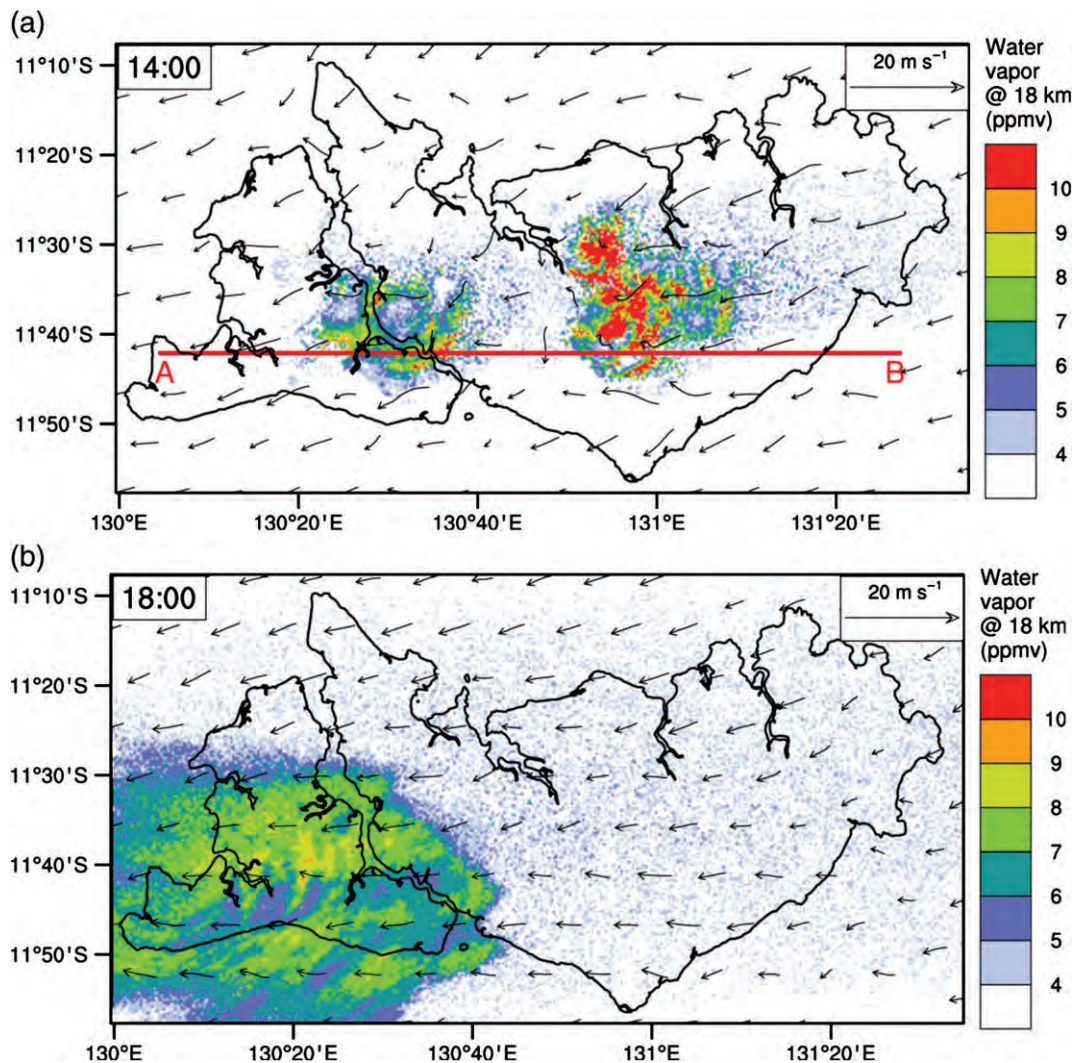
updrafts in the upper troposphere. The weaker updrafts produced in the boundary layer by the 1600-m simulation yield a larger cloud fraction and lower hydrometeor content in the free troposphere. This sensitivity of the updraft hydrometeor content to resolution is clearly seen above the freezing level and is the most dramatic for the 99th percentile updraft quantities. Around 17 km, the updraft hydrometeor content values decrease strongly reaching zero values at 19-km altitude. Above that level, upward wind velocities are due to gravity waves. Note that the 400-m simulation produces the highest vertical velocity. This is due to an underestimation of mixing in the boundary layer by the turbulence scheme (Honnert *et al.*, 2011). Such a drawback is a common modelling issue for grid spacing ranging between the mesoscale and LES limits, Wyngaard's so-called terra incognita. It is worth noting that near-convergence in the quantities shown in Figure 3 is obtained for the LES and the 200-m simulation.

Total water and water vapour were averaged every 5 min over the same rectangular domain as used to analyse updraft properties and in the layer between the tropopause and the maximum altitude reached by the convective plume, that is between 17- and 20-km altitude. The time evolution of water was similar among the simulations (Figure 4). All the simulations showed an abrupt increase in total water at 1300 LST that lasted about 1 h (at the exception of the 1600-m simulation for which convection started about 1 h earlier.) This short duration corresponds to the period of intense convection, which has been observed by radar (Chemel *et al.*, 2009). From 1400 LST onwards the total water decreased mostly due to hydrometeors precipitating below the 17 km altitude. From that time, the water

vapour increased from an average value of 3.7–4.3 ppmv at 1600 LST. Because the low temperature at the tropopause (188 K) limited the export of water vapour from the troposphere, the increase in water vapour was explained by ice crystals sublimating before they could reach the troposphere back. At 1830 LST the total water in excess was in the form of vapour only. This air, enriched in water vapour, was then transported outside the domain encompassing the Tiwi islands by the easterlies.

The total water and water vapour content in the lower stratosphere changed with the resolution. The coarser-resolution simulations tended to develop more rapidly, which resulted in ice injection from 1200 LST onwards, compared with 1320 LST in the LES. Because the water vapour was produced from the ice particles, its increase was also delayed by 80 min in the LES. The maximum of total water varied between 10 and 33 ppmv with the grid spacings of 1600 and 400 m, respectively. However, the LES and the 200-m simulation showed a similar maximum of 13 ppmv. The variation in the water vapour content maximum was small between 4.2 and 4.7 ppmv. These values correspond to a net increase in water vapour between 12 and 27%. Again, the LES and the 200-m simulation showed good agreement with an increase of 16 and 18%, respectively.

When integrating over the domain encompassing the Tiwi islands, a net hydration of 2776 t was found for the LES (against 2222, 2252, 4525 and 3263 t for the 1600-, 800-, 400- and 200-m simulations, respectively). By averaging over potential temperature levels 380–420 K ( $\sim 17$ –18.5 km), Chemel *et al.* (2009) found a moistening of 0.06 and 2.24 ppmv for the two models they run with a 1-km horizontal grid spacing.



**Figure 2.** Water vapour mixing ratio (shading, ppmv) and horizontal wind (vector,  $\text{m s}^{-1}$ ) at 18 km-altitude at (a) 1400 and (b) 1800 LST. In (a), the red line represents the position of the vertical cross section shown in Figure 1(a).

Integrated over their model domains and with an air density taken to be  $0.165 \text{ kg m}^{-3}$ , these increases corresponded to a net hydration of 1072 and 28 959 t, respectively. Thus, the estimates given here are in the range of those found by Chemel *et al.* (2009). However the range of uncertainty in the results of Chemel *et al.* (2009) is more than one order of magnitude. Further work, such as model intercomparison using the idealized set-up implemented here, is needed to reduce this strong uncertainty.

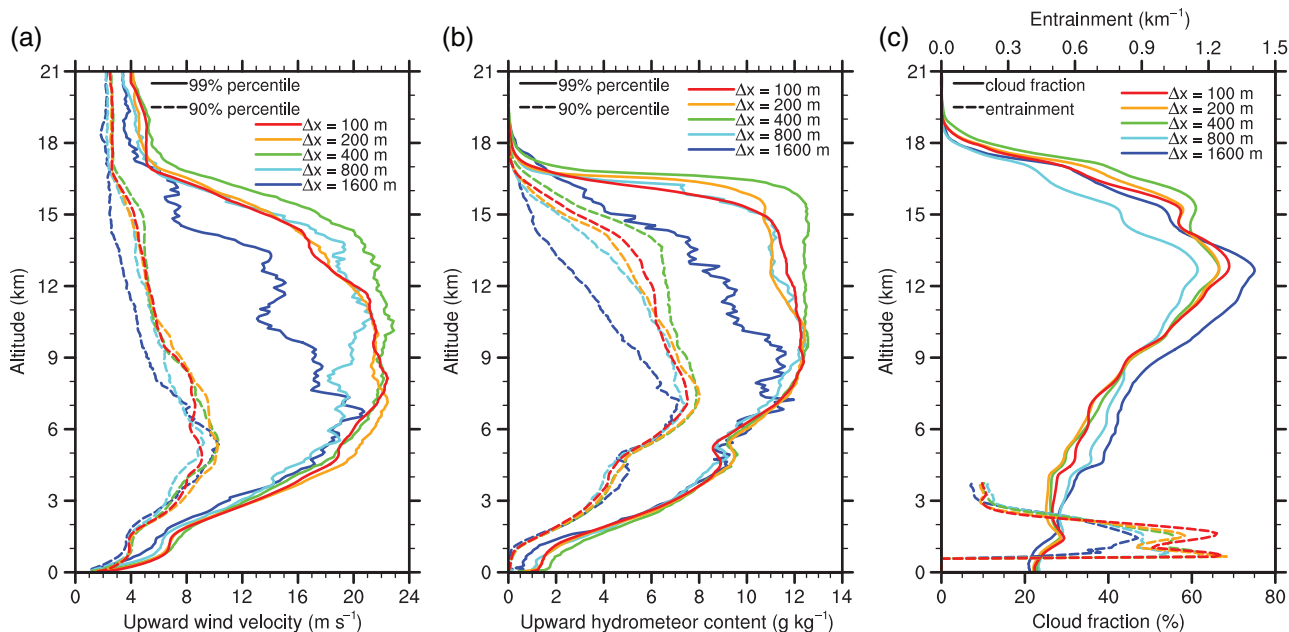
#### 4. Concluding remarks

A LES of the storm Hector showed that it substantially hydrated the lower stratosphere by injecting ice particles, some of which sublimated into 2776 t of water vapour. As in simulations at coarser resolution, a moistening rather than a drying was robust with respect to the grid spacing. However, uncertainty on the water vapour content was high. It is worth mentioning that convergence on the import of water vapour into the

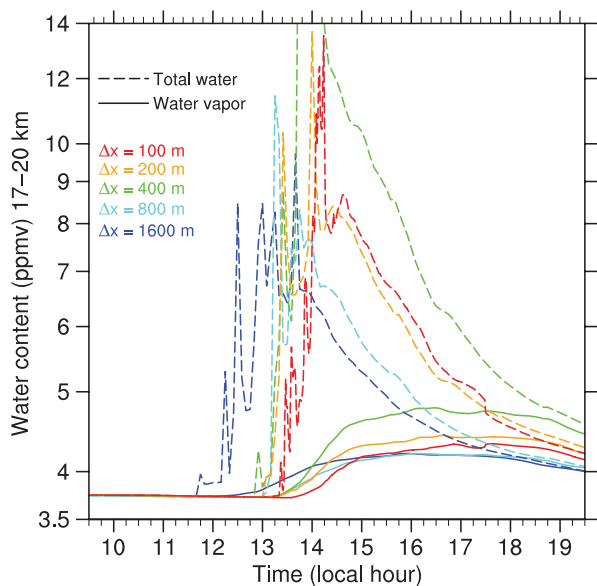
stratosphere has still not been attained between the LES and the 200-m simulation. Nevertheless, these two simulations do agree on the water vapour increase within 20%.

These small scale processes should have an impact on a large scale. From the estimated value of 2776 t, the local impact of Hector can be scaled up to calculate the contribution of the convective overshoots to the annual mean upward water vapour flux across the 100 hPa level ( $2 \times 10^9 \text{ kg day}^{-1}$  according to Lelieveld *et al.* (2007)). On the basis of 5-year observations by the Tropical Rainfall Measuring Mission (TRMM) precipitation radar, 5512 tropical convection systems penetrated the 380-K potential temperature level (Liu and Zipser, 2005). Given a 50-day revisit time for TRMM, the contribution from convection would represent 18% of the total flux.

Of course this estimate needs to be appreciated with regard to the large uncertainties that are associated with all the figures given above. First, the local contribution of Hector found here is in the range of previous estimates but the degree of uncertainty on the



**Figure 3.** Vertical profiles of quantities obtained between 1330 and 1530 LST over the rectangular domain shown in Figure 2: 90th and 99th percentile upward (a) wind velocity and (b) hydrometeor content and (c) mean cloud fraction and entrainment (below freezing level).



**Figure 4.** Total water (dashed line) and water vapour (solid line) mixing ratio averaged between 17 and 20 km altitude over the rectangular domain shown in Figure 2.

present results is larger than one order of magnitude. Second, the sensitivity to microphysics remains to be investigated as the microphysical processes are essential for controlling the water flux at the tropopause including the sublimation of ice into vapour and the change in buoyancy during phase transformation. An intercomparison between models running with a grid spacing of at least 200 m would allow to progress to be made on that point. Finally, the simulation of other storms in contrasting weather environments remains to be studied to assess the importance of the impact of convective transport on a global scale.

### Acknowledgements

This research was supported by the CNRS/INSU LEFE MANGO project and StratoClim funded by the European Union Seventh Framework Programme under grant agreement no 603557. Computer resources were allocated by GENCI through projects 90569 and 100231 (Grand Challenge Turing).

### References

Bryan GH, Wyngaard JC, Fritsch JM. 2003. Resolution requirements for the simulation of deep moist convection. *Monthly Weather Review* **131**: 2394–2416, doi: 10.1175/1520-0493(2003)131<2394:RRFTSO>2.0.CO;2.

Chaboureaud JP, Cammas JP, Duron J, Mascart PJ, Sitnikov NM, Voessing HJ. 2007. A numerical study of tropical cross-tropopause transport by convective overshoots. *Atmospheric Chemistry and Physics* **7**: 1731–1740, doi: 10.5194/acp-7-1731-2007.

Chemel C, Russo MR, Pyle JA, Sokhi RS, Schiller C. 2009. Quantifying the imprint of a severe Hector thunderstorm during ACTIVE/SCOUT-O3 onto the water content in the upper troposphere/lower stratosphere. *Monthly Weather Review* **137**: 2493–2514, doi: 10.1175/2008MWR2666.1.

Cordero EC, de F. Forster PM. 2006. Stratospheric variability and trends in models used for the IPCC AR4. *Atmospheric Chemistry and Physics* **6**: 5369–5380, doi: 10.5194/acp-6-5369-2006.

Corti T, Luo BP, de Reus M, Brunner D, Cairo F, Mahoney MJ, Martucci G, Matthey R, Mitev V, dos Santos FH, Schiller C, Shur G, Sitnikov NM, Spelten N, Vössing HJ, Bormann S, Peter T. 2008. Unprecedented evidence for deep convection hydrating the tropical stratosphere. *Geophysical Research Letters* **35**: L10810, doi: 10.1029/2008GL033641.

Cuxart J, Bougeault P, Redelsperger JL. 2000. A turbulence scheme allowing for mesoscale and large-eddy simulations. *Quarterly Journal of Royal Meteorological Society* **126**: 1–30, doi: 10.1002/qj.49712656202.

Garcia RR, Marsh DR, Kinnison DE, Boville BA, Sassi F. 2007. Simulation of secular trends in the middle atmosphere, 1950–2003. *Journal of Geophysical Research* **112**, doi: 10.1029/2006JD007485.

Gregory D, Morcrette JJ, Jakob C, Beljaars AM, Stockdale T. 2000. Revision of convection, radiation and cloud schemes in the ECMWF

- model. *Quarterly Journal of Royal Meteorological Society* **126**: 1685–1710, doi: 10.1002/qj.49712656607.
- Grosvenor DP, Choullarton TW, Coe H, Held G. 2007. A study of the effect of overshooting deep convection on the water content of the TTL and lower stratosphere from Cloud Resolving Model simulations. *Atmospheric Chemistry and Physics* **7**: 4977–5002, doi: 10.5194/acp-7-4977-2007.
- Honnert R, Masson V, Couvreux F. 2011. A diagnostic for evaluating the representation of turbulence in atmospheric models at the kilometer scale. *Journal of the Atmospheric Sciences* **68**: 3112–3131.
- Khaykin S, Pommereau J-P, Korshunov L, Yushkov V, Nielsen J, Larsen N, Christensen T, Garnier A, Lukyanov A, Williams E. 2009. Hydration of the lower stratosphere by ice crystal geysers over land convective systems. *Atmospheric Chemistry and Physics* **9**: 2275–2287, doi: 10.5194/acp-9-2275-2009.
- Lafore JP, Stein J, Asencio N, Bougeault P, Ducrocq V, Duron J, Fischer C, Hérelil P, Mascart P, Masson V, Pinty JP, Redelsperger JL, Richard E, Vilà-Guerau de Arellano J. 1998. The Meso-NH Atmospheric Simulation System. Part I: adiabatic formulation and control simulations. *Annals of Geophysics* **16**: 90–109, doi: 10.1007/s00585-997-0090-6.
- Lelieveld J, Brühl C, Jöckel P, Steil B, Crutzen PJ, Fischer H, Giorgetta MA, Hoor P, Lawrence MG, Sausen R, Tost H. 2007. Stratospheric dryness: model simulations and satellite observations. *Atmospheric Chemistry and Physics* **7**: 1313–1332, doi: 10.5194/acp-7-1313-2007.
- Liu C, Zipser EJ. 2005. Global distribution of convection penetrating the tropical tropopause. *Journal of Geophysical Research* **110**: D23104, doi: 10.1029/2005JD006063.
- Noilhan J, Planton S. 1989. A simple parameterization of land surface processes for meteorological models. *Monthly Weather Review* **117**: 536–549, doi: 10.1175/1520-0493(1989)117<0536:ASPOLS>2.0.CO;2.
- Pantillon F, Mascart P, Chaboureaud JP, Lac C, Escobar J, Duron J. 2011. Seamless MESO-NH modeling over very large grids. *Comptes Rendus Mécanique* **339**: 136–140, doi: 10.1016/j.crme.2010.12.002.
- Petch J. 2006. Sensitivity studies of developing convection in cloud-resolving model. *Quarterly Journal of Royal Meteorological Society* **132**: 345–358, doi: 10.1256/qj.05.71.
- Pinty JP, Jabouille P. 1998. A mixed-phase cloud parameterization for use in a mesoscale non-hydrostatic model: simulations of a squall line and of orographic precipitations. In *Conference on Cloud Physics*. American Meteorological Society: Everett, WA; 217–220.
- Pommereau JP, Garnier A, Held G, Gomes AM, Goutail F, Durry G, Borchi F, Hauchecorne A, Montoux N, Cocquerez P, Letrenne G, Vial F, Hertzog A, Legras B, Pisso I, Pyle JA, Harris NRP, Jones RL, Robinson AD, Hansford G, Eden L, Gardiner T, Swann N, Knudsen B, Larsen N, Nielsen JK, Christensen T, Cairo F, Fierli F, Pirre M, Marécal V, Huret N, Rivière ED, Coe H, Grosvenor D, Edvarsen K, Di Donfrancesco G, Ricaud P, Berthelot J-J, Godefroy M, Seran E, Longo K, Freitas S. 2011. An overview of the HIBISCUS campaign. *Atmospheric Chemistry and Physics* **11**: 2309–2339, doi: 10.5194/acp-11-2309-2011.



## Chapitre 3

# Dynamique de Hector lui permettant d'atteindre la stratosphère

Ce chapitre explore la structure interne de Hector et plus particulièrement les courants ascendants qui la composent. L'objectif est de mettre en évidence les processus qui lui permettent d'atteindre et d'hydrater la stratosphère. La méthode d'identification des ascendances est expliquée dans un premier temps. Les ascendances peuvent alors être distinguées les unes des autres, contrairement au chapitre précédent où elles étaient caractérisées statistiquement. Une brève présentation de l'article « *Giga-LES of Hector the Convective and its two tallest updrafts up to the stratosphere* » est donnée en soulignant l'importance des deux plus grandes ascendances dans le transport vers la stratosphère et en résumant les processus menant au développement de ces deux structures. L'article est ensuite reproduit *in extenso*.

### 3.1 Identification des ascendances

Les ascendances sont les acteurs-clés du transport à l'intérieur des orages. Ce sont ces ascendances rapides qui transportent de l'air et de l'eau depuis la base des ascendances jusqu'à leur sommet. Selon l'intensité de la convection, ces ascendances peuvent atteindre la basse stratosphère. Comme les ascendances peuvent s'étendre horizontalement sur plusieurs kilomètres, la Giga-LES avec 100 m de maille échantillonne suffisamment l'espace pour qu'elles soient représentées explicitement. L'étude individuelle des ascendances est donc menée à partir de cette simulation.

Les mouvements verticaux sont correctement représentés par le modèle sur une gamme d'échelles qu'il est possible de déterminer à l'aide de spectres sur les vitesses verticales (spectre rouge dans la fig. 3 de l'article qui suit). Aux grandes échelles horizontales, allant de 75 à 7,5 km environ, le contenu en énergie est quasiment constant (du fait de l'initialisation homogène de la simulation par un même et unique profil atmosphérique). Aux petites échelles horizontales, inférieures à 7,5 km, l'énergie diminue avec l'échelle selon une loi de puissance en  $-5/3$  (Kolmogorov, 1941). La cascade d'énergie des grandes aux petites échelles est correctement représentée jusqu'à une échelle de 200 m. L'énergie ne s'accumule pas ou ne fait pas défaut pour quelque échelle que ce soit puisque le spectre ne dévie pas de la courbe théorique. Les mouvements verticaux, et les ascendances en particulier, sont donc correctement représentés jusqu'à une échelle de 200 m. Aux échelles inférieures à 200 m, le schéma de turbulence de Méso-NH dissipe suffisamment l'énergie.

Les ascendances sont définies dans cette étude comme les régions connexes de l'espace où la vitesse verticale dépasse un certain seuil. Le défi est double puisqu'il s'agit à la fois de distinguer les ascendances les unes des autres, et de le faire

sur une grille contenant plus d'un milliard de points. Pour cela, un algorithme d'identification des ascendances a été développé de manière à ce qu'il puisse être exécuté par plusieurs processeurs en parallèle en utilisant la bibliothèque « *Message Passing Interface* ». Dans la pratique, les ascendances sont dans un premier temps détectées dans leur ensemble grâce au seuil sur la vitesse verticale. Ensuite, les ascendances sont distinguées les unes des autres par l'attribution d'un numéro unique d'identification. Cela conduit à la génération d'un champ 3D où tous les points appartenant à la même ascendance partagent le même numéro d'identification. L'appartenance d'un point de grille à une ascendance X se détermine en balayant l'espace sur l'horizontale puis sur la verticale, et en propageant l'information « appartient à l'ascendance X ». La difficulté rajoutée par le codage en parallèle vient du fait que le domaine est partagé entre les différents processeurs. Les processeurs doivent alors régulièrement communiquer entre eux, indiquant aux autres le numéro d'identification qu'ils attribuent aux ascendances au bord de leur sous-domaine, ainsi que les changements de numéros d'identification (ce qui est le cas lorsqu'une seule et même ascendance reçoit deux numéros différents par deux processeurs voisins). Un certain nombre d'itérations, non déterminé à l'avance, doit être effectué pour s'assurer qu'à la fin de l'identification plusieurs numéros d'identification ne soient pas attribués à différentes parties d'une seule et même ascendance. L'utilisation de tableaux communs à tous les processeurs pour renommer les ascendances permet l'exécution complète de l'algorithme sur la grille à plus d'un milliard de points en environ une minute et demie de temps d'horloge avec deux mille processeurs.

Un seuil de 10 m/s sur les vitesses verticales distingue les ascendances de leur environnement. Ce seuil a un double avantage. D'abord, il permet de filtrer les ondes de gravité dont l'amplitude maximale est de 4 m/s dans la Giga-LES (fig. 9 de l'article qui suit). Ensuite, il isole les courants ascendants les plus puis-



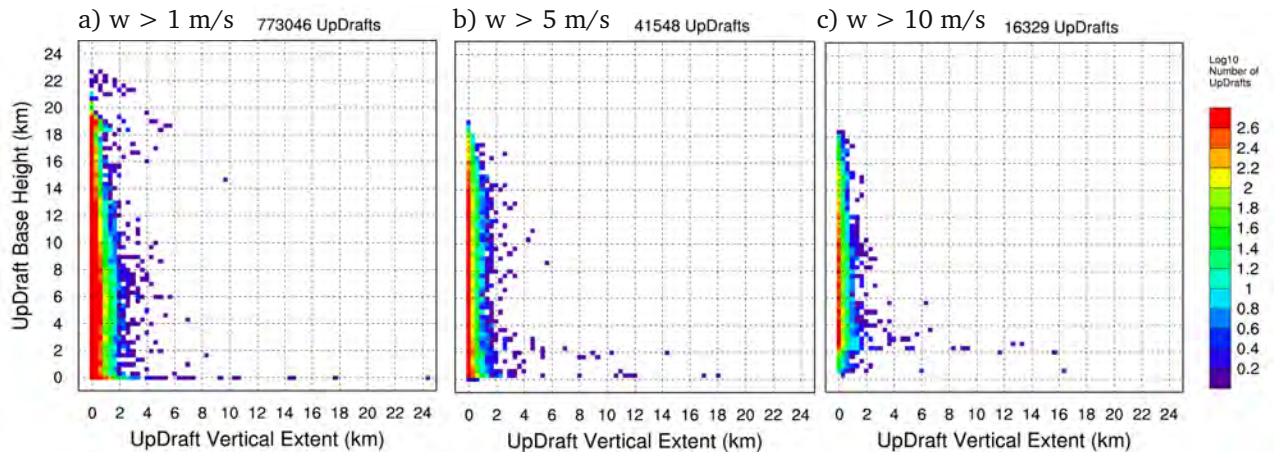


FIGURE 3.1 – Populations des ascendances dans la Giga-LES à 13h15, heure locale, détectées avec un seuil sur la vitesse verticale  $w$  de 1 m/s (a), 5 m/s (b) et 10 m/s (c).

sants. En effet, entre 13h30 et 15h30 et entre 3 et 15 km d'altitude, ce seuil se situe entre le 90<sup>ème</sup> et le 99<sup>ème</sup> centile de la distribution des vitesses verticales supérieures à 1 m/s (chapitre 2). Un seuil réduit conduit à détecter beaucoup plus d'ascendances, plus de 700 000 avec 1 m/s (fig. 3.1). Si le seuil est trop bas, 1 m/s par exemple, des ondes de gravité sont prises pour des ascendances (entre 20 et 23 km d'altitude par exemple) et les grandes ascendances s'étendent sur plus de 24 km de haut, soit jusqu'à 7 km au-dessus de la tropopause. Il est important de souligner que quelque soit le seuil utilisé, on retrouve les deux sous-populations de grandes et de petites ascendances décrites ci-dessous.

## 3.2 Présentation de l'article

Les ascendances individuelles ont été caractérisées dans l'article qui suit. Le nombre d'ascendances identifiées varie de quelques milliers à plus de 16 000 en fonction du stade de développement de Hector. Systématiquement deux sous-populations se distinguent, les petites ascendances avec des extensions verticales inférieures à 4 km et les grandes ascendances avec des extensions verticales su-

périeures à 4 km. Les grandes ascendances sont une douzaine et leur base est située à moins de 6 km d'altitude. Par rapport aux petites ascendances, les grandes ascendances sont plus larges et plus volumineuses. Lorsque la convection est la plus intense, les deux plus grandes ascendances se démarquent de toutes les autres avec une extension verticale de 16 km, un volume de près de  $10^3 \text{ km}^3$  et une largeur maximale de près de 10 km. Ces deux plus grandes ascendances se caractérisent également par une largeur de plus de 4 km au niveau de leur base. La contribution de ces deux plus grandes ascendances au flux de masse de l'ensemble des ascendances dépasse les 90 % en TTL. Ces plus grandes ascendances ont des valeurs de flottabilité moyenne, de vitesse verticale et de contenu en hydrométéores supérieures à celles des plus grandes ascendances des phases de convection moins intenses. Du fait de leur faible dilution en troposphère, elles redistribuent efficacement la masse qu'elles transportent depuis leur base jusqu'en haute troposphère et en basse stratosphère.

Le développement de Hector jusqu'à la stratosphère est caractérisé par la définition de quatre phases de convection successives. Les phases de convection congestus, profonde, très profonde et mature sont définies en fonction de l'altitude maximale des nuages. Chacune dure une heure. Les plus grandes ascendances apparaissent au-dessus de lignes de convergence définies par de fortes valeurs de convergence du flux d'humidité dans les basses couches. Ces lignes de convergence apparaissent le long du front de brise puis, pendant la phase de convection congestus, elles sont progressivement pilotées par les poches froides dues aux précipitations. Les lignes de convergence se déplacent vers le centre des îles, s'intersectent et s'intensifient, menant à une convergence du flux d'humidité en surface supérieure à  $7 \text{ g/m}^3/\text{min}$  pendant la phase de convection très profonde. Les deux plus grandes ascendances se développent alors au-dessus de ces zones d'intersection. Enfin, les plus grandes ascendances de convection ma-

ture n'atteignent pas la stratosphère à cause du refroidissement en surface dû aux poches froides.

### ***3.3 Giga-LES of Hector the Convecton and its two tallest updrafts up to the stratosphere***

Article publié en 2016 au *Journal of the Atmospheric Sciences*.

## Giga-LES of Hector the Convective and Its Two Tallest Updrafts up to the Stratosphere

THIBAUT DAUHUT, JEAN-PIERRE CHABOUREAU, JUAN ESCOBAR, AND PATRICK MASCART

*Laboratoire d'Aérodynamique, Université de Toulouse, CNRS, UPS, Toulouse, France*

(Manuscript received 11 March 2016, in final form 8 September 2016)

### ABSTRACT

The dynamics of Hector the Convective, which overshoot into the stratosphere on 30 November 2005 over the Tiwi Islands, Australia, is investigated using a giga-large-eddy simulation with a 100-m cubic mesh. Individual updrafts, defined as 3D objects with vertical velocity above  $10 \text{ m s}^{-1}$  are identified. Among the 20 000 updrafts formed during the most intense phase, only a dozen were more than 4 km tall. The two tallest updrafts accounted for more than 90% of the total vertical mass flux through the tropical tropopause layer. Their locations were determined by low-level convergence lines first created by the sea breeze in the morning, then enhanced by cold pools due to cumulus congestus. They finally reinforced each other as they moved inland and intersected. The two tallest updrafts that overshoot the tropopause were contrasted with those occurring 1 h earlier and later. They presented larger widths (up to 8 km), greater buoyancy (up to  $0.1 \text{ m s}^{-2}$ ), stronger vertical velocities (up to  $50 \text{ m s}^{-1}$ ), and larger hydrometeor contents (more than  $10 \text{ g kg}^{-1}$ ). They kept their core weakly diluted on their way to the stratosphere with an entrainment rate as low as  $0.08 \text{ km}^{-1}$ . Both the low-level convergence lines intensified by cold pools and the reduced mixing in the troposphere were found to be the determinant for the transition from deep to very deep convection.

### 1. Introduction

In the tropics, the very deep convective systems are so deep that they cross the tropical tropopause layer (TTL) and reach the stratospheric overworld (Holton et al. 1995). Because of their supposed scarcity, the capacity of very deep convective events to redistribute low-troposphere species into the stratosphere has long been considered negligible. Recent observations have attracted renewed attention to the role of very deep convection on the stratosphere composition. Ice particles were found in the lower stratosphere above continental Brazilian thunderstorms (Chaboureau et al. 2007; Nielsen et al. 2007) and over the famous thunderstorm Hector the Convective in Australia (Corti et al. 2008; de Reus et al. 2009). Associated cloud-resolving model (CRM) simulations were successful in simulating very deep convection (e.g., Chaboureau et al. 2007; Chemel et al. 2009; Liu et al. 2010). Dauhut et al. (2015) performed a series of

large-eddy simulations (LESs) and CRM simulations of Hector. They found a stratosphere hydration of 3000 tons ( $1 \text{ ton} \approx 1000 \text{ kg}$ ) over the storm episode, almost converging at 100- and 200-m horizontal grid spacings. Upscaling this hydration, they estimated the contribution of very deep convection to the troposphere-to-stratosphere water mass flux at 18%. This result suggests that the very deep convection can have a large impact on the composition of the stratosphere.

An aspect of Hector not investigated so far is its internal organization that leads to the stratosphere hydration. Hector the Convective is a multicellular thunderstorm that develops on an almost daily basis during the premonsoon period (November and December) above the Tiwi Islands, 100 km north of Darwin, Northern Australia (Keenan et al. 1989). Its regularity makes it a natural laboratory and the subject of many studies investigating the triggering of the most intense convection (Crook 2001; Saito et al. 2001; Ferretti and Gentile 2009), the microphysical properties of overshooting convection (Frey et al. 2014), and the sensitivity of its representation to models (Chemel et al. 2009) and to their resolution (Dauhut et al. 2015). The last four studies focused on the event of 30 November 2005, documented during the

---

Corresponding author address: Thibaut Dauhut, Laboratoire d'Aérodynamique, Observatoire Midi-Pyrénées, 14 Ave. Edouard Belin, 31400 Toulouse, France.  
E-mail: thibaut.dauhut@aero.obs-mip.fr

Stratospheric-Climatic Links with Emphasis on the Upper Troposphere and Lower Stratosphere (SCOUT-O3) campaign (Brunner et al. 2009). On that day, Hector comprised two main cells: the first was apparently triggered by the intersection of two sea-breeze fronts in the east of the islands and the second by the encounter of the gusts produced below the first cell with another sea-breeze front (Ferretti and Gentile 2009). Some pockets of ice crystals were observed to be injected into the stratosphere by Hector (Corti et al. 2008; de Reus et al. 2009).

The goal of this article is to investigate the key processes that led the thunderstorm to overshoot into the stratosphere. The internal structure of Hector is investigated in terms of individual updrafts. The updrafts are the elementary structures of the active parts of the system, where air masses ascend faster than anywhere else. Previous studies have considered the updrafts all together and computed their statistical properties inside the whole volume of the updrafts (e.g., Khairoutdinov et al. 2009; Romps and Kuang 2010; Dauhut et al. 2015). Here, each individual updraft is identified through the application of a clustering algorithm. It is then possible to compute statistics on the population of updrafts, to detect any outstanding structures that enable Hector to reach the stratosphere, and to characterize them. In the following, it will be shown that the two tallest updrafts are those that matter for the hydration of the stratosphere.

The first question concerns the formation and the properties of the tallest updrafts that reach the tropopause. The mechanisms leading to the triggering and development of Hector will be investigated in detail. The second question addresses the efficiency of the transport toward the stratosphere. In particular, two characteristics determine how efficient the transport is: the vertical mass flux of the updrafts and the entrainment of environmental air. The latter measures how much the updrafts are diluted by the environment during their ascent in the atmosphere.

How this dilution affects the planetary boundary layer (PBL) air rising to the stratosphere is a long-debated question. The existence of very tall updrafts with almost no dilution by environmental air was first postulated by Riehl and Malkus (1958). However, since this pioneering work, many CRM studies have shown the existence of dilution for updrafts. Typical midtroposphere values of entrainment around  $0.2\text{ km}^{-1}$  have been found for different deep convective cases (e.g., Khairoutdinov and Randall 2006; Del Genio and Wu 2010; de Rooy et al. 2013). In general, the entrainment rate is reduced with increasing convection depth (Del Genio and Wu 2010). The intensity of the entrainment is also lower in the middle of the updraft vertical extension, while larger values are found at the base (Del Genio and Wu 2010;

de Rooy et al. 2013). A numerical study in radiative–convective equilibrium attested to the virtual absence of undiluted PBL air at the tropopause and even at the freezing level (Romps and Kuang 2010). Instead, the capacity of the updrafts to overshoot the tropopause was attributed to the boost given by the release of latent heat due to the freezing of hydrometeors. For this Hector case of very deep convection, we will show the existence of two tall updrafts that experienced the least dilution ever evidenced and accounted for most of the vertical mass flux into the stratosphere.

The use of a giga-LES in this study is worth emphasizing. A few LESs of deep convection have been run so far: a shallow-to-deep transition over land (Khairoutdinov and Randall 2006), a maritime deep convection in near equilibrium (Khairoutdinov et al. 2009), and Hector the Convective (Dauhut et al. 2015). These studies show that the cumuli are quickly diluted by the mixing with the environment during the shallow convection phase. This quick dilution, a scale-aware process, affects the time needed by the convection to deepen. As a result, the updraft core velocities and total water content are larger at finer resolutions. This points out the need for a minimum of 100- or 200-m grid spacing to resolve the convective flow properly in a deep convective system.

This article is organized as follows. The simulation setup and the clustering method are described in section 2. The time evolution of the thunderstorm and its updrafts is characterized in section 3, where the importance of the tallest updrafts is shown. The formation, the properties, and the mass transport of these tallest updrafts are investigated in section 4. The key processes leading to very deep convection are summed up in section 5, where perspectives for future work are also suggested.

## 2. Model design and clustering approach

### a. Meso-NH large-eddy simulation

The simulation (Dauhut et al. 2015) was performed with the anelastic nonhydrostatic mesoscale model Meso-NH (Lafore et al. 1998). The domain of simulation extended over a surface of  $256 \times 204.8\text{ km}^2$  centered over the Tiwi Islands (Fig. 1). Such a wide domain was chosen to avoid deep convection being affected by open conditions imposed at lateral boundaries. In the vertical, the model had 256 levels up to 25-km altitude to include the whole TTL and the lower stratosphere, with a damping layer in the uppermost 3 km. In the horizontal, the grid spacing was set at 100 m to resolve the most energetic eddies explicitly. With a computational domain of 1.34 billion grid points ( $2560 \times 2048 \times 256$ ), this so-called giga-LES was made possible thanks to the adaptation of

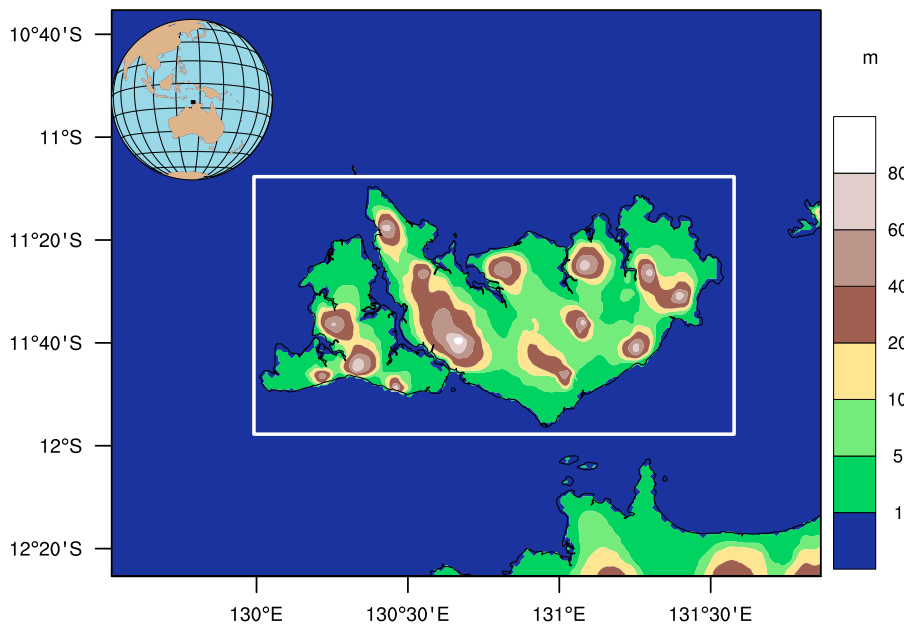


FIG. 1. Domain of simulation. The white rectangle is the domain of analysis, centered above the Tiwi Islands (Bathurst and Melville Islands to the west and east, respectively). The black lines are the coastlines. The color shades indicate the altitude above sea level.

Meso-NH for massively parallel computing (Pantillon et al. 2011). It was run for 10 h using 16 384 cores on an IBM Blue Gene/Q. The prognostic model variables were saved every 15 min, generating 20 Tb of data. Physical parameterizations included a 3D turbulence scheme based on 1.5-order closure (Cuxart et al. 2000), a mixed-phase microphysical scheme (Pinty and Jabouille 1998), the radiative scheme used at the European Centre for Medium-Range Weather Forecasts (ECMWF; Gregory et al. 2000), and the Interactions between Soil, Biosphere and Atmosphere (ISBA) scheme (Noilhan and Planton 1989).

The sounding (Fig. 2) launched from Darwin at 0930 LST (0000 UTC) 30 November 2005 was used for the initial conditions. The convective available potential energy was  $2074 \text{ J kg}^{-1}$ . We extended the water vapor profile between 13 and 17 km with the water vapor content from the ECMWF analysis. Above 17 km, based on observations by Corti et al. (2008), the water vapor content increased from 2 ppmv at 380 K (17 km) to 4 ppmv at 410 K (18 km) and took a uniform 4-ppmv value aloft. No large-scale forcing was applied. The description of orography and land cover was obtained from 1-km-resolution databases in order to remain the same when applied to coarser-resolution simulations (Dauhut et al. 2015). A sea surface temperature of  $29^\circ\text{C}$ , a surface soil temperature of  $30^\circ\text{C}$ , and a moisture content of  $0.16 \text{ m}^3 \text{ m}^{-3}$  taken from the ECMWF analysis were used for surface initial conditions. Over the ocean, the sea surface temperature was kept constant with time. As a consequence, the change in air-surface fluxes was due to the variation in atmospheric

temperature and wind only. Over land, the surface fluxes were computed by the ISBA scheme. This allows the land surface fluxes to evolve in time with the change of both soil and atmospheric variables.

To explore the sensitivity of Hector’s properties to the horizontal resolution, we performed additional simulations

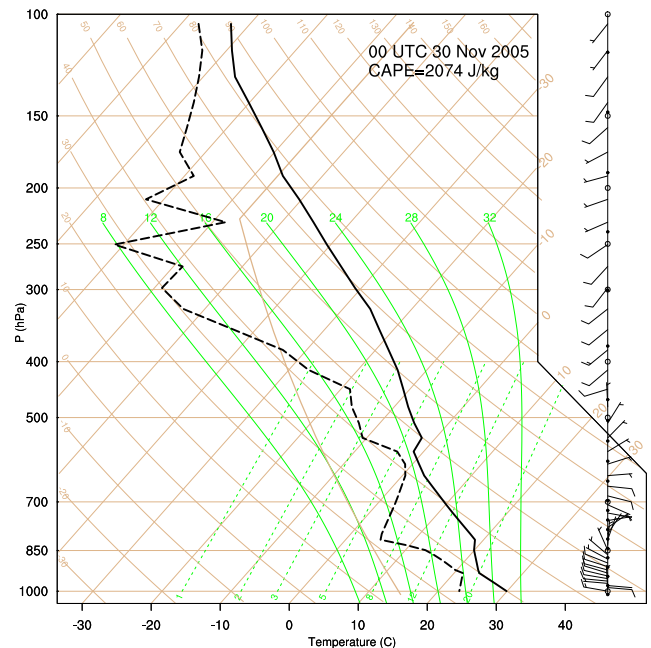


FIG. 2. Atmospheric profiles of temperature (solid line) and dewpoint temperature (dashed line) from the sounding taken in Darwin at 0930 LST 30 Nov 2005.

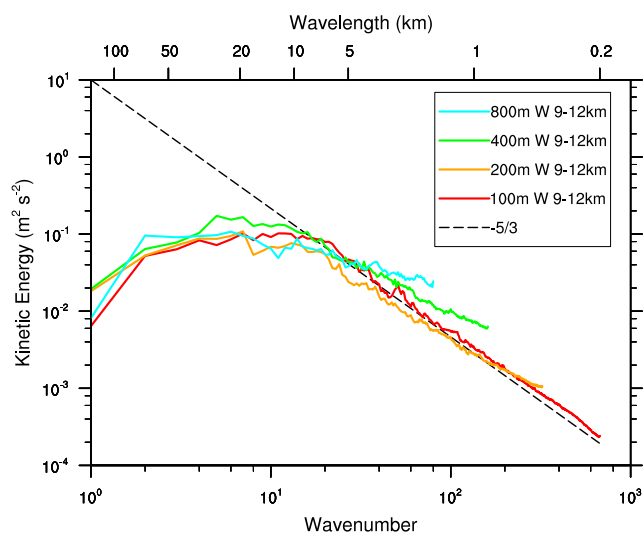


FIG. 3. Spectra of vertical motions at 1400 LST at 9–12-km altitudes in the LES (100-m grid spacing), the 200-, 400-, and 800-m simulations. The theoretical power law at  $-5/3$  is shown with the black dashed line.

with grid spacings of 200, 400, and 800 m using the same parameterizations, domain, and integration time. These simulations at coarser resolutions also reproduced Hector's overshoots and its water transport into the lower stratosphere (Dauhut et al. 2015). The vertical velocity distributions were relatively robust with the resolution for the grid spacings between 100 and 800 m. They all showed 90<sup>th</sup>-percentile profiles of the upward wind velocity departing one from the other of less than  $2 \text{ m s}^{-1}$ . At 1300 LST, the spectra of the vertical motions between 9 and 12 km of altitude were compared to the theoretical spectrum (Fig. 3). For all resolutions, the kinetic energy contained in the vertical motions ranging from 7.5- to 75-km horizontal scale was almost constant, on the order of  $10^{-1} \text{ m}^2 \text{ s}^{-2}$ . At smaller horizontal scales, the kinetic energy decreased following the theoretical power law of  $-5/3$ . For the 400- and the 800-m grid spacings, the smallest scales contained too much kinetic energy compared to the theoretical spectrum. This suggests a lack of energy dissipation by the turbulence scheme for these grid spacings. In contrast, the spectra of vertical motions for the simulations with 100- and 200-m grid spacings fit the theoretical spectra very well for wavelengths shorter than 5 km. This shows that the vertical motions were well resolved down to a wavelength of 200 m for the LES. In the rest of the study, only the LES output (100-m grid spacing) will be considered.

### b. Updraft cluster identification

We define updrafts as three-dimensional objects made of connected grid points for which the vertical velocity exceeds an arbitrary threshold. Once detected and

identified, these objects can be described individually by computing geometrical, thermodynamical, and dynamical properties. Updraft cluster identification consists in distinguishing the different updrafts and in giving a different identity number to each. In practice, two grid points of the atmosphere have the same updraft identity number if and only if they belong to the same updraft: that is, there is a path connecting them where the vertical velocity is over the threshold. Two criteria define our cluster identification: the vertical velocity threshold and the rules of connectivity.

The vertical velocity threshold is assumed to be large enough so that local fluctuations of the vertical velocity will not be considered as updrafts and that the updrafts are properly separated from one another. A threshold of  $1 \text{ m s}^{-1}$  is commonly used (e.g., Khairoutdinov et al. 2009; Romps and Kuang 2010; Glenn and Krueger 2014) but accompanied by a threshold on condensed water content. In cases of very deep convection like Hector the Convective, strong gravity waves are excited (Lane et al. 2001), producing fluctuations of vertical wind in the upper troposphere and in the stratosphere, which must not be mistaken for updrafts. They reach a maximum amplitude of  $4 \text{ m s}^{-1}$ , which is much less than the strongest updrafts. Since the LES presents very large values of vertical velocity, up to  $8 \text{ m s}^{-1}$  for the 90th percentile and  $22 \text{ m s}^{-1}$  for the 99th percentile of the vertical velocities over  $1 \text{ m s}^{-1}$  (Dauhut et al. 2015), we selected a threshold of  $10 \text{ m s}^{-1}$ . Visual inspection supported this choice for the detection of updrafts.

The rules of connectivity determine the shape of the updrafts. Two contiguous grid points (i.e., sharing a common face either in the horizontal or the vertical direction) are considered as connected. Diagonal connections are considered only in the vertical direction in order to take slantwise convection into account.

As the LES has more than 1 billion grid points, the updraft cluster identification had to be run on parallel computers for practical efficiency. The MPI library was used for communication between processors. We applied the updraft cluster identification algorithm to the snapshots of the whole 3D simulated volume (available every 15 min) every time deep convection occurred. An example is given at 8-km altitude, at 1315 LST (Fig. 4a). The updrafts occupy only a small part of the cloud section. The 10 largest updrafts can be identified, the smaller ones being too small to be noticed at the scale of the islands. The whole population at this time, more than 16 000 updrafts distributed between around 1- and 18-km altitudes, was represented in terms of vertical extent versus base altitude, volume, maximal effective width, and base effective width (Figs. 4b–e). The effective width is the diameter of a circle having the same

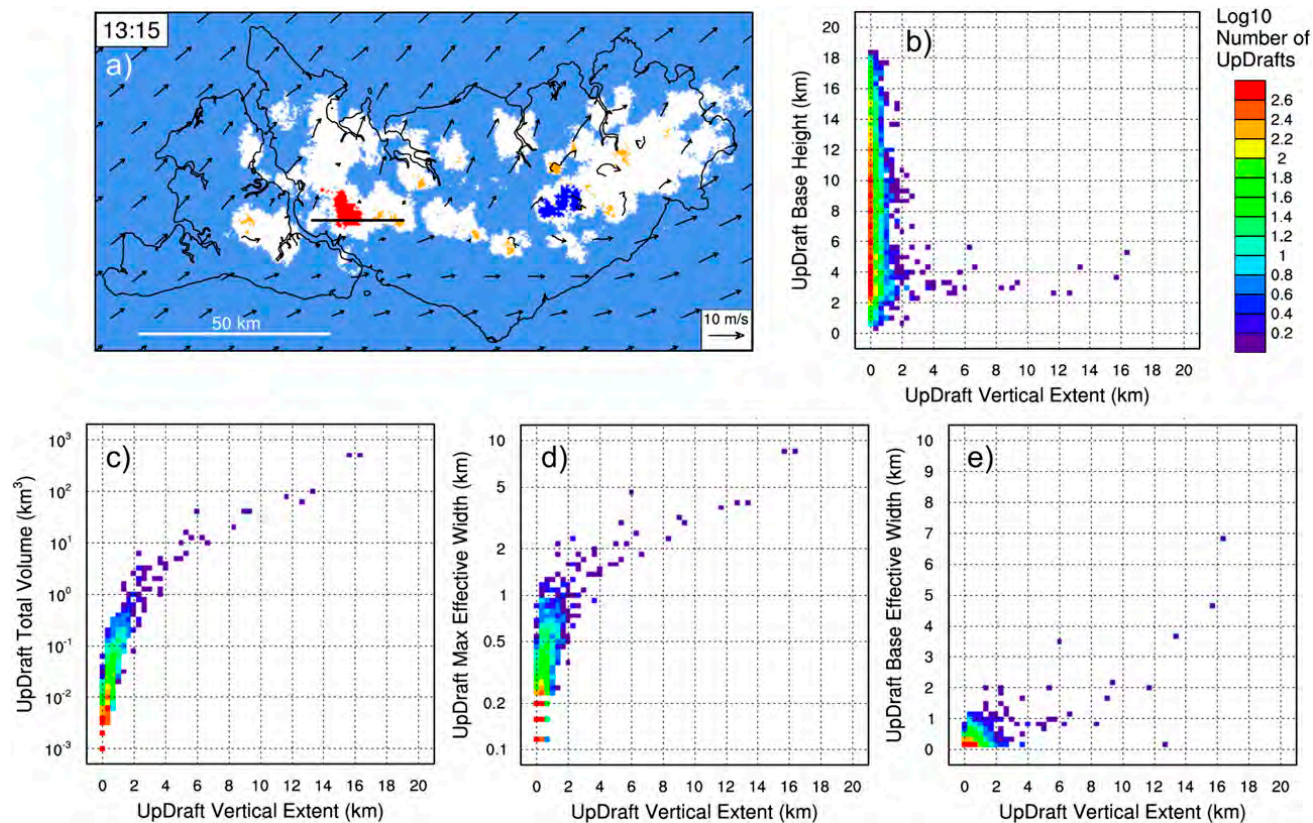


FIG. 4. LES outputs at 1315 LST. (a) Horizontal cross section of cluster identity numbers at 8-km altitude over the analysis domain. The two tallest updrafts are in blue and red, and the others are in orange. The clear sky is in light blue, and the cloud section is in white (cloud content above  $10 \text{ mg kg}^{-1}$ ). The arrows represent the horizontal wind at 8-km altitude. The straight black line corresponds to the position of the vertical cross section shown in Fig. 9b. Histograms of updraft population in terms of vertical extent ( $x$  axis) (1/3-km bin intervals) vs (b) altitude of their base (1/3-km bin intervals), (c) their total volume (1/10 logarithmic bin intervals), (d) their maximal effective width (1/30 logarithmic bin intervals), and (e) effective width of their base (1/6-km bin intervals). The color shading gives the logarithmic number of updrafts in each bin.

area as the cross section of the updraft. Two main subpopulations were distinguished: short updrafts with a vertical extent of less than 4 km (the vast majority) and tall updrafts with a larger vertical extent (the remaining updrafts, between 10 and 20). The presence of the two different subpopulations was robust whatever the threshold on the vertical velocity. The short updrafts were characterized by a volume lower than  $10 \text{ km}^3$ , a maximal effective width lower than 3 km, and a base effective width lower than 2 km. The tall updrafts had a base below 6-km altitude, most of them even below 4-km altitude. The tall updrafts were contrasted from the short updrafts with a larger volume, most of them with a larger maximal effective width (up to more than 8 km), and a quarter of them with a significantly larger base effective width (up to 7 km). The two tallest updrafts, around 16 km tall, had the largest values of volume (both around  $500 \text{ km}^3$ ), maximal effective width (both 8.7 km), and base effective width (6.9 and 4.7 km for the tallest and the second tallest updrafts, respectively). These very

large horizontal extents, even at the base, found for the tallest updrafts, suggest that a large effective width is a property that characterizes them. Indeed, the effective widths at the base of the tallest updrafts were found limited up to 4 km for the rest of the time. The relation between the large horizontal extent and the dilution of the tallest updrafts needs to be investigated. The current study addresses this question by computing the effective entrainment rate of the tallest updrafts and by quantifying the transport of conserved variables inside the tallest updrafts. First, the importance of the two tallest updrafts during the whole time deep convection occurred is highlighted in section 3b. Their characteristics are then investigated in section 4.

### 3. Overview

#### a. Main features

The life cycle of Hector reproduced by the LES, and in particular its gradual growth toward the stratosphere,



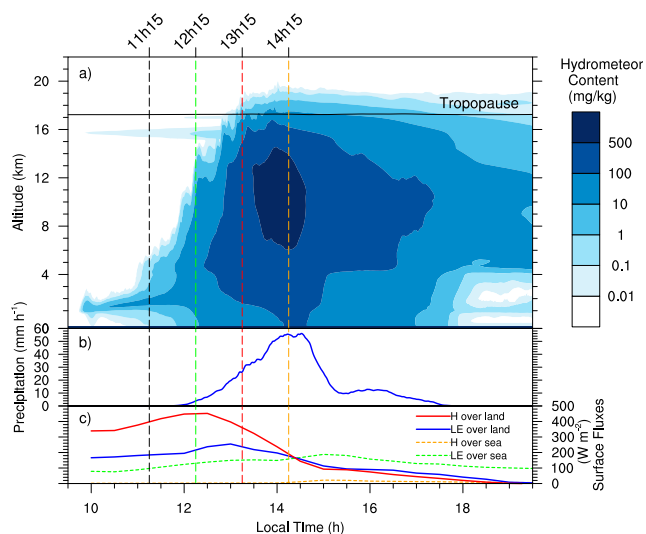


FIG. 5. Temporal evolution of (a) hydrometeor content, (b) precipitation rate at the surface, and (c) surface fluxes. In (c), sensible and latent heat fluxes are in red and blue solid lines over the islands and in orange and green dashed lines over the ocean, respectively. The key moments representative of the congestus, deep, very deep, and mature convection phases are highlighted with the black, green, red, and orange vertical dashed lines, respectively.

are shown in Fig. 5. The vertical profile of the hydrometeor content, the precipitation, and the surface fluxes, all averaged over the analysis domain shown in Fig. 1, allow the time evolution of Hector to be characterized with different phases, most during one hour.

The preconditional phase spanned from the beginning of the simulation to 1115 LST. The increase of surface fluxes over land first yielded dry convection over the Tiwi Islands. Cumulus humilis then appeared at the top of the PBL from 1000 LST. In agreement with the study by Saito et al. (2001), visual inspection of horizontal sections of the wind components (not shown) revealed that convective rolls formed on the windward (west) side of the islands from 1030 LST and that the sea breeze, as a result of the contrast in surface heat fluxes over land and sea, deflected the westerlies toward the Tiwi Islands (the wind slightly rotated toward the islands along the northern and the southwestern coasts, and its amplitude dramatically decreased along the southeastern coast: i.e., the lee shore). At 1115 LST, the congestus phase began with the first cumulus congestus reaching the freezing level, around 5-km altitude. The precipitation became significant, on the order of  $2 \text{ mm h}^{-1}$ , from 1200 LST as some cumulus congestus passed the freezing level and reached an altitude of 10 km.

The deep convection phase appeared at 1215 LST, with cumulonimbus tops around 14-km altitude, the lower bound of the TTL. The sensible heat flux over the

islands was then maximum. During the following hour, the precipitation increased steadily, reaching  $25 \text{ mm h}^{-1}$ . At the surface of the islands, the sensible heat flux decreased back to its morning value, whereas the latent heat flux increased up to a maximum of  $250 \text{ W m}^{-2}$ . Meanwhile, the growth of deep convection showed two gradual stages. First, the cumulonimbus tops stayed at around 14 km for half an hour and then reached 16 km for another half hour. At 1315 LST, the very deep convection phase started as cumulonimbus overshoot the tropopause (defined here by the 380-K potential temperature, which corresponds to the climatological cold-point tropopause situated around 17 km). During the following hour, the hydrometeor content steadily increased both in the stratosphere and in the troposphere, while the precipitation increased drastically up to  $56 \text{ mm h}^{-1}$ , and the sensible and latent heat fluxes decreased to  $180 \text{ W m}^{-2}$  over the islands.

From 1415 LST onward, Hector lost its vigor. The hydrometeor content in the troposphere decreased. The precipitation remained at its highest value for half an hour and then decreased sharply to  $10 \text{ mm h}^{-1}$ . At the surface, the heat fluxes continued to decrease over the islands, whereas they increased over the ocean because of the cold pools. In the stratosphere, the hydrometeor content decreased slowly as a result of sedimentation of ice particles. From 1515 LST onward, Hector was a more-stratiform-than-convective cloud system as the vertical velocity was strongly reduced (not shown). The precipitation rate remained almost steady (around  $14 \text{ mm h}^{-1}$ ) for 1 h and then slowly decreased to zero at 1730 LST. Below the freezing level, the hydrometeor content decreased significantly between 1700 and 1800 LST, to almost zero thereafter. Aloft, the stratiform cloud in the troposphere and the hydrometeor content in the stratosphere decreased slowly, as a result of evaporation and advection out of the analysis domain.

We selected 1115, 1215, 1315, and 1415 LST as key moments, representative of the congestus, deep, very deep, and mature convection phases, respectively. The evolution of the updraft population during the deep, very deep, and mature convection phases is described in section 3b. The shape and properties of the tallest updrafts are studied in section 4.

#### b. Updraft population

The identification of the updrafts over the whole domain resulted in large populations of three-dimensional objects with very diverse sizes and properties. The evolution of their number, their geometry, and their mass flux through the freezing level and the base of the TTL is shown in Fig. 6. All characteristics show a similar

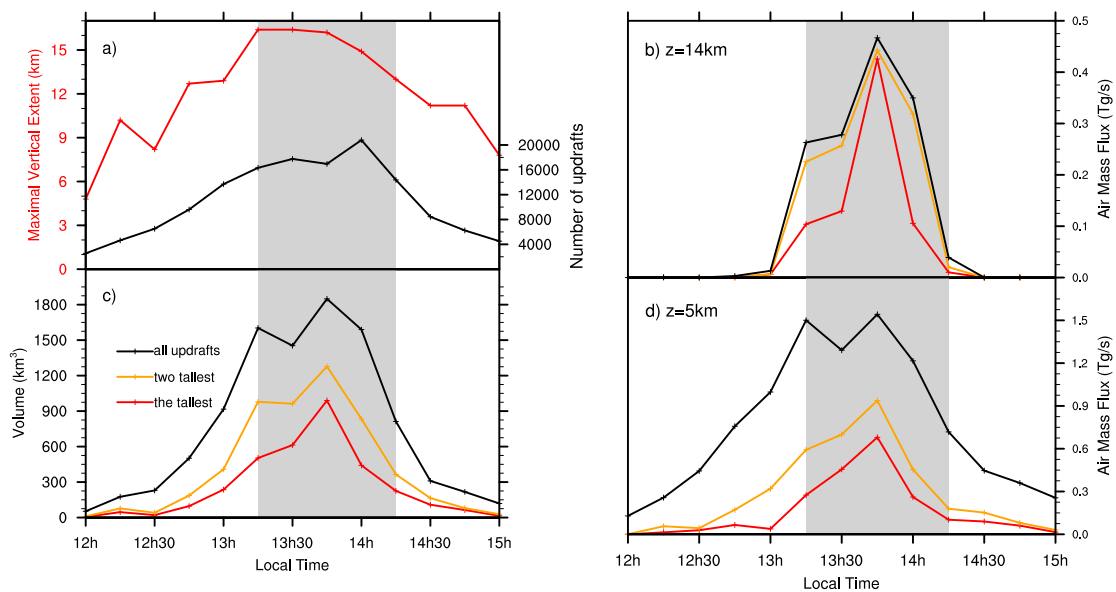


FIG. 6. Evolution of updraft characteristics: (a) maximal vertical extent in red and number of updrafts in black, (c) volume of the updrafts, and vertical air mass flux at (d) 5- and (b) 14-km altitude. The very deep convection phase is shaded in gray. In (b)–(d), the values for all the updrafts, the two tallest updrafts, and the tallest updraft are in black, orange and red, respectively.

evolution in the early afternoon, with an increase during the deep convection phase, a peak during the very deep convection phase, and a decrease during the mature convection phase. There were around 10 000 updrafts during the three phases, but most of them were extremely short (less than 333 m tall, for instance, at 1315 LST in Fig. 4b). Among the few tall updrafts, the two tallest ones had similar vertical extents and, most of the time, they were at least 2 km taller than the others. We now focus on their contribution to the volume and to the air mass flux in order to determine whether they were the most important coherent structures in the vertical transport.

After an intermittent increase during the deep convection phase, the maximal vertical extent reached its largest value of around 16 km and then remained constant for half an hour (Fig. 6a). The number of updrafts increased steadily until the end of the very deep convection phase, when it peaked around 20 000. During the mature convection phase, Hector experienced a decrease of the maximal extent of its updrafts, back to deep convection values (around 11 km), and a dramatic decrease in their number, which divided by 5 in 1 h, because of the decreasing convective activity (Fig. 5a).

The total volume of the updrafts (Fig. 6c) increased sharply during the deep convection phase (multiplied by 8 in 1 h), peaked at 1800 km<sup>3</sup> during the very deep convection phase, and decreased sharply during the mature phase (divided by 10 in 1 h). The increase in volume is representative of the growth of Hector in the vertical

direction, whereas the decrease shows its weakening without any change in its vertical extent (see the hydrometeor content in Fig. 5a). Interestingly, the two tallest updrafts accounted for more than 60% of the total volume during the very deep convection phase and around 40% the rest of the time.

The air mass flux due to all the updrafts just above the freezing level (at 5-km altitude; Fig. 6d) was around 1.4 Tg s<sup>-1</sup> during the very deep convection phase. The contribution of the two tallest updrafts then accounted for 40%–60%. At 14-km altitude (corresponding to the base of the TTL), the air mass flux was truly significant during the very deep convection phase only, 0.34 Tg s<sup>-1</sup> on average. It is noteworthy that the contribution of the two tallest updrafts accounted for 91% on average. At 1315 and 1400 LST, the second tallest updraft contributed even more than the tallest.

The very deep convection phase exhibited a maximum in the number of updrafts, their vertical extent, their volume, and their air mass flux at different levels. The values during the deep and mature convection phases were lower but still significant for all properties, except for the flux through the base of the TTL. This flux characterized the ability of Hector the Convective to affect the composition of the TTL and the stratosphere. The two tallest updrafts contributed 91% of this flux, demonstrating that they were far more important than the other updrafts. It is of key importance to understand why and how such updrafts form and what gives them the ability to transport low-tropospheric air into the

TTL and the stratosphere. The following section tackles these questions.

#### 4. Characteristics of the tallest updrafts

##### a. Development

As shown in the following, the tallest updrafts appear above areas of large moisture flux horizontal convergence. The latter are organized into lines of large positive values in the PBL, called convergence lines here. Maps of the moisture flux horizontal convergence at 210 m above the surface (where they are best defined), together with maps of the potential temperature at the first model level (20 m above the surface), are shown for the congestus, deep, very deep, and mature convection phases (Fig. 7). For the congestus phase, the formation of convergence lines is demonstrated using vertical sections of the tallest updraft across a line perpendicular to the coast (Fig. 8). For the deep, very deep, and mature convection phases, vertical cross sections of the tallest updrafts are represented (Fig. 9). Vertical profiles of the atmosphere 15 min before the development of these updrafts are examined in Fig. 10.

At 1115 LST, the congestus phase started. The near-surface potential temperature (Fig. 7a) was 2 K higher over the islands than over the ocean because of the contrast in sensible heat flux that exceeded  $300 \text{ W m}^{-2}$ . The sea breeze developed for about 45 min and led to the convergence of the horizontal wind at the scale of the islands. Local values of moisture flux horizontal convergence over  $3 \text{ g m}^{-3} \text{ min}^{-1}$  were reached along the coasts, forming early convergence lines (Fig. 7b). Vertical sections, crossing the early convergence line along the eastern coast of Melville Island (East Island), where the tallest updraft was located, are drawn perpendicular to the coast every 15 min (Fig. 8). For the congestus phase, the convergence lines are built along the coasts, where the sea breeze meets the buoyant air masses at the islands' surface. Above these lines, the cumulus congestus formed at the top of the PBL and extended up to the freezing level (e.g., at 6 km west of the coast at 1130 LST and at 15 km at 1200 LST). They produced rain and cold pools (at 8 km west of the coast at 1145 LST and at 15 km west at 1215 LST) that pushed the convergence lines farther inland.

At 1215 LST, the deep convection phase began. The convergence lines, still parallel to the coastlines, were advected toward the islands' center by the sea-breeze surface circulation (Fig. 7d). Few cold pools, shaded in blue in Fig. 7c, contributed to the inland advection of the convergence lines, and to their reinforcement, in the east of Melville Island and in the south of Bathurst

Island. The moisture-flux horizontal convergence increased to  $5 \text{ g m}^{-3} \text{ min}^{-1}$  in most of the convergence lines. In the east of Melville Island and between the two islands, the two tallest updrafts reached 14-km altitude. The position of these updrafts at 10-km altitude was shifted by 4 km eastward compared to the closest convergence line. This shift in space was due to the delay between the time needed for deep convection to transport near-surface air to this altitude and the time spent by the convergence line to be advected farther inland. One of the two tallest updrafts in the east of Melville Island is shown in Figs. 9a and 9d. Its base was thin (a few hundred meters), and the updraft became larger with altitude (up to 2–3 km). Its top was collocated with the top of the corresponding cloud and was surrounded by an intense subsiding shell, with downward wind stronger than  $5 \text{ m s}^{-1}$ . Such a subsiding shell may have a strong influence on the interaction between the developing cloud and its environment by controlling the entrainment of humid air at the cloud top and sides.

At 1315 LST, the very deep convection phase started. The convergence lines (Fig. 7f) stopped being parallel to the coasts; they were then driven by the edges of the cold pools (Fig. 7e). Whereas some of the convergence lines started to be expelled out of the islands, some others continued to move toward the center of the islands (Fig. 7f), where they intersected with moisture flux horizontal convergence larger than  $7 \text{ g m}^{-3} \text{ min}^{-1}$ . Above these lines, the two tallest updrafts developed up to almost 18-km altitude, one being located in east-central Melville Island and the other to the west of this island (shown in Figs. 9b,e). At the surface and at  $x = 12 \text{ km}$  in Fig. 9b, the latter produced heavy rain, with more than  $2 \text{ g kg}^{-1}$  in the lowest 3 km. Its base at 3-km altitude was about 3 km across, and it was around 8 km large in the free troposphere, from 6-km altitude up to the TTL base at 14-km altitude. Its top reached the tropopause above 17 km, and the corresponding cloud overshoot into the stratosphere. Intense subsiding shells were still present near the top of the tallest updraft, with downward wind stronger than  $10 \text{ m s}^{-1}$ , and along the edges of the tallest updraft, between 8- and 13-km altitudes. These intense downward motions occurred at the cloud edges, changing the properties of the entrained air from dry to humid. The other updraft shown in Figs. 9b and 9e, at  $x = 22 \text{ km}$ , also produced heavy rain and had a large base, but its vertical development was inhibited by the subsiding air that detrained from the tallest updraft.

At 1415 LST, the mature convection phase began. The updrafts led by the intersection of the convergence lines at the island center gathered and connected with each other to form convective clusters (Fig. 7h). The tallest one is shown in Figs. 9c and 9f. The convective clusters

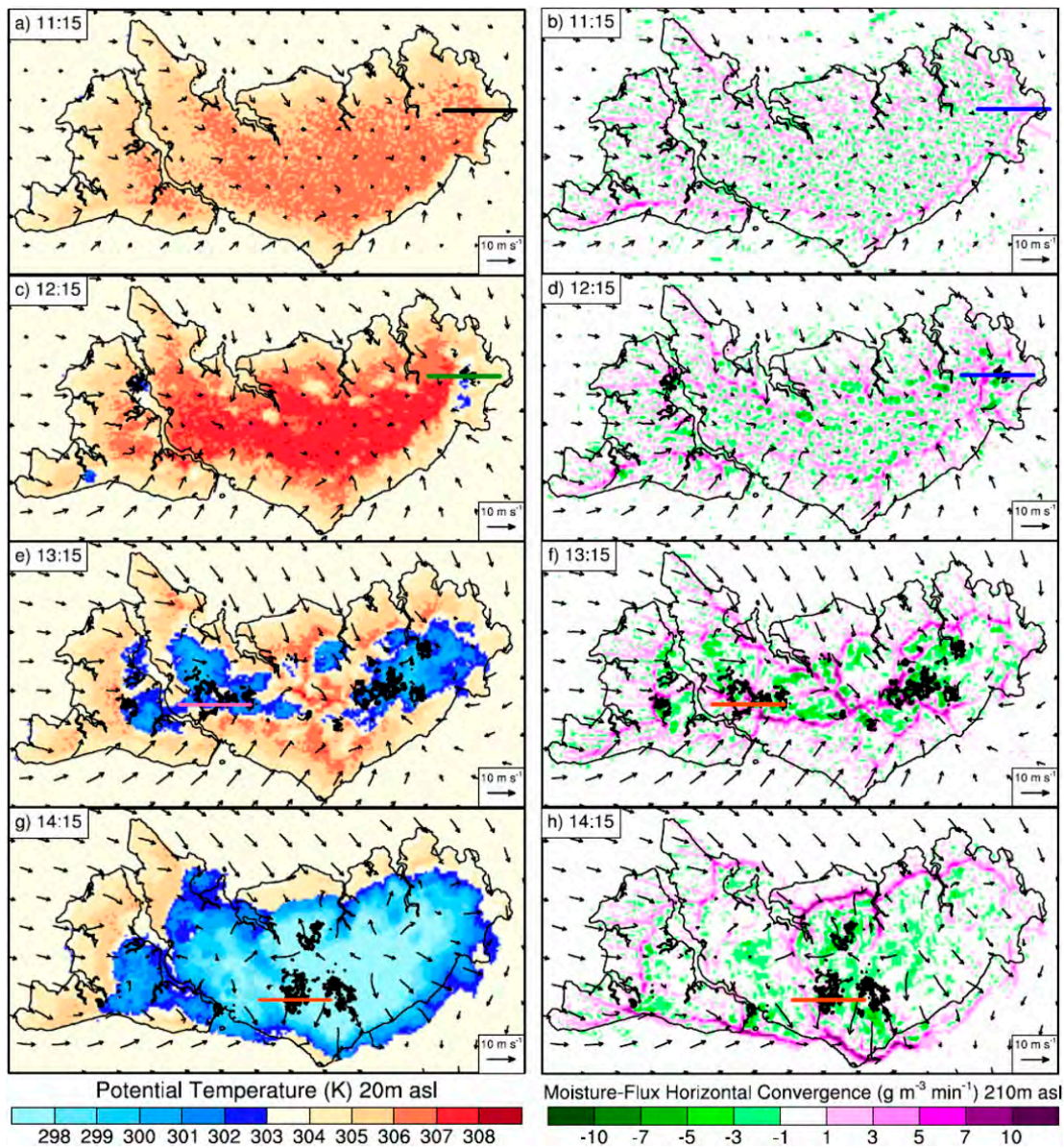


FIG. 7. (a),(c),(e),(g) Horizontal cross sections of potential temperature at the first model level, 20 m above the surface. (b),(d),(f),(h) Horizontal cross sections of moisture flux horizontal convergence 210 m above the surface level. The horizontal wind is superimposed. (top)–(bottom) The congestus (1115 LST), deep (1215 LST), very deep (1315 LST), and mature (1415 LST) convection phases are represented. The black contours show the location of the updrafts at 10-km altitude. The colored straight lines indicate the positions of the vertical cross sections presented in Figs. 8 and 9.

generated heavy loads of rain below their bases. This led to a massive cold pool (Fig. 7g) that spread horizontally, with near-surface potential temperature down to less than 298 K (6 K less than outside the cold pool) and humidity divergence larger than  $3 \text{ g m}^{-3} \text{ min}^{-1}$  over the center of the islands. This massive cold pool expelled the convergence lines out of the islands. The base of the convective cluster, between 4- and 6-km altitude, was multiple (Fig. 9c). Although it formed a connected structure extending more than 7 km horizontally, its shape was more complex than the very deep updraft in

Fig. 9b. The top of the convective cluster was at 13-km altitude. Intense subsiding shells were no longer located at the cloud top only but were ubiquitous around the updrafts. Subsiding shells stronger than  $5 \text{ m s}^{-1}$  were found between 7- and 16-km altitudes. The overall structure of the vertical wind inside the cloud system appeared much more complex than for the deep and very deep convection phases, with variations of vertical velocities larger than  $2 \text{ m s}^{-1}$  that spread in the whole cloud system. The cloud showed a large anvil in the upper troposphere, between 11- and 15-km altitude,

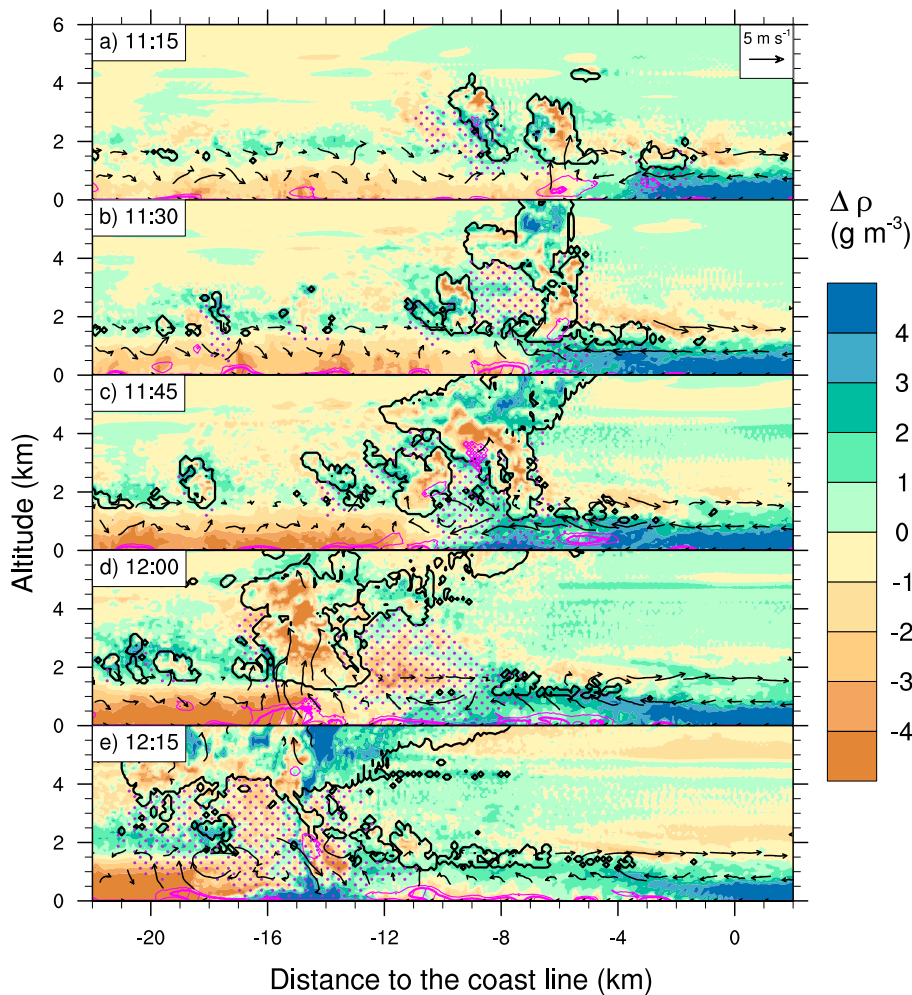


FIG. 8. Vertical sections, located across the blue line in Fig. 7 at 1115 LST, of density anomaly (color shading), zonal and vertical wind (arrows), cloud envelope (black contour at  $5 \text{ mg kg}^{-1}$ ), rain mixing ratio over  $10 \text{ mg kg}^{-1}$  outside the clouds (dots), and moisture flux horizontal convergence over  $3$  and  $5 \text{ g m}^{-3} \text{ min}^{-1}$  (magenta contours) at (a) 1115, (b) 1130, (c) 1145, (d) 1200, and (e) 1215 LST.

with an upper portion stretched by the easterlies between the tropopause and 18-km altitude (Fig. 9c).

To analyze the environment in which the tallest updrafts developed, the vertical profiles of moisture flux horizontal convergence, equivalent potential temperature  $\theta_e$ , and water content were averaged inside cylinders centered over these updrafts, 15 min before their occurrence (Fig. 10). The radius of the cylinders was 8 km so as to entirely encompass the volume later occupied by the updrafts and their close environment. At 1300 LST, before the triggering of the very deep convection phase,  $\theta_e$  at the surface was 356 K (the same value as at 1200 LST), and the CAPE,  $2146 \text{ J kg}^{-1}$ , was very close to the 1200 LST value. The moisture flux horizontal convergence doubled ( $1.6$  vs  $0.7 \text{ g m}^{-3} \text{ min}^{-1}$ ) because of the intensification of the convergence lines discussed above. The hydrometeor content in the lower

troposphere, up to 9-km altitude, also doubled in value compared to 1200 LST, with the cloud development of the deep convection. This gave an extra latent heat release when the liquid hydrometeors were entrained inside the updraft and frozen during their uplift. The water vapor content increased nonuniformly, with local increase around  $1 \text{ g kg}^{-1}$ . The intensification of the convergence lines, the loading of the low troposphere with liquid hydrometeors, and the increase of humidity in the low troposphere may explain why the tallest updrafts reached the stratosphere after 1300 LST and not before. At 1400 LST, the liquid hydrometeor content had doubled again in comparison to 1300 LST ( $2 \text{ g kg}^{-1}$  on average between 3 and 4.5 km), whereas the icy hydrometeor content ranged from 2 to  $4 \text{ g kg}^{-1}$  between 5 and 15 km. These heavy loads of ice in the troposphere did not favor the growth of the updrafts to

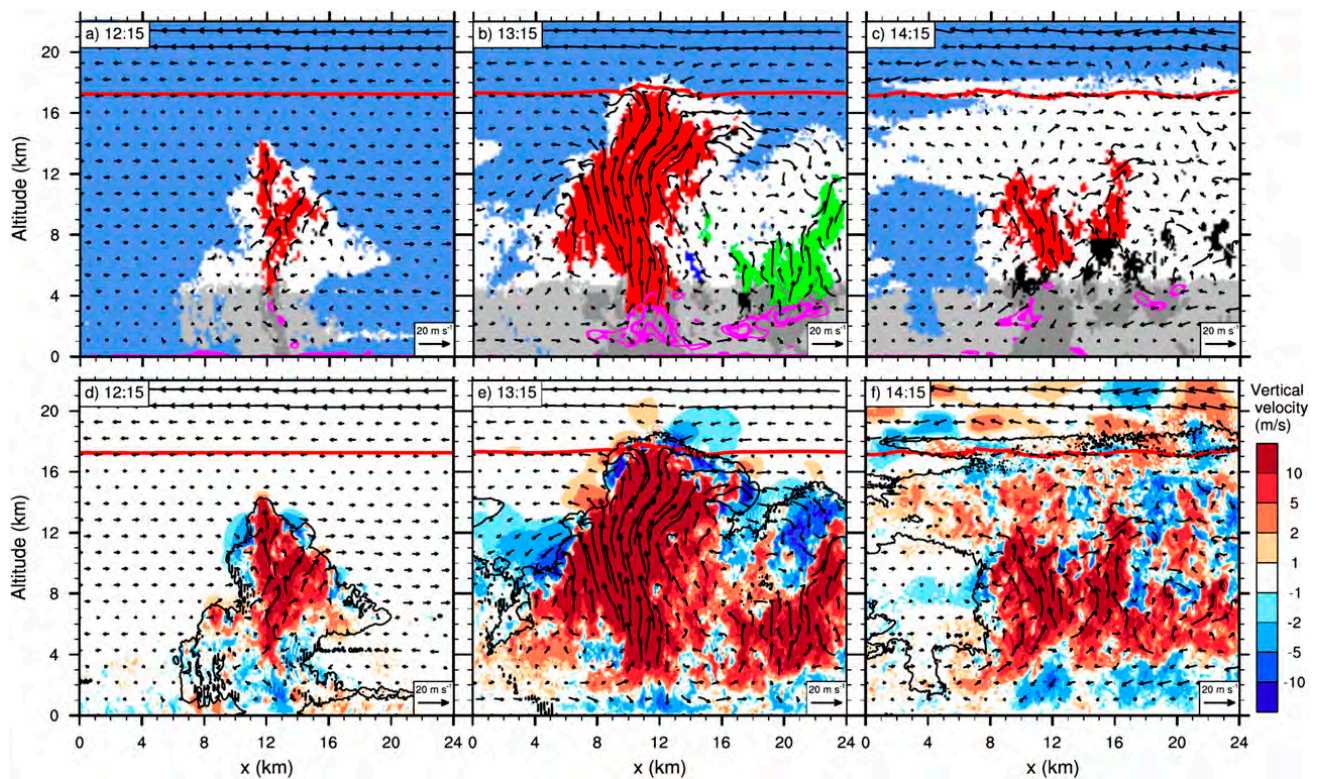


FIG. 9. Vertical cross sections of one of the two tallest updrafts at the (a),(d) deep, (b),(e) very deep, and (c),(f) mature convection phases in the LES. (a)–(c) The tallest updraft is in red; the other updrafts are in bright colors or black. Clear sky is in blue, cloud with cloud content larger than  $10 \text{ mg kg}^{-1}$  is in white, rain heavier than  $10 \text{ mg kg}^{-1}$  is in gray, and rain heavier than  $2 \text{ g kg}^{-1}$  is in dark gray. The magenta contours indicate areas of moisture flux horizontal convergence over 3 and  $5 \text{ g m}^{-3} \text{ min}^{-1}$ . (d)–(f) The vertical wind speed is shaded, and the cloud and rain content larger than  $10 \text{ mg kg}^{-1}$  are contoured in black. The tropopause is represented by a red line.

the stratosphere, since entrained ice particles only made a negative contribution to the buoyancy. In contrast, they could contribute to downdraft development, especially when downdrafts reached the freezing level and icy hydrometeors melted, absorbing latent heat. The water vapor content continued to increase nonuniformly, still with amplitudes around  $1 \text{ g kg}^{-1}$ . The main reason why the tallest updrafts grew less high during mature convection than during very deep convection could be found in the significant reduction of surface  $\theta_e$  ( $-2.5 \text{ K}$  on average). This reduction was because of massive cold pools reaching the surface, as can be seen in Fig. 7g, and the subsequent decrease of the CAPE value, here by a factor 2.

The tallest updrafts, and convection in general, appeared above the convergence lines that were first driven by the sea-breeze surface circulation only, and then together with the downdrafts produced by the previous convection [in agreement with Saito et al. (2001)'s analysis]. The humidity convergence at the surface increased and peaked when the convergence lines intersected over the islands' center. At this time (the very deep convection phase), the tallest updrafts

had large bases and were supplied with surface air with large  $\theta_e$ . They grew in an environment moistened by the previous deep convection and reached the stratosphere. Intense subsiding shells at the cloud top and sides may control the local interactions between the tallest updrafts and their environment. Later (during the mature convection phase), the cold pools replaced the warm buoyant air at the surface with colder air: the tallest updrafts no longer reached the stratosphere.

#### b. Properties

The geometrical, dynamical, thermodynamical, and microphysical properties of the tallest updrafts in the deep, very deep, and mature convection phases are examined (Fig. 11). The geometry of the tallest updrafts is described using the vertical profile of the effective width in Fig. 11a. In the deep convection phase, the tallest updraft was 10 km tall and started at 4-km altitude. In the very deep convection phase, the tallest updraft was a convective plume that reached the lower stratosphere. Of the three phases, the very deep convection one presented the tallest updraft with the largest vertical extent (16 km), maximal effective width (more than 8 km between 8- and 12-km altitudes),

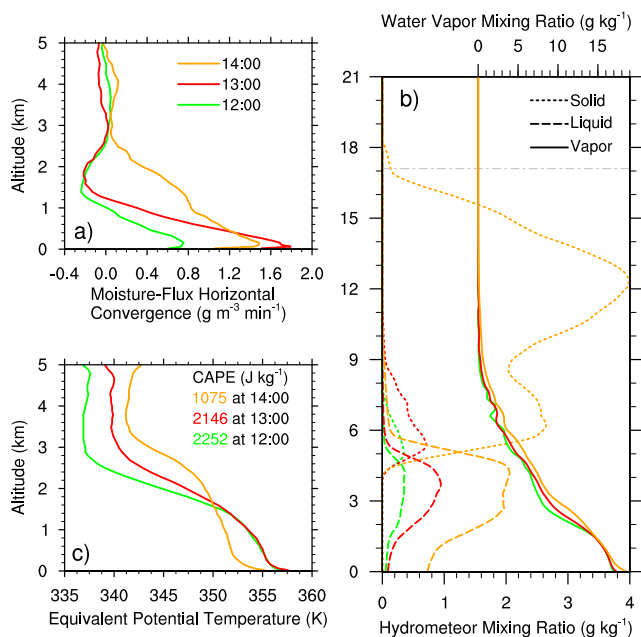


FIG. 10. Vertical profiles of (a) moisture flux horizontal convergence, (b) water mixing ratio, and (c) equivalent potential temperature, averaged in a cylinder of 8-km radius and centered at the location of the tallest updrafts shown in Fig. 9 but taken 15 min earlier than times shown in Fig. 9. The profiles preceding the deep, the very deep, and the mature convection phases at 1200, 1300, and 1400 LST, are in green, red, and orange, respectively. In (b), water vapor mixing ratio is in solid lines, the sum of the liquid species in dashed lines, and the sum of the solid species in dotted lines. The tropopause is located with a dashed-dotted line in (b). The CAPE at the surface, computed from pressure and temperature fields averaged inside the cylinders, is indicated for 1200, 1300, and 1400 LST in (c).

and effective width of the base (more than 4 km). In the mature convection phase, the tallest updraft was the convective cluster shown in Fig. 9c. Its vertical and horizontal extents, 13 and 7 km respectively, were lower than those of the tallest updraft of the very deep convection phase.

Concerning the dynamical properties, vertical profiles of the average and maximal vertical velocities of the tallest updrafts are shown in Fig. 11b. For the tallest updrafts of the deep convection and the mature convection phases, the vertical velocity was almost constant with altitude, with an average value between 14 and 16  $\text{m s}^{-1}$  and a maximum value between 25 and 35  $\text{m s}^{-1}$ . For the very deep convection phase, the average vertical velocity was much greater, increasing from 15  $\text{m s}^{-1}$  at 4-km altitude to 22  $\text{m s}^{-1}$  at 10-km altitude, and then decreasing, back to 17  $\text{m s}^{-1}$  in the TTL between altitudes of 14 and 17 km. The maximal vertical velocity was also larger for the very deep convection phase than for the other two phases: over 45  $\text{m s}^{-1}$  between 7- and 14-km altitude, and over 33  $\text{m s}^{-1}$  in the TTL.

The positive buoyancy of the tallest updrafts (Fig. 11c) explains the large vertical velocities reported above. To

quantify the negative contribution of the hydrometeor loading (Fig. 11d), the buoyancy computed without taking into account the hydrometeor loading is also shown in Fig. 11c. The tallest updrafts showed positive values of buoyancy (around 0.1  $\text{m s}^{-2}$ ) up to their level of neutral buoyancy, between 10- and 13-km altitudes. As a consequence, they exhibited upward vertical velocities up to at least 3 km above their level of neutral buoyancy within the stratified TTL. The hydrometeor loading was around 8  $\text{g kg}^{-1}$ , which acts to reduce the buoyancy by a factor of 2. Note that at the freezing level (around 5 km), the liquid hydrometeor contents decreased sharply with height because of fast heterogeneous freezing of rain drops, but supercooled water remained up to 8-km altitude, as a result of more gradual homogeneous freezing of the cloud droplets. The tallest updraft of very deep convection presents outstanding properties. It extended even 5 km above its level of neutral buoyancy and exhibited the largest values of buoyancy and hydrometeor loading, up to 11  $\text{g kg}^{-1}$ , and larger than 6  $\text{g kg}^{-1}$  up to the tropopause.

The upward transport of near-surface warm, moist air parcels is a source of buoyancy in the tallest updrafts. This process is examined using the profiles of the frozen moist static energy ( $\text{MSE}_i$ ) of the tallest updrafts compared to the environment (Fig. 11e). The environmental profile was taken from the large-scale oceanic environment, shown in Fig. 2.  $\text{MSE}_i$  is conserved when an air parcel exchanges no mass with its surrounding, even if its water content changes phase. Whatever the convection phases, the average  $\text{MSE}_i$  is almost constant with height in some large parts of the updrafts, suggesting little dilution there. Because the average  $\text{MSE}_i$  was larger than in the environment up to their level of neutral buoyancy, a large proportion of the buoyant air found in the tallest updrafts was likely transported with weak dilution from the islands' surface, where it was heated by the intense heat fluxes (Figs. 5c, 10c). The average  $\text{MSE}_i$ , however, decreased with height at the updraft base. Further, the maximal values of  $\text{MSE}_i$  differed from the average ones, up to 10 K for the very deep convection phase. This indicates that dilution occurred within the tallest updrafts.

The latent heat release due to water condensation, freezing, and deposition is the other source of buoyancy. In the absence of any dilution, the potential temperature  $\theta$  can increase only because of the latent heat release. To investigate the latent heat release inside the tallest updrafts, their lapse rate, computed as the vertical gradient of their average potential temperature, is shown and compared to the environmental lapse rate (Fig. 11f). In the absence of any latent heat release, the lapse rate in the updrafts ranges from zero without any mixing to the

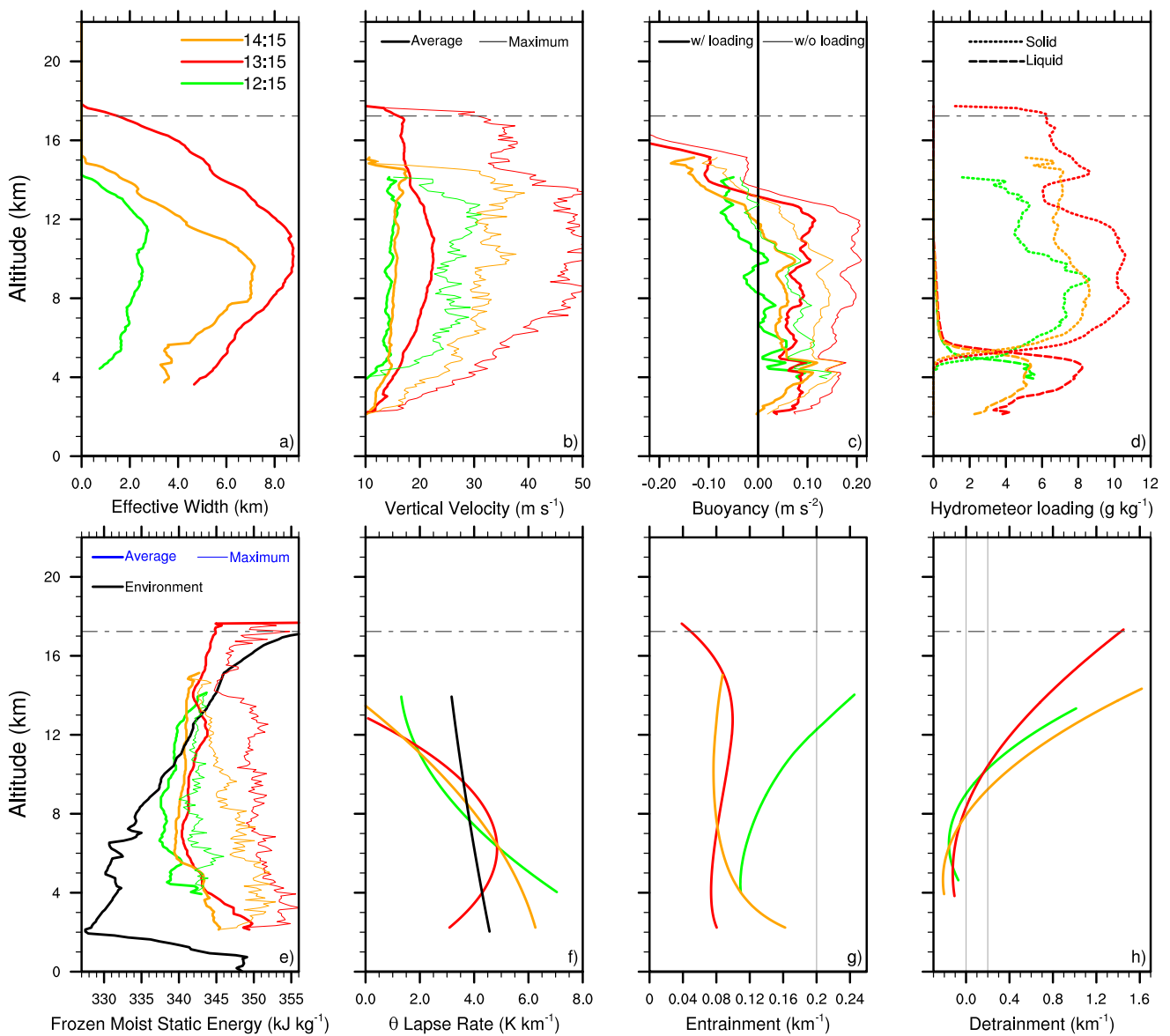


FIG. 11. Vertical profiles of (a) effective width, (b) vertical velocity, (c) buoyancy, (d) hydrometeor loading, (e) frozen moist static energy, (f)  $\theta$  lapse rate, (g) entrainment, and (h) detrainment for one of the two tallest updrafts of the deep convection (1215 LST; green), very deep convection (1315 LST; red), and mature convection (1415 LST; orange) phases. In (b) and (e), thick lines stand for average values and thin lines for maximum values. In (c), thick lines stand for the total buoyancy and thin lines for the buoyancy computed without taking into account the hydrometeor loading. In (d), the solid phase is represented by dotted lines and the liquid phase by dashed lines. In (e) and (f), the environment profile is in black. In (g) and (h), vertical straight lines indicate 0 and  $0.2\text{-km}^{-1}$  values for comparison. The tropopause is represented by a gray dashed-dotted line.

environmental lapse rate in case of complete mixing. Beyond, a larger lapse rate inside the updraft than in the environment necessarily implies some latent heat release. As a result, the updraft lapse rate was larger than the environmental one up to 8–10 km, regardless of the convection phases. This shows that the latent heat release contributed to their positive buoyancy. The largest and highest overtaking was found inside the tallest updraft of very deep convection, between 7 and 10 km, consistent with its largest buoyancy. The role of the

latent heat release needs to be further investigated and quantified.

The entrainment of environmental air by the tallest updrafts (Fig. 11g) was computed considering that the total water content was conserved when no dilution occurred. The loss of water due to precipitation was neglected. The underlying assumption is that the local budget of the falling in and falling out precipitation is small compared to the change of total water content due to dilution. To compute entrainment rates  $\varepsilon$  that were



comparable with the entrainment of the subgrid updrafts parameterized in the deep convection schemes, we used the bulk formula  $dq_u/dz = \varepsilon(q_e - q_u)$ , where the environmental profile of total water content  $q_e$  corresponds to the large-scale environment. Note that  $\varepsilon$  is subject to uncertainties relative to the conservative variable selected. It was calculated using  $MSE_i$  up to 6–8 km (below the altitude of the  $MSE_i$  minimum). Values on the same order as those derived from the total water content were obtained. Concerning the oceanic large-scale environment, it was assumed not to vary during the course of the simulation, so the initial profile shown in Fig. 2 was used for  $q_e$ . The vertical profiles of the averaged total water content in the updrafts  $q_u$  and the environmental profile were fitted in order to avoid large variations of entrainment with altitude.

The entrainment values of the tallest updrafts were low, on the order of  $0.1 \text{ km}^{-1}$  (Fig. 11g). Such a low value was found for the least entraining plume of oceanic tropical clouds up to 7 km (de Rooy et al. 2013) and of Amazonian deep convection up to 14 km (Khairoutdinov and Randall 2006). The tallest updraft of the deep convection phase showed larger values in the upper troposphere, over  $0.2 \text{ km}^{-1}$  above 12 km, in the range of typical entrainment rate found by Del Genio and Wu (2010). In contrast, the profile of entrainment of the very deep and mature convection phases was low even in the upper troposphere. The surrounding cloud may have had a buffering effect, as the tallest updrafts did not entrain air from the environment but rather cloudy air from the previous convection phase (see the water content 15 min earlier in Fig. 10b). Remarkably, the tallest updraft of the very deep convection phase exhibited an almost uniform entrainment of  $0.08 \text{ km}^{-1}$  between 2 and 18 km. It appeared then to be part of the least entraining updrafts up to the tropopause evidenced so far.

The capability of the tallest updrafts to redistribute air parcels at upper levels is illustrated with their detrainment  $\delta$  (Fig. 11h). The detrainment is computed from the budget of the conservative variable used for the entrainment  $\varepsilon$ , leading to the expression  $dM/dz = (\varepsilon - \delta)M$ , where  $M$  is the vertical mass flux of the tallest updraft. Whatever the convection phases, the tallest updrafts showed detrainment values exceeding  $0.4 \text{ km}^{-1}$  above 12 km, strongly increasing with the altitude up to around 20 times the values of the entrainment rate. Much larger detrainment rates than entrainment rates were already found by de Rooy and Siebesma (2008). Note that the tallest updraft of very deep convection redistributed air parcels up to the tropopause. This was at a much higher altitude than the ones of the two other convection phases, and this was directly linked with its larger vertical extent. At lower levels (from the base to 8-km altitude), the

detrainment was slightly negative. These negative values noticed in previous studies (e.g., de Rooy and Siebesma 2010) are unphysical and usually cut off to zero. This is a limitation of the bulk model, which is due to the humidity of the air entrained into the tallest updrafts, larger than the bulk model for entrainment would assume.

Among the intense convection phases, the very deep convection phase stands out, with the tallest updrafts having exceptional dimensions (16 km tall and over 8 km wide), vertical velocities (over  $15 \text{ m s}^{-1}$  on average and over  $30 \text{ m s}^{-1}$  as the maximum), buoyancy (up to about  $0.1 \text{ m s}^{-2}$ ), water loading (over  $6 \text{ g kg}^{-1}$  throughout the TTL), and extremely low entrainment ( $0.08 \text{ km}^{-1}$ ) up to the tropopause. The following section investigates the entrainment and the mass transport in these tallest updrafts in greater detail.

### c. Mass and water transport

To analyze the capacity of the tallest updrafts to carry water and surface air masses up into the stratosphere, the vertical profiles of the air mass flux and the water mass flux are shown for the tallest updrafts at 1315 LST in Figs. 12a and 12b, respectively. The question of the dilution of the tallest updrafts with the environmental air was addressed with vertical cross sections of  $MSE_i$ , of turbulent kinetic energy (TKE), and of two low-troposphere passive tracers (Fig. 13). The origin of the air inside the tallest updrafts was quantified with five different passive tracers (Fig. 14).

The vertical profiles of the air mass flux and water mass flux were computed at 1315 LST, considering all the updrafts, the two tallest and the tallest one only (Figs. 12a,b). The air mass flux of  $10^7 \text{ kg s}^{-1}$  for all the updrafts at 17-km altitude, considering the area of the domain of simulation ( $5 \times 10^{10} \text{ m}^2$ ), exactly matched the value of  $2 \times 10^{-4} \text{ kg m}^{-2} \text{ s}^{-1}$  found by Chaboureau et al. (2007). They averaged the flux as a result of around 50 overshoots over 24 h, which is equivalent to the two tallest updrafts' contribution for the hour of very deep convection in our simulation. As already seen in section 3b at two specific altitudes, the two tallest updrafts accounted for a large proportion of the air mass and water mass fluxes because of all the updrafts (Figs. 12a,b). They were in the range of 15%–50% between 2- and 5-km altitudes, and 50%–80% between 5- and 11-km altitudes, where their contributions to the air and water mass fluxes were up to  $10^9$  and  $10^7 \text{ kg s}^{-1}$ , respectively. Aloft, the mass fluxes decreased sharply with altitude, but the contribution of the two tallest updrafts continued to increase, reaching 100% at 16-km altitude and above.

To investigate the dilution of the tallest updrafts by the environmental air, Fig. 13a represents  $MSE_i$  for the tallest updraft at 1315 LST in the same cross section as in

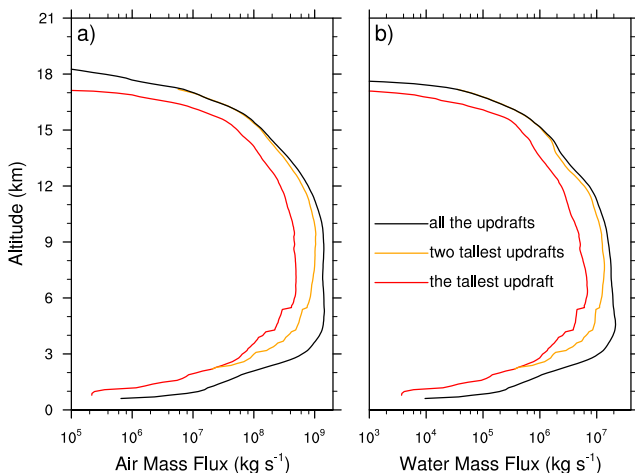


FIG. 12. Vertical profiles of (a) vertical air mass flux and (b) vertical water mass flux at 1315 LST in the LES. The contribution of the tallest updraft, the two tallest updrafts, and all the updrafts are in red, orange, and black, respectively.

Fig. 9. The air in the large base of this updraft had the same values of  $MSE_i$  (around  $349 \text{ kJ kg}^{-1}$ ) as the air in the PBL. It was transported up to the freezing level (around 5-km altitude) with almost no dilution. Between 5- and 13-km altitudes, the updraft exhibited a core with  $MSE_i$  about  $345\text{--}348 \text{ kJ kg}^{-1}$ , and some other parts with lower  $MSE_i$  ( $335\text{--}345 \text{ kJ kg}^{-1}$ ), indicating mixing with the environmental air. Between 14- and 17-km altitudes (in the TTL),  $MSE_i$  in the updraft was slightly lower than below, indicating that a larger amount of tropospheric air had been entrained. In the TTL, the environment showed larger  $MSE_i$  than in the updraft. Detrainment outside the updraft became apparent, with, for example,  $MSE_i = 342 \text{ kJ kg}^{-1}$  between  $x = 14$  and  $18 \text{ km}$  and  $z = 15$  and  $17.5 \text{ km}$ .

The mixing is further investigated with TKE shown in the same vertical cross section (Fig. 13b). The subcloud turbulent eddies that contribute to the mixing of environmental air inside the updrafts are assumed to have a typical length smaller than 1 km. TKE was then calculated as the subgrid-scale TKE plus the grid-scale turbulent kinetic energy. The latter was computed using the departure of the three components of the resolved wind field from their average values over a 900-m square. TKE values in the cloud ranged between 1 and  $70 \text{ m}^2 \text{ s}^{-2}$ . Interestingly, at the base of the updraft, around 4-km altitude, only the borders of the updraft showed intense mixing by turbulent eddies activity (TKE around  $20 \text{ m}^2 \text{ s}^{-2}$ ). In contrast, the core showed lower TKE values, between 1 and  $10 \text{ m}^2 \text{ s}^{-2}$ , while the wind speed was very high, over  $20 \text{ m s}^{-1}$  upward. The ascent in the lowest part of the updraft was thus less turbulent in the core than at the edges, reducing the dilution of the surface air masses transported in the core.

Aloft, and up to the tropopause, mixing was intense at the edge of the updraft and also inside it, at the edge of the core. The inhomogeneous composition of the updraft, already seen with  $MSE_i$  in Fig. 13a, corresponded to the inhomogeneous mixing occurring in regions of strong gradient of  $MSE_i$ . Also, an intense mixing due to subcloud turbulent eddies occurred in the regions of strong detrainment, between 13- and 18-km altitudes.

Passive tracers are now shown on the same vertical cross section to visualize the entrainment of air from different layers into this updraft (Figs. 13c,d). Five tracers were initialized with a concentration value of 1, 15 min earlier (at 1300 LST) in the PBL (PBL tracer), between the PBL top and the freezing level (low-troposphere tracer), between the freezing level and 16-km altitude (upper-tropospheric tracer), between 16- and 17-km altitudes (TTL tracer), and above 17-km altitude (stratosphere tracer). The PBL tracer (Fig. 13c) was efficiently uplifted by the updraft. Concentrations found in the updraft core were as high as 0.9 up to 9-km altitude, 0.8 up to 12-km altitude, and 0.3 up to 17-km altitude, the usual level of the tropopause. Consistently, concentrations of 0.3 of a subcloud tracer have been found in the uppermost 2 km of the troposphere for oceanic deep convection in radiative-convective equilibrium (Romps and Kuang 2010). In the tallest updraft, the dilution of the PBL air was mostly due to the entrainment of environmental air below the freezing level, materialized by the low-troposphere tracer (Fig. 13d), and especially around the base of the updraft.

The distributions of the different origin layers for the air masses inside the tallest updrafts are further quantified in Fig. 14. The tallest updraft of the deep convective phase (Fig. 14a) was composed of 40% of PBL air at its base and about 20% at its top. Up to 10-km altitude, half of its volume was composed by air entrained below the freezing level. Above 10-km altitude, it was mostly composed of upper-tropospheric air. This result is consistent with the larger values of entrainment in the upper troposphere shown in Fig. 11g. The tallest updraft of the very deep convective phase (Fig. 14b) contained more than 65% of PBL air in its base and about 25% in its top. Whatever the levels in this updraft, the PBL air made up more than 20% of the air. This indicates a weak dilution of the updraft by the environmental free-tropospheric air. The tallest updraft of the mature convection phase (convective cluster; Fig. 14c) was made of about 40% of PBL at its base, down to 0% in the last 2 km at its top. Whatever the altitude, the air from the lower free troposphere composed about 60% of the convective cluster volume. This is consistent with the relatively large values of entrainment in the lower troposphere shown in Fig. 11g. The entrainment of low- $MSE_i$  air between the

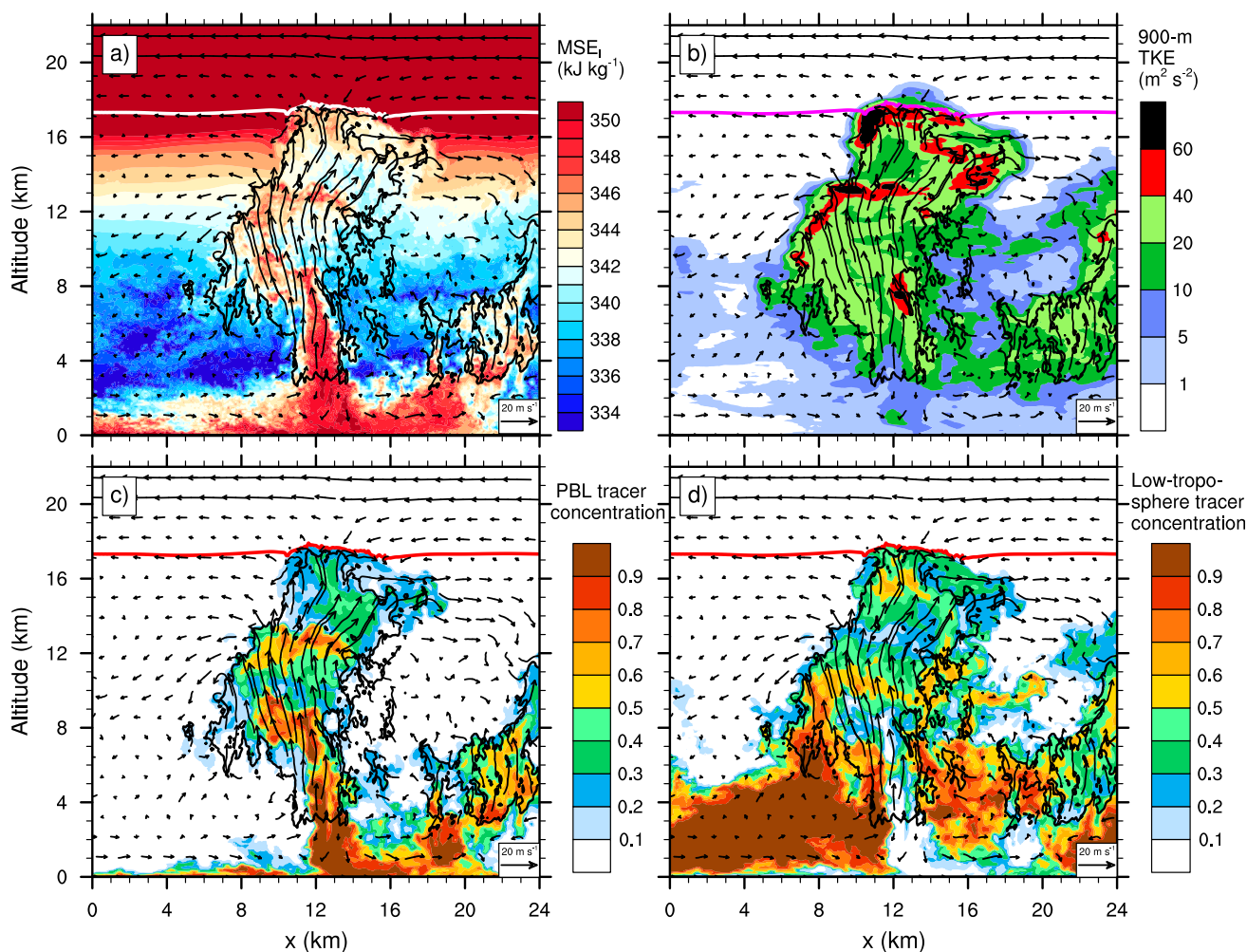


FIG. 13. Vertical cross sections of the second tallest updraft at 1315 LST: (a) frozen moist static energy, (b) turbulent kinetic energy, and tracers initialized 15 min earlier (c) in the PBL and (d) between the PBL top and the freezing level.

PBL and the freezing level partly explains the  $MSE_i$  values in the convective cluster (Fig. 11e), which were lower than in the tallest updraft of the very deep convective phase. In the upper troposphere, the entrainment by the convective cluster was reduced (Fig. 11g), whereas almost no PBL air was left at the top of the updraft (Fig. 14c). This apparent paradox may be explained by the fact that the entrainment was computed using the total water as a conservative quantity and that the air entrained by the convective cluster was loaded with hydrometeors (Fig. 10b). The little change in the water loading of the convective cluster with altitude (low entrainment in Fig. 11g) may then hide its dilution by the free-tropospheric air with low  $MSE_i$  (Fig. 14c).

During the very deep convection phase, the two tallest updrafts accounted for most of the air mass flux and the water mass flux from the freezing level up to the stratosphere. Most of the entrained air came from the lower troposphere, below the freezing level. It was transported

at the edges of the tallest updrafts and only mixed with the core several kilometers away from its source region. The exceptional buoyancy of the tallest updrafts is explained by a transport without dilution, especially in the core of the updraft base, where a less-turbulent vertical ascent was seen. The large amount of water transported above the freezing level also led to a large additional gain in buoyancy by latent heat release.

## 5. Conclusions

The giga-LES (100-m grid spacing) of Hector the Convecton on 30 November 2005 performed by Dauhut et al. (2015) was used to investigate the organization of the vertical mass fluxes up to the stratosphere. By applying a clustering algorithm, the updrafts were identified as connected individual 3D structures, where the vertical velocity exceeded  $10 \text{ m s}^{-1}$ . Among the thousands of updrafts detected at any time when the convection was

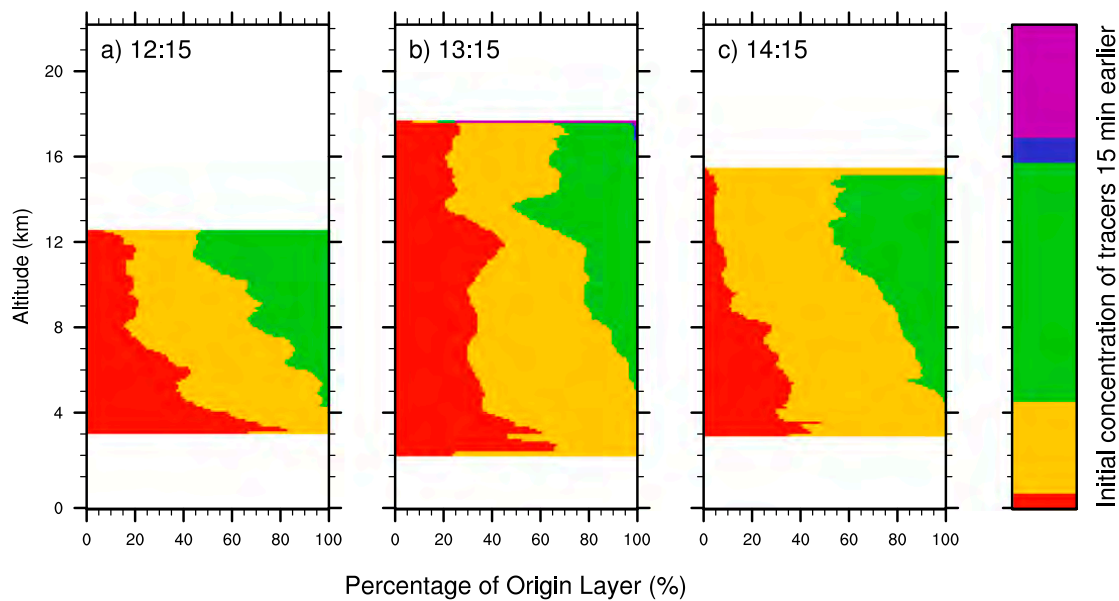


FIG. 14. Distribution of the passive tracers inside the tallest updrafts at (a) 12:15, (b) 13:15, and (c) 14:15 LST. The passive tracers were initialized 15 min earlier in the following layers: the PBL (red), the lower troposphere (yellow), the upper troposphere (green), the TTL (dark blue), and the stratosphere (purple).

deep, only a dozen were more than 4 km tall, and the two tallest were the most important coherent structures for the transport toward the stratosphere. Their contribution to the air mass flux and water mass flux was over 50% above the freezing level and over 90% across the TTL.

The key processes that enabled Hector and its two tallest updrafts to reach the stratosphere have been highlighted. They are schematically depicted in Fig. 15 during the four convective phases (congestus, deep, very deep, and mature convection):

- 1) The sea breeze: It leads to the mesoscale convergence of the surface winds, enhances the convergence of the humidity above the islands, and triggers the first congestus clouds and precipitation along the coast. The sea breeze lasts throughout the development of Hector.
- 2) The cold pools: They are generated by the downdrafts of the precipitating cumulus, and they lift the air that has been warmed at the surface of the islands. They trigger new precipitating cumulus at their edge. From the mature convection phase onward, the massive cold pools prevent warm, moist air from being supplied to the upcoming updrafts.
- 3) The convergence lines: They are first built up by the sea-breeze fronts and then intensified by the cold pools. They determine where the tallest updrafts appear. The cold pools also push the convergence lines inland, where the convergence lines are supplied with warm, moist air and eventually intersect

each other, leading to extended areas of large convergence of humidity.

- 4) The low dilution of the updrafts: The dilution of the tallest updrafts is found to be particularly low during the very deep convection phase. This is in marked contrast with the deep convection phase, during which the entrainment of environmental air is greater, and with the mature convection phase, during which low-MSE<sub>i</sub> air of the low troposphere is entrained.

The tallest updrafts appear above the convergence lines. During the very deep convection phase, the tallest updrafts show their maximal values of effective width (8 km in midtroposphere), buoyancy (up to  $0.1 \text{ m s}^{-2}$ ), vertical velocities (up to  $50 \text{ m s}^{-1}$ ), and hydrometeor contents ( $10 \text{ g kg}^{-1}$ ). The weakly diluted ascent in the base of the tallest updrafts leads to the uplift of a large load of liquid water above the freezing level, contributing to the great buoyancy of the tallest updrafts. The outstanding strength of these tallest updrafts makes them akin to the hot towers postulated by Riehl and Malkus (1958). However, they are subject to uncertainties in their microphysical representation. This was documented recently in two model intercomparisons for precipitating shallow convection (van Zanten et al. 2011) and deep convection (Varble et al. 2014). In the latter study, the models produced too-strong updrafts that transported too much rain through the freezing level. The subsequent large freezing leads to large latent heat release, positive buoyancy, and eventually too-efficient

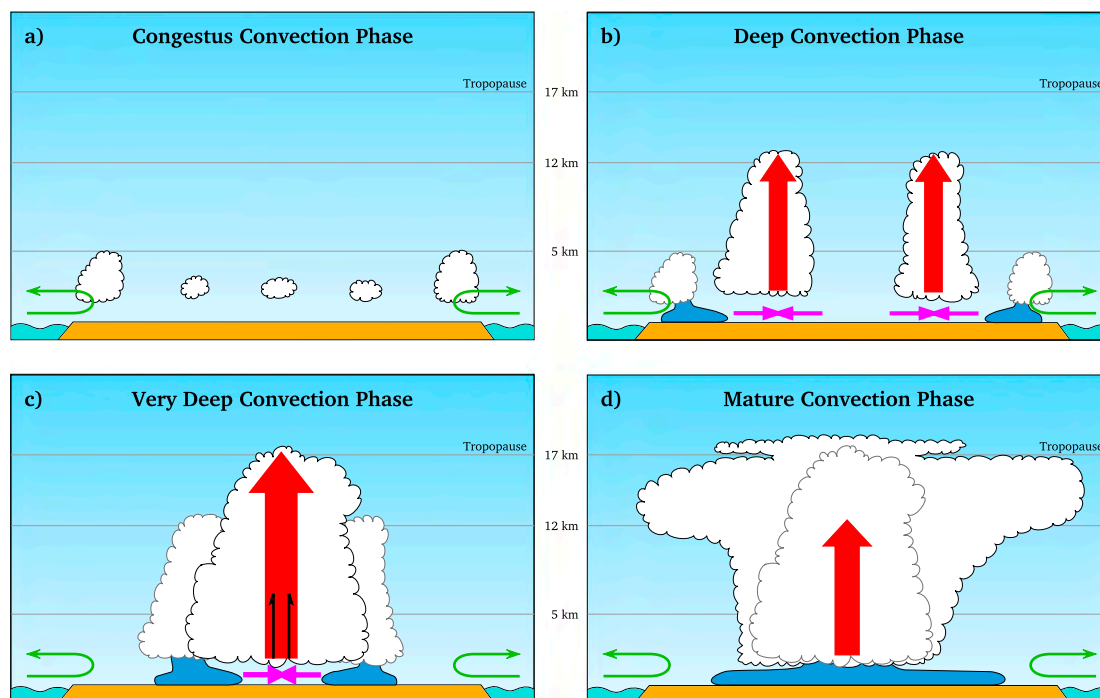


FIG. 15. Schematic diagram of the successive phases of convection, emphasizing the processes that lead the thunderstorm to overshoot into the stratosphere. (a) The congestus convection phase, (b) the deep convection phase, (c) the very deep convection phase, and (d) the mature convection phase are illustrated. The freezing level at 5 km, the level of the deep convective outflow at 12 km, and the cold-point tropopause at 17 km are represented by the gray solid lines. The sea breeze (thin green arrows) forces convergence above the idealized island. The main cumulus clouds of the current phase and of the previous phase are outlined in black and gray, respectively. The cold pools (blue) force and intensify the moisture flux horizontal convergence (magenta) that leads to the growth of the tallest updrafts (thick red arrow). The low values of dilution by entrainment of the environmental air are illustrated by two embedded black half arrows.

transport of water. This positive feedback (too-strong updrafts are likely to become even stronger) may explain why the models diverge from the observed in-cloud vertical velocities. Other studies (Lebo et al. 2012; Grabowski and Jarecka 2015) discussed the impact in convection of the saturation adjustment, an assumption common to many bulk microphysics schemes. The latter leads to boost the updrafts just aloft the freezing level, rather than in a wider range of altitudes within the upper troposphere.

The large width of the tallest updrafts, even at the base (about 4 km), also helps to keep the dilution low. Below the freezing level, the entrained air is mixed with only the outer part of the tallest updrafts, whereas their core is kept weakly diluted. The large widths of the tallest updrafts and the mixing confined at their outer edges are consistent with the weak effective entrainment. It would be interesting to investigate the mixing with further details, especially since the most energetic motions are resolved in this giga-LES. Some tracer methods allow one to compute the local entrainment by the eddies at the interface between the updrafts and their environment.

For example, the impact of the intense subsiding shells shown by Glenn and Krueger (2014) and evidenced here may be estimated. Their role in inhibiting or favoring the exchanges between the tallest updrafts and their close environment—including the potential interaction and aggregation between the updrafts—remains to be documented indeed. This will be investigated in an upcoming isentropic analysis dedicated to the overturning circulation of Hector the Convecter.

The overshoots into the stratosphere appear during the very deep convection phase. During this phase, a large flux of PBL air mass crosses the whole TTL. Afterward, the remnants of clouds that spread in the stratosphere are a signature of the cross-tropopause transport. An aspect not yet studied in this LES is the sequence of mechanisms leading to the irreversibility of the transport into the stratosphere. A forthcoming study will analyze the mixing processes of the tropospheric air mass in the stratosphere.

Finally, it would be worthwhile to compare the internal organization of other cases of very deep convection with the one described in this study. Are the four

processes mentioned above common to the other tropical storms that overshoot the stratosphere? The sea breeze is absent for most of the African and South American cases since they are generally purely continental. Mesoscale circulations, instead of sea breeze, can trigger congestus convection, however. Cold pools are already known to play a key role in the organization and the deepening of the convection [e.g., Schlemmer and Hohengerger (2014) and the references therein]. Intense convergence lines at the edges of the cold pools have also been evidenced, but their intersection as a systematic triggering factor of the deepest convection still needs to be proved. The existence of very tall updrafts, accounting for most of the transport, and their extremely low dilution, are challenging to observe. Their ubiquity in very deep convection is even more difficult to demonstrate. Field campaigns to investigate the deep interior of the tallest thunderstorms, together with associated modeling studies with LESs, would then greatly advance our knowledge of very deep convection, its dynamics, and its capacity to contribute to troposphere-to-stratosphere transport. Further, the very tall updrafts should be represented by the convection parameterization scheme of climate models. This is not the case, as the contribution of very deep convection to the troposphere-to-stratosphere transport is found negligible by existing climate models. Our study pointed out the role of the convergence flux in the boundary layer in triggering and driving the convection, while CAPE kept its initial value during the 1-h-long deep convection phase. Such a process might now be represented in the ECMWF model. Indeed, a recent convective closure subject to boundary layer was shown to improve the representation of equilibrium and nonequilibrium convection (Bechtold et al. 2014). The implementation of low entrainment rate in convective plumes remains to be investigated.

*Acknowledgments.* This research was supported by the StratoClim project funded by the European Union Seventh Framework Programme under Grant Agreement 603557. Computer resources were allocated by GENCI through Projects 90569 and 100231 (Grand Challenge Turing). We thank the editor and the anonymous referees for their comments, which helped to improve the overall quality of the paper.

#### REFERENCES

- Bechtold, P., N. Semane, P. Lopez, J.-P. Chaboureau, A. Beljaars, and N. Bormann, 2014: Representing equilibrium and nonequilibrium convection in large-scale models. *J. Atmos. Sci.*, **71**, 734–753, doi:10.1175/JAS-D-13-0163.1.
- Brunner, D., and Coauthors, 2009: The SCOUT-O3 Darwin Aircraft Campaign: Rationale and meteorology. *Atmos. Chem. Phys.*, **9**, 93–117, doi:10.5194/acp-9-93-2009.
- Chaboureau, J.-P., J.-P. Cammas, J. Duron, P. J. Mascart, N. M. Sitnikov, and H.-J. Voessing, 2007: A numerical study of tropical cross-tropopause transport by convective overshoots. *Atmos. Chem. Phys.*, **7**, 1731–1740, doi:10.5194/acp-7-1731-2007.
- Chemel, C., M. R. Russo, J. A. Pyle, R. S. Sokhi, and C. Schiller, 2009: Quantifying the imprint of a severe Hector thunderstorm during ACTIVE/SCOUT-O3 onto the water content in the upper troposphere/lower stratosphere. *Mon. Wea. Rev.*, **137**, 2493–2514, doi:10.1175/2008MWR2666.1.
- Corti, T., and Coauthors, 2008: Unprecedented evidence for deep convection hydrating the tropical stratosphere. *Geophys. Res. Lett.*, **35**, L10810, doi:10.1029/2008GL033641.
- Crook, N. A., 2001: Understanding Hector: The dynamics of island thunderstorms. *Mon. Wea. Rev.*, **129**, 1550–1563, doi:10.1175/1520-0493(2001)129<1550:UHTDOI>2.0.CO;2.
- Cuxart, J., P. Bougeault, and J.-L. Redelsperger, 2000: A turbulence scheme allowing for mesoscale and large-eddy simulations. *Quart. J. Roy. Meteor. Soc.*, **126**, 1–30, doi:10.1002/qj.49712656202.
- Dauhut, T., J.-P. Chaboureau, J. Escobar, and P. Mascart, 2015: Large-eddy simulation of Hector the convector making the stratosphere wetter. *Atmos. Sci. Lett.*, **16**, 135–140, doi:10.1002/asl2.534.
- Del Genio, A. D., and J. Wu, 2010: The role of entrainment in the diurnal cycle of continental convection. *J. Climate*, **23**, 2722–2738, doi:10.1175/2009JCLI3340.1.
- de Reus, M., and Coauthors, 2009: Evidence for ice particles in the tropical stratosphere from in-situ measurements. *Atmos. Chem. Phys.*, **9**, 6775–6792, doi:10.5194/acp-9-6775-2009.
- de Rooy, W. C., and A. P. Siebesma, 2008: A simple parameterization for detrainment in shallow cumulus. *Mon. Wea. Rev.*, **136**, 560–576, doi:10.1175/2007MWR2201.1.
- , and —, 2010: Analytical expressions for entrainment and detrainment in cumulus convection. *Quart. J. Roy. Meteor. Soc.*, **136**, 1216–1227, doi:10.1002/qj.640.
- , and Coauthors, 2013: Entrainment and detrainment in cumulus convection: An overview. *Quart. J. Roy. Meteor. Soc.*, **139**, 1–19, doi:10.1002/qj.1959.
- Ferretti, R., and S. Gentile, 2009: A study of the triggering mechanisms for deep convection in the tropics using a mesoscale model: Hector events during SCOUT-O3 and TWP-ICE campaigns. *Atmos. Res.*, **93**, 247–269, doi:10.1016/j.atmosres.2008.11.004.
- Frey, W., and Coauthors, 2014: Tropical deep convective life cycle: Cb-anvil cloud microphysics from high-altitude aircraft observations. *Atmos. Chem. Phys.*, **14**, 13 223–13 240, doi:10.5194/acp-14-13223-2014.
- Glenn, I. B., and S. K. Krueger, 2014: Downdrafts in the near cloud environment of deep convective updrafts. *J. Adv. Model. Earth Syst.*, **6**, 1–8, doi:10.1002/2013MS000261.
- Grabowski, W. W., and D. Jarecka, 2015: Modeling condensation in shallow nonprecipitating convection. *J. Atmos. Sci.*, **72**, 4661–4679, doi:10.1175/JAS-D-15-0091.1.
- Gregory, D., J.-J. Morcrette, C. Jakob, A. M. Beljaars, and T. Stockdale, 2000: Revision of convection, radiation and cloud schemes in the ECMWF model. *Quart. J. Roy. Meteor. Soc.*, **126**, 1685–1710, doi:10.1002/qj.49712656607.
- Holton, J. R., P. H. Haynes, M. E. McIntyre, A. R. Douglass, R. B. Rood, and L. Pfister, 1995: Stratosphere-troposphere exchange. *Rev. Geophys.*, **33**, 403–439, doi:10.1029/95RG02097.

- Keenan, T. D., M. J. Manton, G. J. Holland, and B. R. Morton, 1989: The Island Thunderstorm Experiment (ITEX)—A study of tropical thunderstorms in the Maritime Continent. *Bull. Amer. Meteor. Soc.*, **70**, 152–159, doi:10.1175/1520-0477(1989)070<0152:TITESO>2.0.CO;2.
- Khairoutdinov, M. F., and D. A. Randall, 2006: High-resolution simulation of shallow-to-deep convection transition over land. *J. Atmos. Sci.*, **63**, 3421–3436, doi:10.1175/JAS3810.1.
- , S. K. Krueger, C.-H. Moeng, P. A. Bogenschutz, and D. A. Randall, 2009: Large-eddy simulation of maritime deep tropical convection. *J. Adv. Model. Earth Syst.*, **1** (15), doi:10.3894/JAMES.2009.1.15.
- Lafore, J.-P., and Coauthors, 1998: The Meso-NH Atmospheric Simulation System. Part I: Adiabatic formulation and control simulations. *Ann. Geophys.*, **16**, 90–109, doi:10.1007/s00585-997-0090-6.
- Lane, T. P., M. J. Reeder, and T. L. Clark, 2001: Numerical modeling of gravity wave generation by deep tropical convection. *J. Atmos. Sci.*, **58**, 1249–1274, doi:10.1175/1520-0469(2001)058<1249:NMOGWG>2.0.CO;2.
- Lebo, Z. J., H. Morrison, and J. H. Seinfeld, 2012: Are simulated aerosol-induced effects on deep convective clouds strongly dependent on saturation adjustment? *Atmos. Chem. Phys.*, **12**, 9941–9964, doi:10.5194/acp-12-9941-2012.
- Liu, X. M., E. D. Rivièrè, V. Marécal, G. Durré, A. Hamdouni, J. Arteta, and S. Khaykin, 2010: Stratospheric water vapour budget and convection overshooting the tropopause: Modeling study from SCOUT-AMMA. *Atmos. Chem. Phys.*, **10**, 8267–8286, doi:10.5194/acp-10-8267-2010.
- Nielsen, J. K., N. Larsen, F. Cairo, G. Di Donfrancesco, J. M. Rosen, G. Durré, G. Held, and J. P. Pommereau, 2007: Solid particles in the tropical lowest stratosphere. *Atmos. Chem. Phys.*, **7**, 685–695, doi:10.5194/acp-7-685-2007.
- Noilhan, J., and S. Planton, 1989: A simple parameterization of land surface processes for meteorological models. *Mon. Wea. Rev.*, **117**, 536–549, doi:10.1175/1520-0493(1989)117<0536:ASPOLS>2.0.CO;2.
- Pantillon, F., P. Mascart, J.-P. Chaboureaud, C. Lac, J. Escobar, and J. Duron, 2011: Seamless MESO-NH modeling over very large grids. *C. R. Mec.*, **339**, 136–140, doi:10.1016/j.crme.2010.12.002.
- Pinty, J.-P., and P. Jabouille, 1998: A mixed-phase cloud parameterization for use in a mesoscale non-hydrostatic model: Simulations of a squall line and of orographic precipitations. *Proc. Conf. on Cloud Physics*, Everett, WA, Amer. Meteor. Soc., 217–220.
- Riehl, H., and J. S. Malkus, 1958: On the heat balance in the equatorial trough zone. *Geophysica*, **6**, 503–538.
- Romps, D. M., and Z. Kuang, 2010: Do undiluted convective plumes exist in the upper tropical troposphere? *J. Atmos. Sci.*, **67**, 468–484, doi:10.1175/2009JAS3184.1.
- Saito, K., T. Keenan, G. Holland, and K. Puri, 2001: Numerical simulation of the diurnal evolution of tropical island convection over the Maritime Continent. *Mon. Wea. Rev.*, **129**, 378–400, doi:10.1175/1520-0493(2001)129<0378:NSOTDE>2.0.CO;2.
- Schlemmer, L., and C. Hohenegger, 2014: The formation of wider and deeper clouds as a result of cold-pool dynamics. *J. Atmos. Sci.*, **71**, 2842–2858, doi:10.1175/JAS-D-13-0170.1.
- van Zanten, M. C., and Coauthors, 2011: Controls on precipitation and cloudiness in simulations of trade-wind cumulus as observed during RICO. *J. Adv. Model. Earth Syst.*, **3**, M06001, doi:10.1029/2011MS000056.
- Varble, A., and Coauthors, 2014: Evaluation of cloud-resolving and limited area model intercomparison simulations using TWP-ICE observations: 1. Deep convective updraft properties. *J. Geophys. Res. Atmos.*, **119**, 13 891–13 918, doi:10.1002/2013JD021371.

## Chapitre 4

# Transport irréversible et processus diabatiques dans Hector

Le transport de masse par Hector est étudié dans ce chapitre à l'échelle du système convectif par analyse isentropique (Pauluis and Mrowiec, 2013). L'objectif est triple. Il s'agit à la fois d'avoir une vue générale de la circulation à l'intérieur du système, de caractériser les processus freins et moteurs que sont le mélange et le dégagement de chaleur latente et de quantifier la part irréversible du transport convectif. La méthode de l'analyse isentropique est expliquée dans un premier temps. L'article « *The irreversible mass transport across the troposphere by Hector the Convecton* » est ensuite présenté en mettant en évidence les deux circulations clés à l'intérieur de Hector, la faible dilution des ascendances et la capacité de Hector à affecter la composition de la basse stratosphère lors de sa phase la plus intense. Enfin, l'article est reproduit *in extenso*.



## 4.1 Analyse isentropique

La convection tropicale recouvre un ensemble de déplacement de masses d'air qui va des grandes échelles spatiales et temporelles (le millier de kilomètres, la saison voire l'année) aux échelles microscopiques (le millimètre et la seconde), ce qui la rend terriblement compliquée à étudier. Pour quantifier le transport irréversible dû à la convection et analyser ses mécanismes, les systèmes convectifs, les ascendances ou encore les tourbillons peuvent être définis et analysés individuellement, comme il en a été fait pour les ascendances à l'intérieur de Hector au chapitre précédent. Cependant, cette méthode repose sur l'utilisation de seuils arbitraires pour définir les objets d'étude. Il est de plus difficile de décrire l'ensemble des structures et de rendre compte de leur contribution au transport net collectif. Étudier la sensibilité aux seuils, les statistiques sur les structures ou encore dresser des bilans à plus grande échelle permet dans une certaine mesure de dépasser ces difficultés.

L'**analyse isentropique** consiste à adopter un point de vue radicalement différent de celui employé au chapitre précédent, appuyé par l'utilisation de variables conservatives lors des déplacements adiabatiques réversibles des masses d'air. Le concept de l'analyse isentropique remonte aux origines de la météorologie dynamique (Rossby, 1937). Initialement, elle permet le suivi des masses d'air en l'absence de processus diabatique, et donc de convection. Le suivi des masses d'air sur des surfaces isentropes s'est rapidement répandu, car il permet de palier le manque d'observation. Depuis, l'identification du *warm conveyor belt* dans les systèmes dépressionnaires des moyennes latitudes (Harrold, 1973), ainsi que des études de la cyclogenèse tropicale (Schubert and Alworth, 1987; Molinari et al., 1997) et de la structure des ouragans (Merrill and Velden, 1996) ont combiné avec succès la thermodynamique de la convection (qui induit de nombreux pro-

cessus diabatiques) à l'utilisation de coordonnées isentropiques. Plus récemment, Kuang and Bretherton (2006) et Khairoutdinov and Randall (2006) ont employé des diagrammes isentropiques pour étudier la transition de la convection peu profonde à profonde simulée à résolution hectométrique. La représentation statistique des masses d'air selon l'altitude et une coordonnée isentropique facilite l'analyse de leurs grands volumes de données. Cette représentation visuelle permet alors l'étude d'un processus purement diabatique : le mélange turbulent des ascendances avec leur environnement (tout comme Zhang et al., 2015). C'est à partir de diagrammes similaires que Pauluis and Mrowiec (2013) ont développé une méthodologie précise pour l'analyse isentropique de la convection. L'analyse isentropique de Hector présentée dans ce chapitre repose sur leur méthode de travail.

L'analyse isentropique de Pauluis and Mrowiec (2013) a trois objectifs : offrir une vue d'ensemble de toute la circulation convective, caractériser cette circulation et quantifier les flux irréversibles. La méthode consiste à représenter l'ensemble des masses d'air dans un espace des phases, selon deux variables : une coordonnée verticale et une coordonnée isentropique. Il existe une certaine liberté dans le choix de ces deux coordonnées et une difficulté. En effet, la présence d'eau sous forme de vapeur qui peut condenser, congeler et précipiter rend impossible la définition d'une variable strictement conservative. Dans la pratique, une variable qui est conservée sous certaines conditions suffit pour mener l'analyse isentropique. L'article à la fin de ce chapitre illustre l'utilisation de la température potentielle équivalente  $\theta_e$  et de l'énergie statique humide  $\xi_l$ . Une fois les coordonnées choisies, l'espace physique est échantillonné en regroupant les masses d'air qui partagent les mêmes coordonnées verticales et isentropiques. Les propriétés dynamiques et thermodynamiques sont ensuite moyennées sur ces échantillons de masses d'air. La circulation dans l'espace physique peut alors être

décrite par des diagrammes isentropiques à deux dimensions. Les mouvements réversibles sont quant à eux éliminés, lors des moyennes sur les ensembles de masses d'air qui partagent les mêmes valeurs de coordonnée isentropique.

La circulation convective est décrite dans son ensemble par les diagrammes isentropiques de la masse volumique, du flux de masse vertical et par la fonction de courant convective (Pauluis and Mrowiec, 2013, exemples de diagramme sur la figure 2 de l'article qui suit<sup>1</sup>). Lorsque  $\theta_e$  ou  $\xi_l$  servent de coordonnée isentropique, les masses d'air chaudes et humides se distinguent visuellement des masses d'air plus froides et plus sèches. Le diagramme isentropique de la masse volumique (fig. 2a) permet de voir comment la masse est distribuée selon la variable isentropique, à chaque niveau vertical. Le diagramme isentropique du flux de masse vertical (fig. 2b) indique la contribution de chaque échantillon de masses d'air au flux de masse irréversible. Enfin, la **fonction de courant**  $\Psi$  (fig. 2c) donne un aperçu de la circulation totale due à la convection en traçant les trajectoires moyennes des masses d'air dans l'espace des phases.

La circulation convective peut être caractérisée en moyennant la vitesse verticale, la flottabilité ou encore le contenu en hydrométéores au sein de chaque échantillon de masse d'air, et en les représentant sur des diagrammes isentropiques (Pauluis and Mrowiec, 2013, autres exemples sur les figures 2d et 3). Les **tendances diabatiques**, dont notamment le mélange turbulent des masses d'air et le chauffage par dégagement de chaleur latente, peuvent quant à elles être déduites à partir de l'équation de continuité. Elles rendent alors compte de l'effet conjugué de la turbulence et de la microphysique. Dans le cadre de la modélisation, les tendances diabatiques reflètent l'effet intégré de la représentation de ces différents processus par le modèle.

---

1. Toutes les références à des figures dans cette section renvoient aux figures de l'article présenté à la fin du chapitre.

Enfin, le **flux de masse vertical irréversible** peut être calculé en intégrant la contribution de tous les échantillons dont la vitesse verticale moyenne est positive, niveau par niveau (Pauluis and Mrowiec, 2013; Mrowiec et al., 2015). Les ondes de gravité sont éliminées par l'effet de moyenne au sein des échantillons et les mouvements de faible amplitude sont conservés grâce à l'absence de seuil sur les vitesses verticales. Le flux de masse calculé dans le cadre de l'analyse isentropique peut alors être comparé au flux de masse calculé de manière eulérienne, c'est-à-dire en intégrant la contribution des mouvements verticaux dont les vitesses dépassent un seuil prédéfini (comme sur la fig. 10).

## 4.2 Présentation de l'article

Lorsque Hector est au maximum de son développement, le déplacement des masses d'air à l'intérieur de l'orage et dans son voisinage présente essentiellement deux circulations. La première, la circulation troposphérique, est constituée de l'ascension des masses d'air chaudes et humides depuis la surface jusqu'en haute troposphère et de la subsidence de masses d'air plus froides et/ou plus sèches de la haute troposphère jusqu'à la surface. La seconde, la circulation des percées nuageuses, concerne les masses d'air qui s'élèvent au-dessus de leur niveau de flottabilité neutre et les masses d'air plus chaudes qui descendent. Ces deux circulations évoluent au cours des phases de développement de Hector. Pendant la phase de convection congestus, seule la circulation troposphérique est présente et une petite part de cette circulation atteint le niveau de congélation (isotherme à 0°C vers 5 km d'altitude). Pendant la phase de convection profonde, la circulation troposphérique garde la même intensité mais atteint maintenant le niveau de congélation homogène en masse (isotherme à -38°C entre 10 et 11 km d'altitude), la circulation des percées nuageuses commence à apparaître. Pendant

la phase de convection très profonde, lorsque Hector atteint la stratosphère, la circulation troposphérique atteint la base de la TTL (vers 14 km d'altitude), son intensité augmente de moitié et atteint son maximum. La circulation des percées nuageuses est aussi à son maximum, bien que 30 fois moins intense que la circulation troposphérique. Elle s'étend de la base de la TTL jusqu'à 18 km d'altitude, soit 1 km au-dessus de la tropopause. Pendant la phase de convection mature, la circulation troposphérique garde la même extension verticale mais son intensité diminue et retrouve une intensité proche de celle de convection profonde. La circulation des percées nuageuses se dédouble en une circulation de basse TTL (de 13 à 15 km d'altitude) d'amplitude légèrement plus faible que pendant la convection très profonde et une circulation à travers la tropopause environ cinq fois plus faible.

Les masses d'air se mélangent entre elles pendant leur déplacement vertical. Les masses d'air chaudes et humides se diluent avec les masses d'air plus froides et/ou plus sèches qui les environnent, ce qui leur fait perdre de la flottabilité. Rares sont celles qui restent peu diluées pendant leur ascension, mais elles existent et ce sont elles qui présentent les valeurs les plus élevées de charge en hydrométéores, de flottabilité et de vitesse verticale. Les masses d'air en ascension gagnent en flottabilité lorsque l'eau qu'elles contiennent condense et congèle, relâchant de la chaleur latente. Le mélange des masses d'air et le dégagement de chaleur latente sont regroupés sous le terme de tendances diabatiques, qui inclut également le chauffage radiatif et les pertes d'eau par précipitation. Pour une masse d'air donnée, le dégagement de chaleur latente augmente la flottabilité, la tendance diabatique qui en résulte est positive. Le mélange avec d'autres masses d'air, au contraire, peut conduire à un gain ou à une perte de flottabilité, et donc à une tendance positive ou négative. Pour les masses d'air en ascension depuis la surface, le mélange en troposphère libre conduit à une

tendance diabatique négative. Leur flottabilité diminue avec le mélange et augmente avec le dégagement de chaleur latente. Les coordonnées isentropiques choisies dans l'article qui suit mettent en évidence un changement radical de tendance diabatique dominante lors de la transition de la convection profonde à très profonde, dans la région de nuage mixte où l'eau se trouve sous ses trois phases. Le calcul de l'entraînement à partir de la tendance diabatique due au mélange indique de très faibles valeurs (jusqu'à 0,04 /km) pour certaines masses d'air pendant la phase de convection très profonde. La faible dilution déjà mentionnée au chapitre précédent, lors de l'étude des plus grandes ascendances de Hector, est donc confirmée à l'échelle de tout l'orage.

L'impact de Hector sur la composition de l'atmosphère est caractérisé par son flux de masse vertical et son taux de déentraînement. Le flux de masse vertical est de l'ordre de  $10^{-1} \text{ kg m}^{-2} \text{ s}^{-1}$  jusqu'à 2 km d'altitude pendant la phase de convection congestus, jusqu'à 6 km pendant la phase de convection profonde, 12 km pendant la phase de convection très profonde et 10 km pendant la phase de convection mature. Le flux de masse à travers la TTL est maximal pendant la phase de convection très profonde, comme cela a pu être souligné dans le chapitre précédent en se basant sur le flux de masse dû aux ascendances. Contrairement au chapitre précédent, les mouvements réversibles sont filtrés sans avoir à définir un seuil sur les vitesses verticales, ce qui permet de prendre en compte le transport irréversible dû aux mouvements de faible amplitude. Le flux de masse est ainsi revu à la hausse dans les basses couches de la troposphère et de la stratosphère. Le flux à la tropopause ainsi calculé est de  $3,5 \cdot 10^{-3} \text{ kg m}^{-2} \text{ s}^{-1}$ , soit plus d'un ordre de grandeur supérieur aux flux à la tropopause calculé par de précédentes études de convection très profonde (Dessler, 2002; Chaboureau et al., 2007). Le taux de déentraînement est maximal sous le niveau de congélation pendant la phase de convection congestus. Le déentraînement des masses d'air en

ascension au-dessus de leur niveau de flottabilité neutre est un ordre de grandeur supérieur au détraînement en dessous. Il atteint de fortes valeurs (supérieur à 2 /km) jusqu'à plus de 18 km d'altitude pendant les phases de convection très profonde et mature. L'impact de Hector sur la composition de la TTL apparaît donc maximal pendant la phase de convection très profonde, avec un flux de masse vertical de l'ordre de  $10^{-3}$  à  $10^{-2}$   $\text{kg m}^{-2} \text{s}^{-1}$  et un taux de détraînement supérieur à 2 /km.

### ***4.3 The irreversible mass transport across the troposphere by Hector the Convecton***

Article publié en 2017 dans *Journal of the Atmospheric Sciences*.

# The Atmospheric Overturning Induced by Hector the Convectoid

THIBAUT DAUHUT, JEAN-PIERRE CHABOUREAU, AND PATRICK MASCART

*Laboratoire d'Aérodynamique, Université de Toulouse, CNRS, UPS, Toulouse, France*

OLIVIER PAULUIS

*Courant Institute of Mathematical Sciences, New York University, New York, New York, and  
Center for Prototype Climate Modeling, New York University Abu Dhabi, Abu Dhabi, United  
Arab Emirates*

(Manuscript received 6 February 2017, in final form 13 July 2017)

## ABSTRACT

The overturning of Hector the Convectoid, a tropical multicellular convective system of northern Australia that regularly overshoots into the stratosphere, is synthesized at the scale of a large-eddy simulation. The isentropic analysis offers the advantage of filtering out the reversible motions due to gravity waves and taking into account the turbulent fluxes that contribute to the vertical transport. Two key circulations are characterized: the troposphere deep overturning and the mass exchange due to the overshoots into the stratosphere. The transition from deep to very deep convection is associated with a change in the diabatic tendency inside the tallest updrafts: the latent heat release due to the formation of a large amount of icy hydrometeors exceeds the loss of energy due to mixing with the drier, colder air of the environment. In agreement with a previous study of Hector examining the properties of its two tallest updrafts, the entrainment rate exhibits a minimum during the very deep convection phase as low as  $0.04 \text{ km}^{-1}$ . The overturning intensity corroborates the Eulerian computation of the vertical mass flux in the midtroposphere and in the lower stratosphere. It however gives a lower estimate of the flux in the upper troposphere, filtering out the reversible motions, and a larger estimate in the lower troposphere and at the tropopause, where slow vertical motions contribute significantly to the transport.

## 1. Introduction

Tropical air masses can experience very fast ascent in deep convective clouds from the low levels of the troposphere up to the lower stratosphere. Satellite observations show indeed that 1.3% of tropical convection reaches the base of the tropical tropopause layer (TTL; between 14- and 18-km altitudes), and 0.1% may even penetrate the lower stratosphere (Liu and Zipser 2005). The net impact of deep convection into the composition of the TTL remains, however, uncertain. Very few studies estimate the convective mass flux within the TTL. Values on the order of  $10^{-4} \text{ kg m}^{-2} \text{ s}^{-1}$  across the base of the TTL (but almost nil aloft) are reported by studies using a cloud-resolving model (Küpper et al. 2004) and satellite data (Gettelman et al. 2002). Such magnitudes in the convective mass flux are obtained at a

higher level across the 17-km altitude in the mid-Pacific using tracer data (Dessler 2002), over Brazil using a cloud-resolving model (Chaboureau et al. 2007), and over Hector the Convectoid, a multicellular thunderstorm over the Tiwi Islands (northern Australia) using a giga-large-eddy simulation (LES; Dauhut et al. 2016). Beyond the small number of studies estimating such convective mass transport, a further uncertainty arises from the way the convective mass transport is obtained in the cloud-resolving modeling studies. The latter is estimated using the Eulerian method, a common approach that integrates the mass flux across an altitude, where the vertical velocity field exceeds a certain threshold. In doing so, small-scale oscillations in vertical velocity are included in the mass flux estimate while not necessarily contributing to the net mass transport.

An alternative to this caveat is the isentropic analysis developed in Pauluis and Mrowiec (2013). The isentropic analysis consists in averaging the properties of thermodynamically similar air parcels. When using the

---

*Corresponding author:* Thibaut Dauhut, thibaut.dauhut@aero.obs-mip.fr



equivalent potential temperature as an isentropic coordinate, this method allows the warm, moist upward motions to be separated from the cooler, drier downdrafts (Pauluis and Mrowiec 2013; Mrowiec et al. 2015). Pauluis and Mrowiec (2013) apply this method to highlight the tropospheric overturning in an idealized simulation of radiative–convective equilibrium. Mrowiec et al. (2015) apply the same methodology to analyze the characteristics of the upward and downward mass fluxes in a realistic simulation of a tropical mesoscale convective system. In both studies, the isentropic analysis yields a convective mass transport that is significantly lower than the estimate obtained from the standard Eulerian analysis. The difference can be attributed to the fact that oscillatory motions such as gravity waves can be partially included in the convective mass transport under the Eulerian approach but are filtered out by the isentropic analysis (Pauluis and Mrowiec 2013; Mrowiec et al. 2015).

The main purpose of this study is to quantify the atmospheric overturning for a case of very deep convection reaching the stratosphere by using the isentropic analysis. The case of Hector the Convective on 30 November 2005 has been selected. Using simulations performed with horizontal grid spacings ranging from 100 to 1600 m, Dauhut et al. (2015) find that this Hector storm transported around 3000 tons of water into the stratosphere. Dauhut et al. (2016) examine its tallest updrafts in the giga-LES (the 100-m simulation). They show that the development of the convection toward the stratosphere exhibits four successive phases, each lasting 1 h: the congestus, deep, very deep, and mature convection phases. The hydration of the stratosphere is significant during the very deep convection phase only, and it is due to the two tallest updrafts. The dilution of these tallest updrafts with the surrounding air has been quantified by computing the entrainment rate. The entrainment rate of the tallest updrafts is minimal during the very deep convection phase, as low as  $0.08 \text{ km}^{-1}$  across the whole troposphere.

The atmospheric overturning is analyzed in this study during the successive phases of Hector the Convective. Special attention is paid to the troposphere–stratosphere exchanges and to the diabatic processes inside the storm. The isentropic analysis is applied to the simulation of Hector with 200-m horizontal grid spacing and 1-min time resolution. The 3D fields of the simulation have been saved every minute in order both to capture the fast development of Hector and to compute isentropic averages over a characteristic time period of 15 min. The 200-m grid spacing has been selected in order to limit the huge data volume that would be examined with output every minute of the giga-LES. Furthermore, the properties of the updrafts differ little between the giga-LES

and the 200-m simulation (Dauhut et al. 2015). In the following, the focus is first on the very deep convection phase to illustrate for the first time the isentropic analysis on a convective system that reaches the stratosphere. Then the main circulations within Hector are identified during the successive phases of its development. The competition between the latent heat release and the mixing of the rising parcels with their environment determines the vigor of the convection. It is investigated, and the entrainment rates are calculated for all the parcels of the domain rather than for the tallest updrafts only (Dauhut et al. 2016).

Section 2 describes the setup of the Meso-NH model and the isentropic analysis. Section 3 illustrates the isentropic analysis with the study of the very deep convection phase of Hector and explains the method to obtain the diabatic tendencies. Section 4 compares the successive convective regimes. It describes their overturning, investigates the diabatic tendencies, and shows the evolution of the entrainment rate. Section 5 quantifies the isentropic mass flux by Hector. Section 6 gives the conclusions.

## 2. Model design and isentropic analysis

### a. Meso-NH large-eddy simulation

The nonhydrostatic mesoscale model Meso-NH (Lafore et al. 1998) is set up over a domain of  $256 \times 204.8 \text{ km}^2$  covering the Tiwi Islands, 100 km north of Darwin, Australia (Fig. 1). The domain is wide enough so that the edges, with open boundary conditions, do not affect the development of Hector, located above the islands. The top of the domain is set at 25 km, with a sponge layer in the last 3 km that prevents the reflection of gravity waves. The horizontal and vertical grid spacings are 200 and 100 m, respectively, so that the large eddies inside the clouds are resolved (Dauhut et al. 2016). The 256 model levels follow the small orography (80-m-high hills at maximum) and are slightly tightened close to the surface (down to 40-m vertical spacing). The total number of points is  $3.37 \times 10^8$ . The model uses parameterizations for microphysics (a single-moment one including three icy hydrometeor species), turbulence, radiation, and surface exchanges. The reader is referred to Dauhut et al. (2016) for further details on the parameterizations. The heating rates due to the subgrid processes represented by these parameterizations are available as averaged profiles over the analysis domain (shown in Fig. 1) and over the 15-min integration time periods. Over ocean, the sea surface temperature is fixed to  $29^\circ\text{C}$ . Over land, the soil temperature and moisture content evolve with time; they are initialized to  $30^\circ\text{C}$  and  $0.16 \text{ m}^3 \text{ m}^{-3}$ , respectively. The atmosphere is homogeneously initialized in temperature,

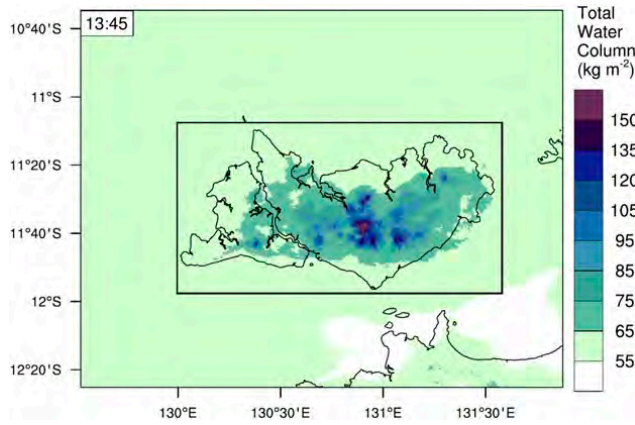


FIG. 1. Domain of simulation. The total water column is shaded. The domain of the isentropic analysis is delimited by the black rectangle. It encompasses an area of  $1.6 \times 10^{10} \text{ m}^2$ .

humidity, horizontal wind intensity, and direction with the sounding taken in Darwin at 0930 LT (0000 UTC) 30 November 2005.

The sea breeze circulation leads to important convergence of warm, humid air above the surface of the Tiwi Islands during the whole simulation. During the first 2 h, convection develops as cumulus humilis over the islands, then cumulus congestus grow above the convergence lines along the coasts, as in the giga-LES simulation. The cold pools enhance the convergence of humidity at their edges, leading to (from 1230 LT onward) the formation of the cumulonimbus that compose the multicellular system called Hector the Convecter. From 1300 LT onward, a couple of updrafts overshoot the tropopause and lead to the injection of cloud particles inside the stratosphere that later on sublimate and hydrate the lower stratosphere (Dauhut et al. 2015). The horizontal extent of Hector at this stage of development, called the very deep convection phase, covers almost the whole Tiwi Islands (Fig. 1).

### b. Isentropic analysis

The isentropic analysis gives an overview of the air-mass overturning inside the thunderstorm and allows us to compute the irreversible vertical transport by filtering out the oscillatory motions. The technique consists in reducing the four spatiotemporal coordinates into two: a vertical coordinate and an isentropic one, conserved during reversible motions. There is a freedom in the choice of these coordinates. In this study, the vertical coordinate is the altitude  $z$ , and the isentropic coordinate is the equivalent potential temperature  $\theta_e$ . The latter is defined following the formulation of Emanuel (1994):

$$\theta_e = T \left( \frac{p_0}{p} \right)^{R_d/C_p} \exp \left( \frac{L_v r_v}{C_p T} \right) H^{-R_v r_v/C_p}, \quad (1)$$

where  $T$  is the temperature,  $p_0$  is a reference pressure of 1000 hPa,  $p$  is the absolute pressure,  $R_d$  and  $R_v$  are the gas constants for dry air and water vapor, respectively,  $C_p = C_{pd} + r_t C_l$  is the specific heat capacity of moist air,  $C_{pd}$  is the specific heat capacity of dry air,  $r_t$  is the mixing ratio of vapor and liquid water,  $L_v$  is the latent heat of vaporization,  $r_v$  is the mixing ratio of vapor, and  $H$  is the relative humidity. In the frame of moist convection,  $\theta_e$  gives an insight into the air parcels' capability to rise. However, it is worth noting that warm, dry parcels and cold, moist parcels can share the same  $\theta_e$ . The exchanges of such parcels are then missed using  $\theta_e$ , whereas these exchanges may be meaningful. This choice of isentropic coordinate, common to previous studies that apply the isentropic analysis to single convective systems (e.g., Pauluis and Mrowiec 2013; Mrowiec et al. 2015), allows us to compare the results with literature. In section 4b, the use of liquid moist static energy as an alternative isentropic coordinate is discussed.

The equivalent potential temperature  $\theta_e$  is conserved in a reversible moist adiabatic process. For example, reversible motions like gravity waves do not change air parcels'  $\theta_e$ . This is also true for the loss or gain of condensed water by precipitation. The equivalent potential temperature  $\theta_e$  is no longer conserved in the case of phase changes involving ice (freezing, melting, deposition, and sublimation), radiative, and mixing processes.

The reduction of the four spatiotemporal dimensions ( $x, y, z, t$ ) of a variable field  $f$  into the two dimensions ( $\theta_{e0}, z_0$ ) is done with the following integration:

$$\langle f \rangle(\theta_{e0}, z_0) = \frac{1}{PL_x L_y} \int_0^P \int_0^{L_x} \int_0^{L_y} f(x, y, z_0, t) \times \delta[\theta_{e0} - \theta_e(x, y, z_0, t)] dy dx dt, \quad (2)$$

where  $P$ ,  $L_x$ , and  $L_y$  are, respectively, the time period, the zonal extent, and the meridional extent of the isentropic analysis integration (the analysis domain is represented by the black rectangle in Fig. 1); the 0 subscript indicates the coordinates of the isentropic analysis, and  $\delta$  is the Dirac function (actually approximated here by  $1/\Delta\theta_{e0}$  over  $[\theta_{e0} - \Delta\theta_{e0}/2, \theta_{e0} + \Delta\theta_{e0}/2]$  and with  $\Delta\theta_{e0} = 1 \text{ K}$ ). To characterize the overturning, the dynamical, thermodynamical, and microphysical properties of the circulation are conditionally averaged for each  $(\theta_{e0}, z_0)$  bin, using the following formulation:

$$\tilde{f} = \frac{\langle \rho f \rangle}{\langle \rho \rangle}, \quad (3)$$

where the tilde indicates the bin average.

Finally, the isentropic streamfunction offers an efficient overview of the air-mass overturnings inside the

analysis domain. It is computed by integrating the vertical mass flux from 0 to  $\theta_{e0}$ , at each level  $z_0$ :

$$\Psi(\theta_{e0}, z_0) = \int_0^{\theta_{e0}} \langle \rho w \rangle(\theta'_e, z_0) d\theta'_e, \quad (4)$$

where  $w$  is the vertical velocity. This method is applied to the 200-m simulation of Hector the Convecter. The focus is first on the very deep convection phase in the following section. The different phases of convection are then compared. Finally, the irreversible vertical mass transport is computed.

### 3. Isentropic analysis of very deep convection

#### a. Dynamics

The dynamics of Hector are investigated during the very deep convection phase in the frame of the isentropic analysis. The mass distribution, the isentropic vertical mass flux, the isentropic streamfunction, and the conditional average of the vertical velocity are illustrated for a 15-min period during the very deep convection phase in Fig. 2. The environment profile  $\theta_e^{\text{env}}$  together with the  $0^\circ$  and  $-38^\circ\text{C}$  isotherms are superimposed. The environment profile  $\theta_e^{\text{env}}$  is the constant oceanic profile of the air parcels that enter at the domain edges. The  $0^\circ$  and  $-38^\circ\text{C}$  isotherms delimit the mixed-phase cloud region, where a significant amount of water changes phase between liquid and solid.

The mass distribution (Fig. 2a) gives the frequency of each  $\theta_e$  bin at each altitude. The mass distribution is concentrated along the environmental  $\theta_e^{\text{env}}$  profile: more than 90% of the air mass differs from  $\theta_e^{\text{env}}$  by less than 7 K except between 0.9- and 2.8-km altitudes. Air parcels with  $\theta_e$  higher than 355 K (exceeding the environmental value at the surface) are present but only account for 0.1% of the mass below 13-km altitude.

The isentropic vertical mass flux is shown in Fig. 2b. Below 12.5-km altitude, the vertical mass flux is downward along the  $\theta_e^{\text{env}}$  profile and upward at higher  $\theta_e$ . The largest contributions to the upward mass flux are due to the updrafts of shallow convection below 3-km altitude ( $\theta_e \simeq 353\text{ K}$ ) and to the air parcels with  $\theta_e$  around 345–350 K in the mixed-phase cloud (between the freezing level and the  $-38^\circ\text{C}$  isotherm above which virtually no liquid water persists, as shown in Fig. 3e). A large downward mass flux is initiated just below the freezing level, where the cooling from the melting and the sublimation of ice reduces the parcels' buoyancy (visible in Fig. 5 as a local minimum in the  $\theta$  tendency because of microphysics).

The isentropic streamfunction is shown in Fig. 2c. From a physical point of view, the isentropic streamfunction is equal to the net mass flux at level  $z$  of all

air parcels with an equivalent potential temperature less than or equal to  $\theta_{e0}$ . The isentropic streamlines, like the streamlines of an unsteady flow, can be interpreted as the juxtaposition of short Lagrangian paths followed by the air parcels. In contrast with the path of individual air parcels, they are averaged trajectories in the  $(z, \theta_e)$  space over all the air parcels sharing the same coordinates and over the 15-min time period. The streamfunction is negative below the tropopause, consistent with warm, moist ascent balanced by a subsidence of colder, dryer air. The convective mass transport in this tropospheric overturning reaches a maximum value of  $0.15\text{ kg m}^{-2}\text{ s}^{-1}$  at 4-km altitude. The streamfunction changes sign in the upper troposphere and lower stratosphere, indicative of convective overshoot with cold air rising and warmer air sinking. The mass transport associated with this overshoot overturning is about  $0.004\text{ kg m}^{-2}\text{ s}^{-1}$  across the tropopause.

Among the two overturnings identified during the very deep convection phase, the tropospheric overturning (with negative values in Fig. 2c) is the most intense (with a maximal intensity of  $0.15\text{ kg m}^{-2}\text{ s}^{-1}$ ) and the most spatially extended (spanning from the surface to 15-km altitude). From the surface, the ascending branch is made of upright streamlines at high  $\theta_e$  (350–355 K), indicating a conservation of  $\theta_e$  along the ascent. The outermost streamline indicates even an increase of  $\theta_e$  between 2- and 3-km altitudes. This increase might be linked to local numerical effects; its explanation is left to future investigations. At lower  $\theta_e$  (345–350 K), the upward streamlines are tilted toward lower  $\theta_e$  values, indicating a decrease of  $\theta_e$  during the ascent of the air parcels. Among the processes that alter  $\theta_e$ , the mixing with lower  $\theta_e$  air parcels is more efficient than the ice melting (effective only from 4-km altitude upward; see the icy hydrometeor loadings in Fig. 3) and the radiative cooling (virtually nil on average up to 10-km altitude; see Fig. 5). In Fig. 2c at the freezing level (around 5 km), the streamlines' discontinuity corresponds to the increase of  $\theta_e$  due to the latent heat release by ice formation. Between the freezing level and the level of neutral buoyancy (where the streamlines cross the  $\theta_e^{\text{env}}$  profile), the streamlines are upright and the averaged vertical velocities are very large, up to  $25\text{ m s}^{-1}$  (Fig. 2d). The constant values of  $\theta_e$  along the upward streamlines are here due to the fact that the mixing is small (see later section on the entrainment) and to the latent heat release induced by ice formation (Fig. 5). A complementary investigation reveals that the air parcels with  $\theta_e$  higher than 355 K are part of the strong updrafts (with vertical velocities larger than  $10\text{ m s}^{-1}$ ) identified by Dauhut et al. (2016). The subsiding branch closely follows the  $\theta_e^{\text{env}}$  profile

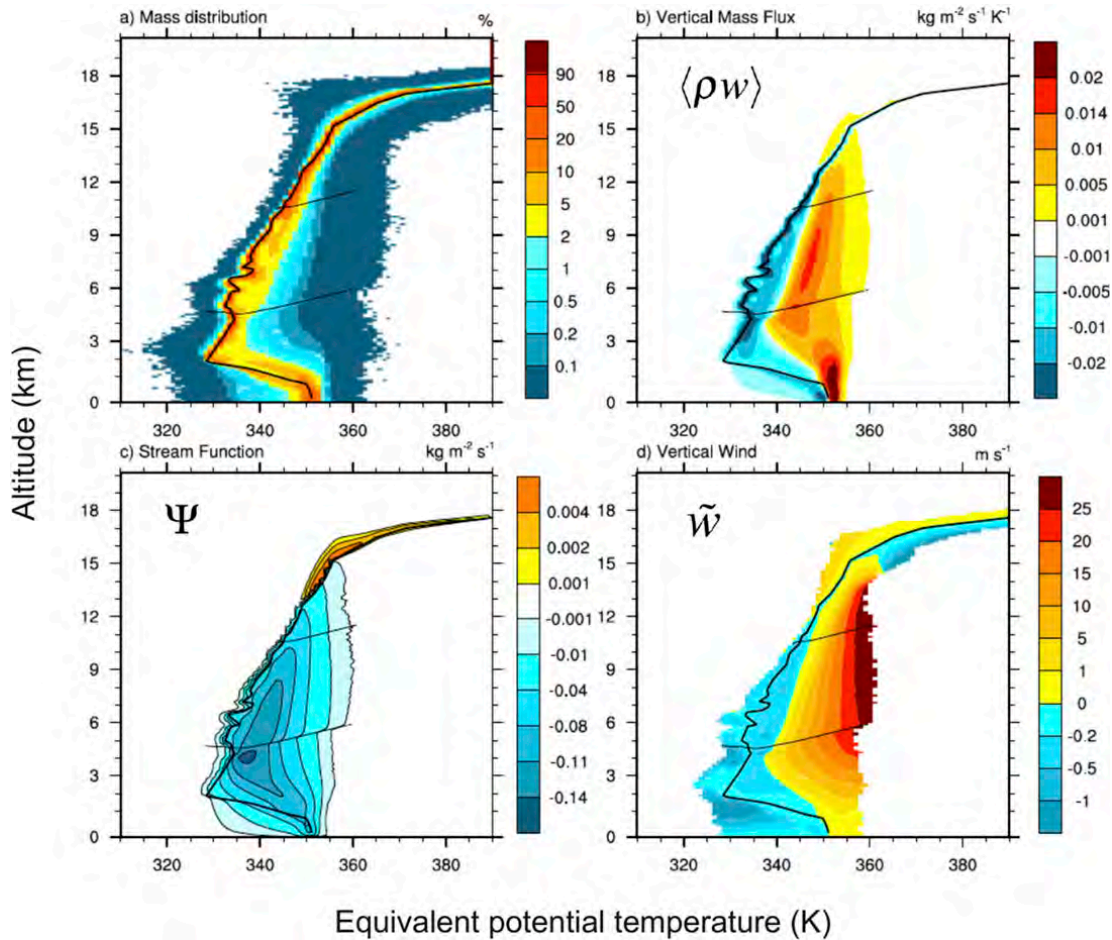


FIG. 2. Isentropic diagrams for the period between 1331 and 1345 LT, during the very deep convective phase. (a) Mass distribution, (b) vertical mass flux, (c) isentropic streamfunction, and (d) bin average of the vertical velocities. The environmental equivalent potential temperature  $\theta_e^{\text{env}}$  profile is represented by the thick black line and the  $0^\circ$  and  $-38^\circ\text{C}$  isotherms by the thin black lines.

above the freezing level. It represents the downward motion of purely environmental air (compensating subsidence) and of negatively buoyant air that results from the mixing between the cloud edges and the environment (the subsiding shells; e.g., Glenn and Krueger 2014). Below the freezing level, the subsiding branch is tilted toward higher  $\theta_e$  values because of the mixing with the warmer and/or moister air of the cloud (see Fig. 3e to locate the cloud on the diagram). At the surface, cold pools are generated by the downdrafts with low  $\theta_e$ .

The second overturning identified by the isentropic streamfunction is the overshoot overturning. Its intensity is  $0.005 \text{ kg m}^{-2} \text{ s}^{-1}$  (1/30 of the tropospheric overturning intensity), and it spans from 13- to 18-km altitudes. At the tropopause (17-km altitude), the maximum of  $\Psi$  is  $0.0025 \text{ kg m}^{-2} \text{ s}^{-1}$ , indicating that only half of the overshoot overturning is actually crossing the tropopause. The ascending branch of this overturning is

at lower  $\theta_e$  than the environment, down to 10 K less than  $\theta_e^{\text{env}}$ . The subsiding branch follows the  $\theta_e^{\text{env}}$  profile.

#### b. Buoyancy and microphysics

The isentropic analysis also provides a framework to investigate the microphysical properties of the overturnings. The large hydrometeor content and the high buoyancy of the ascending branches are shown for both the tropospheric and the overshoot overturning (Fig. 3).

Above 13 km, the overshoot signature is remarkable, with large negative buoyancy (below  $-0.1 \text{ m s}^{-2}$ ) and large frozen water contents (e.g., more than  $2 \text{ g kg}^{-1}$  of graupel content) for air parcels with  $\theta_e$  several degrees lower than the values of  $\theta_e^{\text{env}}$ . The overshooting air parcels with  $\theta_e$  close to  $\theta_e^{\text{env}}$  can, however, not be distinguished from the surrounding air parcels by the isentropic analysis, leading to buoyancy close to zero and a much lower ice content on average than the

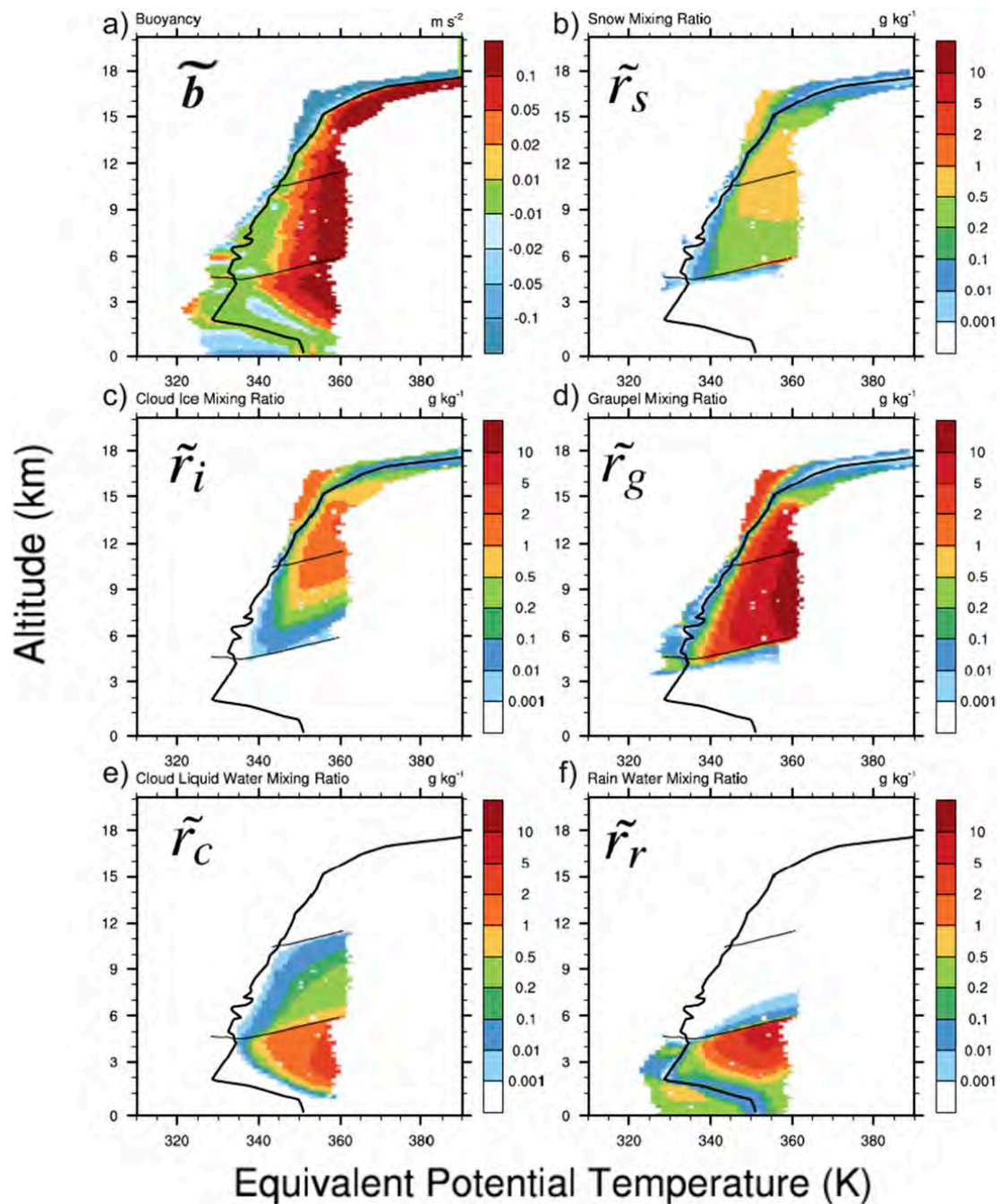


FIG. 3. As in Fig. 2, but for the conditional average of (a) buoyancy, (b) snow, (c) cloud ice, (d) graupel, (e) cloud liquid water, and (f) rain mixing ratios.

overshooting air parcels with  $\theta_e$  several degrees lower than  $\theta_e^{\text{env}}$ .

Between the  $0^\circ$  and  $-38^\circ\text{C}$  isotherms, the parcels with  $\theta_e$  higher than  $350\text{ K}$  have large positive buoyancy and a large amount of cloud supercooled liquid water. The supercooled liquid water has been lofted by the strong updrafts seen in Fig. 2d. The rainwater freezes more quickly than the cloud liquid water because of the greater efficiencies of the collection by graupel

and snow. The freezing of a large amount of rainwater leads to a large amount of graupel, over  $5\text{ g kg}^{-1}$  for air parcels with  $\theta_e$   $10\text{ K}$  higher than the environment. Between 7- and 11-km altitudes, the cloud liquid water freezes primarily because of collection by graupel or snow aggregates, two processes that are parameterized in Meso-NH.

Between the surface and 2-km altitude, the air masses with  $\theta_e$  lower than  $\theta_e^{\text{env}}$  are the signature of the cold

pools. They contain around  $0.5 \text{ g kg}^{-1}$  of rainwater on average. The ascending branches of both the tropospheric and the overshoot overturnings are characterized by a large absolute value of buoyancy (beyond  $0.1 \text{ m s}^{-2}$  above 3 km) and large amount of ice (over  $10 \text{ g kg}^{-1}$ ). The ascending branch of the tropospheric overturning exhibits also a large amount of supercooled water (around  $0.5 \text{ g kg}^{-1}$ ) over a large range of altitudes (between 5 and 11 km).

#### 4. Convective regimes

The development of Hector the Convecteur is strongly tied to the diurnal cycle (Dauhut et al. 2016). In the early morning, the sea breeze generates low-level convergence over the Tiwi Islands and the shallow convection develops. Dauhut et al. (2016) define then four successive phases of convective regime, each phase lasting one hour. The congestus convection phase starts at 1115 LT, the deep convection phase at 1215 LT with the development of the first cumulonimbus, the very deep convection phase at 1315 LT when overshoots begin to reach the lower stratosphere, and the mature convection phase at 1415 LT when the hydrometeor content in the atmosphere is maximum.

##### a. Stream functions

The four successive phases of convection are investigated using the isentropic streamfunction (Fig. 4). For all the convection phases, the main overturning is constituted by an ascending branch at high  $\theta_e$ , close to the value at the surface, and a subsiding branch at low  $\theta_e$ , close to the environment profile  $\theta_e^{\text{env}}$ . The overturnings are characterized by their vertical extent and by their intensity. On the one hand, the tropospheric overturning exhibits a gradual growth of its vertical extent. On the other hand, its intensification is strong, with an intensity 1.5 times larger during the very deep convection phase than during the other phases. In the TTL, the  $0.005 \text{ kg m}^{-2} \text{ s}^{-1}$  overturning during the very deep convection phase shrinks into an overshoot overturning that does not reach altitudes higher than 15 km, well below the tropopause. The very deep convection phase stands out within all the phases, with the intensity of the tropospheric overturning and of the overshoot overturning much larger than during the other phases, in agreement with the evolution of the vertical mass flux given by Dauhut et al. (2016) for their giga-LES of Hector.

While the streamfunction is typically negative through most of the atmosphere—corresponding to the ascent of warm, moist air and subsidence of cooler, drier air parcels—small regions of positive values of the streamfunction can be identified during different stages of

Hector the Convecteur. The positive values of the streamfunction are about 30 times smaller than the negative ones. During both the very deep convection and the mature convection phases, positive values of the streamfunction are found in the upper troposphere. This indicates the presence of convective overshoot, as the equivalent potential temperature of the rising air parcels is less than that of the descending air. In addition, we also observe positive values of the streamfunction in the lower troposphere during the congestus and mature convection phases. In both phases, air with very low  $\theta_e$  (about 330 K) rises. Such air parcels would be negatively buoyant and could only rise if mechanically forced. From a physical point of view, we associate this behavior with the entrainment of low- $\theta_e$  environmental air into cumulus clouds.

The streamlines can be interpreted piecewise as the Lagrangian paths followed on average by the air parcels. Their slope gives an indication of the average trend in  $\theta_e$  along the air parcels' motion. From the congestus phase (Fig. 4a) to the very deep convection phase (Fig. 4c), the ascending branch of the circulation is gradually less tilted toward the  $\theta_e^{\text{env}}$  profile, suggesting a decreasing loss of  $\theta_e$  for the rising air parcels. Below the freezing level, the slopes of the streamlines are explained by the variations in  $\theta_e$  due to mixing. Rising air parcels lose  $\theta_e$  as they mix with lower  $\theta_e$  air from the environment. As the convection develops from the congestus phase to the very deep phase, the steepening of the streamlines shows the gradual reduction of the mixing. The upright streamlines during the very deep convection phase suggest an extremely low mixing for some rising air parcels.

Above the freezing level, ice formation is a source of  $\theta_e$ . The deposition of water vapor on cloud ice is the ice process that contributes the most to the release of latent heat. In the 1-km-deep layer above the freezing level, the air parcels experience a mean increase of  $\theta_e$  as they ascend. Such a trend, despite the mixing, indicates a large latent heat release due to ice formation. Above this shallow layer and up to the top of the tropospheric overturning, the streamlines are tilted toward low  $\theta_e$  values during the deep convection phase, become upright, and eventually are tilted toward large  $\theta_e$  values during the very deep and the mature convection phases. This change of slope with time is associated with an increasing amount of latent heat release due to ice formation. The intensity of the latent heat release is further illustrated in terms of average  $\theta$  tendencies (Fig. 5). The  $\theta$  tendencies due to microphysics dominate the ones due to radiation and turbulence; they are partly balanced by the advection. The diabatic tendencies due to radiation are positive and important in the uppermost part of the

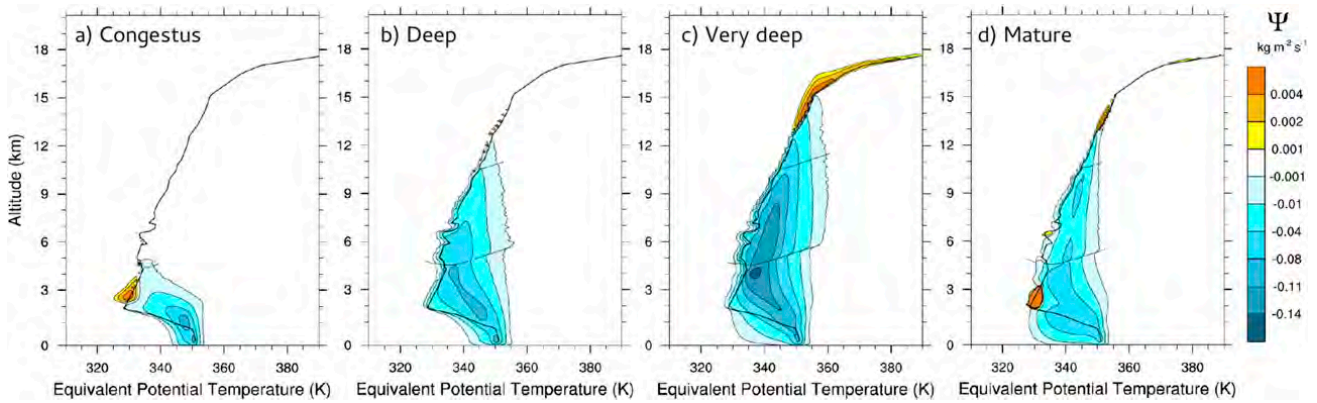


FIG. 4. The streamfunctions for (a) 1131–1145 LT during the congestus convection phase, (b) 1231–1245 LT during the deep convection phase, (c) 1331–1345 LT during the very deep convection phase, and (d) 1431–1445 LT during the mature convection phase. The black lines are as in Fig. 2.

cloud only (between 12- and 18-km altitudes, where the cloud is made of ice only). These positive tendencies might be due to the fact that the anvil absorbs more longwave radiation from the ground than it emits. Note that this positive tendency balances the negative one because of the ice sublimation in the uppermost part of the cloud during the very deep convection phase.

A reduction of the mixing experienced by the ascending air parcels could also contribute to this change of slope above the freezing level. A method to disentangle the dilution from the latent heat release due to ice

formation consists in using another isentropic coordinate. Along with  $\theta_e$ , liquid moist static energy  $\xi_l$ , which is insensitive to any latent heat change (but sensitive to liquid precipitation), is used as an alternative isentropic coordinate in the following sections in order to investigate the dilution of the updrafts above the freezing level.

#### b. Diabatic tendencies

Pauluis and Mrowiec (2013) show that, for an atmosphere in radiative–convective equilibrium, the diabatic

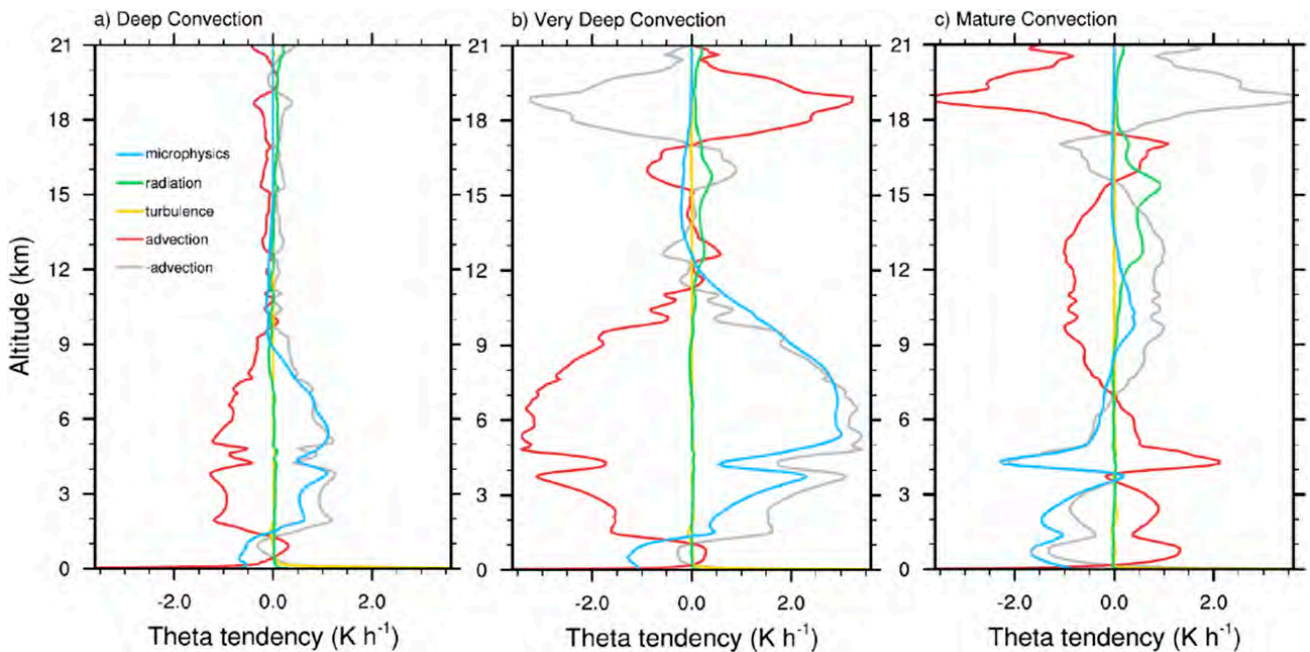


FIG. 5. Vertical profiles of the tendencies of  $\theta$  due to microphysics, turbulence, radiation, and advection, averaged over the domain of the isentropic analysis (Fig. 1) during the same time periods as in Figs. 4b–d: during the (a) deep convection phase, (b) very deep convection phase, and (c) mature convection phase. The opposite of the tendency due to advection is superimposed in gray for an easier comparison with the one due to microphysics.

tendencies are equal to the vertical derivative of the streamfunction  $\langle \rho \theta_e \rangle = -\partial/\partial z \Psi$ . This result, however, is only valid for an atmosphere in statistical equilibrium and in a domain with periodic lateral boundary conditions. In the Hector simulation, the modeled atmosphere is evolving over time and continuously exchanges air at its lateral boundary. We show in the [appendix](#) how to account for the lateral boundary conditions and time evolution to retrieve the diabatic tendency.

The retrieved diabatic tendencies during the four different stages of Hector the Convecter are shown in [Fig. 6](#). Below the freezing level, the diabatic tendencies show a clear dipole during all phases. In this part of the atmosphere, the mixing is the most important diabatic process that can alter  $\theta_e$ . The latent heat absorption due to melting of ice leads to significant negative tendencies only in a narrow band of altitudes below the freezing level ([Figs. 6c,d](#); visible as a marked, local minimum of the  $\theta$  tendency due to microphysics in [Fig. 5](#)). The line (not plotted) going from 350 K at the surface to 342 K at 4 km delimits lower- $\theta_e$  air parcels with positive tendency and higher- $\theta_e$  air parcels with negative tendency. On the one hand, the air parcels with high  $\theta_e$  are part of the updrafts that are cooled down and/or dried by the mixing with the surrounding air. On the other hand, the air parcels with  $\theta_e$  closer to  $\theta_e^{\text{env}}$  are warmed up and/or moistened by this mixing.

Above the freezing level and below the  $-38^\circ\text{C}$  isotherm ([Fig. 6](#)), air parcels with  $\theta_e$  larger than 344 K show a radical change in diabatic tendencies between the deep and very deep convection phases ([Figs. 6b,c](#)): from negative to positive. The latent heat release due to ice formation is the positive contribution to the diabatic tendencies with  $\theta_e$ , and it exceeds the negative diabatic tendencies due to the mixing since the diabatic tendencies with  $\theta_e$  are positive. The large latent heat release noticed in the  $(z, \theta_e)$  space is also evidenced when examining the averaged profiles of  $\theta$  tendency ([Fig. 5](#)). The tendency due to microphysics slightly exceeds the advection tendency between 7.5- and 12-km altitudes during the very deep convection phase only. During the congestus phase, it is 3 times smaller. During the mature phase, it becomes even negative because of melting and evaporation of stratiform precipitation. The details of the microphysical processes indicate that the deposition of vapor onto the icy hydrometeors is the most important source of latent heat. The amount of graupel (with mixing ratio up to  $10 \text{ g kg}^{-1}$ ; see [Fig. 3](#)) increases because of the intense accretion of rain with snow and the collection of snow, cloud ice, and cloud water by the preexisting graupel particles between 4.5- and 8-km altitudes. These results depend strongly on the microphysical scheme. More sophisticated schemes, such as

the two-moment ones, should give different answers to the importance of each microphysical process and different heating profiles (e.g., [Lebo et al. 2012](#); [Grabowski and Jarecka 2015](#)). The air parcels with  $\theta_e$  larger than 344 K and between 5- and 10-km altitudes are visualized in the physical space in [Fig. 7](#), around the tallest updrafts identified by [Dauhut et al. \(2016\)](#). The increasing volume of air exceeding  $\theta_e = 344 \text{ K}$  reveals the warming and moistening of the free troposphere by the convective activity. Above the  $-38^\circ\text{C}$  isotherm ([Fig. 6c](#)), the mixing between the updrafts and the environment warms the environment below 13-km altitude and warms the updrafts above.

In the  $\theta_e$  framework, the mixing cannot be differentiated from the ice formation. Then the entrainment cannot be retrieved from the diabatic tendencies above the freezing level. To separate the ice formation from the mixing, we further use the liquid moist static energy  $\xi_l$  as isentropic coordinate. The same approach as with  $\theta_e$  can be used to retrieve the diabatic tendencies in the  $\xi_l$  framework. The liquid moist static energy is defined in temperature units:

$$\xi_l = T + \frac{g}{C_{\text{pd}}} z + \frac{L_s}{C_{\text{pd}}} r_v + \frac{L_f}{C_{\text{pd}}} (r_c + r_r), \quad (5)$$

where  $g$  is the acceleration of the gravity,  $L_s$  is the latent heat of sublimation, and  $r_c$  and  $r_r$  are the mixing ratio of cloud liquid water and rain, respectively. The liquid moist static energy is conserved under ice formation but not in case of liquid precipitation. It is worth noting that the positive contribution from the formation of ice in the  $\theta_e$  framework is replaced by a negative contribution in  $\xi_l$  tendency associated with the loss of liquid water by precipitation. The air parcels concerned by this non-conservation are mostly located below the freezing level (see [Fig. 3f](#)). Above the freezing level, the large diabatic term seen with  $\theta_e$  disappears and is replaced by a mostly negative tendency ([Figs. 8b-d](#)), indicating that entrainment is still active.

### c. Entrainment

Entrainment is the incorporation of environmental air into a rising plume. Considering the updrafts, the entrainment rate  $\varepsilon$  quantifies their dilution by mixing with the surrounding air masses. Any property  $\phi$  that is conserved in absence of dilution can be used to compute  $\varepsilon$ . In the bulk formulation, the entrainment rate is the factor that scales the decrease with height of the conserved property inside the updraft with the difference of the environmental value [first two members of [Eq. \(6\)](#)]. In the frame of the isentropic analysis, the entrainment rate  $\varepsilon$  is deduced from [Eq. \(6\)](#) as the ratio between the



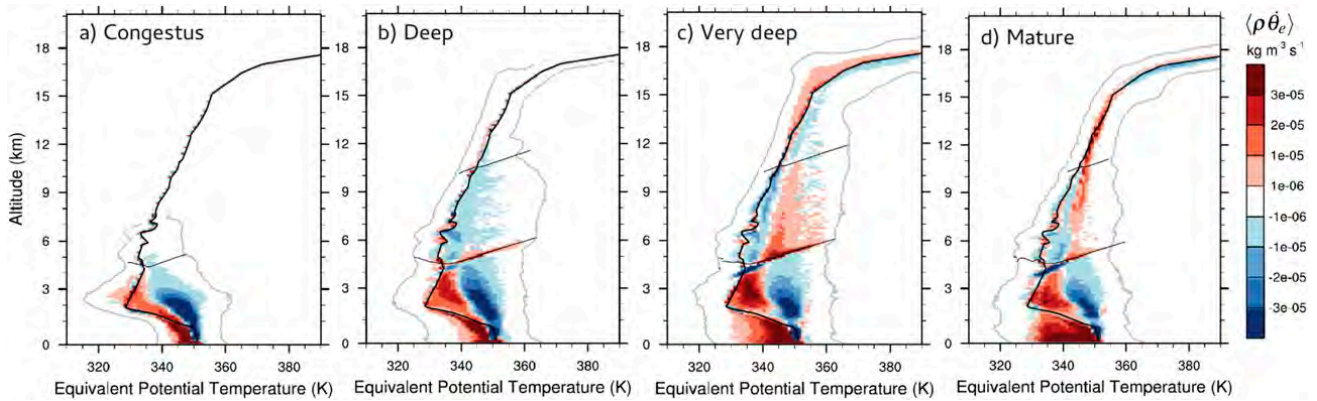


FIG. 6. As in Fig. 4, but for diabatic tendencies with  $\theta_e$  as the isentropic coordinate. The envelope of the mass distributions of each period is shown with the gray lines.

diabatic tendency and the vertical mass flux times the difference of  $\phi$  with the environment. Although the rising air parcels can mix with each other, the environmental profile  $\phi^{\text{env}}$  is here the constant profile at the boundaries of the domain. This choice leads to values of  $\varepsilon$  that can be read as an effective entrainment rate. It allows easier comparison with the entrainment rates in other paradigms:

$$\varepsilon(\phi^{\text{env}} - \phi) = \frac{\tilde{\phi}}{\tilde{w}} = \frac{\langle \rho \dot{\phi} \rangle}{\langle \rho w \rangle}. \quad (6)$$

The conserved properties used here are  $\theta_e$  below the freezing level (Figs. 9e–h) and  $\xi_l$  above (Figs. 9a–d). These properties are virtually conserved in absence of dilution in two distinct regions. Below the freezing level, the rate of change of  $\theta_e$  due to mixing dominates the sinks and sources because of radiation (by at least one order of magnitude) and the ones due to ice formation (negligible below the freezing level). The error in  $\varepsilon$  due

to ice melting is negligible (less than  $0.02 \text{ km}^{-1}$ ) at low ice concentration (below the purple line in Figs. 9e–h). Above the freezing level, the rate of change of  $\xi_l$  due to mixing dominates the sinks and sources because of radiation and to liquid water precipitation. The error in  $\varepsilon$  assuming that all supercooled rain falls out is negligible (less than  $0.02 \text{ km}^{-1}$ ) at low rain concentration (above the purple line in Figs. 9a–d).

The entrainment rate is shown for the successive convection phases in Fig. 9. Given the limits of the bulk model for the entrainment (de Rooy et al. 2013), only the bins where  $\tilde{w}$  and  $\varepsilon$  are positive are shown. The entrainment rate  $\varepsilon$  during the congestus phase (Figs. 9a,e) contrasts from  $\varepsilon$  during the three next phases, with values exceeding  $0.2 \text{ km}^{-1}$  almost everywhere. From the deep convection phase onward (Figs. 9b–d,f–h), values of entrainment as low as  $0.04 \text{ km}^{-1}$  are found. During the deep convection phase, such low  $\varepsilon$  is found for air parcels with very high  $\theta_e$  or  $\xi_l$  only, below 7-km altitude. The minimum of  $\varepsilon$  is reached during the very deep

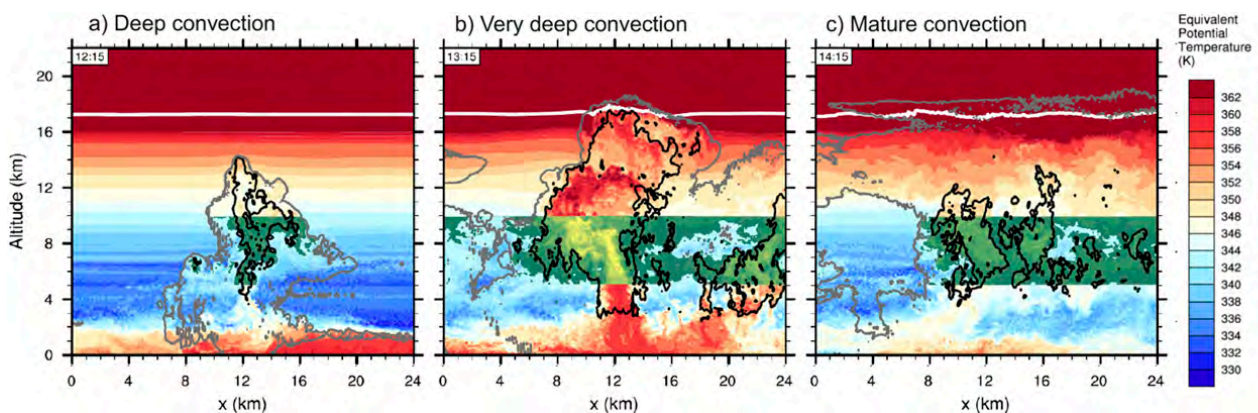


FIG. 7. Vertical cross sections of the tallest updrafts studied by Dauhut et al. (2016) at (a) 1215, (b) 1315, and (c) 1415 LT. The color shading is  $\theta_e$ , the black contours are the updrafts with a vertical velocity exceeding  $10 \text{ m s}^{-1}$ , and the gray contour is the cloud envelope. Yellow–green shadings overlay air parcels between 5- and 10-km altitudes and with  $\theta_e$  over  $344 \text{ K}$ .

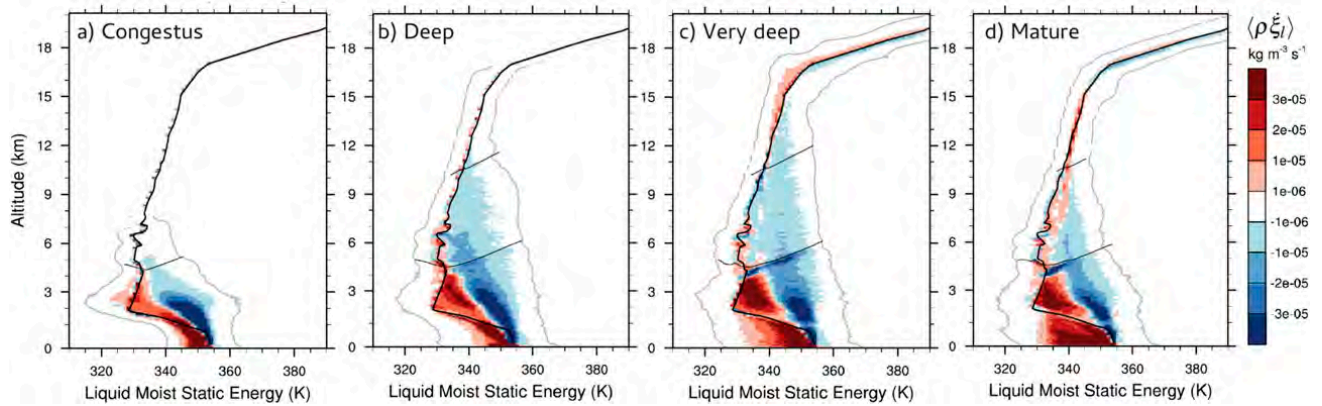


FIG. 8. As in Fig. 6, but with  $\xi_l$  as the isentropic coordinate.

convection phase, when values of  $\varepsilon$  lower than  $0.06 \text{ km}^{-1}$  are associated with many rising air parcels up to the  $-38^\circ\text{C}$  isotherm. After, during the mature convection phase (Figs. 9d,h), the entrainment rate returns to values about  $0.1 \text{ km}^{-1}$ . For all phases, the computation of  $\varepsilon$  in the overshoot regions leads to large values, over  $1 \text{ km}^{-1}$ .

The computation of  $\varepsilon$  exhibits a strong decrease in the updrafts' dilution between the congestus and the very deep convection phase. The extremely low entrainment rates during the very deep convection phases (lower than  $0.04 \text{ km}^{-1}$ ) confirm and even break the very low values found for the tallest updrafts of Hector [down to  $0.08 \text{ km}^{-1}$  in Dauhut et al. (2016)]. The occurrence of

the minimal entrainment in the troposphere found for some individual updrafts during the very deep convection phase is thus confirmed at the scale of the multicellular convective system Hector.

## 5. Mass transport

The mass transport toward the stratosphere by Hector on 30 November 2005 was quantified by Dauhut et al. (2016), who showed the vertical profiles of the air mass transports for the very deep convection phase (Fig. 10a, the blue profile). This study took into account the contribution of the updrafts, where the vertical velocity

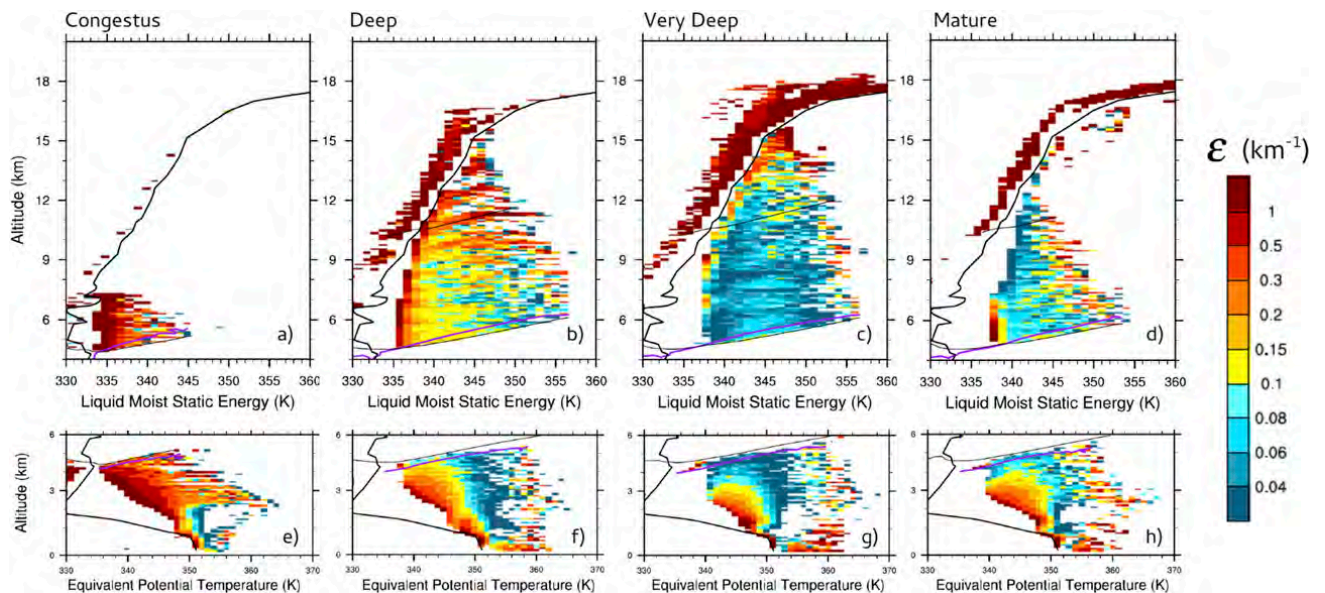


FIG. 9. The entrainment rate for the same time periods as in Fig. 4: during the (a),(e) congestus convection phase, (b),(f) deep convection phase, (c),(g) very deep convection phase, and (d),(h) mature convection phase. (top) Values above the freezing level computed with  $\xi_l$  as the isentropic coordinate; above the purple line, the error in  $\varepsilon$  due to liquid precipitation is less than  $0.02 \text{ km}^{-1}$ . (bottom) Values below the freezing level computed with  $\theta_e$  as the isentropic coordinate; below the purple line, the error in  $\varepsilon$  due to ice processes is less than  $0.02 \text{ km}^{-1}$ . The black lines are as in Fig. 2. The wide white areas without entrainment values correspond to bins where  $\tilde{w}$  or  $\varepsilon$  is negative.

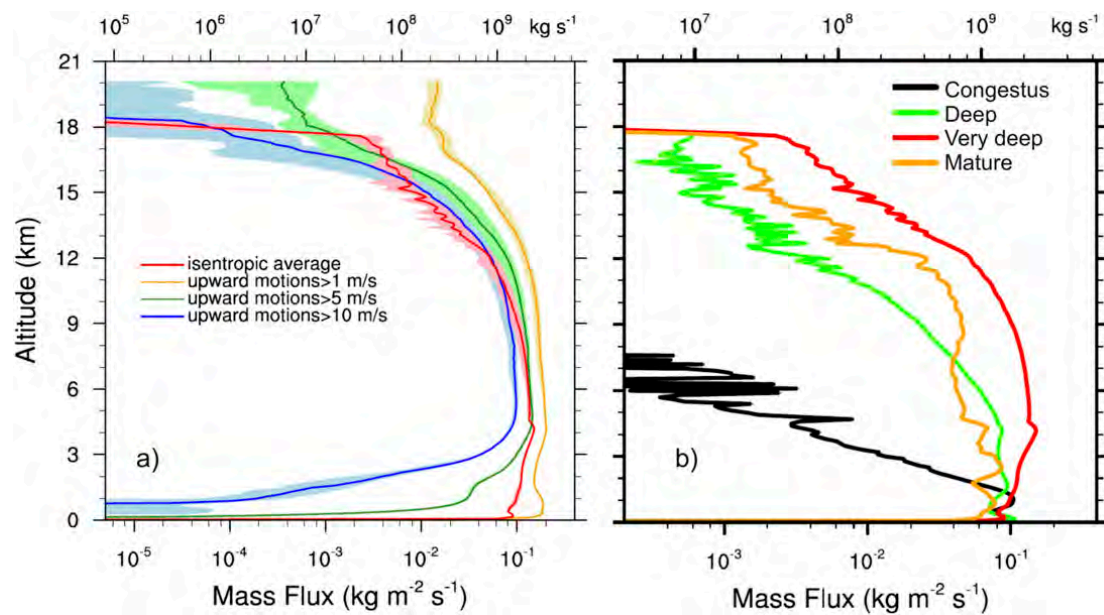


FIG. 10. (a) Vertical mass flux computed by the isentropic analysis between 1331 and 1345 LT (red), compared to the transport due to all the upward motions stronger than 1 (yellow), 5 (green), and  $10 \text{ m s}^{-1}$  (blue). The thick lines show the averaged values, while the color shades span between the minimum and maximum values taken during each 15-min period. (b) Averaged vertical mass flux computed by the isentropic analysis for the same time periods as in Fig. 4: during the congestus convection phase (black), deep convection phase (green), very deep convection phase (red), and mature convection phase (orange). The scale at the top gives the total vertical mass flux over the area of the analysis domain:  $1.6 \times 10^{10} \text{ m}^2$ .

exceeds  $10 \text{ m s}^{-1}$ , in order to exclude the reversible transport due to gravity waves. The isentropic analysis offers the possibility to quantify the transport with a radically different method. Neither coherent structure needs to be detected, nor do any arbitrary thresholds need to be defined. Furthermore, the isentropic quantification of the transport takes into account the transport by highly transient, incoherent, and turbulent eddies. The subsequent quantification is compared with the former Eulerian computations that take into account the transport by motions stronger than some threshold only and that do not necessarily exclude all of the reversible mass transport.

The mass transport is defined here following Pauluis and Mrowiec (2013). It can be derived from the isentropic streamfunction  $\Psi$  as the difference between its maximum and its minimum, at each level. The time variability is estimated with the quantification from the every minute output. The isentropic mass transport during the very deep convection phase (Fig. 10a, the red profile) peaks just below the freezing level, at 4-km altitude, in contrast with the mass transport computed for the radiative–convective equilibrium simulation of Pauluis and Mrowiec (2013), which peaks in the lower part of the boundary layer, at about 300-m altitude. For a mesoscale convective system, Mrowiec et al. (2015) find a maximal vertical mass transport close to the freezing level. This location of the maximum further confirms that

ice formation acts as a buoyancy kick that changes the dynamical behavior of the updrafts, from mostly entraining below to mostly detraining above. The mass transport decreases in a quadratic way with height up to 12-km altitude, and decays exponentially above, with a scale height of 4 km. The isentropic mass transport is compared to the Eulerian mass transport, computed with thresholds on the vertical velocities. On the one hand, the use of a low velocity threshold ( $1 \text{ m s}^{-1}$ ) systematically overestimates the mass transport everywhere, as it tends to include too much of the mass transport. On the other hand, the larger velocity thresholds miss most of the mass transport in the lower troposphere. When compared with the isentropic mass transport, the  $10 \text{ m s}^{-1}$  threshold leads to a reasonable quantification of the vertical mass flux between 10- and 16-km altitudes. This result is consistent with the strong average vertical velocities  $\bar{w}$  in the upper troposphere (Fig. 2d). The use of these large thresholds, however, tends to underestimate the isentropic mass flux near the tropopause. This highlights the significant contribution of the small-amplitude motions to the cross-tropopause transport.

The comparison of the irreversible upward mass fluxes for the successive convection phases is shown in Fig. 10b. The congestus phase contrasts from the three later phases with a mass flux that drops sharply with altitude, from 2-km altitude upward. Large variations

of the mass flux profiles with altitude are observed between 13- and 17-km altitudes for the deeper convection phases. These variations might be caused by the fact that the updrafts and the environment have similar values for  $\theta_e$  in these ranges of altitudes. In agreement with the Eulerian computation (Dauhut et al. 2016), the upward mass flux increases from the deep to the very deep convection phase and decreases back during the mature convection phase. At the tropopause (17-km altitude), the  $3.5 \times 10^{-3} \text{ kg m}^{-2} \text{ s}^{-1}$  upward mass fluxes during the very deep convection phase drop by a factor of 2.6 one hour later. These fluctuations highlight the transient nature of the cross-tropopause transport by convection and the difficulty in observing it.

## 6. Conclusions

A large-eddy simulation (200-m horizontal grid spacing and 1-min time resolution) performed by Dauhut et al. (2015) has been used to quantify the irreversible mass flux across the troposphere by Hector the Convecton on 30 November 2005. The isentropic analysis filters out the buoyant oscillations by averaging the contribution of thermodynamically similar air parcels and takes into account the mass flux due to small-amplitude motions thanks to the absence of a threshold. Two key circulations due to Hector have been characterized by the isentropic streamfunction.

The tropospheric overturning transports energetic air parcels from the surface to their level of neutral buoyancy and less energetic air parcels, thermodynamically similar to the environment, from the upper troposphere to the surface. The intensity of the tropospheric overturning is about  $0.1 \text{ kg m}^{-2} \text{ s}^{-1}$  from the congestus convection phase to the mature convection phase, except during the very deep convection phase when its intensity increases to  $0.15 \text{ kg m}^{-2} \text{ s}^{-1}$ . As shown by Dauhut et al. (2016), the updrafts contribute significantly to the upward mass transport while the downdrafts temper this upward mass transport, especially in the upper troposphere and just below the freezing level.

The overshoot overturning transports upward air parcels beyond their level of neutral buoyancy. It extends up to 18 km during the very deep convection phase, whereas it splits into two circulations that are separated by the tropopause during the mature convection phase.

The irreversible mass transport computed by the isentropic analysis is about  $10^{-1} \text{ kg m}^{-2} \text{ s}^{-1}$  from the surface up to 11-km altitude. Above 11-km altitude, the mass flux decreases exponentially with altitude, down to  $3.5 \times 10^{-3} \text{ kg m}^{-2} \text{ s}^{-1}$  at 17-km altitude (the tropopause). It drops to zero just above 18-km altitude. The isentropic mass flux computation is compared to the

Eulerian computations that use 10 and  $5 \text{ m s}^{-1}$  thresholds on the vertical velocity field. The isentropic estimate is one order of magnitude larger than the Eulerian ones at the tropopause and in the lower troposphere. This difference is attributed to the contribution of the small-amplitude motions. In contrast, the isentropic estimate of the mass flux is slightly lower than the Eulerian estimates between 13- and 15-km altitudes. The estimates are in the range of the temporal variability of one another. The larger estimates of the Eulerian approach are attributed to the reversible motions like gravity waves, which actually do not transport mass. Mrowiec et al. (2015) compare the Eulerian and isentropic computations of the vertical mass flux for another deep convective event around Darwin. The Eulerian computation based on a positive velocity threshold gives a 50% larger estimate than the isentropic computation. The maximum of the isentropic vertical profile occurs just below the freezing level, like in this study. Its value ( $0.06 \text{ kg m}^{-2} \text{ s}^{-1}$ ) is, however, lower than the maximum of the deep and mature convection profiles of Hector.

The isentropic analysis also allows us to retrieve the diabatic tendencies and to interpret them in the light of the heating rates due to microphysics, turbulence, and radiation, averaged at the system scale. The mixing of the air parcels with their surrounding environment is distinguished from the latent heat release by the use of two different isentropic coordinates. The entrainment rate is then quantified using the estimate of the mixing. The entrainment rate exhibits a minimum during the very deep convection phase, with values as low as  $0.04 \text{ km}^{-1}$  for many air parcels between 1- and 11-km altitudes. The isentropic analysis confirms the existence of weakly diluted air parcels, especially during the very deep convection phase. This entrainment rate stands in contrast with the values down to  $0.25 \text{ km}^{-1}$  found for deep convection up to 12-km altitude over ocean (Kuang and Bretherton 2006) and down to  $0.1 \text{ km}^{-1}$  for deep convection reaching 14-km altitude over Amazonia (Khairoutdinov and Randall 2006).

The diabatic tendencies further reveal a change in regime between the deep and the very deep convection phases. During the very deep convection phase, the positive tendency by latent heating due to ice processes exceeds the negative tendency because of the mixing of the rising air parcels with the surrounding air. In contrast, during the deep convection phase, such large contribution of the latent heat release is confined to the vicinity of the freezing level. The sensitivity of the diabatic tendencies to the microphysical scheme needs though to be further investigated, and the isentropic analysis provides a convenient frame for such an intercomparison.

*Acknowledgments.* This research was supported by the StratoClim project funded by the European Union Seventh Framework Programme under Grant Agreement 603557. Computer resources were allocated by GENCI through Projects 90569 and 100231 (Grand Challenge Turing). Olivier Pauluis is supported by the New York University Abu Dhabi Research Institute under Grant G1102.Turing. We thank the editor and the anonymous referees for their comments, which helped to improve the overall quality of the paper.

## APPENDIX

### Reconstruction of Diabatic Tendencies

Pauluis and Mrowiec (2013) have shown that for radiative convective equilibrium, the diabatic tendency  $\dot{\theta}_e$  can be directly inferred from the isentropic streamfunction, with

$$\frac{\partial \langle \rho w \rangle}{\partial z_0} + \frac{\partial \langle \rho \dot{\theta}_e \rangle}{\partial \theta_{e0}} = 0. \quad (\text{A1})$$

However, this result only holds for a close atmosphere in statistical equilibrium. In our study, however, both conditions are violated, as our simulation allows for open boundaries, and the atmosphere is evolving rapidly. It is, however, possible to retrieve the diabatic tendencies in this case as well. The continuity equation is then given by

$$\frac{\partial \langle \rho \rangle}{\partial t} = \mathcal{F}_{\text{lat}} - \frac{\partial \langle \rho w \rangle}{\partial z_0} - \frac{\partial \langle \rho \dot{\theta}_e \rangle}{\partial \theta_{e0}}. \quad (\text{A2})$$

The first term on the RHS  $\mathcal{F}_{\text{lat}}$  is the source term because of the advection of air in and out of the analysis domain. The term on the LHS and the first two terms of the RHS are directly computed from the output of the model. The computation of the last term as a residue allows us to quantify the effect of the diabatic processes on the mass distribution.

## REFERENCES

- Chaboureaud, J.-P., J.-P. Cammas, J. Duron, P. J. Mascart, N. M. Sitnikov, and H.-J. Voessing, 2007: A numerical study of tropical cross-tropopause transport by convective overshoots. *Atmos. Chem. Phys.*, **7**, 1731–1740, doi:10.5194/acp-7-1731-2007.
- Dauhut, T., J.-P. Chaboureaud, J. Escobar, and P. Mascart, 2015: Large-eddy simulation of Hector the Convecton making the stratosphere wetter. *Atmos. Sci. Lett.*, **16**, 135–140, doi:10.1002/asl2.534.
- , —, —, and —, 2016: Giga-LES of Hector the Convecton and its two tallest updrafts up to the stratosphere. *J. Atmos. Sci.*, **73**, 5041–5060, doi:10.1175/JAS-D-16-0083.1.
- de Rooy, W. C., and Coauthors, 2013: Entrainment and detrainment in cumulus convection: An overview. *Quart. J. Roy. Meteor. Soc.*, **139**, 1–19, doi:10.1002/qj.1959.
- Dessler, A. E., 2002: The effect of deep, tropical convection on the tropical tropopause layer. *J. Geophys. Res.*, **107**, 4033, doi:10.1029/2001JD000511.
- Emanuel, K. A., 1994: *Atmospheric Convection*. Oxford University Press, 580 pp.
- Gottelman, A., M. L. Salby, and F. Sassi, 2002: Distribution and influence of convection in the tropical tropopause region. *J. Geophys. Res.*, **107**, 4080, doi:10.1029/2001JD001048.
- Glenn, I. B., and S. K. Krueger, 2014: Downdrafts in the near cloud environment of deep convective updrafts. *J. Adv. Model. Earth Syst.*, **6**, 1–8, doi:10.1002/2013MS000261.
- Grabowski, W. W., and D. Jarecka, 2015: Modeling condensation in shallow nonprecipitating convection. *J. Atmos. Sci.*, **72**, 4661–4679, doi:10.1175/JAS-D-15-0091.1.
- Khairoutdinov, M. F., and D. A. Randall, 2006: High-resolution simulation of shallow-to-deep convection transition over land. *J. Atmos. Sci.*, **63**, 3421–3436, doi:10.1175/JAS3810.1.
- Kuang, Z., and C. S. Bretherton, 2006: A mass-flux scheme view of a high-resolution simulation of a transition from shallow to deep cumulus convection. *J. Atmos. Sci.*, **63**, 1895–1909, doi:10.1175/JAS3723.1.
- Küpper, C., J. Thuburn, G. C. Craig, and T. Birner, 2004: Mass and water transport into the tropical stratosphere: A cloud-resolving simulation. *J. Geophys. Res.*, **109**, D10111, doi:10.1029/2004JD004541.
- Lafore, J.-P., and Coauthors, 1998: The Meso-NH atmospheric simulation system. Part I: Adiabatic formulation and control simulations. *Ann. Geophys.*, **16**, 90–109, doi:10.1007/s00585-997-0090-6.
- Lebo, Z. J., H. Morrison, and J. H. Seinfeld, 2012: Are simulated aerosol-induced effects on deep convective clouds strongly dependent on saturation adjustment? *Atmos. Chem. Phys.*, **12**, 9941–9964, doi:10.5194/acp-12-9941-2012.
- Liu, C., and E. J. Zipser, 2005: Global distribution of convection penetrating the tropical tropopause. *J. Geophys. Res.*, **110**, D23104, doi:10.1029/2005JD006063.
- Mrowiec, A. A., O. M. Pauluis, A. M. Fridlind, and A. S. Ackerman, 2015: Properties of a mesoscale convective system in the context of an isentropic analysis. *J. Atmos. Sci.*, **72**, 1945–1962, doi:10.1175/JAS-D-14-0139.1.
- Pauluis, O. M., and A. A. Mrowiec, 2013: Isentropic analysis of convective motions. *J. Atmos. Sci.*, **70**, 3673–3688, doi:10.1175/JAS-D-12-0205.1.

## Conclusions et perspectives

L'impact des orages tropicaux sur la composition de la stratosphère est un phénomène difficile à appréhender car il fait intervenir des processus d'échelles spatio-temporelles très différentes. Ses conséquences sur le climat à l'échelle de notre planète motivent les études qui lui sont dédiées. À l'échelle des systèmes convectifs, les processus internes aux orages (ascendances, mélange turbulent) et à leur sommet (percées nuageuses) sont les acteurs du transport convectif, de la couche limite à la basse stratosphère. Ils sont à la fois difficiles à observer et nécessitent des résolutions de l'ordre de la centaine de mètres pour être correctement simulés. L'étude détaillée de l'orage *Hector the Convecteur* a pour buts principaux d'estimer la contribution des orages tropicaux au flux d'eau de la troposphère à la stratosphère et d'améliorer la compréhension des processus sur lesquelles cette contribution repose. L'orage Hector du 30 novembre 2005, au-dessus duquel des percées nuageuses ont été observées jusqu'à 18 km d'altitude, a été sélectionné en tant qu'archétype des orages tropicaux qui hydratent la stratosphère.

La contribution des orages tropicaux à l'hydratation de la stratosphère est évaluée à partir du calcul de l'injection d'eau en stratosphère par Hector. Les percées nuageuses observées à son sommet le 30 novembre 2005 ont injecté de la glace en basse stratosphère. Alors qu'une grande partie est retombée en troposphère, le reste s'est sublimé pour former une poche d'humidité, estimée à

3 000 tonnes de vapeur d'eau supplémentaire en stratosphère. En extrapolant ce résultat à l'ensemble des orages qui atteignent la stratosphère, dénombrés par une climatologie d'observations spatiales, l'hydratation de la stratosphère par les orages tropicaux pourrait contribuer à hauteur de 18 % au flux global d'eau de la troposphère à la stratosphère.

Pour mieux comprendre comment la convection très profonde peut affecter la composition de la stratosphère, les processus internes à Hector ont été étudiés en détail et la part irréversible du transport a été quantifiée. Le transport par les ascendances, leur dilution par l'air environnant, les sources de flottabilité et l'organisation par les processus en surface ont été analysés à partir de simulations de l'orage Hector sélectionné. Ces simulations ont été réalisées avec le modèle Méso-NH sur des grilles de 100 à 1 600 m de côté, les plus fines permettant la représentation explicite des ascendances, des tourbillons les plus énergétiques à l'intérieur du nuage et des processus dynamique en surface.

Le transport convectif jusqu'en stratosphère est l'œuvre d'une multitude d'ascendances internes à l'orage. Statistiquement, les ascendances les plus vigoureuses ont des vitesses ascendantes supérieures à 16 m/s sur une grande partie de la troposphère et dépassant les 20 m/s en milieu de troposphère. Les ascendances les plus chargées en hydrométéores présentent des contenus en eau supérieurs à 11 g/kg dans la moitié supérieure de la troposphère. Analysées individuellement, les deux plus grandes ascendances pendant la phase de percée en stratosphère contribuent à elles seules à plus de 90 % du flux de masse à travers la couche de tropopause tropicale (TTL). Ces deux ascendances se démarquent des plus grandes ascendances des phases de convection moins intenses, pendant le développement vertical de l'orage et pendant sa phase mature. Elles sont plus larges (plus de 8 km de largeur effective en milieu de troposphère), plus vigoureuses (0,1 m/s<sup>2</sup> de flottabilité moyenne et des vitesses ascendantes atteignant

50 m/s), et elles transportent plus d'hydrométéores (contenu moyen en eau approchant la valeur de 11 g/kg trouvée pour les ascendances les plus chargées). Collectivement, les ascendances produisent un flux irréversible de masses d'air hautement énergétique et à flottabilité élevée, formant une circulation de l'ordre de  $10^{-1}$  kg/m<sup>2</sup>/s de la surface à 12 km d'altitude pendant la phase de convection la plus intense. Les ascendances des percées nuageuses au sommet de Hector forment simultanément un flux irréversible de masses d'air à flottabilité négative, dont environ  $3 \cdot 10^{-3}$  kg/m<sup>2</sup>/s traversent la tropopause.

L'entraînement d'air environnant à l'intérieur des ascendances vient moduler ce transport convectif. L'entraînement calculé sur l'ensemble des ascendances apparaît important à la base du nuage (environ 1,2 /km) et favorable au développement d'ascendances vigoureuses et transportant beaucoup d'eau. Calculé à partir des tendances diabatiques à l'échelle de l'orage, l'entraînement apparaît au contraire très faible pour les masses d'air les plus énergétiques, diminuant jusqu'à 0,04 /km pendant la phase de percée en stratosphère. Calculé à l'échelle des plus grandes ascendances de convection très profonde, l'entraînement d'air est effectivement très réduit (0,08 /km), de la base de l'ascendance à son sommet au niveau de la tropopause. Ces ascendances, déterminantes pour le transport à travers la TTL, apparaissent peu diluées, moins diluées que celles des phases de convection moins intenses. Ceci concorde avec leur large diamètre effectif et le fait que le mélange turbulent affecte plus leur bord que leur cœur convectif. Ces deux plus grandes ascendances de convection très profonde s'approchent des *hot towers* postulées par Riehl and Malkus (1958).

La condensation en hydrométéores de la vapeur d'eau, lors de son transport de la couche limite à la basse stratosphère, est à la fois une charge pour les ascendances et la source d'énergie qui leur est nécessaire pour atteindre la stratosphère. À l'échelle des plus grandes ascendances, la charge en hydromé-



téores correspond à une division par deux de la flottabilité moyenne. Pour les plus grandes ascendances de convection très profonde, le gain en flottabilité dû au dégagement de chaleur latente est présent jusqu'à 10 km d'altitude au moins, ce qui est en accord avec la présence d'eau surfondue de l'ordre de  $10^{-1}$  g/kg jusqu'à cette altitude. La quantification de ce gain en flottabilité nécessite une étude plus détaillée. A l'échelle de l'orage, le calcul de la tendance diabatique nette confirme l'importance du dégagement de chaleur latente en moyenne troposphère, renforcé avec la formation des hydrométéores glacés. La capacité des orages à atteindre la stratosphère est donc liée à leur capacité à dégager suffisamment de chaleur latente pour contrebalancer la tendance diabatique négative due à la dilution par le mélange avec l'air environnant.

L'organisation de la convection dans Hector pour atteindre la stratosphère est pilotée par des processus en surface. Les ascendances, et en particulier les plus grandes, se développent au-dessus de zones d'intense convergence du flux d'humidité en surface, organisées sous forme de lignes de convergence. Ces lignes de convergence apparaissent le long des fronts de brise de mer le matin, et se déplacent, poussées par les poches froides générées par l'évaporation des précipitations. La progression de ces lignes de convergence au sein de la couche limite chaude et humide à la surface des îles, et leur intensification lorsque ces lignes se rencontrent, coïncident avec l'approfondissement de la convection jusqu'à atteindre la stratosphère. L'activité convective diminue et n'atteint plus la stratosphère lorsque les larges poches froides des cumulonimbus remplacent définitivement l'air chaud de la surface des îles, causant une chute des températures en couche limite pouvant atteindre une dizaine de degrés. Les poches froides générées par les cumulonimbus qui atteignent la stratosphère sont suffisamment importantes pour expulser les lignes de convergence en dehors des îles, amorçant ainsi le déclin définitif de l'activité convective.

Le développement de Hector, incluant sa phase de percée en stratosphère, est reproduit de manière satisfaisante par le modèle Méso-NH avec les résolutions horizontales de 100 à 1 600 m. L'hydratation de la stratosphère est estimée entre 2 200 et 4 500 tonnes d'eau par les différentes simulations ; celles à 100 et 200 m donnant des estimations qui diffèrent de moins de 20 %. Les statistiques sur les propriétés des ascendances et l'évolution temporelle du contenu en eau en stratosphère reflètent également la quasi-convergence entre les simulations à 100 et 200 m. Cependant la convergence est partielle. Des simulations réalisées à plus fines résolutions permettraient de vérifier s'il est possible d'obtenir une meilleure convergence, de connaître la résolution critique à partir de laquelle elle est atteinte et enfin d'estimer quelle résolution offre des résultats satisfaisants (en terme d'estimation de l'hydratation de la stratosphère par exemple) tout en minimisant les coûts numériques. À ce jour, la résolution de 200 m est celle qui remplit au mieux ces critères.

Plusieurs aspects de Hector restent à étudier. La méthode originale d'identification a vocation à servir à l'étude d'autres caractéristiques des ascendances. Par exemple, il serait intéressant de relier l'intensité de la convergence du flux d'humidité à la base des ascendances à leur développement vertical. Des développements supplémentaires sont nécessaires pour que l'identification se fasse également au cours du temps, afin de permettre le suivi temporel des ascendances et de mieux appréhender leur cycle de vie. Enfin, il est possible d'appliquer la méthode à d'autres objets que les ascendances, comme les subsidences (e.g. Park et al., 2016), les poches froides en surface ou les percées nuageuses au sommet des cumulonimbus, afin de les caractériser.

Les processus de transport et de mélange de l'air troposphérique en stratosphère sont, dans une certaine mesure, résolus par la simulation à 200 m, dont les sorties ont été sauvegardées toutes les minutes. Leur analyse détaillée au

niveau des percées nuageuses au sommet de Hector offre la perspective d'une compréhension plus fine des échanges troposphère-stratosphère dûs à la convection. La compétition entre sublimation et sédimentation des cristaux de glace nécessite d'être décrite avec plus de précision, à l'échelle des percées nuageuses. Une piste de travail complémentaire sera d'étudier les limites du schéma microphysique ICE3, et éventuellement de l'améliorer pour les régions à très basse température comme la TTL. Toujours dans l'optique d'étudier la représentation des processus microphysiques, il est possible d'utiliser le schéma LIMA sur le même cas de Hector et de comparer le mélange, les chauffages diabatiques et les taux d'entraînement obtenus avec les différents schémas microphysiques.

L'importance du dégagement de chaleur latente et le rôle des poches froides dans la transition de la convection profonde à très profonde ont été montrés. Il est possible de mieux les mettre en évidence, voire de les quantifier, en lançant par exemple des simulations de Hector où l'énergie dégagée ou absorbée par certains changements de phases de l'eau est réduite à zéro, et en observant les conséquences de ce changement (e.g. Khairoutdinov et al., 2009). Également, des bilans des processus microphysiques permettent de quantifier les échanges d'énergie associés. Enfin, le suivi lagrangien des masses d'air ouvre la perspective d'une meilleure connaissance de l'origine de l'air qui alimente les ascendances et les poches froides, et de la succession de processus microphysiques que ces masses d'air subissent au cours de leurs trajectoires (e.g. McGee and van den Heever, 2014).

L'orage Hector a été choisi comme archétype des orages tropicaux qui hydratent la stratosphère. Il n'est cependant pas représentatif de la diversité des orages de convection très profonde. Les résultats obtenus ici pour Hector nécessitent d'être confirmés dans d'autres environnements tropicaux. Les études déjà entreprises dans la thèse et celles envisagées dans un futur proche seraient

très intéressantes à appliquer à d'autres cas d'étude du continent maritime, mais aussi du bassin du Congo ou des Amériques, où la brise de mer n'est pas toujours présente pour initier la convection. En suivant cette piste, il est possible de vérifier si les hétérogénéités de surface jouent un rôle similaire au contraste entre terre et mer pour Hector. L'identification systématique des processus clés dans la transition de convection profonde à très profonde pour les différents cas permettrait une caractérisation plus robuste de cette transition. Des simulations à différentes résolutions pourront confirmer l'importance de mailles hectométriques pour représenter les processus déterminants. L'utilisation des CRM en mode LES pour l'étude de la convection profonde (et très profonde) a vocation à devenir de plus en plus courante. Des simulations à résolution hectométrique de cas réels de convection profonde, au contraire des conditions semi-idéalisées employées ici, présentent l'avantage de pouvoir être confrontées directement aux observations tout en permettant des tests de sensibilité en altérant artificiellement les processus qui apparaissent déterminants. Les campagnes de mesure à venir, comme en 2017 dans le golfe du Bengale pour le projet StratoClim, apporteront de nouvelles données pour l'étude des échanges convectifs entre troposphère et stratosphère, et des processus dont ces échanges dépendent.

L'estimation donnée ici de la contribution des orages tropicaux à l'hydratation de la stratosphère pourrait donc être modulée par des études LES d'autres cas de convection très profonde. À l'échelle globale et pour des intégrations plus longues, l'utilisation des GCM reste incontournable. Seulement la représentation de la convection très profonde par leurs schémas de paramétrisation de la convection profonde pourrait être améliorée, notamment en y intégrant la possibilité de transport jusqu'en stratosphère. Les simulations LES d'autres cas de convection très profonde, contraintes par des observations, pourraient servir de cobayes pour roder ces améliorations. Le déclenchement de la convection pro-

fonde par ces schémas peut également être confronté aux données des simulations LES. Le schéma de Rochetin et al. (2014) par exemple, qui fait dépendre le déclenchement de la convection profonde à la largeur des ascendances à la base des nuages d'échelle sous-maille (dont la distribution dépend de paramétrisations), pourrait être testé en tirant profit de la méthode d'identification des ascendances. La dépendance du déclenchement de la convection aux processus de soulèvement mis en avant par le schéma de Rio et al. (2013) peut également être vérifiée par les LES qui représentent correctement les poches froides. L'utilisation de LES permet enfin de valider les expressions des taux d'entraînement et de déentraînement implémentés dans ces schémas (de Rooy et al., 2013). Une alternative à l'emploi des GCM serait d'utiliser les CRM sur des domaines de la taille d'un continent, voire de la planète (comme la simulation pionnière de Miura et al., 2007). À ces échelles, les calculs de l'hydratation de la stratosphère par les populations d'orages tropicaux permettraient de raffiner l'estimation de leur contribution au flux total d'eau de la troposphère à la stratosphère.

# Bibliographie

- Adler, R. F., and R. A. Mack, 1986 : Thunderstorm cloud top dynamics as inferred from satellite observations and a cloud top parcel model. *J. Atmos. Sci.*, **43 (18)**, 1945–1960, doi : 10.1175/1520-0469(1986)043<1945 :TCTDAI>2.0.CO ;2.
- Anderson, N. F., C. A. Grainger, and J. L. Stith, 2005 : Characteristics of strong updrafts in precipitation systems over the central tropical pacific ocean and in the amazon. *Journal of Applied Meteorology*, **44 (5)**, 731–738, doi :10.1175/JAM2231.1.
- Arakawa, A., and W. H. Schubert, 1974 : Interaction of a cumulus cloud ensemble with the large-scale environment : Part I. *J. Atmos. Sci.*, **31**, 674–701.
- Bechtold, P., M. Köhler, T. Jung, F. Doblas-Reyes, M. Leutbecher, M. J. Rodwell, F. Vitart, and G. Balsamo, 2008 : Advances in simulating atmospheric variability with the ecmwf model : From synoptic to decadal time-scales. *Quart. J. Roy. Meteor. Soc.*, **134 (634)**, 1337–1351, doi : 10.1002/qj.289.
- Betts, A. K., 1976 : The thermodynamic transformation of the tropical subcloud layer by precipitation and downdrafts. *J. Atmos. Sci.*, **33 (6)**, 1008–1020, doi :10.1175/1520-0469(1976)033<1008 :TTTOTT>2.0.CO ;2.
- Bretherton, C. S., 1997 : *Entrainment, Detrainment and Mixing in Atmospheric Convection*, 211–230. Springer Netherlands, Dordrecht, doi :10.1007/978-94-015-8828-7-8.
- Brewer, A. W., 1949 : Evidence for a world circulation provided by the measurements of helium and water vapour distribution in the stratosphere. *Quart. J. Roy. Meteor. Soc.*, **75 (326)**, 351–363, doi :10.1002/qj.49707532603.

- Brunner, D., and Coauthors, 2009 : The SCOUT-O3 Darwin Aircraft Campaign : rationale and meteorology. *Atmos. Chem. Phys.*, **9**, 93–117.
- Bryan, G. H., and M. J. Fritsch, 2000 : Moist absolute instability : The sixth static stability state. *Bull. Amer. Meteor. Soc.*, **81** (6), 1207–1230, doi :10.1175/1520-0477(2000)081<1287 :MAITSS>2.3.CO ;2.
- Butchart, N., 2014 : The Brewer-Dobson circulation. *Rev. Geophys.*, **52**, 157–184, doi : 10.1002/2013RG000448.
- Byers, H. R., and R. R. Braham Jr., 1949 : *The Thunderstorm : Report of the Thunderstorm Project*. U.S. Government Printing Office, 282pp.
- Cadeddu, M. P., J. C. Liljegren, and D. D. Turner, 2013 : The atmospheric radiation measurement (arm) program network of microwave radiometers : instrumentation, data, and retrievals. *Atmospheric Measurement Techniques*, **6** (9), 2359–2372, doi :10.5194/amt-6-2359-2013.
- Carbone, R. E., J. W. Wilson, T. D. Keenan, and J. M. Hacker, 2000 : Tropical Island Convection in the Absence of Significant Topography. Part I : Life Cycle of Diurnally Forced Convection. *Mon. Wea. Rev.*, **128**, 3459–3480.
- Chaboureau, J.-P., J.-P. Cammas, J. Duron, P. J. Mascart, N. M. Sitnikov, and H.-J. Voessing, 2007 : A numerical study of tropical cross-tropopause transport by convective overshoots. *Atmos. Chem. Phys.*, **7**, 1731–1740, doi :10.5194/acp-7-1731-2007.
- Chaboureau, J.-P., F. Guichard, J.-L. Redelsperger, and J.-P. Lafore, 2004 : The role of stability and moisture in the development of convection. *Quart. J. Roy. Meteor. Soc.*, **130**, 3105–3117.
- Chemel, C., M. R. Russo, J. A. Pyle, R. S. Sokhi, and C. Schiller, 2009 : Quantifying the imprint of a severe Hector thunderstorm during ACTIVE/SCOUT-O3 onto the water content in the upper troposphere/lower stratosphere. *Mon. Wea. Rev.*, **137**, 2493–2514, doi : 10.1175/2008MWR2666.1.
- Corti, T., B. P. Luo, Q. Fu, H. Vömel, and T. Peter, 2006 : The impact of cirrus clouds on tropical troposphere-to-stratosphere transport. *Atmos. Chem. Phys.*, **6**, 2539–2547.
- Corti, T., and Coauthors, 2008 : Unprecedented evidence for deep convection hydrating the tropical stratosphere. *Geophys. Res. Lett.*, **35**, L10 810, doi :10.1029/2008GL033641.

- Cotton, R. W., and Coauthors, 2003 : Rams 2001 : Current status and future directions. *Meteorology and Atmospheric Physics*, **82 (1)**, 5–29, doi :10.1007/s00703-001-0584-9.
- Cotton, W. R., G. Bryan, and S. C. Van den Heever, 2010 : *Storm and cloud dynamics*. Academic press, vol. 99.
- Crook, N. A., 2001 : Understanding Hector : The Dynamics of Island Thunderstorms. *Mon. Wea. Rev.*, **129**, 1550–1563.
- Cuxart, J., P. Bougeault, and J.-L. Redelsperger, 2000 : A turbulence scheme allowing for mesoscale and large-eddy simulations. *Quart. J. Roy. Meteor. Soc.*, **126**, 1–30, doi : 10.1002/qj.49712656202.
- Damiani, R., G. Vali, and S. Haimov, 2006 : The structure of thermals in cumulus from airborne dual-doppler radar observations. *J. Atmos. Sci.*, **63 (5)**, 1432–1450, doi :10.1175/JAS3701.1.
- Danielsen, E. F., 1982 : A dehydration mechanism for the stratosphere. *Geophys. Res. Lett.*, **9(6)**, 605–608.
- Danielsen, E. F., 1993 : In situ evidence of rapid, vertical, irreversible transport of lower tropospheric air into the lower tropical stratosphere by convective cloud turrets and by larger-scale upwelling in tropical cyclones. *J. Geophys. Res.*, **98(D5)**, 8665–8681.
- de Reus, M., and Coauthors, 2009 : Evidence for ice particles in the tropical stratosphere from in-situ measurements. *Atmos. Chem. Phys.*, **9 (18)**, 6775–6792, URL <http://www.atmos-chem-phys.net/9/6775/2009/>.
- de Rooy, W. C., and A. P. Siebesma, 2008 : A simple parameterization for detrainment in shallow cumulus. *Mon. Wea. Rev.*, **136 (2)**, 560–576.
- de Rooy, W. C., and Coauthors, 2013 : Entrainment and detrainment in cumulus convection : an overview. *Quart. J. Roy. Meteor. Soc.*, **139**, 1–19.
- Deardorff, J. W., 1980 : Stratocumulus-capped mixed layers derived from a three-dimensional model. *Boundary-Layer Meteorology*, **18 (4)**, 495–527, doi :10.1007/BF00119502.
- Del Genio, A. D., and J. Wu, 2010 : The role of entrainment in the diurnal cycle of continental convection. *J. Climate*, **23**, 2722–2738.



- Derbyshire, S. H., I. Beau, P. Bechtold, J.-Y. Grandpeix, J.-M. Piriou, J.-L. Redelsperger, and P. M. M. Soares, 2004 : Sensitivity of moist convection to environmental humidity. *Quart. J. Roy. Meteor. Soc.*, **130 (604)**, 3055–3079, doi :10.1256/qj.03.130.
- Dessler, A. E., 2002 : The effect of deep, tropical convection on the tropical tropopause layer. *J. Geophys. Res.*, **107(D3)**, 4033, doi : 10.1029/2001JD000511.
- Dessler, A. E., T. F. Hanisco, and S. Fueglistaler, 2007 : Effects of convective ice lofting on h<sub>2</sub>o and hdo in the tropical tropopause layer. *Journal of Geophysical Research : Atmospheres*, **112 (D18)**, doi :10.1029/2007JD008609.
- Devenish, B. J., and Coauthors, 2012 : Droplet growth in warm turbulent clouds. *Quart. J. Roy. Meteor. Soc.*, **138 (667)**, 1401–1429, doi :10.1002/qj.1897.
- Emanuel, K. A., 1994 : *Atmospheric convection*. Oxford University Press.
- Etheridge, D. M., L. P. Steele, R. J. Francey, and R. L. Langenfelds, 1998 : Atmospheric methane between 1000 A.D. and present : Evidence of anthropogenic emissions and climatic variability. *J. Geophys. Res.*, **103(D13)**, 15 979–15 994.
- Feng, Z., S. Hagos, A. K. Rowe, C. D. Burleyson, M. N. Martini, and S. P. de Szoeke, 2015 : Mechanisms of convective cloud organization by cold pools over tropical warm ocean during the amie/dynamo field campaign. *J. Adv. Model. Earth Syst.*, **7 (2)**, 357–381, doi : 10.1002/2014MS000384.
- Ferretti, R., and S. Gentile, 2009 : A study of the triggering mechanisms for deep convection in the Tropics using a Mesoscale Model : Hector events during SCOUT-O3 and TWP-ICE campaigns. *Atmos. Res.*, **93**, 247–269.
- Fierro, A. O., J. Simpson, M. A. LeMone, J. M. Straka, and B. F. Smull, 2009 : On how hot towers fuel the hadley cell : An observational and modeling study of line-organized convection in the equatorial trough from toga coare. *J. Atmos. Sci.*, **66 (9)**, 2730–2746, doi : 10.1175/2009JAS3017.1.
- Folkens, I., P. Bernath, C. Boone, G. Lesins, N. Livesey, A. M. Thompson, K. Walker, and J. C. Witte, 2006 : Seasonal cycles of o<sub>3</sub>, co, and convective outflow at the tropical tropopause. *Geophysical Research Letters*, **33 (16)**, doi :10.1029/2006GL026602, 116802.

- Frey, W., and Coauthors, 2014 : Tropical deep convective life cycle : Cb-anvil cloud microphysics from high-altitude aircraft observations. *Atmos. Chem. Phys.*, **14**, 13 223–13 240, doi : 10.5194/acp-14-13223-2014.
- Frey, W., and Coauthors, 2015 : The impact of overshooting deep convection on local transport and mixing in the tropical upper troposphere/lower stratosphere (utls). *Atmos. Chem. Phys.*, **15** (11), 6467–6486, doi :10.5194/acp-15-6467-2015.
- Fueglistaler, S., A. E. Dessler, T. J. Dunkerton, I. Folkins, Q. Fu, and P. W. Mote, 2009 : Tropical tropopause layer. *Reviews of Geophysics*, **47** (1), doi :10.1029/2008RG000267.
- Gal-Chen, T., and R. Somerville, 1975 : On the use of a coordinate transformation for the solution of the navier-stokes equations. *Journal of Computational Physics*, **17** (2), 209–228, doi : 10.1016/0021-9991(75)90037-6.
- Garcia, R. R., D. R. Marsh, D. E. Kinnison, B. A. Boville, and F. Sassi, 2007 : Simulation of secular trends in the middle atmosphere, 1950–2003. *J. Geophys. Res.*, **112** (D9), doi : 10.1029/2006JD007485.
- Gentile, S., and R. Ferretti, 2016 : Seeking key meteorological parameters to better understand Hector. *Nat. Hazards Earth Syst. Sci.*, **16** (2), 431–447, doi :10.5194/nhess-16-431-2016.
- Gentile, S., R. Ferretti, and F. S. Marzano, 2014 : Investigating Hector Convective Development and Microphysical Structure Using High-Resolution Model Simulations, Ground-Based Radar Data, and TRMM Satellite Data. *J. Atmos. Sci.*, **71**, 1353,1370.
- Glenn, I. B., and S. K. Krueger, 2014 : Downdrafts in the near cloud environment of deep convective updrafts. *J. Adv. Model. Earth Syst.*, **6**, 1–8, doi :10.1002/2013MS000261.
- Golding, B. W., 1993 : A numerical investigation of tropical island thunderstorms. *Mon. Wea. Rev.*, **121** (5), 1417–1433.
- Grabowski, W. W., 2015 : Untangling microphysical impacts on deep convection applying a novel modeling methodology. *J. Atmos. Sci.*, **72** (6), 2446–2464, doi :10.1175/JAS-D-14-0307.1.
- Grabowski, W. W., and D. Jarecka, 2015 : Modeling condensation in shallow nonprecipitating convection. *J. Atmos. Sci.*, **72** (12), 4661–4679.

- Grandpeix, J.-Y., J.-P. Lafore, and F. Cheruy, 2010 : A density current parameterization coupled with emanuel's convection scheme. part ii : 1d simulations. *J. Atmos. Sci.*, **67 (4)**, 898–922, doi :10.1175/2009JAS3045.1.
- Gregory, D., J.-J. Morcrette, C. Jakob, A. M. Beljaars, and T. Stockdale, 2000 : Revision of convection, radiation and cloud schemes in the ECMWF model. *Quart. J. Roy. Meteor. Soc.*, **126**, 1685–1710, doi :10.1002/qj.49712656607.
- Grosvenor, D. P., T. W. Choullarton, H. Coe, and G. Held, 2007 : A study of the effect of overshooting deep convection on the water content of the TTL and lower stratosphere from Cloud Resolving Model simulations. *Atmos. Chem. Phys.*, **7**, 4977–5002, doi :10.5194/acp-7-4977-2007.
- Harrold, T. W., 1973 : Mechanisms influencing the distribution of precipitation within baroclinic disturbances. *Quart. J. Roy. Meteor. Soc.*, **99 (420)**, 232–251, doi :10.1002/qj.49709942003.
- Hassim, M. E. E., and T. P. Lane, 2010 : A model study on the influence of overshooting convection on ttl water vapour. *Atmos. Chem. Phys.*, **10 (20)**, 9833–9849, doi :10.5194/acp-10-9833-2010.
- Heus, T., and H. J. J. Jonker, 2008 : Subsiding shells around shallow cumulus clouds. *J. Atmos. Sci.*, **65 (3)**, 1003–1018, doi :10.1175/2007JAS2322.1.
- Heus, T., H. J. J. Jonker, H. E. A. Van den Akker, E. J. Griffith, M. Koutek, and F. H. Post, 2009 : A statistical approach to the life cycle analysis of cumulus clouds selected in a virtual reality environment. *Journal of Geophysical Research : Atmospheres*, **114 (D6)**, doi : 10.1029/2008JD010917, d06208.
- Hohenegger, C., and C. S. Bretherton, 2011 : Simulating deep convection with a shallow convection scheme. *Atmos. Chem. Phys.*, **11 (20)**, 10 389–10 406, doi :10.5194/acp-11-10389-2011.
- Hohenegger, C., and B. Stevens, 2013 : Preconditioning deep convection with cumulus congestus. *J. Atmos. Sci.*, **70 (2)**, 448–464, doi :10.1175/JAS-D-12-089.1.
- Holloway, C. E., and J. D. Neelin, 2009 : Moisture vertical structure, column water vapor, and tropical deep convection. *J. Atmos. Sci.*, **66 (6)**, 1665–1683, doi :10.1175/2008JAS2806.1.
- Holton, J. R., 2004 : *An Introduction to Dynamic Meteorology*. Fourth edition ed., Academic Press.

- Holton, J. R., and A. Gettelman, 2001 : Horizontal transport and the dehydration of the stratosphere. *Geophys. Res. Lett.*, **28 (14)**, 2799–2802, doi :10.1029/2001GL013148.
- Holton, J. R., P. H. Haynes, M. E. McIntyre, A. R. Douglass, R. B. Rood, and L. Pfister, 1995 : Stratosphere-troposphere exchange. *Rev. Geophys.*, **33 (4)**, 403–439, doi : 10.1029/95RG02097, URL <http://dx.doi.org/10.1029/95RG02097>.
- Houze, R. A. J., 1997 : Stratiform precipitation in regions of convection : A meteorological paradox? *Bull. Amer. Meteor. Soc.*, **78 (10)**, 2179–2196, doi :10.1175/1520-0477(1997)078<2179 :SPIROC>2.0.CO ;2.
- Johnson, R. H., T. M. Rickenbach, S. A. Rutledge, P. E. Ciesielski, and W. H. Schubert, 1999 : Trimodal characteristics of tropical convection. *Journal of Climate*, **12 (8)**, 2397–2418, doi : 10.1175/1520-0442(1999)012<2397 :TCOTC>2.0.CO ;2.
- Jonas, P., 1990 : Observations of cumulus cloud entrainment. *Atmospheric Research*, **25 (1)**, 105 – 127, doi :10.1016/0169-8095(90)90008-Z.
- Jonker, H. J. J., T. Heus, and P. P. Sullivan, 2008 : A refined view of vertical mass transport by cumulus convection. *Geophys. Res. Lett.*, **35 (7)**, doi :10.1029/2007GL032606, 107810.
- Kain, J. S., and J. M. Fritsch, 1990 : A one-dimensional entraining/detraining plume model and its application in convective parameterization. *J. Atmos. Sci.*, **47 (23)**, 2784–2802, doi : 10.1175/1520-0469(1990)047<2784 :AODEPM>2.0.CO ;2.
- Keenan, T. D., and R. E. Carbone, 1992 : A preliminary morphology of precipitation systems in tropical northern australia. *Quart. J. Roy. Meteor. Soc.*, **118 (504)**, 283–326, doi : 10.1002/qj.49711850406, URL <http://dx.doi.org/10.1002/qj.49711850406>.
- Keenan, T. D., M. J. Manton, G. J. Holland, and B. R. Morton, 1989 : The Island Thunderstorm Experiment (ITEX)—A Study of Tropical Thunderstorms in the Maritime Continent. *Bull. Amer. Meteor. Soc.*, **70**, 152–159.
- Keith, D. W., 2000 : Stratosphere-troposphere exchange : Inferences from the isotopic composition of water vapor. *Journal of Geophysical Research : Atmospheres*, **105 (D12)**, 15 167–15 173, doi :10.1029/2000JD900130.

- Khairoutdinov, M. F., S. K. Krueger, C.-H. Moeng, P. A. Bogenschutz, and D. A. Randall, 2009 : Large-eddy simulation of maritime deep tropical convection. *J. Adv. Model. Earth Syst.*, **1** (15).
- Khairoutdinov, M. F., and D. A. Randall, 2006 : High-resolution simulation of shallow-to-deep convection transition over land. *J. Atmos. Sci.*, **63**, 3421–3436.
- Khaykin, S., and Coauthors, 2009 : Hydration of the lower stratosphere by ice crystal geysers over land convective systems. *Atmos. Chem. Phys.*, **9** (6), 2275–2287, doi :10.5194/acp-9-2275-2009.
- Kingsmill, D. E., 1995 : Convection initiation associated with a sea-breeze front, a gust front, and their collision. *Monthly Weather Review*, **123** (10), 2913–2933.
- Kingsmill, D. E., and R. A. Houze, 1999 : Thermodynamic characteristics of air flowing into and out of precipitating convection over the west pacific warm pool. *Quart. J. Roy. Meteor. Soc.*, **125** (556), 1209–1229, doi :10.1002/qj.1999.49712555606.
- Klaassen, G. P., and T. L. Clark, 1985 : Dynamics of the cloud-environment interface and entrainment in small cumuli : Two-dimensional simulations in the absence of ambient shear. *J. Atmos. Sci.*, **42** (23), 2621–2642, doi :10.1175/1520-0469(1985)042<2621 :DOTCEI>2.0.CO ;2.
- Kolmogorov, A., 1941 : The local structure of turbulence in incompressible viscous fluid for very large reynolds number. *Dokl. Akad. Nauk SSSR*, **30**, 301–305.
- Kuang, Z., and C. S. Bretherton, 2006 : A mass-flux scheme view of a high-resolution simulation of a transition from shallow to deep cumulus convection. *J. Atmos. Sci.*, **63** (7), 1895–1909, doi :10.1175/JAS3723.1.
- Kummerow, C., and Coauthors, 2000 : The Status of the Tropical Rainfall Measuring Mission (TRMM) after Two Years in Orbit. *J. Appl. Meteor.*, **39** (12), 1965–1982, doi :10.1175/1520-0450(2001)040<1965 :TSOTTR>2.0.CO ;2.
- Lafore, J.-P., and Coauthors, 1998 : The Meso–NH Atmospheric Simulation System. Part I : adiabatic formulation and control simulations. *Ann. Geophys.*, **16**, 90–109, doi :10.1007/s00585-997-0090-6.
- Lane, T. P., M. J. Reeder, and T. L. Clark, 2001 : Numerical Modeling of Gravity Wave Generation by Deep Tropical Convection. *J. Atmos. Sci.*, **58**, 1249–1274.

- Lebo, Z. J., H. Morrison, and J. H. Seinfeld, 2012 : Are simulated aerosol-induced effects on deep convective clouds strongly dependent on saturation adjustment? *Atmos. Chem. Phys.*, **12**, 9941–9964.
- Lelieveld, J., and Coauthors, 2007 : Stratospheric dryness : model simulations and satellite observations. *Atmos. Chem. Phys.*, **7**, 1313–1332, doi :10.5194/acp-7-1313-2007.
- LeMone, M. A., and E. J. Zipser, 1980 : Cumulonimbus vertical velocity events in gate. part i : Diameter, intensity and mass flux. *J. Atmos. Sci.*, **37 (11)**, 2444–2457, doi :10.1175/1520-0469(1980)037<2444 :CVVEIG>2.0.CO ;2.
- Lin, X., and R. H. Johnson, 1996 : Heating, moistening, and rainfall over the western pacific warm pool during toga coare. *J. Atmos. Sci.*, **53 (22)**, 3367–3383, doi :10.1175/1520-0469(1996)053<3367 :HMAROT>2.0.CO ;2.
- Liu, C., and E. J. Zipser, 2005 : Global distribution of convection penetrating the tropical tropopause. *J. Geophys. Res.*, **110**, D23 104, doi :10.1029/2005JD006063.
- Liu, C., and E. J. Zipser, 2015 : The global distribution of largest, deepest, and most intense precipitation systems. *Geophys. Res. Lett.*, **42 (9)**, 3591–3595, doi :10.1002/2015GL063776.
- Ludlam, F. H., and R. S. Scorer, 1953 : Reviews of modern meteorology—10 convection in the atmosphere. *Quart. J. Roy. Meteor. Soc.*, **79 (341)**, 317–341, doi :10.1002/qj.49707934102.
- May, P. T., C. Jakob, J. H. Mather, and G. Vaughan, 2008 : Field research : Characterizing oceanic convective cloud systems. *Bull. Amer. Meteor. Soc.*, **89 (2)**, 153–155, doi :10.1175/BAMS-89-2-153.
- McGee, C. J., and S. C. van den Heever, 2014 : Latent Heating and Mixing due to Entrainment in Tropical Deep Convection. *J. Atmos. Sci.*, **2**, 816–832.
- Mechem, D. B., R. A. Houze, and S. S. Chen, 2002 : Layer inflow into precipitating convection over the western tropical pacific. *Quart. J. Roy. Meteor. Soc.*, **128 (584)**, 1997–2030, doi : 10.1256/003590002320603502.
- Merrill, R. T., and C. S. Velden, 1996 : A three-dimensional analysis of the outflow layer of supertyphoon flo (1990). *Mon. Wea. Rev.*, **124 (1)**, 47–63, doi :10.1175/1520-0493(1996)124<0047 :ATDAOT>2.0.CO ;2.

- Miura, H., M. Satoh, T. Nasuno, A. T. Noda, and K. Oouchi, 2007 : A Madden-Julian Oscillation Event Realistically Simulated by a Global Cloud-Resolving Model. *Science*, **318** (5857), 1763–1765, doi :10.1126/science.1148443.
- Molinari, J., D. Knight, M. Dickinson, D. Vollaro, and S. Skubis, 1997 : Potential vorticity, easterly waves, and eastern pacific tropical cyclogenesis. *Mon. Wea. Rev.*, **125** (10), 2699–2708, doi : 10.1175/1520-0493(1997)125<2699 :PVEWAE>2.0.CO ;2.
- Morrison, H., G. Thompson, and V. Tatarskii, 2009 : Impact of cloud microphysics on the development of trailing stratiform precipitation in a simulated squall line : Comparison of one- and two-moment schemes. *Monthly Weather Review*, **137** (3), 991–1007, doi : 10.1175/2008MWR2556.1.
- Morton, B. R., 1957 : Buoyant plumes in a moist atmosphere. *Journal of Fluid Mechanics*, **2** (2), 127–144, doi :10.1017/S0022112057000038.
- Moyer, E. J., F. W. Irion, Y. L. Yung, and M. R. Gunson, 1996 : Atmos stratospheric deuterated water and implications for troposphere-stratosphere transport. *Geophys. Res. Lett.*, **23** (17), 2385–2388, doi :10.1029/96GL01489.
- Mrowiec, A. A., O. M. Pauluis, A. M. Fridlind, and A. S. Ackerman, 2015 : Properties of a Mesoscale Convective System in the Context of an Isentropic Analysis. *J. Atmos. Sci.*, **72**, 1945–1962.
- Noilhan, J., and S. Planton, 1989 : A simple parameterization of land surface processes for meteorological models. *Mon. Wea. Rev.*, **117**, 536–549, doi :10.1175/1520-0493(1989)117<0536 :ASPOLS>2.0.CO ;2.
- Orville, H. D., and J.-M. Chen, 1982 : Effects of cloud seeding, latent heat of fusion, and condensate loading on cloud dynamics and precipitation evolution : A numerical study. *J. Atmos. Sci.*, **39** (12), 2807–2827, doi :10.1175/1520-0469(1982)039<2807 :EOCSLH>2.0.CO ;2.
- Pantillon, F., P. Mascart, J.-P. Chaboureau, C. Lac, J. Escobar, and J. Duron, 2011 : Seamless MESO-NH modeling over very large grids. *C. R. Mecanique*, **339**, 136–140, doi : 10.1016/j.crme.2010.12.002.
- Park, S.-B., P. Gentine, K. Schneider, and M. Farge, 2016 : Coherent structure in the boundary and cloud layers : Role of updrafts, subsiding shells, and environmental subsidence. *J. Atmos. Sci.*, **73**, 1789–1814.

- Pauluis, O. M., and A. A. Mrowiec, 2013 : Isentropic analysis of convective motions. *J. Atmos. Sci.*, **70**, 3673–3688.
- Pinty, J.-P., and P. Jabouille, 1998 : A mixed-phase cloud parameterization for use in a mesoscale non-hydrostatic model : simulations of a squall line and of orographic precipitations. *Conf. on cloud physics, Everett, WA, Amer. Meteor. Soc.*, 217–220.
- Pommereau, J.-P., 2010 : Troposphere-to-stratosphere transport in the tropics. *C. R. Geoscience*, **342**, 331–338, doi :10.1016/j.crte.2009.10.015.
- Pommereau, J.-P., and G. Held, 2007 : Is there a stratospheric fountain? *Atmospheric Chemistry and Physics Discussions*, **7**, 8933–8950, doi :10.5194/acpd-7-8933-2007.
- Reynolds, R. W., T. M. Smith, C. Liu, D. B. Chelton, K. S. Casey, and M. G. Schlax, 2007 : Daily high-resolution-blended analyses for sea surface temperature. *Journal of Climate*, **20 (22)**, 5473–5496, doi :10.1175/2007JCLI1824.1.
- Riehl, H., and J. S. Malkus, 1958 : On the heat balance in the equatorial trough zone. *Geophysica*, **6**, 503–538.
- Rio, C., and Coauthors, 2013 : Control of deep convection by sub-cloud lifting processes : the alp closure in the lmdz5b general circulation model. *Climate Dynamics*, **40 (9)**, 2271–2292, doi :10.1007/s00382-012-1506-x.
- Robinson, F. J., and S. C. Sherwood, 2006 : Modeling the impact of convective entrainment on the tropical tropopause. *J. Atmos. Sci.*, **63**, 1013–1027.
- Rochetin, N., F. Couvreux, J.-Y. Grandpeix, and C. Rio, 2014 : Deep convection triggering by boundary layer thermals. part i : Les analysis and stochastic triggering formulation. *J. Atmos. Sci.*, **71 (2)**, 496–514, doi :10.1175/JAS-D-12-0336.1.
- Rodts, S. M. A., P. G. Duynkerke, and H. J. J. Jonker, 2003 : Size distributions and dynamical properties of shallow cumulus clouds from aircraft observations and satellite data. *J. Atmos. Sci.*, **60 (16)**, 1895–1912, doi :10.1175/1520-0469(2003)060<1895 :SDADPO>2.0.CO ;2.
- Romps, D. M., and Z. Kuang, 2010 : Do undiluted convective plumes exist in the upper tropical troposphere? *J. Atmos. Sci.*, **67**, 468–484.



- Roscoe, H. K., and K. H. Rosenlof, 2011 : Revisiting the lower stratospheric water vapour trend from the 1950s to 1970s. *Atmos. Sci. Lett.*, **12** (4), 321–324, doi :10.1002/asl.339.
- Rossby, C.-G., 1937 : Isentropic analysis. *Bull. Amer. Meteor. Soc.*, **18**, 201–209.
- Saito, K., T. Keenan, G. Holland, and K. Puri, 2001 : Numerical simulation of the diurnal evolution of tropical island convection over the maritime continent. *Mon. Wea. Rev.*, **129**, 378–400.
- Schlemmer, L., and C. Hohenegger, 2014 : The formation of wider and deeper clouds as a result of cold-pool dynamics. *J. Atmos. Sci.*, **71**, 2842–2858.
- Schubert, W. H., and B. T. Alworth, 1987 : Evolution of potential vorticity in tropical cyclones. *Quart. J. Roy. Meteor. Soc.*, **113** (475), 147–162, doi :10.1002/qj.49711347509.
- Schumacher, C., S. N. Stevenson, and C. R. Williams, 2015 : Vertical motions of the tropical convective cloud spectrum over darwin, australia. *Quart. J. Roy. Meteor. Soc.*, **141** (691), 2277–2288, doi :10.1002/qj.2520.
- Seigel, R. B., and S. C. van den Heever, 2013 : Squall-line intensification via hydrometeor recirculation. *J. Atmos. Sci.*, **70** (7), 2012–2031, doi :10.1175/JAS-D-12-0266.1.
- Sherwood, S. C., and A. E. Dessler, 2000 : On the control of stratospheric humidity. *Geophys. Res. Lett.*, **58**, 2513–2516.
- Sherwood, S. C., and A. E. Dessler, 2001 : A model for transport across the tropical tropopause. *J. Atmos. Sci.*, **58** (7), 765–779, doi :10.1175/1520-0469(2001)058<0765 :AMF-TAT>2.0.CO ;2.
- Sherwood, S. C., D. Hernández-Deckers, M. Colin, and F. Robinson, 2013 : Slippery thermals and the cumulus entrainment paradox. *J. Atmos. Sci.*, **70** (8), 2426–2442, doi :10.1175/JAS-D-12-0220.1.
- Sherwood, S. C., T. Horinouchi, and H. A. Zeleznik, 2003 : Convective impact on temperatures observed near the tropical tropopause. *J. Atmos. Sci.*, **60** (15), 1847–1856, doi : 10.1175/1520-0469(2003)060<1847 :CIOTON>2.0.CO ;2.
- Siebesma, A. P., and Coauthors, 2003 : A large eddy simulation intercomparison study of shallow cumulus convection. *J. Atmos. Sci.*, **60** (10), 1201–1219, doi :10.1175/1520-0469(2003)60<1201 :ALESIS>2.0.CO ;2.

- Simpson, J., T. D. Keenan, B. Ferrier, R. H. Simpson, and G. J. Holland, 1993 : Cumulus mergers in the maritime continent region. *Meteorology and Atmospheric Physics*, **51 (1)**, 73–99, doi : 10.1007/BF01080881.
- Simpson, J. E., 1999 : *Gravity Currents : In the Environment and the Laboratory*. Cambridge University Press, 262 pp.
- Squires, P., and J. Turner, 1962 : An entraining jet model for cumulo-nimbus updraughts. *Tellus A*, **14 (4)**.
- Tompkins, A. M., 2001a : Organization of tropical convection in low vertical wind shears : The role of cold pools. *J. Atmos. Sci.*, **58 (13)**, 1650–1672, doi :10.1175/1520-0469(2001)058<1650 :OOTCIL>2.0.CO ;2.
- Tompkins, A. M., 2001b : Organization of tropical convection in low vertical wind shears : The role of water vapor. *J. Atmos. Sci.*, **58 (6)**, 529–545, doi :10.1175/1520-0469(2001)058<0529 :OOTCIL>2.0.CO ;2.
- Torri, G., Z. Kuang, and Y. Tian, 2015 : Mechanisms for convection triggering by cold pools. *Geophys. Res. Lett.*, **42 (6)**, 1943–1950, doi :10.1002/2015GL063227, 2015GL063227.
- Turner, J. S., 1973 : *Buoyancy Effects in Fluids*. Cambridge Monographs on Mechanics, Cambridge University Press, doi :10.1017/CBO9780511608827.
- Varble, A., and Coauthors, 2014 : Evaluation of cloud-resolving model intercomparison simulations using TWP-ICE observations : 1. Deep convective updraft properties. *J. Geophys. Res.*, **119**, 13 891–13 918, doi :10.1002/2013JD021371.
- Vaughan, G., K. Bower, C. Schiller, A. R. MacKenzie, T. Peter, H. Schlager, N. R. P. Harris, and P. T. May, 2008 : Scout-o3/active : High-altitude aircraft measurements around deep tropical convection. *Bull. Amer. Meteor. Soc.*, **89 (5)**, 647–662, doi :10.1175/BAMS-89-5-647.
- Vié, B., J.-P. Pinty, S. Berthet, and M. Leriche, 2016 : Lima (v1.0) : A quasi two-moment micro-physical scheme driven by a multimodal population of cloud condensation and ice freezing nuclei. *Geoscientific Model Development*, **9 (2)**, 567–586, doi :10.5194/gmd-9-567-2016.

- Wakimoto, R. M., and N. T. Atkins, 1994 : Observations of the sea-breeze front during cape. part i : Single-doppler, satellite, and cloud photogrammetry analysis. *Monthly Weather Review*, **122** (6), 1092–1114.
- Yang, J., Z. Wang, A. J. Heymsfield, and J. R. French, 2016 : Characteristics of vertical air motion in isolated convective clouds. *Atmos. Chem. Phys.*, **16** (15), 10 159–10 173, doi :10.5194/acp-16-10159-2016.
- Yano, J.-I., 2014 : Basic convective element : bubble or plume ? a historical review. *Atmos. Chem. Phys.*, **14** (13), 7019–7030, doi :10.5194/acp-14-7019-2014.
- Young, A. H., J. J. Bates, and J. A. Curry, 2012 : Complementary use of passive and active remote sensing for detection of penetrating convection from cloudsat, calipso, and aqua modis. *Journal of Geophysical Research : Atmospheres*, **117** (D13), doi :10.1029/2011JD016749, d13205.
- Young, G. S., S. M. Perugini, and C. W. Fairall, 1995 : Convective wakes in the equatorial western pacific during toga. *Mon. Wea. Rev.*, **123** (1), 110–123, doi :10.1175/1520-0493(1995)123<0110 :CWITEW>2.0.CO ;2.
- Zhang, G. J., X. Wu, X. Zeng, and T. Mitovski, 2015 : Estimation of convective entrainment properties from a cloud-resolving model simulation during TWP-ICE. *Climate Dyn.*, doi : 10.1007/s00382-015-2957-7.
- Zhao, M., and P. H. Austin, 2005 : Life cycle of numerically simulated shallow cumulus clouds. part i : Transport. *J. Atmos. Sci.*, **62** (5), 1269–1290, doi :10.1175/JAS3414.1.
- Zhu, M., P. Connolly, G. Vaughan, T. Choullarton, and P. T. May, 2013 : Numerical simulation of tropical island thunderstorms (hectors) during the active campaign. *Meteorological Applications*, **20** (3), 357–370, doi :10.1002/met.1295.
- Zipser, E. J., 1977 : Mesoscale and convective-scale downdrafts as distinct components of squall-line structure. *Mon. Wea. Rev.*, **105** (12), 1568–1589, doi :10.1175/1520-0493(1977)105<1568 :MACDAD>2.0.CO ;2.
- Zipser, E. J., 2003 : Some views on “hot towers” after 50 years of tropical field programs and two years of trmm data. *Meteorological Monographs*, **51**, 49–58, doi :10.1175/0065-9401(2003)029<0049 :CSVOHT>2.0.CO ;2.

Zipser, E. J., C. Liu, D. J. Cecil, S. W. Nesbitt, and D. P. Yorty, 2006 : Where are the most intense thunderstorms on earth? *Bull. Amer. Meteor. Soc.*, **87 (8)**, 1057–1071, doi :10.1175/BAMS-87-8-1057.

Hector the Convector, the epitome of the tropical convection  
that hydrates the stratosphere

**Thibaut Dauhut**

The tropical thunderstorms play an uncertain role in the transport of tropospheric air into the stratosphere, limiting our capability to predict the future climate. The transport by the thunderstorms may be underestimated by the climate models, due to their coarse resolutions. The efficiency of this transport is analysed using numerical simulations of the thunderstorm *Hector the Convector* with resolutions down to 100 m, the finest ever used for a case of very deep convection. The overshoots, that were observed at its top at 18 km altitude, are captured and the net hydration of the stratosphere is quantified. The contribution of the tropical thunderstorms to the water flux from the troposphere to the stratosphere is then estimated to about 20 %. The almost convergence at 200 m and 100 m suggests that such resolutions are necessary to correctly represent the updrafts. The individual analysis of the updrafts indicates that the two tallest contribute beyond 90 % of the mass flux into the stratosphere. They are larger, more vigorous and contain more water than the tallest updrafts one hour before and one hour after, and their convective core was weakly diluted. The supply from the surface by the convergence lines, intensified by the cold pools, and the weak dilution of the two tallest updrafts are determinant for the development of very deep convection. The isentropic analysis of the overturning inside Hector confirms the mass flux computed with the updrafts analysis. It corrects the estimate in the lower troposphere by taking into account the turbulent flux, and in the upper troposphere by filtering out the gravity waves. It highlights the importance of the latent heating due to freezing in the two tallest updrafts during the phase of overshoot in the stratosphere.

*Keywords* Convection, tropical meteorology, troposphere-stratosphere exchanges, water vapour, LES (Large-Eddy Simulation), high-performance computing.

Hector the Convecton, archétype des orages tropicaux hydratant la stratosphère

**Thibaut Dauhut**

Les orages tropicaux jouent un rôle incertain dans le transport de l'air troposphérique dans la stratosphère limitant notre capacité à prévoir le climat futur. Le transport par les orages pourrait en effet être sous-estimé dans les modèles de climat aux résolutions trop grossières. L'efficacité de ce transport est analysée à partir de simulations numériques de l'orage *Hector the Convecton* jusqu'à une résolution de 100 m, la plus fine jamais utilisée pour un cas de convection très profonde. Les percées nuageuses, qui avaient été observées à son sommet à 18 km d'altitude, sont reproduites et l'hydratation nette de la stratosphère est quantifiée. La contribution des orages tropicaux au flux d'eau de la troposphère à la stratosphère est ainsi estimée à près de 20 %. La quasi-convergence aux résolutions de 200 m et 100 m suggère que de telles résolutions sont nécessaires pour représenter correctement les ascendances. L'analyse individuelle des ascendances indique que les deux plus grandes contribuent à plus de 90 % du flux de masse vers la basse stratosphère. Elles sont plus larges, plus puissantes et contiennent plus d'eau que les plus grandes ascendances une heure avant et une heure après, et leur cœur convectif apparaît très peu dilué. L'alimentation en surface par des lignes de convergence intensifiées par des poches froides et la faible dilution des deux plus grandes ascendances sont déterminantes dans l'apparition de la convection très profonde. L'analyse isentropique de la circulation générale dans Hector confirme le flux de masse calculé par l'analyse des ascendances. Elle le corrige dans les basses couches en prenant en compte les flux turbulents, et en haute troposphère en filtrant les ondes de gravité. Elle met en évidence l'importance du dégagement de chaleur latente dû à la congélation dans les plus grandes ascendances pendant la phase de percée en stratosphère.

*Mots-clés* Convection, météorologie tropicale, échanges troposphère-stratosphère, vapeur d'eau, LES (Large-Eddy Simulation), calcul intensif.